



TUGAS AKHIR - RC141501

**MODIFIKASI PERENCANAAN STRUKTUR
GEDUNG HOTEL POP PADANG
MENGGUNAKAN SISTEM RANGKA BRESING
EKSENTRIK**

**PESTA DUMARIS SIAGIAN
NRP 3114 106 024**

**Dosen Pembimbing I
Ir. Heppy Kristijanto, MS**

**Dosen Pembimbing II
Ir. Isdarmanu, M.Sc**

**JURUSAN TEKNIK SIPIL
Fakultas Teknik Sipil dan Perencanaan
Institut Teknologi Sepuluh Nopember
Surabaya 2017**



TUGAS AKHIR - RC141501

**MODIFIKASI PERENCANAAN STRUKTUR
GEDUNG HOTEL POP PADANG
MENGGUNAKAN SISTEM RANGKA BRESING
EKSENTRIK**

**PESTA DUMARIS SIAGIAN
NRP 3114 106 024**

**Dosen Pembimbing I
Ir. Heppy Kristijanto, MS**

**Dosen Pembimbing II
Ir. Isdarmanu, M.Sc**

**JURUSAN TEKNIK SIPIL
Fakultas Teknik Sipil dan Perencanaan
Institut Teknologi Sepuluh Nopember
Surabaya 2017**



FINAL PROJECT - RC141501

PLANNING MODIFICATION OF HOTEL POP PADANG BUILDING STRUCTURE BY USING STEEL WITH ECCENTRICALLY BRACED FRAME SYSTEM

**PESTA DUMARIS SIAGIAN
NRP 3114 106 024**

**Supervisor I
Ir. Heppy Kristijanto, M.S**

**Supervisor II
Ir. Isdarmanu, M.Sc**

**CIVIL ENGINEERING DEPARTMENT
Faculty of Civil Engineering and Planning
Sepuluh Nopember Institute of Technology
Surabaya 2017**



FINAL PROJECT - RC141501

PLANNING MODIFICATION OF HOTEL POP PADANG BUILDING STRUCTURE BY USING STEEL WITH ECCENTRICALLY BRACED FRAME SYSTEM

**PESTA DUMARIS SIAGIAN
NRP 3114 106 024**

**Supervisor I
Ir. Heppy Kristijanto, MS**

**Supervisor II
Ir. Isdarmanu, M.Sc**

**CIVIL ENGINEERING DEPARTEMEN
Faculty of Civil Engineering and Planning
Sepuluh Nopember Institute of Technology
Surabaya 2017**

LEMBAR PENGESAHAN
MODIFIKASI PERENCANAAN STRUKTUR
GEDUNG HOTEL POP PADANG MENGGUNAKAN
SISTEM RANGKA BRESING EKSENTRIK

TUGAS AKHIR

Diajukan Untuk Memenuhi Salah Satu Syarat
Memperoleh Gelar Sarjana Teknik
pada

Program Studi S-1 Lintas Jalur Jurusan Teknik Sipil
Fakultas Teknik Sipil dan Perencanaan
Institut Teknologi Sepuluh Nopember

Oleh :

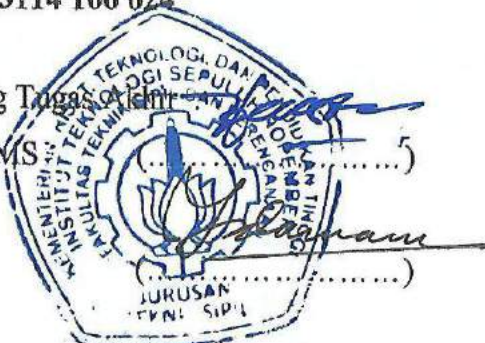
PESTA DUMARIS SIAGIAN

NRP. 3114 106 024

Disetujui oleh Pembimbing Tugas Akhir

1. Ir. Heppy Kristijanto, M.S.

2. Ir. Isdarmanu, M.Sc



SURABAYA
JANUARI, 2017

MODIFIKASI PERENCANAAN STRUKTUR GEDUNG HOTEL POP PADANG MENGGUNAKAN SISTEM RANGKA BRESING EKSENTRIK

Nama Mahasiswa : Pesta Dumaris Siagian
NRP : 3114 106 024
Jurusan : Teknik Sipil FTSP-ITS
Dosen Pembimbing : 1. Ir. Heppy Kristijanto, MS
2. Ir. Isdarmanu, M.Sc

Abstrak

Struktur baja merupakan bahan yang mempunyai daktilitas yang sangat baik, oleh karenanya struktur baja memiliki ketahanan terhadap gempa yang lebih baik dibandingkan beton. Salah satu jenis sistem penahan gempa pada bangunan baja adalah Sistem rangka Bresing Eksentrik (SRBE). Jenis struktur ini adalah penggabungan masing-masing keuntungan dari Sistem Rangka Pemikul Momen (SRPM) dan Sistem Rangka Bresing Konsentrik (SRBK). Kelebihan sistem ini adalah mekanisme kelelahan geser yang terjadi pada link pendek sangat baik. Elemen link berguna untuk mendissipasi energy gempa, maka elemen lain di luar link harus tetap berperilaku elastic saat elemen link telah mencapai kelelahan.

Berdasarkan kajian-kajian penelitian yang pernah dilakukan, pengecekan terhadap tekuk pada bresing memberikan hasil bahwa sistem portal berpengaku eksentrik memberikan nilai lebih bila dibandingkan dengan sistem lainnya. Dengan demikian perlu adanya perencanaan pada bangunan gedung bertingkat dengan tingkat seismitas yang tinggi menggunakan sistem rangka bresing eksentrik sehingga dapat diketahui bagaimana perilaku struktur yang terjadi jika diaplikasikan pada sebuah gedung. Maka pada tugas akhir ini dilakukan perencanaan gedung dengan menggunakan bresing eksentrik.

Modifikasi perancangan ini akan mendisain ulang gedung Hotel POP Padang 10 lantai yang mulanya merupakan gedung dengan struktur beton bertulang menjadi struktur baja daktail sistim EBF. Hasil redisain yang nantinya akan diperoleh, diharapkan dapat menggantikan desain struktur gedung beton sehingga menjadi lebih daktail dan mengurangi kerusakan akibat risiko gempa tinggi di Kota Padang.

Dari analisa dan perhitungan diperoleh hasil, yaitu tebal pelat lantai hotel, atap, dan dak atap 9 cm, dimensi balok induk hotel lantai WF-500.300.11.18 dan WF-500.200.10.16 dimensi balok induk hotel atap WF-500.200.10.16 dan WF-450.200.9.14, dimensi kolom lantai 1 – 5 KC-800.300.14.26, dimensi kolom lantai 6 – 10 KC-588.300.12.20, dimensi breising WF-200.200.8.12, base plate menggunakan dimensi pelat landasan 1000.1000 tebal 55 mm dan panjang link direncanakan 100 cm. Sambungan struktur utama direncanakan sebagai sambungan kaku dengan baut fu^b 825 Mpa. Perencanaan pondasi menggunakan tiang pancang beton pracetak diameter 50 cm dengan kedalaman 14 m. Sloof ukuran 40 cm × 60 cm dengan tulangan utama 8D22 dan tulangan geser Ø12 – 300.

Kata kunci: EBF, Gempa, Link, Strukturbaja

PLANNING MODIFICATION OF HOTEL POP PADANG BUILDING STRUCTURE BY USING STEEL WITH ECCENTRICALLY BRACED FRAME SYSTEM

Student Name	: Pesta Dumaris Siagian
Student Registry Number	: 3114 106 024
Major	: Civil Engineering FTSP-ITS
Supervisor	: 1. Ir. Heppy Kristijanto, MS 2. Ir. Isdarmanu, M.Sc

Abstract

Steel structure is a material that has good ductility, therefore the steel structure has resistance to earthquakes better than concrete. One type of seismic restraint systems on steel buildings are Eccentrically Braced Frame (EBF). This type of structure is combination advantages of Moment Resisting Frame (MRF) and Concentrically Braced Frame (CBF). The advantages of this method is good ductility with shear melting mechanism happened to short link. Link is the weakest part of the EBF. Therefore, any failure and collapse of the structure, the first damage occurs on the link, link must has a high level of ductility. EBF design concept is the link defined as part which become damaged but other elements remain inelastic condition.

Based on research studies that have been done, checking buckling bresing provide result that eccentrically braced frame is the most effective than other system. Thus the need for planning in high story building with high seismic with eccentrically braced frame. So that it can be seen how the structural behavior that occurs when applied to a building. So in this final project planning of the building using eccentrically bresing.

This modification design will redesign Pop Hotel Padang 10 story building that at the first design this building is reinforced concrete structure then will be redesigned become ductile steel structure with EBF system. The result of this design is expected to

replace the first design reinforced concrete design so that the structure become more ductile and reduce the damage due to high seismic risk in Padang City.

From analyzing and calculating the result which are obtained are 9 cm thick plate of floor and roof, WF-500.300.11.18 and WF-500.200.10.16 are the structure steel of main beam of hotel floor, WF-500.200.10.16 and 450.200.9.14 for floor roof. Column use King Cross structure steel KC-800.300.14.26 for floor 1 – 5 KC-400.200.8.13 for floor 6– 10. Bracing use structure steel WF-200.200.8.12. For Base plate using plate 1000x1000 mm square and 55 mm thick. Link are designed 100 cm long. The main splicing structure is planned as rigid connection with bolt f_u^b 825 Mpa. Fondation is designed using pile of precast concrete with 50 cm diameter and 14 m depth. The dimension of sloof is 40 cm × 60 cm with 8D25 longitudinal reinforcement and Ø12 – 300 transversal reinforcement.

Key Word: EBF, earthquake, Link, structure of steel

KATA PENGANTAR

Puji syukur penulis ucapkan kepada Tuhan Yang Maha Esa, karena berkat rahmatNya penulis dapat menyelesaikan Tugas Akhir dengan judul Modifikasi Perencanaan Struktur Gedung Hotel Pop Padang Menggunakan Sistem Rangka Bresing Eksentrik.

Dalam pelaksanaan Tugas Akhir ini, penulis tidak berjalan sendirian, banyak pihak yang telah membantu proses pelaksanaan Tugas Akhir ini hingga selesai. Pada kesempatan ini dengan rasa hormat dan kerendahan hati penulis ingin mengucapkan terima kasih dan memberikan penghargaan kepada :

1. Ibu dan keluarga terkasih yang telah memberikan dukungan dan berdoa bagi penulis
2. Bapak Ir. Heppy Kristijanto, MS dan Bapak Ir.Isdarmanu, M.Sc selaku dosen pembimbing yang telah memberikan bimbingan dan arahan dalam penyusunan Tugas Akhir ini.
3. Bapak Djoko Irawan, Ir, Ms selaku dosen wali
4. Bapak Umboro Lasminto, ST, Msc, Dr.techn selaku ketua jurusan Teknik Sipil
5. Seluruh dosen pengajar dan staff Jurusan Teknik Sipil FTSP-ITS, terima kasih atas ilmu yang telah diberikan
6. Teman-teman mahasiswa/I jurusan Teknik Sipil Lintas Jalur ITS yang telah bersedia memberikan masukan dan dukungan

Penulis menyadari bahwa tugas akhir ini masih jauh dari sempurna, oleh karena itu penulis mengharapkan kritik dan saran yang membangun demi kesempurnaan tugas akhir ini.

Akhir kata penulis mengharapkan semoga tugas akhir ini dapat memenuhi harapan dan bermanfaat bagi masyarakat khususnya mahasiswa teknik sipil.

Surabaya, Januari 2017

Penulis

“Halaman ini sengaja dikosongkan”

DAFTAR ISI

HALAMAN JUDUL

LEMBAR PENGESAHAN.....	i
ABSTRAK.....	iii
ABSTRACT	v
KATA PENGANTAR	vii
DAFTAR ISI	ix
DAFTAR TABEL.....	xv
DAFTAR GAMBAR	xxi

BAB I PENDAHULUAN

1.1 Latar Belakang.....	1
1.2 Rumusan Masalah.....	2
a. Permasalahan Utama.....	3
b. Detail Permasalahan	3
1.3 Tujuan.....	3
1.3.1 Tujuan Utama	3
1.3.2 Detail Tujuan	3
1.4 Batasan Masalah	4
1.5 Manfaat	4

BAB II TINJAUAN PUSTAKA

2.1 Umum.....	5
2.2 Konsep Perencanaan Bangunan Tahan Gempa.....	5
2.3 Struktur Rangka Baja Tahan Gempa	6
2.3.1 Moment Resisting Frame (MRF).....	7
2.3.2 Concentrically Braced Frame (CBF)	8
2.3.3 Eccentrically Braced Frame (EBF).....	9
2.4 Perilaku Link	10
2.5 Kapasitas Tekan Penampang Bresing.....	12
2.6 Pengaku Badan (<i>Web Stiffner</i>)	12
2.7 Steel Floor deck	13
2.8 Pondasi	13
2.9 Sambungan	15

BAB III METODOLOGI

3.1 Langkah-Langkah Perencanaan	
Struktur Gedung Hotel Pop	17
3.2 Studi Literatur.....	18
3.3 Variabel Desain	19
3.4 Preliminary Desain	19
3.5 Analisis Pembebanan.....	19
3.5.1 Beban Mati.....	20
3.5.2 Beban Hidup	20
3.5.3 Beban Angin	20
3.5.4 Beban Gempa.....	21
3.5.5 Kombinasi Pembebanan	33
3.6 Analisis Struktur	33
3.7 Konsep Perencanaan Struktur Baja.....	34
3.7.1 Kontrol Desain Penampang Balok.....	34
3.7.2 Kontrol Desain Penampang Kolom	38
3.7.3 Desain Balok-Kolom	39
3.7.4 Desain Elemen Link.....	44
3.8 Sambungan	45
3.8.1 Sambungan Baut	45
3.8.2 Sambungan Las.....	49
3.9 Pondasi	49
3.9.1 Perencanaan Tiang Pancang	49
3.9.2 Perencanaan Poer.....	51
3.10 Menyusun Gambar Rencana.....	54

BAB IV PERENCANAAN STRUKTUR SEKUNDER

4.1 Perencanaan Pelat Lantai	55
4.1.1 Perencanaan Pelat Lantai Atap	55
4.1.2 Perencanaan Pelat Lantai Hotel	59
4.2 Perencanaan Balok Anak	62
4.2.1 Perencanaan Balok Anak Atap Bentang 6m.....	62
4.2.2 Perencanaan Balok Anak Atap Bentang 3 m.....	66
4.2.3 Perencanaan Balok Anak Lantai Bentang 6m	70

4.2.4	Perencanaan Balok Anak Lantai Bentang 3 m	74
4.3	Perencanaan Balok Lift 2 Car.....	78
4.3.1	Spesifikasi Lif.....	78
4.3.2	Rencana Balok Penggantung Lift	79
4.4	Perencanaan Tangga dan Bordes	83
4.4.1	Perencanaan Tangga.....	84
4.4.2	Perencanaan Pengaku Anak Tangga.....	86
4.4.3	Perencanaan Bordes.....	89
4.4.4	Balok Utama Tangga.....	93
4.4.5	Balok Penumpu Tangga	100

BAB V PEMODELAN STRUKTUR

5.1	Pemodelan Struktur	105
5.2	Pembebanan Struktur Utama	106
5.2.1	Perhitungan Pembebanan	108
5.2.2	Kombinasi Pembebanan	109
5.2.3	Berat Total Bangunan.....	110
5.3	Pembebanan Gempa Dinamis.....	111
5.3.1	Lantai Tingkat Sebagai Diafragma.....	112
5.3.2	Arah Pembebanan Gempa	112
5.3.3	Perhitungan Beban Gempa	112
5.4	Analisis Struktur	119
5.4.1	Kontrol Partisipasi Mass.....	119
5.4.2	Kontrol Periode Getar Struktur	121
5.4.3	Kontrol Nilai Akhir Respon Spektrum.....	121
5.4.4	Kontrol Batas Simpangan Antar Lantai.....	122

BAB VI PERENCANAAN STRUKTUR PRIMER

6.1	Perencanaan Elemen Struktur Primer	125
6.1.1	Link	125
6.1.1.1	Link Arah X	125
6.1.1.2	Pengaku Link Arah X	127
6.1.1.3	Link Arah Y	128
6.1.1.4	Pengaku Link Arah Y	130
6.1.2	Balok Di luar Link	131

6.1.2.1	Balok Diluar Link Arah X.....	131
6.1.2.2	Balok Diluar Link Arah Y.....	133
6.1.3	Bresing	136
6.1.3.1	Bresing Arah X	136
6.1.3.2	Bresing Arah Y	138
6.1.4	Balok Induk.....	140
6.1.4.1	Balok Induk Lantai Arah X 6 m.....	140
6.1.4.2	Balok Induk Lantai Arah X 3 m.....	143
6.1.4.3	Balok Induk Lantai Arah Y4,55 m.....	145
6.1.4.4	Balok Induk Lantai Arah Y 2,275 m..	148
6.1.4.5	Balok Induk Atap Arah X 6m.....	151
6.1.4.6	Balok Induk Atap Arah X 3 m.....	153
6.1.4.7	Balok Induk Atap Arah Y 4,55 m	156
6.1.4.8	Balok Induk Atap Arah Y 3 m	159
6.1.5	Kolom	163
6.1.5.1	Kolom Lantai 1 -5	163
6.1.5.2	Kolom Lantai 6-10	168

BAB VII PERENCANAAN SAMBUNGAN

7.1	Sambungan Balok Anak Lantai dan Balok Induk	175
7.1.1	Sambungan Detail A	175
7.1.2	Sambungan Detail B.....	178
7.2	Sambungan Balok Anak Atap dengan Balok Induk	180
7.2.1	Sambungan Detail A.....	181
7.2.2	Sambungan Detail B	183
7.3	Sambungan Balok utamaTangga dengan Penumpu.....	185
7.4	Sambungan Balok Penumpu Tangga dengan Kolom	187
7.5	Sambungan Antar Kolom	190
7.5.1	Sambungan Antar Kolom Lantai 1-5	190
7.5.2	Sambungan Antar Kolom Lantai 6-10.....	193
7.5.3	Sambungan Kolom dengan Base Plate	197
7.5.4	Sambungan Balok Induk Lantai dengan Kolom.....	203
7.5.5	Sambungan Balok Induk Atap dengan Kolom	207
7.6	Sambungan Batang Bresing.....	211
7.7	Sambungan KC 800x300x14x26 KC 400x200x8x13....	216

BAB VIII PERENCANAAN STRUKTUR BAWAH	
8.1 Perencanaan Pondasi	223
8.2 Daya Dukung Tanah.....	224
8.2.1 Daya Dukung Tiang Pancang Tunggal.....	225
8.3 Perhitungan Pondasi Kolom	225
8.3.1 Daya Dukung Satu Tiang Pancang.....	225
8.3.2 Perhitungan Repetisi Beban di Atas Tiang Kel ...	227
8.3.3 Perencanaan Poer pada Kolom	227
8.3.4 Kontrol Geser Pons.....	228
8.3.5 Penulangan Poer.....	232
8.4 Perencanaan Kolom Pedestal.....	235
8.5 Perhitungan Sloof Pondasi.....	237
8.5.1 Penulangan Lentur Sloof	238
BAB IX PENUTUP	
9.1 Kesimpulan	243
9.2 Saran	245

DAFTAR PUSTAKA
LAMPIRAN
BIODATA PENULIS

“Halaman ini sengaja dikosongkan”

DAFTAR TABEL

Tabel 3.1	Kategori Risiko Bangunan.....	21
Tabel 3.2	Faktor Keutamaan Gempa	22
Tabel 3.3	Klasifikasi Situs Gempa.....	23
Tabel 3.4	Koefisien Situs F_a	24
Tabel 3.5	Koefisien Situs F_v	25
Tabel 3.6	Kategori Desain Seismik Berdasarkan Parameter Respons Percepatan pada Periode Pendek	26
Tabel 3.7	Kategori Desain Seismik Berdasarkan Parameter Respons Percepatan pada Periode 1 s.....	26
Tabel 3.8	Koefisien dan Faktor Desain Untuk Sistem Penahan Gaya Gempa.....	27
Tabel 3.9	Prosedur Analisis Yang Diizinkan.....	28
Tabel 3.10	Nilai Koefisien Waktu Getar Perkiraan C_t Dan x	29
Tabel 3.11	Koefisien Untuk Batas Atas Periode Hasil Perhitungan.....	30
Tabel 3.12	Pemilihan untuk Penggunaan Bab Pasal F SNI 1729:2015 tentang Spesifikasi untuk Bangunan Gedung Baja Struktural	35
Tabel 3.13	Tebal Efektif Las Sudut	49
Tabel 4.1	Rekapitulasi Perhitungan Pelat Atap	57
Tabel 4.2	Rekapitulasi Perhitungan Pelat Lantai	60
Tabel 5.1	Perhitungan Nilai N	108
Tabel 5.2	Perhitungan Beban Mati Atap.....	109
Tabel 5.3	Perhitungan Beban Mati Lantai	109
Tabel 5.4	Berat Total Bangunan Berdasarkan SAP2000.....	110
Tabel 5.5	Perhitungan Manual Berat Total Bangunan (1D+1L)	111
Tabel 5.6	Nilai Periode Fundamental (T) dan Percepatan Respon Spektra (S_a)	

	berdasarkan ketentuan	
	SNI 1726:2012 Pasal 6.4.....	115
Tabel 5.7	Perhitungan Distribusi Vertikal	
	Gaya Gempa.....	119
Tabel 5.8	Ratio Partisipasi Massa.....	120
Tabel 5.9	Gaya Geser Dasar Akibat Beban Gempa	121
Tabel 5.10	Kontrol Simpangan Antar	
	Lantai Akibat Beban Gempa Arah X	122
Tabel 5.11	Kontrol Simpangan Antar	
	Lantai Akibat Beban Gempa Arah Y	123
Tabel 7.1	Dimensi Balok Induk Lantai	
	dan Balok Anak.....	173
Tabel 7.2	Dimensi Balok Induk Atap	
	dan Balok Anak atap	180
Tabel 8.1	Hasil Analisa SAP2000 untuk kolom.....	227

DAFTAR GAMBAR

Gambar 2.1	Konfigurasi Sistem portal	7
Gambar 2.2	<i>Konfigurasi Sistem CBF</i>	8
Gambar 2.3	<i>Konfigurasi Sistem Portal Berpengaku Eksentrik</i>	10
Gambar 2.4	Statis Equilibrium.....	11
Gambar 2.5	Pembentukan Sendi	12
Gambar 2.6	Penampang <i>Steel Floor Deck</i>	13
Gambar 3.1	Alur Perencanaan Struktur Baja	18
Gambar 3.2	Peta untuk S1	22
Gambar 3.3	Peta untuk SS	23
Gambar 3.4	Ketentuan Penggambaran Grafik Respon Spektrum.....	32
Gambar 3.5	Kontrol Geser Pons Pada Poer Akibat Kolom	52
Gambar 3.6	Kontrol Geser Pons Pada Poer Akibat Tiang Pancang	54
Gambar 4.1	Denah Pelat Lantai Atap.....	55
Gambar 4.2	Penulangan Lantai Atap.....	56
Gambar 4.3	Denah Pelat Lantai Hotel.....	59
Gambar 4.4	Penulangan Lantai Hotel.....	60
Gambar 4.5	Denah Balok Anak Atap.....	62
Gambar 4.6	Denah Balok Anak Atap.....	66
Gambar 4.7	Denah Balok Anak Lantai	70
Gambar 4.8	Denah Balok Anak Lantai	74
Gambar 4.9	Lift	78
Gambar 4.10	Hoistway Section.....	79
Gambar 4.11	Pembebanan Pada Balok Penggantung Lift	80
Gambar 4.12	Diagram Momen Balok Penggantung Lift....	82
Gambar 4.13	Denah Tangga.....	85
Gambar 4.14	Pelat Anak Tangga.....	85
Gambar 4.15	Model Pembebanan Pelat Tangga	87
Gambar 4.16	Pelat Borde	89

Gambar 4.17	Model Pembebatan Balok Utama Tangga	94
Gambar 4.18	Bidang M Balok Tangga.....	96
Gambar 4.19	Bidang D Balok Tangga	97
Gambar 4.20	Bidang N Balok Tangga	97
Gambar 4.21	Analisa Lendutan Balok Utama Tangga.....	100
Gambar 4.22	Pembebatan Balok Penumpu Tangga	101
Gambar 4.23	Posisi MA, MB, MC Balok Penumpu Tangga	103
Gambar 5.1	Denah Struktur Hotel Pop Padang.....	105
Gambar 5.2	Pemodelan 3 Dimensi Struktur Hotel Pop Padang	106
Gambar 5.3	Grafik Respon Spektrum dengan SSD	115
Gambar 6.1	Gaya dalam Link Arah X.....	125
Gambar 6.2	Gaya dalam Link Arah Y	128
Gambar 6.3	Gaya diluar Link Arah X	131
Gambar 6.4	Gaya dalam Balok di luar Link Arah Y	134
Gambar 6.5	Gaya dalam Bresing Arah X.....	137
Gambar 6.6	Gaya dalam Bresing Arah Y	139
Gambar 6.7	Gaya dalam Balok Induk Lantai Arah X Bentang 6 m	141
Gambar 6.8	Gaya dalam Balok Induk Lantai Arah X Bentang 3m.....	143
Gambar 6.9	Gaya dalam Balok Induk Lantai Arah Y Bentang 4,55 m.....	146
Gambar 6.10	Gambar dalam Balok Induk Lantai Arah Y Bentang 2,275m.....	148
Gambar 6.11	Diagram Momen Balok Lantai Bentang 2,275m	150
Gambar 6.12	Gaya dalam Balok Induk Atap Bentang 6m..	151
Gambar 6.13	Gaya dalam Balok Induk Atap Bentang 3m ..	154
Gambar 6.14	Balok Induk Atap Bentang 4,55m	156
Gambar 6.15	Diagram Momen Balok Lantai Bentang 4,55m	158
Gambar 6.16	Gaya dalam Balok Induk Atap Arah Y Bentang 3m.....	160

Gambar 6.17	Diagram Momen Balok Lantai Bentang 3m	161
Gambar 7.1	Sambungan Balok Anak Lantai dengan Balok Induk Detail A.....	175
Gambar 7.2	Detail Pelat Siku pada Gelagar	177
Gambar 7.3	Sambungan Balok Anak Lantai Dengan Balok Induk Detail B	178
Gambar 7.4	Detail Pelat Siku Pada Gelagar.....	179
Gambar 7.5	Sambungan Balok Anak Atap Dengan Balok Induk	181
Gambar 7.6	Detail Pelat Siku Pada Gelagar.....	182
Gambar 7.7	Sambungan Balok Anak Atap Dengan Balok Induk	183
Gambar 7.8	Detail Pelat Siku Pada Gelagar.....	184
Gambar 7.9	Sambungan Balok Utama Tangga Dengan Balok Penumpu Tangga.....	185
Gambar 7.10	Detail Pelat Siku Pada Gelagar.....	187
Gambar 7.11	Sambungan Balok Penumpu Tangga Dengan Kolom.....	188
Gambar 7.12	Detail Pelat Siku Pada Gelagar Luas Bidang Geser	189
Gambar 7.13	Sambungan Kolom Dengan Kolom.....	193
Gambar 7.14	Sambungan Kolom Dengan Kolom.....	197
Gambar 7.15	Sambungan Kolom Dengan Base Plate	198
Gambar 7.16	Arah Beban Sumbu X Pada Base Plate	201
Gambar 7.17	Gaya Pada Balok-Kolom.....	205
Gambar 7.18	Sambungan Balok Induk Lantai dan Lantai ..	207
Gambar 7.19	Gaya Pada Balok-Kolom.....	209
Gambar 7.20	Sambungan Balok Induk Atap dan Kolom....	211
Gambar 7.21	Sambungan Bracing dengan Balok.....	215
Gambar 7.22	Arah Beban Sumbu X pada Pelat Landas	218
Gambar 7.23	Sambungan Antar Kolom	221
Gambar 8.1	Denah Rencana Pondasi	223
Gambar 8.2	Pondasi Tiang Pancang.....	226

Gambar 8.3	Geser Ponds Akibat Kolom	229
Gambar 8.4	Geser Ponds Akibat Tiang Pancang	231
Gambar 8.5	Analisa Poer Sebagai Balok Kantilever.....	232
Gambar 8.6	Pembebanan Poer Kolom Tipe I (Arah Sumbu X).....	233
Gamabar 8.7	Pembebanan Poer Kolom Tipe I (Arah Sumbu Y).....	234
Gambar 8.8	Hasil Analisis Kolom Pedestal dengan Program PCA Col.....	236
Gambar 8.9	Penulangan Kolom Pedestal	237
Gamabar 8.10	Penampang Sloof 400x600	241

BAB I

PENDAHULUAN

1.1 Latar Belakang

Kebutuhan akan bangunan tahan gempa merupakan suatu hal yang harus terpenuhi, khususnya untuk daerah-daerah dengan tingkat kerawanan gempa tinggi seperti di Indonesia. Berdasarkan pengalaman yang pernah terjadi, keruntuhan bangunan akibat bencana gempa bumi menelan korban jiwa dalam jumlah besar. Dalam kurun waktu 5 bulan, Sumatera mengalami empat gempa besar, yakni pada tanggal 26 Desember 2004 terjadi gempa dengan besar 9 skala richter dengan jumlah korban 180.000 orang, gempa kedua tanggal 28 Maret 2005 berkekuatan 8,7 skala richter dengan jumlah korban 800 orang , gempa ketiga tanggal 10 April 2005 berkekuatan 7,5 skala richter dengan jumlah korban 361 orang, gempa keempat tanggal 14 mei 2005 berkekuatan 6,5 skala richter . Gempa yang membuat kerusakan pada bangunan yang paling banyak adalah gempa 28 maret 2005. Kerusakan bangunan seperti sandwich dimana lantainya berimpit satu sama lain . Kerusakan seperti ini umumnya terjadi pada bangunan bertingkat dua atau empat yang bahannya terbuat dari beton bertulang (Tarigan 2005).

Gempa tidak dapat dicegah, namun dampak dari gempa dapat dikurangi, baik korban manusia maupun tingkat kerusakan yang timbul pada bangunan. Untuk mengurangi dampak dari gempa, maka bangunan harus dirancang tahan terhadap gempa. Philosophi bangunan tahan gempa harus memenuhi 3 syarat berikut yakni : (1) bangunan tidak boleh rusak akibat gempa kecil (magnitude lebih kecil dari 4 skala richter) ; (2) bangunan tidak boleh rusak komponen nonstrukturnya seperti tembok, plafon, penutup atap akibat gempa sedang (magnitude antar 4 sampai 6,5 skala richter) ; (3) bangunan boleh rusak komponen nonstrukturnya maupun komponen strukturnya akibat gempa kuat tetapi tidak sampai roboh(magnitude lebih besar dari 6,5 skala richter). Dengan kata lain, struktur harus direncanakan dapat

memberikan level kinerja minimal *life safety*, dimana bangunan diperbolehkan mengalami kerusakan, namun tidak mengalami keruntuhan (Suhaimi dkk 2014)

Salah satu material yang digunakan untuk mendesain struktur bangunan tahan gempa adalah baja. Sistem struktur baja tahan gempa terdiri dari sistem rangka pemikul momen (MRF), sistem rangka brasing konsentris (CBF), sistem rangka bresing eksentris (EBF). MRF memiliki daktilitas rendah dan tidak kaku. CBF memiliki kekakuan yang sangat bagus tetapi daktilitas lebih rendah dari EBF. EBF memiliki kekakuan yang lebih rendah dari CBF tetapi daktilitas lebih baik dari CBF. Pada EBF pemasatan penyerapan energy dipusatkan di link sehingga elemen selain link harus tetap berperilaku elastic saat elemen link telah mencapai kelelahan. Sementara CBF memperbolehkan terjadinya tekuk pada bresing karena bresing juga berfungsi untuk menyerap energy. Untuk itu harus dilakukan pengecekan terhadap kemungkinan terjadinya tekuk pada bresing sehingga pemilihan sistem portal berpengaku eksentrik bisa memberikan nilai lebih bila dibanding dengan sistem lainnya (Wijaya 2010).

Sebagai studi perencanaan, akan dilakukan modifikasi pada struktur gedung hotel POP. Gedung ini terdiri dari 10 lantai yang berdiri di atas tanah seluas 800 m². Gedung yang berada di kawasan Pasar Baru, Jakarta Selatan yang didesain menggunakan struktur beton bertulang ini akan dimodifikasi berada di kota Padang dengan menggunakan struktur baja sistem EBF. Selain itu akan direncanakan juga pondasi yang sesuai dengan besarnya beban-beban yang bekerja di atasnya.

1.2 Rumusan Masalah

Dari uraian latar belakang di atas, maka untuk perencanaan struktur gedung hotel POP dengan sistem EBF, permasalahan yang ditinjau antara lain :

a. Permasalahan Utama

Bagaimana merencanakan struktur baja gedung hotel pop dengan sistem EBF dan merencanakan pondasi sesuai dengan peraturan yang berlaku?

b. Detail Permasalahan

1. Bagaimana menentukan *preliminary desain* penampang profil baja?
2. Beban-beban apa saja yang bekerja pada perencanaan gedung hotel POP?
3. Bagaimana merencanakan struktur sekunder yang meliputi struktur atap, pelat lantai, balok anak dan tangga?
4. Bagaimana memodelkan dan menganalisa struktur dengan menggunakan program bantu SAP 2000?
5. Bagaimana merencanakan struktur utama yang meliputi balok dan kolom baja?
6. Bagaimana merencanakan sambungan yang memenuhi kriteria perencanaan struktur?
7. Bagaimana merencanakan struktur bawah yang meliputi tiang pancang dan poer?
8. Bagaimana menuangkan hasil bentuk desain dan analisa ke dalam bentuk gambar teknik?

1.3 Tujuan

Maksud dan tujuan dalam penulisan laporan tugas akhir ini adalah sebagai berikut :

a. Tujuan Utama

Mendapatkan hasil perencanaan struktur baja gedung hotel POP dengan sistem EBF dan pondasinya sesuai dengan peraturan yang berlaku.

b. Detail Tujuan

1. Menentukan *preliminary design* penampang profil baja.
2. Menentukan beban-beban apa saja yang bekerja pada perencanaan hotel pop

3. Merencanakan struktur sekunder yang meliputi struktur atap, pelat lantai, balok anak dan tangga.
4. Memodelkan dan menganalisa struktur dengan menggunakan program bantu SAP 2000.
5. Merencanakan struktur utama yang meliputi balok dan kolom baja.
6. Merencanakan sambungan yang memenuhi criteria perencanaan struktur.
7. Merencanakan struktur bawah yang meliputi tiang pancang dan poer
8. Menuangkan hasil bentuk desain dan analisa ke dalam bentuk gambar teknik.

1.4 Batasan Masalah

Untuk menghindari penyimpangan pembahasan dari masalah yang telah diuraikan di atas, maka diperlukan pembatasan masalah yang meliputi :

1. Perencanaan gedung ini dimaksudkan sebagai bahan studi sehingga tidak mempertimbangkan aspek ekonomi
2. Desain struktur berdasarkan pada SNI 03-1729-2015
3. Pembebanan dihitung berdasarkan SNI 1727-2013
4. Perhitungan beban gempa berdasarkan SNI 03-1726-2012
5. Tidak membahas detail metode pelaksanaan.

1.5 Manfaat

Manfaat yang bisa diharapkan dari modifikasi perencanaan ini adalah:

1. Sebagai bahan masukan dan pertimbangan terhadap dunia teknik sipil dalam perencanaan gedung baja menggunakan sistem EBF
2. Dari perencanaan ini bisa diketahui hal-hal yang harus diperhatikan pada saat perencanaan sehingga kegagalan struktur bisa diminimalisasi.

BAB II

TINJAUAN PUSTAKA

2.1 Umum

Struktur baja merupakan salah satu sistem struktur tahan gempa dengan kinerja yang sangat bagus, karena material baja mempunyai karakteristik yang unik dibandingkan dengan material struktur lainnya, dengan mengandalkan pada sifat daktilitas dan kekuatannya yang tinggi sehingga struktur baja sangat cocok digunakan untuk daerah-daerah dengan tingkat seismitas yang tinggi. Sifat daktail baja memungkinkan terjadinya leleh lokal pada titik-titik tersebut. Keuntungan dari material daktail adalah jika elemen struktur baja mendapat beban cukup maka akan terjadi defleksi yang cukup jelas sehingga dapat digunakan sebagai tanda keruntuhan. Dengan mekanisme tersebut akan memberikan waktu bagi para pengguna gedung untuk menyelamatkan diri, tidak seperti beton tanpa tulangan baja yang bersifat getas yang akan runtuh seketika pada saat gaya yang bekerja telah melampaui kemampuan ultimit beton (Yurisman dkk 2010)

2.2 Konsep Perencanaan Bangunan Tahan Gempa

Untuk menahan gaya gempa yang bekerja pada sistem bangunan maka diperlukan struktur bangunan yang direncanakan berdasarkan peraturan-peraturan untuk perencanaan tahan gempa. Peraturan ini menganut falsafah atau prinsip dasar sebagai berikut :

“ Struktur bangunan tidak boleh mengalami kerusakan jika terjadi gempa bumi dengan kekuatan ringan. Jika terjadi gempa bumi berkekuatan sedang atau menengah, kerusakan struktur boleh terjadi terbatas pada kerusakan ringan dan dapat diperbaiki. Sedangkan jika terjadi gempa bumi dengan kekuatan besar, bangunan tidak boleh roboh, meskipun sudah mengalami kerusakan yang parah; sehingga korban jiwa manusia dikurangi meskipun terjadi kerusakan dan kerugian material”.

Suatu bangunan paling tidak harus dapat memikul beban-beban yang bekerja pada struktur tersebut. Baik beban lateral seperti beban gempa dan beban angin yang dapat menimbulkan defleksi lateral serta beban gravitasi yang meliputi beban mati dan beban hidup.. Hal yang perlu diperhatikan dalam perencanaan yaitu kekuatan bangunan yang memadai untuk memberikan rasa nyaman bagi penghuninya. Semakin tinggi gedung, defleksi lateral yang terjadi juga semakin besar pada lantai atas (Hasan dan Astira 2013).

Untuk mencapai kriteria bangunan tahan gempa, perencanaan bangunan struktur tahan gempa harus dapat memperhitungkan dampak dari gaya lateral yang bersifat siklis (bolak-balik) yang dialami oleh struktur selama terjadinya gempa bumi. Untuk memikul gaya lateral yang dialami oleh bangunan, struktur harus dapat memiliki duktilitas yang memadai di daerah *joint* atau elemen struktur tahan gempa seperti bresling, link, atau dinding geser (Muslinang dan Panjaitan 2012).

Perencanaan struktur dapat direncanakan dengan mengetahui skenario keruntuhan dari struktur tersebut dalam menahan beban maksimum yang bekerja. Pelaksanaan konsep desain kapasitas struktur adalah memperkirakan urutan kejadian dari kegagalan suatu struktur berdasarkan beban maksimum yang dialami struktur, sehingga kita merencanakan bangunan dengan elemen-elemen struktur tidak dibuat sama kuat terhadap gaya yang direncanakan, tetapi ada elemen-elemen struktur atau titik pada struktur yang dibuat lebih lemah dibandingkan dengan yang lain dengan harapan di elemen atau titik itulah kegagalan struktur terjadi pada saat beban gempa maksimum bekerja (Krisnamurti dkk 2013)

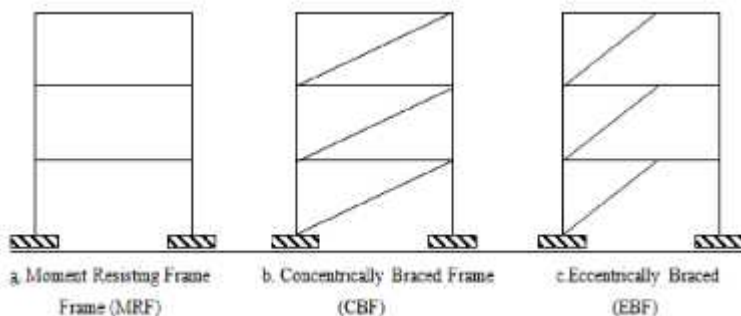
2.3 Struktur Rangka Baja Tahan Gempa

Terdapat beberapa jenis portal baja tahan gempa, secara umum terdapat dua jenis portal baja tahan gempa yaitu *Braced Frames* dan *Moment Resisting Frames*. Perilaku struktur pada sistem *Momen Resisting frame* (MRF) dan Sistem Concentrically

Braced Frame (CBF) frame yang tanpa berpengaku dan berpengaku konsentris dijadikan dasar untuk mengetahui perilaku dan stabilitas pada sistem portal baja dengan berpengaku eksentrik (*Eccentially Braced Frame*)

Jenis portal :

- Portal penahan momen atau *Moment Resisting Frame (MRF)*
- Portal dengan elemen pengaku atau *braced frame (BF)*, dibagi 2:
 - berpengaku eksentrik atau EBF
 - berpengaku konsentrik atau CBF



Gambar 2.1 Konfigurasi sistem portal
(Sumber :Wijaya 2010)

2.3.1 Moment Resisting Frame (MRF)

Keuntungan : portal yang cukup sederhana yang tidak akan mengganggu penempatan arsitektural bangunan seperti dinding, jendela, fentilasi, dan bagian-bagian bangunan lainnya.

Kelemahan :

- Daktilitasnya rendah karena kemampuan untuk menyerap energi akibat beban gemba sangat kurang.
- Selain itu kekakuan jenis sistem portal ini sangat tidak kaku

2.3.2 Concentrically Braced Frame (CBF)

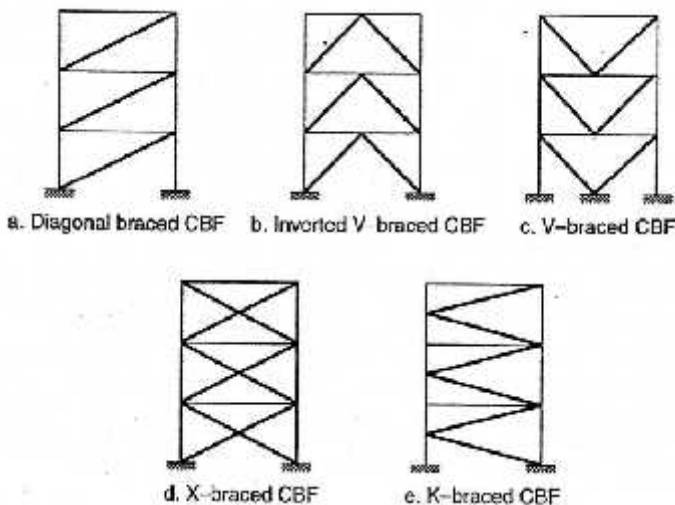
Tidak seperti momen *resistant frames* (MRF), *concentrically braced frames* (CBF) adalah sistem penahan gaya lateral dengan karakteristik kekakuan elastik yang tinggi. Kekakuan yang tinggi diperoleh dari *diagonal brace* yang menahan gaya lateral pada struktur frame yang meningkatkan aksi gaya dalam aksial dan aksi lentur yang kecil (Husain dkk 2011)

Keuntungan:

Sistem ini mempunyai kekakuan yang sangat bagus (dibandingkan dengan EBF dan MRF)

Kelemahan:

Daktilitasnya lebih rendah dibandingkan dengan EBF.



Gambar 2.2 Konfigurasi Sistem CBF
(Sumber : Husain dkk 2011)

2.3.3 Eccentrically Braced Frame (EBF)

Sistem struktur berpenopang eksentrik (EBF) merupakan pengembangan dari dua sistem struktur penahan gaya lateral yang ada sebelumnya yaitu : MRF dan CBF. Sistem ini dikembangkan untuk menyempurnakan sistem MRF dan CBF, dimana sistem MRF memiliki nilai daktilitas dan kapasitas dissipasi energy yang besar dan stabil namun memiliki kekakuan yang rendah, disisi lain CBF memiliki kekakuan yang lebih besar namun mempunyai kapasitas dissipasi energy yang lebih rendah.

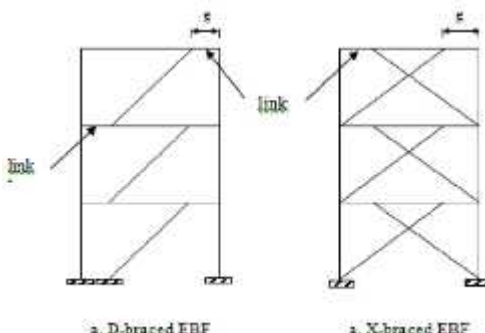
Sistem EBF dapat menggabungkan masing-masing keuntungan dari kedua sistem tersebut, serta memperkecil kelemahan yang dimilikinya. Secara spesifik EBF mempunyai beberapa karakteristik antara lain : 1) mempunyai kekakuan elastic yang tinggi, 2) mempunyai respon inelastic yang stabil di bawah pembebanan lateral siklik, 3) mempunyai kemampuan yang sangat baik dalam hal daktilitas dan dissipasi energy. (Yurisman dkk 2010)

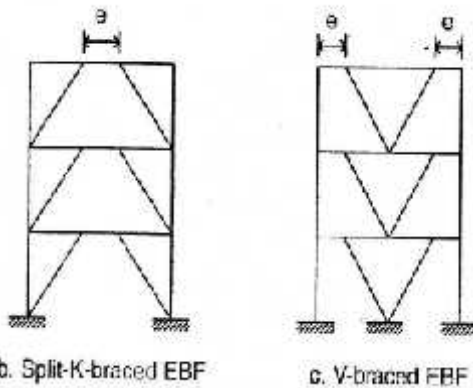
Keuntungan:

Daktilitasnya lebih baik dibandingkan dengan CBF.

Kelemahan:

- Sistem ini mempunyai kekakuan yang lebih rendah dari CBF
- arsitekturalnya, yaitu akan menyulitkan dalam penempatan dinding, jendela dan bagian bangunan lainnya.



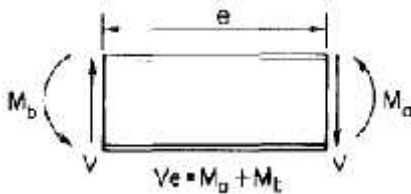


Gambar 2.3 Konfigurasi sistem portal berpengaku eksentrik
(Sumber : Wijaya 2010)

Berdasarkan hasil studi awal yang telah dilakukan secara numeric, peneliti menemukan suatu indikasi bahwa pemasangan pengaku diagonal pada bagian badan elemen link profil WF dapat meningkatkan kemampuan link dalam menahan gaya lateral, dan meningkatkan kemampuan link dalam dissipasi energy. Pengaku diagonal yang dipasang pada bagian badan tidak hanya berfungsi untuk menghambat terjadinya tekuk local pada badan tetapi juga meningkatkan kekuatan dan kekakuan elemen link (Yurisman dkk 2010)

2.4 Perilaku link

Link adalah salah satu elemen yang terdapat dalam sistem EBF yang berperilaku sebagai balok pendek yang kedua sisinya bekerja gaya geser dengan arah yang berlawanan serta momen lentur yang diakibatkan oleh gaya geser tersebut. Elemen link merupakan elemen yang diharapkan sebagai elemen yang menyerap energy gempa dan mengalami proses plastifikasi pada bagian elemen yang rusak tersebut sebagai sarana pemancaran energy (Yurisman dkk 2010)



Gambar 2.4 Statis Equilibrium

Perilaku link (ditentukan oleh panjang pendeknya elemen link):

- moment link

- shear link

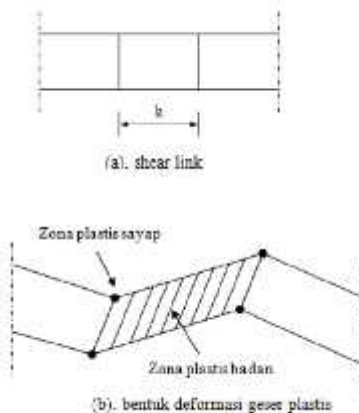
Berdasarkan kajian yang telah dilakukan perilaku link sebagai shear link terbukti memberikan tingkat disipasi energi yang lebih besar jika dibandingkan dengan moment link, hal ini disebabkan oleh leleh geser yang dimiliki oleh shear link mempunyai nilai daktilitas dan kapasitas inelastik yang tinggi (Kurdi dkk 2013).

Mekanisme kelelahan link, kapasitas energi disipasi dan mode kegagalan sangat erat hubungannya dengan faktor panjang dari link. Untuk link pendek, perilaku inelastik dominan terhadap gaya geser, sebaliknya untuk link panjang perilaku inelastik didominasi oleh lentur. Untuk link antara (*intermediate link*), kelelahan dipengaruhi oleh geser dan lentur (Moestopo dan Panjaitan 2011)

Kekakuan lateral suatu portal EBF adalah fungsi utama dari perbandingan panjang link dengan panjang balok yang dimilikinya (e/L). Semakin pendek link, perilaku akan semakin kaku mendekati perilaku portal sistem CBF. Sebaliknya semakin panjang elemen link, kekakuan portal akan semakin berkurang mendekati portal sistem MRF. Terjadinya plastifikasi yang berpusat di elemen link akan memberikan nilai daktilitas yang relatif tinggi pada sistem portal EBF. Hal ini karena elemen link mempunyai kapasitas inelastik yang relatif tinggi bila dibandingkan dengan elemen-elemen lainnya (Wijaya 2010).

Seperti telah dijelaskan di atas bahwa elemen link berguna untuk mendisipasi energi gempa, maka elemen tersebut harus direncanakan secara khusus agar fungsi tersebut dapat tercapai. Untuk mencapai fungsi ini perencanaan elemen link harus

memperhatikan bahwa elemen-elemen lain diluar link harus tetap berprilaku elastis saat elemen link telah mencapai kelelahan.



Gambar 2.5 Pembentukan sendi
(Sumber :Wijaya 2010)

2.5 Kapasitas Tekan Penampang Bresing

Faktor reduksi untuk bresing yang dibebani oleh gaya tekan disyaratkan menurut LRFD adalah sebesar 0.85. Besarnya kapasitas tekan bresing ditentukan oleh cek terhadap kelangsungan elemen bresing, tekuk lentur dan tekuk lentur-torsi. Kriteria pertama yang harus dipenuhi oleh bresing adalah batas kelangsungan

Penampang bresing tidak boleh terjadi tekuk lokal karena akan menyebabkan terjadinya pengurangan kapasitas tekan (Wijaya 2010).

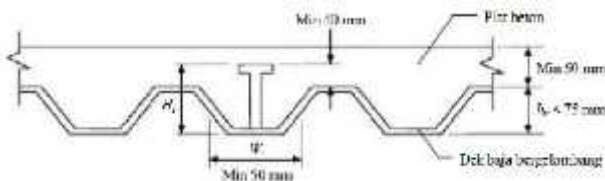
2.6 Pengaku Badan (Web Stiffner)

Struktur dikatakan mempunyai perilaku yang baik pada kondisi inelastic jika struktur mampu menyerap/ memancarkan energy dalam jumlah yang besar secara terus menerus tanpa mengalami kehilangan kekuatan dan kekakuan sampai siklus

pembebanan yang tinggi. Tekuk badan yang terjadi pada link geser (shear link) menimbulkan sejumlah kehilangan kemampuan mendisipasi energy dan kapasitas daya dukung beban. Gejala ini dapat dikontrol dan diperlambat dengan penambahan pengaku badan (Kurdi dkk 2013).

2.7 Steel Floor Deck

Steel Floor Deck yaitu suatu material yang bisa difungsikan sebagai media pengganti konvensional berbentuk papan lemar yang terbuat dari bahan baja galvanis berkuatan tinggi. Biasanya *steel floor deck* dipakai sebagai pengganti bekisting dalam proses pembuatan lantai atau atap dari beton dan juga berfungsi sebagai penulangan positif satu arah. Penggunaan dek baja juga dapat dipertimbangkan sebagai dukungan dalam arah lateral dari balok sebelum beton mulai mengeras. Arah dari gelombang dek baja biasanya diletakkan tegak lurus balok penompangnya.



Gambar 2.6 Penampang *Steel Floor Deck*

2.8 Pondasi

Untuk bangunan tinggi perlu dijamin keamanannya baik itu kestabilan konstruksi bangunan maupun pondasi bangunan tersebut. Khusus untuk bangunan tinggi pondasi dangkal tidak mungkin lagi, sehingga digunakan pondasi tiang pancang sebagai alternatif pemilihan pondasi yang harus memenuhi syarat kestabilan suatu konstruksi yang ditinjau dari pembebanan vertikal, lateral dan momen yang bekerja pada pondasi tersebut (Ahmad 2012)

Pondasi suatu bangunan berfungsi untuk memindahkan beban-beban pada struktur atas kedalam tanah. Fungsi ini dapat berlaku secara baik bila kestabilan terhadap daya dukung tanah dapat terpenuhi. Untuk itu perlu diperhatikan desain dari konstruksi pondasi yang mempengaruhi pemindahan beban dari bangunan atas ke tanah sehingga daya dukung tanah yang diperkirakan masih dapat ditolerir. Dalam hal kondisi lapisan tanah yang sangat bervariasi dibutuhkan pemikiran dan pengujian tanah baik lapangan maupun di laboratorium dalam merancang atau merencanakan konstruksi pondasi yang cukup kuat, sehingga keamanan struktur dapat terjamin (Purba dan Sianturi 2013).

Dasar perhitungan pondasi tiang pancang dan pondasi bor pile di antaranya daya dukung *singel pile* dan *group pile*, analisa gaya geser negatif. Karena mengakibatkan beban tambahan, secara umum pondasi tiang pancang atau pondasi bor pile mempunyai ketentuan antara lain : untuk meneruskan gaya vertikal yang bekerja padanya untuk di teruskan ke lapisan tanah pendukung; dengan adanya hubungan antara kepala tiang yang satu dengan lainnya mampu menahan bentuk ke arah mendatar. Dalam desain hendaknya diperhatikan perubahan daya dukung yang mungkin terjadi dilapangan, oleh karena itu hendaknya konstruksi didesain untuk berbagai kemungkinan faktor aman baik selama masa konstruksi, pasca konstruksi, dan angka keamanan selama masa penggunaan konstruksi (Tambunan 2012)

Secara umum tiang dapat dikelompokkan menjadi dua bagian besar yaitu tiang dengan tahanan ujung yang menembus lapisan tanah lunak sampai lapisan keras atau batuan. Lapisan keras atau batuan dapat dianggap kaku, dan tiang dengan tahanan gesek yang menahan beban yang diberikan dengan cara tahanan gesek yang terjadi antara tanah dan permukaan tiang.

2.9 Sambungan

Dalam perencanaan konstruksi baja, penyambungan antar profil baja adalah hal yang paling umum dilakukan, jadi sambungan tidak dapat dihindari atau diabaikan (Sianturi dan Tarigan)

Sambungan berdasarkan atas kemampuan tahanan terhadap perputaran yang dibagi 2 type yaitu:

1. *Type Fully Restrained* (FR) yaitu penahanan penuh atau *rigid*/ kaku mempunyai tahanan yang kaku dan tidak dapat berputar
2. *Type partially Restrained* (PR) yaitu penahanan tidak penuh, tidak cukup *rigid* untuk mempertahankan sudut akibat beban.

Pada kenyataannya bahwa tidak ada sambungan yang benar-benar kaku/ *rigid* sempurna atau flexible sempurna. Sehingga sambungan dapat diklasifikasikan:

1. *Simple connection* (sambungan sendi)
 - Sambungan dapat memberikan perputaran pada ujung balok secara bebas
 - Sambungan tidak boleh mengakibatkan momen lentur terhadap elemen struktur yang disambung
 - Detail sambungan harus mempunyai kapasitas rotasi yang cukup
 - Dapat memikul gaya reaksi yang bekerja
2. *Semi- rigid connection* (antara *simple* dan *rigid*)
 - Sambungan tidak memiliki kekakuan yang cukup untuk mempertahankan sudut antara elemen yang disambung
 - Dianggap mempunyai kapasitas yang cukup untuk memberikan tahanan yang dapat diukur terhadap perubahan sudut tersebut
 - Tingkat kapasitas tersebut terhadap beban yang bekerja ditetapkan berdasarkan percobaan

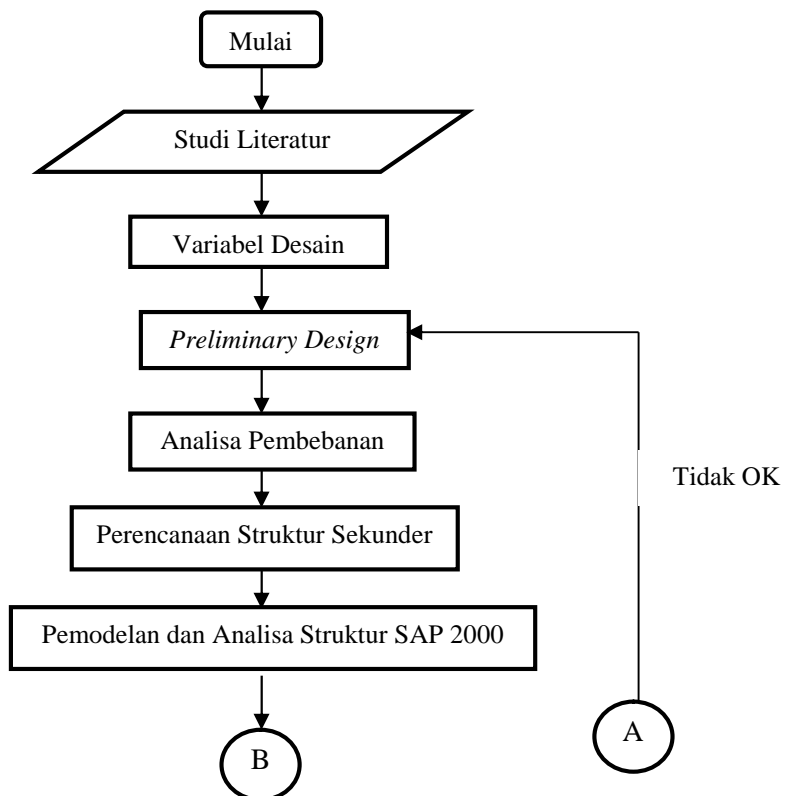
3. Rigid Connection

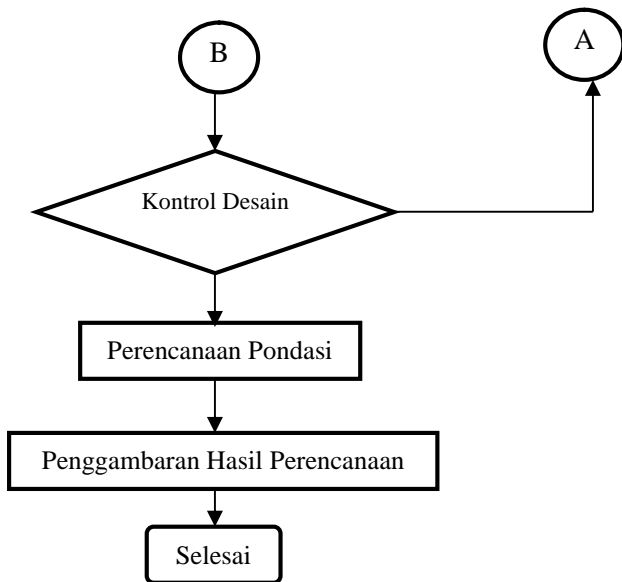
- Sambungan dianggap memiliki kekakuan yang cukup untuk mempertahankan sudut diantara elemen-elemen yang disambung.

BAB III METODOLOGI

3.1 Langkah- Langkah Perencanaan Struktur Gedung Hotel Pop

Tugas akhir ini akan membahas tentang perencanaan struktur bangunan baja dengan menggunakan sistem rangka bresing eksentrik. Urutan pekerjaan dilakukan dengan tahapan-tahapan sebagai berikut





Gambar 3.1 Alur Perencanaan Struktur Baja

3.2 Studi Literatur

Dalam perencanaan struktur bangunan baja ini digunakan peraturan yang tercantum pada beberapa literatur yaitu:

1. Tata Cara Perencanaan Struktur Baja Untuk Bangunan Gedung (SNI 03-1729-2015)
2. Tata Cara Perhitungan Struktur Beton Untuk Bangunan Gedung (SNI 03-2847-2013)
3. Tata Cara Perencanaan Ketahanan Gempa Untuk Rumah Dan Gedung (SNI 03-1726-2012)
4. Beban minimum untuk perancangan gedung dan struktur lain (SNI 1727-2013)

3.3 Variabel Design

Pada tugas akhir ini struktur atas direncanakan menggunakan struktur baja dengan Sistem Rangka Bresing Eksentrik dan struktur bawahnya menggunakan pondasi tiang pancang. Pada permodelan struktur baja direncanakan sistem rangka baja D-Braced EBF.

3.4 Preliminary Design

Struktur yang akan direncanakan adalah struktur bangunan baja dengan sistem EBF yang akan dianalisa gaya dalamnya menggunakan program SAP 2000. Berikut data spesifikasi struktur yang direncanakan:

- Nama Gedung : Gedung Hotel Pop
- Lokasi Rencana : Padang
- Fungsi : Hotel
- Struktur Utama : Baja
- Sistem Struktur : *Eccentrically Braced Frame*
- Jumlah Lantai : 10 Lantai
- Rencana Pondasi : Tiang Pancang

Data Material

- Profil Kolom : Profil KC (BJ 41)
 $f_y = 250 \text{ Mpa}$; $f_u = 410 \text{ Mpa}$
- Profil Balok : Profil WF (BJ 41)
 $f_y = 250 \text{ Mpa}$; $f_u = 410 \text{ Mpa}$
- Profil Bracing : Profil WF (BJ 41)
 $f_y = 240 \text{ Mpa}$; $f_u = 410 \text{ Mpa}$
- Data tanah : Data tanah yang digunakan berdasarkan nilai SPT, dipakai untuk merencanakan pondasi.

3.5 Analisis Pembebanan

Dalam melakukan perencanaan struktur bangunan harus memperhatikan beban- beban yang akan terjadi pada bangunan

tersebut. Sehingga diperlukannya suatu pendekatan dengan asumsi yang mendekati keadaan yang sesungguhnya.

3.5.1 Beban Mati

Beban mati merupakan semua berat sendiri gedung dan segala unsur tambahan yang merupakan bagian yang tak terpisahkan dari gedung tersebut. Sesuai SNI 1727:2013, yang termasuk beban mati adalah seperti dinding, lantai, atap, plafon, tangga dan finishing.

3.5.2 Beban Hidup

Beban hidup merupakan semua beban yang terjadi akibat penghunian atau penggunaan suatu gedung, termasuk beban-beban pada lantai yang berasal dari barang-barang yang dapat berpindah. Beban hidup pada lantai gedung diambil menurut SNI 1727:2013.

3.5.3 Beban Angin

Analisa beban angin pada gedung ini mengacu pada SNI 1727-2013 tabel 27.2-1, dengan langkah-langkah sebagai berikut:

- a. Menentukan kategori risiko bangunan gedung atau struktur lain (Tabel 1.5-1).
- b. Menentukan faktor kepentingan (Tabel 1.5-2).
- c. Kecepatan angin dasar (V), pasal 26.5.1
- d. Menentukan faktor arah angin (K_d), pasal 26.7.
- e. Menentukan kategori eksposur.
- f. Menentukan faktor topografi (K_{zt}), pasal 26.8.2 dan persamaan 26.8-1.
- g. Faktor efek tiupan angin (G), pasal 26.9.
- h. Menentukan koefisien tekanan internal (GC_{pi}), pasal 26.11
- i. Menentukan koefisien eksposur tekanan velositas (K_{zt}), pasal 27.3.1.
- j. Menentukan tekanan velositas (q_z), pasal 27.3.2.
- k. Menentukan koefisien tekanan eksternal (C_p), pasal 27.4.1.
- l. Menghitung tekanan angin (), persamaan 27.4-1.

3.5.4 Beban Gempa

Analisa pembebanan gempa pada gedung ini mengacu pada SNI 1726-2012, dengan tinjauan lokasi gempa dari daerah Padang. Adapun langkah-langkanya yaitu:

- 1) Menetapkan kategori risiko bangunan berdasarkan Tabel 3.1.

Tabel 3.1 Kategori Risiko Bangunan (SNI 1726-2012 Pasal 4.1.2)

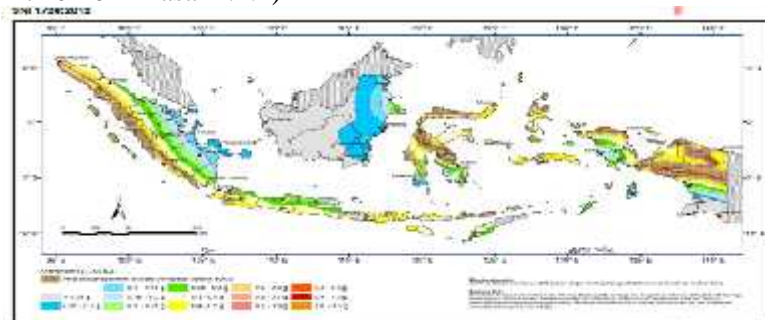
Pemanfaatan Bangunan Atau Struktur Tabel 3.4 (lanjutan)	Kategori Resiko
Gedung dan non gedung yang memiliki risiko rendah terhadap jiwa manusia pada saat terjadi kegagalan	I
Semua gedung dan struktur lain, kecuali yang termasuk kategori risiko I, III, dan IV	II
Gedung dan non gedung, yang tidak termasuk kategori risiko IV, yang memiliki potensi untuk menyebabkan dampak ekonomi yang besar dan/ atau gangguan massal terhadap kehidupan masyarakat sehari-hari bila terjadi kegagalan. Gedung dan non gedung yang tidak termasuk kategori risiko IV, (termasuk, tetapi tidak dibatasi untuk fasilitas manufaktur, proses, penanganan, penyimpanan, penggunaan atau tempat pembuangan bahan bakar berbahaya, bahan kimia berbahaya, limbah berbahaya atau bahan yang mudah meledak) yang mengandung bahan beracun atau peledak di mana jumlah kandungan bahannya melebihi nilai batas yang ditetapkan instansi yang berwenang dan cukup menimbulkan bahaya bagi masyarakat jika terjadi kebocoran.	III
Gedung dan non gedung yang ditunjukkan sebagai fasilitas yang penting. Gedung dan non gedung yang dibutuhkan untuk mempertahankan fungsi struktur bagunan lain yang masuk dalam kategori risiko IV.	IV

- 2) Menentukan faktor keutamaan gempa berdasarkan Tabel 3.2.

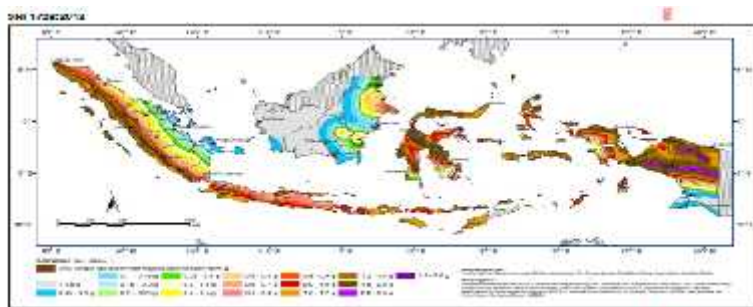
Tabel 3.2Faktor Keutamaan Gempa (SNI-03-1726-2012 Pasal 4.1.2)

Kategori Resiko	Faktor Keutamaan Gempa, I_e
I	1,00
II	1,00
III	1,25
IV	1,50

- 3) Menentukan parameter percepatan gempa terpetakan (S_s , dan SI) berdasarkan Gambar 3.2 dan Gambar 3.3. (SNI - 1726-2012 Pasal 4.1.2)



Gambar 3.2Peta Untuk S1 (T=1s, probabilitas terlampaui 2% dalam 50 tahun (redaman 5%))



Gambar 3.3 Peta Untuk SS (T=0,2s, probabilitas terlampaui 2% dalam 50 tahun (redaman 5%))

4) Menentukan klasifikasi situs berdasarkan Tabel 3.3.

Tabel 3.3 Klasifikasi Situs (SNI 03-1726-2012 Pasal 5.3)

Kelas Situs	\bar{V}_s	\bar{N} or \bar{N}_{ch}	\bar{S}_u
SA (batuan keras)	>1500 m/s	N/A	N/A
SB (batuan)	750 sampai 1500 m/s	N/A	N/A
SC (tanah keras, sangat padat dan batuan lunak)	350 sampai 750 m/s	>50	100 kN/m ²

SD (tanah sedang)	175 sampai 350 m/s	15-50	50 sampai 100 kN/m ²
SE (tanah lunak)	< 175 m/s	< 15	<50kN/m ²

	<p>Atau setiap profil tanah yang mengandung 3 m tanah dengan karakteristik sebagai berikut :</p> <p>Indeks plastisitas, $PI > 20$</p> <p>Kadar air, $w = 40\%$</p> <p>Kuat geser niralir $\sigma_u < 25 \text{ kPa}$</p>
SF (tanah khusus yang membutuhkan investigasi geoteknik spesifik dan analisis respons spesifik-situs)	<p>Setiap profil lapisan tanah yang memiliki salah satu atau lebih dari karakteristik berikut :</p> <p>Rawan dan berpotensi gagal atau runtuh akibat beban gempa seperti mudah likuifikasi, lempung sangat senditif, tanah tersementasi lemah</p> <p>Lempung sangat organik dan/ atau gambut (ketebalan $H > 3 \text{ m}$)</p>
	<ul style="list-style-type: none"> - Lempung berplastisitas sangat tinggi (ketebalan $H > 7,5 \text{ m}$ dengan $PI > 75$) Lapisan lempung lunak/ setengah teguh dengan ketebalan $H > 35 \text{ m}$ dengan $\sigma_u < 50 \text{ kPa}$

- 5) Menentukan koefisien situs (F_a dan F_v) berdasarkan Tabel 3.4 dan Tabel 3.5.

Tabel 3.4 Koefisien Situs F_a (SNI 03-1726- 2012 Pasal 6.2)

Klasifikasi Situs	Parameter Respon Spektral Percepatan Gempa MCE _R pada periode pendek				
	$S_s = 0,25$	$S_s = 0,5$	$S_s = 0,75$	$S_s = 1,0$	$S_s = 1,25$
A	0,8	0,8	0,8	0,8	0,8
B	1,0	1,0	1,0	1,0	1,0
C	1,2	1,2	1,1	1,0	1,0
D	1,6	1,4	1,2	1,1	1,0
E	2,5	1,7	1,2	0,9	0,9
F	Lihat ketentuan pasal 6.10.1				
Catatan : Gunakan interpolasi linier untuk nilai-nilai antara S_s					

Tabel 3.5 Koefisien Sitas F_v (SNI 03-1726- 2012 Tabel 5)

Klasifikasi Sitas	Parameter Respon Spektral Percepatan Gempa MCE _R pada periode 1 s				
	$S_I = 0,1$	$S_I = 0,2$	$S_I = 0,3$	$S_I = 0,4$	$S_I = 0,5$
A	0,8	0,8	0,8	0,8	0,8
B	1,0	1,0	1,0	1,0	1,0
C	1,7	1,6	1,5	1,4	1,3
D	2,4	2,0	1,8	1,6	1,5
E	3,5	3,2	2,8	2,4	2,4
F	Lihat ketentuan pasal 6.10.1				

Catatan : Gunakan interpolasi linier untuk nilai-nilai antara S_I

- 6) Menghitung parameter percepatan desain spektral dengan Persamaan (3.1) dan (3.2) (SNI 03-1726-2012 pasal 6.2 dan pasal 6.3).

$$S_{DS} = \frac{2}{3} S_{MS} \quad (3.1)$$

$$S_{D1} = \frac{2}{3} S_{M1} \quad (3.2)$$

dengan :

$$S_{MS} = F_a \times S_s \quad (3.3)$$

$$S_{M1} = F_v \times S_1 \quad (3.4)$$

- 7) Menentukan kategori desain seismik berdasarkan Tabel 3.6 dan Tabel 3.7.

Tabel 3.6Kategori Desain Seismik Berdasarkan Parameter Respons Percepatan Pada Periode Pendek (SNI 03-1726-2012 Pasal 6.5)

Nilai S_{DS}	Kategori Resiko	
	I atau II atau III	IV
$S_{DS} < 0,167$	A	A
$0,167 \leq S_{DS} < 0,33$	B	C
$0,33 \leq S_{DS} < 0,50$	C	D
$0,50 \leq S_{DS}$	D	D

Tabel 3.7Kategori Desain Seismik Berdasarkan Parameter Respons Percepatan Pada Periode 1 s (SNI 03-1726-2012 Tabel 7)

Nilai S_{DI}	Kategori Resiko	
	I atau II atau III	IV
$S_{DI} < 0,067$	A	A
$0,067 \leq S_{DI} < 0,133$	B	C
$0,133 \leq S_{DI} < 0,20$	C	D
$0,20 \leq S_{DI}$	D	D

- 8) Menentukan koefisien modifikasi respon (R), faktor pembesaran defleksi (C_d), dan faktor kuat lebih sistem (ϕ) berdasarkan Tabel 3.8. (SNI-1726-2012 Pasal 7.2.2)
- 9) Menentukan prosedur analisis gaya gempa berdasarkan Tabel 3.9.
Pemilihan prosedur analisis struktur ditentukan oleh beberapa faktor, yaitu kategori desain gempa, sistem struktur, sifat dinamik dari struktur, tingkat keteraturan, atau dengan persetujuan pihak yang berkompeten di bidangnya.
- 10) Melakukan analisis statik ekuivalen
 - a) Menentukan periode fundamental perkiraan, T_a , dengan Persamaan (3-8) (SNI-1726-2012 pasal 7.8.2.1).

$$T_a = C_t \times h_n^x \quad (3.5)$$

Keterangan :

C_t , dan x = koefisien parameter waktu getar perkiraan (Tabel 3.12)

h_n = tinggi struktur

Dalam tugas akhir menggunakan yaitu analisis statik ekuivalen dan analisis modal respon spektrum.

Tabel 3.8 Koefisien Dan Faktor Desain Untuk Sistem Penahan Gaya Gempa (SNI 03-1726-2012 Tabel 9)

Sistem Penahan Gaya Gempa	Koefisien Respons Modifikasi, R	Faktor Kuat Lebih, Ω_0	Faktor Pembesar an Defleksi, C_d	Batasan Sistem Struktur Termasuk Batasan Tinggi Struktur				
				Kategori Desain Seismik				
				B	C	D	E	F
1. Rangka baja pemiku I momen khusus	8	3	5 ^{1/2}	TB	TB	TB	TB	TB
2. Rangka batang baja pemiku I momen khusus	7	3	5 ^{1/2}	TB	TB	48	30	TI
3. Rangka baja pemiku I momen menengah	4 ^{1/2}	3	4	TB	TB	10	TI	TI
4. Rangka baja pemiku	3 ^{1/2}	3	3	TB	TB	TI	TI	TI

I momen biasa								
Rangka Baja dengan bresing eksentrik	8	2 ^{1/2}	4	TB	TB	TB	TB	TB
Catatan : TB = tidak dibatasi ; I = tidak diizinkan								

Tabel 3.9 Prosedur Analisis Yang Diizinkan (SNI-1726-2012 Tabel 13)

Kategori Desain Seismik	Karakteristik Struktur	Analisis Gaya Lateral Ekuivalen	Analisis Spektrum Respons Ragam	Prosedur Riwayat Respons Seismik
B,C	Bangunan dengan Kategori Risiko I atau II dari konstruksi rangka ringan dengan ketinggian tidak melebihi 3 tingkat.	I	I	I
	Bangunan lainnya dengan Kategori Risiko I atau II, dengan ketinggian tidak melebihi 2 tingkat.	I	I	I
	Semua struktur lainnya	I	I	I
D, E, F	Bangunan dengan Kategori Risiko I atau II dari konstruksi rangka ringan dengan ketinggian tidak melebihi 3 tingkat	I	I	I
	Bangunan lainnya dengan Kategori Risiko I atau II, dengan ketinggian tidak	I	I	I

	melebihi 2 tingkat.			
	Struktur beraturan dengan $T < 3,5T_a$, dan semua struktur dari konstruksi rangka ringan.	I	I	I
	Struktur tidak beraturan dengan $T < 3,5T_a$ dan hanya mempunyai ketidakberaturan horizontal Tipe 2, 3, 4, atau 5 atau ketidakberaturan vertikal Tipe 4, 5a, atau 5b.	I	I	I
	Semua struktur lainnya	TI	I	I
Catatan : I : Diizinkan, TI : Tidak Diizinkan				

Tabel 3.10Nilai Koefisien Waktu Getar Perkiraan C_t Dan x (SNI-1726-2012 Tabel 15)

Tipe Struktur	C_t	x
Sistem rangka pemikul momen dengan rangka menahan 100% gaya gempa yang disyaratkan dan tidak dilingkupi atau dihubungkan dengan komponen yang lebih kaku dan akan mencegah rangka dari defleksi jika dikenai gaya gempa :		
Rangka baja pemikul momen	0,0724	0,8
Rangka beton pemikul momen	0,0466	0,9
Rangka baja dengan bresing eksentris	0,0731	0,75
Rangak baja dengan bresing terkekang terhadap tekuk	0,0731	0,75
Semua sistem struktur lainnya	0,0488	0,75

- b) Menentukan batas periode struktur dengan Persamaan

$$T \leq C_u \times T_a \quad (3.6)$$

Keterangan :

T_a = periode fundamental perkiraan

C_u = koefisien untuk batas atas periode hasil perhitungan
(Tabel 3.11)

**Tabel 3.11 Koefisien Untuk Batas Atas Periode Hasil Perhitungan
(SNI-1726-2012 Tabel 14)**

Parameter Percepatan Respon Spektral Desain Pada 1 s, S_{DI}	Koefisien C_u
0,4	1,4
0,3	1,4
0,2	1,5
0,15	1,6
0,1	1,7

- c) Menghitung koefisien respon seismik dengan Persamaan (3.7) (SNI-1726-2012 Pasal 7.8.1.1).

$$C_s = \frac{S_{DS}}{T \left(\frac{R}{I_e} \right)} \quad (3.7)$$

Keterangan:

S_{DS} = parameter akselerasi desain spektral periode pendek

R = koefisien modifikasi respon

I_e = faktor keutamaan gempa

nilai C_s di atas tidak perlu melebihi nilai Persamaan :

$$C_s = \frac{S_{D1}}{T \left(\frac{R}{I_e} \right)} \quad (3.8)$$

Dan nilai C_s tidak boleh kurang dari nilai Persamaan

$$C_s = 0,044 \cdot S_{DS} \cdot I_e \geq 0,01 \quad (3.9)$$

Untuk struktur dengan lokasi di mana $S_1 = 0,6$ g, nilai C_s tidak boleh kurang dari nilai Persamaan (3.10)

$$C_s = \frac{0,5S_1}{\left(\frac{R}{I_e} \right)} \quad (3.10)$$

Keterangan :

S_{DI} = parameter percepatan desain spektral periode 1 s

T = periode fundamental struktur

S_I = parameter percepatan desain spektral maksimum

- d) Menghitung gaya geser dasar seismik dengan Persamaan (3.11) (SNI-1726-2012 pasal 7.8.1).

$$V = C_s W \quad (3.11)$$

Keterangan :

C_s = koefisien respon seismik

W = berat efektif seismik

- e) Menghitung distribusi vertikal gaya gempa dengan Persamaan (3.12) (SNI-1726-2012 pasal 7.8.3)

$$F_x = C_{vx} V \quad (3.12)$$

dengan :

$$C_{vx} = \frac{w_x h_x^k}{\sum_{i=1}^n w_i h_i^k} \quad (3.13)$$

Keterangan :

C_{vx} = faktor distribusi vertikal

w_x dan w_i = bagian dari berat total seismik efektif struktur (W) yang ditempatkan pada tingkat i atau x

h_i dan h_x = tinggi dari dasar ke tingkat i atau x

k = eksponen yang terkait dengan periode struktur yang nilainya sebagai berikut :

- untuk struktur dengan periode 0,5 s, $k=1$
- untuk struktur dengan periode 2,5 s, $k=2$
- untuk struktur dengan periode antara 0,5 s sampai 2,5 s, $k=2$ atau ditetapkan dengan interpolasi antara 1 dan 2

- f) Menghitung distribusi horizontal gaya di tiap lantai dengan persamaan (3.14) (SNI-1726-2012 pasal 7.8.4)

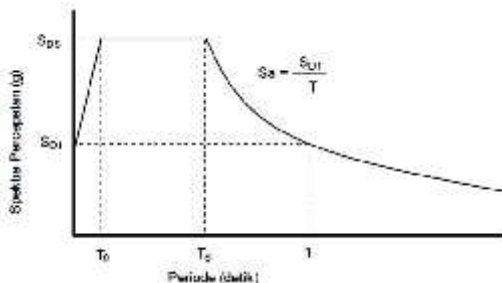
$$V_x = \sum_{i=x}^n F_i \quad (3.14)$$

Keterangan :

F_i = bagian dari gaya geser dasar seismik yang terjadi pada tingkat i

- 11) Melakukan analisis modal respon spektrum

Analisis modal respon spektrum dilakukan menggambar grafik respon spektrum rencana ke dalam program analisis struktur. Ketentuan mengenai penggambaran grafik respon spektrum dijelaskan pada Gambar 3.4.



Gambar 3. 4Ketentuan Penggambaran Grafik Respon Spektrum

Pada periode $T < T_0$, respon spektra percepatan :

$$S_a = S_{DS} \left(0,4 + 0,6 \frac{T}{T_0} \right) \quad (3.15)$$

Pada periode $T_0 < T < T_s$, respon spektra percepatan :

$$S_a = S_{DS} \quad (3.16)$$

Pada $T > T_s$, respon spektra percepatan :

$$S_a = \frac{S_{DI}}{T} \quad (3.17)$$

Dengan :

$$T_0 = \frac{0,2S_{DI}}{S_{DS}} \quad (3.18)$$

$$T_S = \frac{S_{DI}}{S_{DS}} \quad (3.19)$$

3.5.5 Kombinasi Pembebatan

Kombinasi pembebatan sesuai dengan SNI 03-1727-2013 dengan kombinasi sebagai berikut:

$$1.1,4D \quad (3.20)$$

$$2.1,2D + 1,6L + 0,5 \text{ (Lr atau S atau R)} \quad (3.21)$$

$$3.1,2D + 1,6 \text{ (Lr atau S atau R)} + (L \text{ atau } 0,5 W) \quad (3.22)$$

$$4.1,2D + 1,0W + L + 0,5 \text{ (Lr atau S atau R)} \quad (3.23)$$

$$5.1,2D + 1,0E + L+0,2 S \quad (3.24)$$

$$6.0,9D +1,0 W \quad (3.25)$$

$$7.0,9 D +1,0 E \quad (3.26)$$

3.6 Analisis Struktur

Untuk mengetahui gaya dalam yang timbul pada elemen struktur akibat beban yang bekerja maka dilakukan analisa struktur dengan menggunakan program bantu SAP2000. Gaya-gaya dalam tersebut adalah gaya geser, gaya aksial, momen lentur, dan momen puntir. Selain itu juga digunakan untuk mengetahui pergeseran antar tingkat (*interstory drift*). Terdapat dua metode dalam melakukan analisa struktur, yaitu metode analisa modal yang diselesaikan dengan metode integrasi langsung yang diselesaikan dengan Analisa Riwayat Waktu (*Time History Analysis*) dan Analisa Ragam Spektrum Respons (*Respons Spectrum Analysis*). Dalam Tugas Akhir ini metode yang digunakan adalah dengan Analisa Ragam Spektrum Respons.

3.7 Konsep Perencanaan Struktur Baja

3.7.1 Kontrol Desain Penampang Balok

Pada perencanaan elemen balok direncanakan menggunakan profil IWF sesuai dengan ketentuan SNI 1729-2015 Tabel B.4.1b yaitu :

a. Cek terhadap kelangsungan penampang :

Untuk Sayap (flange) :

- Penampang kompak ($\} \leq \} _p$) :

$$\} = \frac{b}{2tf} \leq \} _p = 0.38 \sqrt{\frac{E}{f_y}} \quad (3.27)$$

- Penampang non kompak ($\} _p < \} \leq \} _r$) :

$$\} _r = 1.0 \sqrt{\frac{E}{f_y}} \quad (3.28)$$

Untuk badan (web) :

- Penampang kompak ($\} \leq \} _p$) :

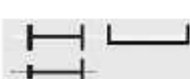
$$\} = \frac{h_w}{t_w} \leq \} _p = 3.76 \sqrt{\frac{E}{f_y}} \quad (3.29)$$

- Penampang non kompak ($\} _p < \} \leq \} _r$) :

$$\} _r = 5.70 \sqrt{\frac{E}{f_y}} \quad (3.30)$$

Untuk melakukan perencanaan digunakan Tabel Pemilihan untuk Penggunaan Bab Pasal F.

Tabel 3.12 Pemilihan untuk Penggunaan Bab Pasal F SNI 1729:2015 tentang Spesifikasi untuk Bangunan Gedung Bj

Pasal dalam Bab F	Penampang Melintang	Kolong Ingrin Sinyo	Kolong Sinyan Badan	Kuat Batas
F2		C	C	M, LTB
F3		NG, S	C	ITR, F, R
F4		C, NG, S	C, NG	Y, ITB, F-E, FY
F5		C, NG, S	S	Y, ITB, F-E, FY
F6		C, NG, S	NA	M, FLS

b. Kuat nominal lentur penampang

Sebuah balok yang memikul beban lentur murni terfaktor Mu harus direncanakan sedemikian rupa sehingga selalu terpenuhi hubungan :

$$M_u \leq w M_n \quad (3.31)$$

Keterangan :

M_u = momen lentur terfaktor

w = faktor tahanan = 0,9 (DFBK)

M_n = kuat nominal dari momen lentur penampang

- **Kuat nominal lentur penampang dengan pengaruh tekuk lokal**

Kelangsungan penampang kompak, tak kompak, dan langsing suatu komponen struktur yang memikul lentur, ditentukan oleh kelangsungan elemen-elemen tekannya. Untuk penampang yang digunakan dalam perencanaan balok pada struktur baja tahan gempa, kuat nominal lentur penampang dengan pengaruh tekuk lokal ditentukan berdasarkan Bab Pasal F (F2-F6) SNI 1729:2015

- a) Penampang kompak :

$$M_n = M_p - (M_p - 0,7F_y \cdot S_x) \left(\frac{\{ \} - \{ \}_{pf}}{\{ \}_{rf} - \{ \}_{pf}} \right) \quad (3.32)$$

- b) Penampang non kompak:

$$M_n = M_p - (M_p - 0,7F_y \cdot S_x) \left(\frac{\{ \} - \{ \}_{pf}}{\{ \}_{rf} - \{ \}_{pf}} \right) \quad (3.33)$$

- c) Penampang langsing:

$$M_n = \frac{0,9E k_c - S_x}{\{ \}^2} \quad (3.34)$$

- **Kuat nominal lentur penampang dengan pengaruh tekuk lateral**

Tahanan komponen struktur dalam memikul momen lentur tergantung dari panjang bentang antara dua pengekang yang berdekatan, L . Kuat nominal lentur penampang dengan pengaruh tekuk lateral ditentukan berdasarkan Bab Pasal F (F2-F6) SNI 1729:2015

- a) Bentang pendek: $L_b < L_p$

$$L_p = 1,76 \cdot r_y \sqrt{\frac{E}{f_y}} \quad (3.35)$$

$$M_n = M_p$$

- b) Bentang menengah: $L_p < L_b < L_r$

$$M_n = Cb (M_p - (M_p - 0.7 Fy.Sx) \left(\frac{\lambda_r - \lambda}{\lambda_r - \lambda_f} \right)) \leq M_p \quad (3.36)$$

c) Bentang panjang : $L_b > L_r$

$$M_n = F_{cr} S_x \quad M_p \quad (3.37)$$

c. Kuat geser

Plat badan tak diperkaku yang memikul gaya geser terfaktor perlu (V_n) harus memenuhi

$$V_u \leq w V_n \quad (3.38)$$

Keterangan :

w = faktor tahanan = 0,90

V_n = tahanan geser nominal plat badan

Kekuatan geser nominal dari plat badan yang tak diperkaku menurut keadaan batas dari pelelehan geser dan tekuk geser adalah

$$V_n = 0.6 f_y A_w C_v \quad (3.39)$$

Dengan ketentuan nilai C_v diambil sebagai berikut :

a. Bila $\sqrt{k_v / f_y} \leq 1.10 \sqrt{E / f_y}$

Maka,

$$C_v = 1.0 \quad (3.40)$$

b. Bila $1.10 \sqrt{k_v / f_y} < \sqrt{k_v / f_y} \leq 1.37 \sqrt{E / f_y}$

Maka,

$$C_v = \frac{1.10 \sqrt{k_v / f_y}}{\sqrt{k_v / f_y}} \quad (3.41)$$

c. Bila $\sqrt{k_v / f_y} > 1.37 \sqrt{E / f_y}$

Maka,

$$C_v = \frac{1.51k_v E}{\left(\frac{h}{t_w}\right)^2 f_y} \quad (3.42)$$

Koefisien tekuk geser plat badan, k_v untuk badan tanpa pengaku transversal ditentukan sebagai berikut :

$$\frac{h}{t_w} < 260 \quad (3.43)$$

Maka nilai $k_v = 5.0$

Keterangan :

A_w = Luas dari badan, tinggi keseluruhan dikalikan ketebalan badan

h = Jarak bersih antara sayap dikurangi jari-jari sudut

t_w = Ketebalan badan

3.7.2 Kontrol Desain Penampang Kolom

Elemen struktur yang hanya menahan gaya aksial tekan yang dinamakan kolom. Kolom menahan beban aksial melalui titik sentroid. Kolom direncanakan menggunakan profil KC sesuai dengan ketentuan SNI 1729-2015 Tabel B4.1b.

a) Kuat tekan nominal kolom

Kekuatan tekan nominal (P_n) harus ditentuan berdasarkan batas dari tekuk lokal lentur (SNI 1729:2015 Pasal E3)

$$P_n = F_{cr} A_g \quad (3.44)$$

Tegangan kritis F_{cr} ditentukan sebagai berikut:

(a) Bila $KL/r \leq 4,71 \sqrt{\frac{E}{f_y}}$ atau $\frac{f_y}{f_e} \leq 2,25$

$$F_{cr} = \left[0,658^{\frac{F_y}{F_e}} \right] f_y \quad (3.45)$$

(b) Bila $KL/r > 4,71\sqrt{E/f_y}$ atau $f_y/f_e > 2,25$ (3.46)

$$F_{cr} = 0,877 F_e$$

b) Momen nominal

Momen nominal pada kolom diperhitungkan sama dengan balok dengan dua arah sumbu penampang yaitu x dan y.

$$M_u \leq wM_n \quad (3.47)$$

Keterangan :

M_u = momen lentur terfaktor

w = faktor tahanan = 0,9

M_n = kuat nominal dari momen lentur penampang

Untuk profil KC sesuai dengan ketentuan SNI 1729-2015

Tabel B4.1b.

Untuk Sayap (flange) :

$$\lambda = \frac{bf}{2tf}; \lambda_p = 0,64 \sqrt{\frac{k_c E}{f_y}} \quad (3.48)$$

< p → penampang tidak langsing

> p → penampang langsing

Untuk badan (web) :

- $\lambda = \frac{h}{tw}; \lambda_p = 1,49 \sqrt{\frac{E}{f_y}}$ (3.49)

< p → penampang tidak langsing

> p → penampang langsing

3.7.3 Desain Balok- Kolom

- Persamaan interaksi antara gaya normal tekan dan lentur:

- Momen lentur dominan

$$\frac{P_r}{P_c} \geq 0,20 \rightarrow \frac{P_r}{P_c} + \frac{8}{9} \left(\frac{M_{rx}}{\phi_b M_{cx}} + \frac{M_{ry}}{\phi_b M_{cy}} \right) \leq 1,00 \quad (3.50)$$

- Gaya aksial dominan

$$\frac{P_r}{P_c} < 0,20 \rightarrow \frac{P_r}{2P_c} + \frac{8}{9} \left(\frac{M_{rx}}{M_{cx}} + \frac{M_{ry}}{M_{cy}} \right) \leq 1,00 \quad (3.51)$$

Keterangan:

P_u = Gaya normal tekan akibat beban terfaktor

M_{ux} dan M_{uy} = Momen lentur (amplifikasi) terhadap sumbu x dan sumbu y

P_n = Kekuatan nominal tekan

M_{nx} dan M_{ny} = Kekuatan nominal lentur terhadap sumbu x dan sumbu y

c = 0,85 faktor reduksi untuk kuat tekan

b = 0,90 faktor reduksi untuk kuat lentur

c) Amplifikasi Momen

Kekuatan lentur orde oertama yang diperlukan, M_r , dan ketentuan aksial, P_r , dari semua komponen struktur harus ditentukan sebagai berikut:

$$M_r = B_1 M_{nt} + B_2 M_t \quad (3.52)$$

$$P_r = P_{nt} + B_2 P_t \quad (3.53)$$

Keterangan :

B_1 = Pengali untuk menghitung efek $P - u$, ditentukan untuk setiap komponen struktur yang menahan tekan dan lentur.

B_2 = Pengali untuk menghitung efek $P - u$, ditentukan untuk setiap tingkat dari struktur.

- M_{lt} = Momen orde pertama menggunakan kombinasi beban DFBK.
 M_{nt} = Momen orde pertama menggunakan kombinasi beban DFBK.
 M_r = Momen lentur orde kedua yang diperlukan menggunakan kombinasi beban DBK.
 P_{lt} = Gaya aksial orde pertama menggunakan kombinasi beban DFBK
 P_{nt} = Gaya aksial orde pertama menggunakan kombinasi beban DFBK
 P_r = Kekuatan aksial orde kedua yang diperlukan menggunakan kombinasi beban DFBK
- **Pengali B_1 untuk Efek $P - u$**

$$B_1 = \frac{C_m}{1 - r \left(\frac{P_r}{P_{el}} \right)} \geq 1 \quad (3.54)$$

Dengan,

$$r = 1.00 \text{ (DFBK)}$$

C_m = koefisien dengan asumsi tanpa translasi lateral dari portal yang ditentukan sebagai berikut :

$$C_m = 0.6 - 0.4 \left(\frac{M_1}{M_2} \right) \quad (3.55)$$

Dengan M_1 dan M_2 dihitung dari analisis orde pertama, adalah momen terkecil dan terbesar pada ujung-ujung dari bagian komponen.

P_{el} = Kekuatan tekuk kritis elastis komponen struktur dalam bidang lentur, dihitung berdasarkan asumsi tanpa translasi pada ujung-ujung komponen struktur.

$$P_{el} = \frac{f^2 EI^*}{(K_1 L)^2} \quad (3.56)$$

Dengan,

EI^* = kekakuan lentur yang diperlukan yang harus digunakan dalam analisis ($= 0.8 f_c EI$ bila digunakan dalam metode analisis langsung dengan f_c adalah seperti ditetapkan pada Bab C SNI 1729:2015 untuk panjang efektif dan metode analisis orde pertama)

E = Modulus elastisitas baja 200000 MPa

I = Momen inersia bidang lentur, mm⁴

L = Panjang komponen struktur, mm

K_1 = faktor panjang efektif dalam bidang lentur, dihitung berdasarkan asumsi translasi lateral pada ujung-ujung komponen struktur.

- **Pengali B_2 untuk Efek $P - \Delta$**

$$B_2 = \frac{1}{1 - \frac{r P_{story}}{P_{e_story}}} \quad (3.57)$$

Dengan,

r = 1.00 (DFBK)

P_{story} = Beban vertikal total didukung oleh tingkat menggunakan kombinasi beban DFBK yang sesuai, termasuk beban-beban dalam kolom-kolom yang bukan merupakan bagian dari sistem pernahan gaya lateral.

P_{e_story} = Kekuatan tekuk kritis elastis untuk tingkat pada arah translasi yang diperhitungkan, ditentukan dengan analisis tekuk *sidesway* atau sebagai berikut:

$$P_{e-story} = R_M \frac{HL}{\Delta_H} \quad (3.58)$$

Dengan,

- $R_M = 1 - 0.15 \left(\frac{P_{mf}}{P_{story}} \right)$
- L = Tinggi tingkat, mm
- P_{mf} = Beban vertikal total pada kolom dalam tingkat yang merupakan bagian dari portal momen.
- Δ_H = Simpangan tingkat dalam orde pertama.
- H = Geser tingkat, dalam arah translasi harus diperhitungkan, dihasilkan oleh gaya-gaya lateral yang digunakan untuk mengitung Δ_H , N

- d) Persamaan interaksi aksial momen
 Interaksi beban aksial tekan dan lentur pada bidang simetris komponen struktur komposit ditentukan berdasarkan

- Untuk $\frac{P_r}{P_c} \geq 0.2$

$$\frac{P_r}{P_c} + \frac{8}{9} \left(\frac{M_{rx}}{M_{cx}} + \frac{M_{ry}}{M_{cy}} \right) \leq 1.0 \quad (3.59)$$

- Untuk $\frac{P_r}{P_c} < 0.2$

$$\frac{P_r}{2P_c} + \left(\frac{M_{rx}}{M_{cx}} + \frac{M_{ry}}{M_{cy}} \right) \leq 1.0 \quad (3.60)$$

Keterangan :

- P_r = Kekuatan aksial perlu menggunakan kombinasi beban DFBK, N

M_r = Kekuatan momen perlu menggunakan kombinasi
beban DFBK, Nmm

W_c = faktor ketahanan untuk tekan = 0.90

W_b = faktor ketahanan untuk lentur = 0.90

$P_c = W_c P_n$ = Kekuatan aksial desain, N

$M_c = W_b M_n$ = Kekuatan lentur desain, Nmm

3.7.4 Desain Elemen Link

3.7.4.1 Kuat Elemen *Link Beam*

Kekuatan (geser dan lentur) batas pada elemen link ditentukan dengan persamaan berikut:

$$M_p = Z_x \cdot f_y \quad (3.61)$$

$$V_p = 0,6 Aw C_v \quad (3.62)$$

Keterangan:

M_p = Momen plastis penampang

Z_x = Modulus plastis penampang

f_y = Tegangan leleh penampang

V_p = Gaya geser plastis penampang

h = Tinggi penampang

t_f = Tebal *flens*

t_w = Tebal *web*

Kuat geser rencana link, V_n harus lebih besar daripada

V_u dengan: $V_u = 1,1xR_yxV_n$

V_n = Kuat geser nominal *link*, diambil yang terkecil
diantara V_p atau $2M_p/e$

ϕ_v = Faktor reduksi geser 0,9

e = Panjang *link*

$$\phi_v V_n = 0,6 \phi f_y (h - 2t_f) t_w$$

$$M_n \approx M_p \quad (3.64)$$

$$\phi M_n = M_u \quad (3.65)$$

$$\phi V_n = V_u \quad (3.66)$$

Keterangan:

M_n = Momen lentur rencana link

M_u = Momen lentur perlu

= faktor reduksi lentur 0,9

3.7.4.2 Panjang Elemen *Link Beam*

Ketentuan mengenai panjang link (e) adalah sebagai berikut:

Link geser (short links):

$$e \leq \frac{1,6M_p}{V_p} \quad (3.67)$$

Link medium (intermediate links):

$$\frac{1,6M_p}{V_p} \leq e \leq \frac{2,6M_p}{V_p} \quad (3.68)$$

Link lentur (short links):

$$e \geq \frac{2,6M_p}{V_p} \quad (3.69)$$

3.7.4.3 Sudut Rotasi *Link Beam*

Sudut rotasi link beam seharusnya tidak melebihi nilai berikut:

- 0,08 radian untuk panjang *link* $e < 1,6M_p/V_p$
Pengaku $30tw - d/5$
- 0,02 radian untuk panjang *link* $e > 2,6M_p/V_p$
Pengaku $52 tw-d/5$
- Interpolasi linier antara 0,08-0,02 radian jika panjang *link* $1,6M_p/V_p < e < 2,6M_p/V_p$

3.8 Sambungan

Perencanaan sambungan dalam Tugas Akhir ini berdasarkan SNI 03-1729-2002

3.8.1 Sambungan baut

- Kontrol Jarak Baut (SNI 03-1729-2002 Ps.13.4)

Jarak tepi minimum = 1,5db

Jarak tepi maksimum = $(4tp + 100) \text{ mm}$ atau
200 mm

Jarak minimum antar baut	= 3db
Jarak maksimum antar baut	= 15tp atau 200 mm

- Kekuatan Rencana Baut

Kuat geser:

$$V_d = \emptyset_f \cdot V_n = \emptyset_f \cdot r_1 \cdot f_u^b \cdot A_{b,m} \quad (3.70)$$

Kuat tumpu:

$$R_d = \emptyset_f \cdot V_n = 2,4 \emptyset_f \cdot d_b \cdot t_r \cdot f_u \quad (3.71)$$

Dari nilai V_d dan R_d dipilih nilai terkecil

Jumlah baut (n):

$$n = \frac{V_d}{\emptyset R_n} \quad (3.72)$$

Dimana:

\emptyset_f = Faktor reduksi kekuatan fraktur (0,85)

r_1 = 0,5 untuk baut tanpa ulir pada bidang geser

= 0,4 untuk baut ada ulir pada bidang geser

f_u^b = Tegangan tarik putus baut

A_b = Luas bruto penampang baut

f_u = Tegangan tarik putus yang terendah dari baut dan pelat

t_p = Tebal tertipis pelat

- Kekuatan baut memikul beban tarik

Kekuatan rencana tarik dari baut :

$$\emptyset_f T_n = \emptyset_f \cdot 0,75 \cdot f_u^b \cdot A_b \quad (3.73)$$

Dimana :

f_u^b = tegangan tarik putus baut

A_b = luas bruto penampang baut

\emptyset_f = faktor reduksi (0,75)

- Baut mutu tinggi tipe gesek

a. Baut hanya menerima beban geser (V_u)

Kuat geser nominal :

$$\emptyset V_n = \emptyset \cdot 1,13 \cdot T_b \cdot m \quad (3.74)$$

Dimana :

- μ = koefisien geser
- m = jumlah bidang geser
- T_b = gaya tarik minimum
- \emptyset = 1 (untuk lubang standar)
- 0,85 (untuk lubang selot pendek dan lubang besar)
- 0,70 (untuk lubang selot panjang \pm arah kerja beban)
- 0,60 (untuk lubang selot panjang // arah kerja beban)

- b. Baut menerima beban kombinasi geser (V_u) dan tarik (T_u)

Disamping beban geser (V_u), baut juga menerima beban tarik (T_u), maka kuat geser nominal direduksi sebagai berikut :

$$V_d = \emptyset V_n \left[1 - \frac{T_u}{1,13 T_b} \right] \quad (3.75)$$

- Sambungan Sendi (Simple Connection)

Sambungan simple connection ini direncanakan pada hubungan balok induk dengan balok anak.

- a. Baut A

Baut tipe tumpu

Kuat geser :

$$\emptyset R_n = 0,8 \cdot r_1 \cdot f_u^b \cdot A_b \cdot m \quad (3.76)$$

Dimana :

- m = jumlah bidang geser
- r_1 = 0,50 (tanpa ulir pada bidang geser baut)
0,40 (ada ulir pada bidang geser baut)
- f_u^b = tegangan tarik putus baut
- A_b = luas bruto penampang baut

Kuat tumpu :

$$\emptyset R_n = 0,8 \cdot 2,4 \cdot F_u \cdot d_b \cdot t_p \quad (3.77)$$

Dimana :

d_b = diameter nominal baut

t_p = tebal plat (diambil yang terkecil dari tebal profil siku (t) dengan tebal web profil WF (tw))

f_u = tegangan tarik putus terkecil antara baut dan plat

$\emptyset R_n$ = diambil harga terkecil dari kuat geser dan kuat tumpu.

Baut tipe gesek

$$\emptyset V_n = \emptyset .1,13.\sim T_b.m \quad (3.78)$$

Dimana :

μ = koefisien geser (0,35)

m = jumlah bidang geser

T_b = gaya tarik minimum

\emptyset = 1 (untuk lubang standar)

b. Baut B

$\emptyset R_n$ = diambil harga terkecil dari:

Geser : $\emptyset R_n = 0,8.r_l.f_u^b.A_b.m$

Tumpu : $\emptyset R_n = 0,8.2,4.F_u.d_b.t_p$

- Sambungan kaku (Rigid Connection)

Sambungan rigid connectio ini direncanakan pada hubungan balok induk dengan kolom.

Penerimaan beban dianggap sebagai berikut :

- Beban geser (P_u) diterima sambungan pada badab (profil dobel siku)
- Beban momen (M_u) diterima oleh sayap balok yang kemudian diteruskan ke baja, lalu ke kolom (profil T)

$$2T = \frac{M_u}{d_b} \quad (3.79)$$

Dimana :

d_b adalah jarak antara 2T atas dengan 2T bawah

M_u adalah momen yang bekerja pada sambungan

Akibat gaya tarik 2T pada badan atau T pada satu flens, ujung flens menumpu pada kolom mengakibatkan flens

kolom menjungkit. Maka timbul gaya Q (Prying Force).

Gaya pada baut bertambah Q menjadi :

$$B = T + Q \quad (3.80)$$

3.8.2 Sambungan Las

$$R_u \quad R_{nw}$$

Dimana :

$$\varnothing_f \cdot R_{nw} = 0,75 \cdot t_e \cdot (0,6 \cdot f_{uw}) \text{ (las)} \quad (3.81)$$

$$\varnothing_f \cdot R_{nw} = 0,75 \cdot t_e \cdot (0,6 \cdot f_u) \text{ (bahan dasar)} \quad (3.82)$$

Keterangan :

f_{uw} = tegangan tarik putus logam las

f_u = tegangan tarik putus bahan dasar

t_e = tebal efektif las (mm)

Tabel 3.13 Tebal Pelat Baja

Tebal bagian paling tebal, t [mm]	Tebal minimum las sertif. t_s [mm]
$t < 7$	3
$7 \leq t \leq 10$	4
$10 < t \leq 15$	5
$15 < t$	6

3.9 Pondasi

Pada umumnya tiang-tiang dalam fungsinya menahan beban lateral melalui sebuah poer. Poer ini sebagai penggabung dari tiang-tiang individu menjadi satu kelompok tiang dan sekaligus sebagai penyalur beban pada setiap tiang. Pada suatu perencanaan, poer dianggap kaku sehingga distribusi beban-beban luar yang melalui poer ke setiap tiang dapat dianggap linear.

3.9.1 Perencanaan Tiang Pancang

Perencanaan struktur tiang pondasi menggunakan pondasi tiang pancang. Data tanah yang digunakan berdasarkan hasil dari SPT. Secara umum daya dukung tiang yang berdiri sendiri dirumuskan sebagai berikut:

$$Q_{ult} = Q_e + Q_f - W \quad (3.83)$$

Dimana:

Q_{ult} = *Ultimate pile capacity*

Q_e = *End-bearing capacity*

Q_f = *Side friction capacity*

W = Berat tiang

Besarnya Q_e dapat ditentukan dengan menggunakan teori daya dukung sebagai berikut:

$$Q_e = (CN_c + \gamma N_q + 0,5 \gamma DN) \quad (3.84)$$

Dimana:

c = Luas dasar penampang tiang

c = cohesi

γ = Tegangan vertikal tanah pada dasar tiang

γ = Berat volume tanah

D = Diameter tiang

$N_c, N_q, N\gamma$ = Faktor-faktor daya dukung

Sedangkan besarnya Q_f menggunakan rumus:

$$= \int_0^L \phi \tau a dz = \int_0^L \phi (Ca + k\sigma_v t g \varphi_a) dz \quad (3.85)$$

Dimana:

a = Kekuatan geser tanah

Ca = Kekuatan tekanan tanah

τ_n = Tegangan normal antara tiang dan tanah

φ_a = Sudut geser antara tiang dan tanah

sehingga kapasitas daya dukung tiang berdiri sendiri adalah:

$$Q_{ult} = \Delta(CN_c + \gamma N_q + 0,5 \gamma DN\gamma) + \int_0^L \phi (Ca + k\sigma_v t g \varphi_a) dz - W \quad (3.86)$$

Pondasi tiang yang berdiri sendiri akan memikul sepenuhnya beban-beban yang bekerja padanya. Sedangkan untuk pondasi kelompok tiang tidak demikian halnya. Sehubungan dengan bidang keruntuhan di daerah ujung dari masing-masing tiang yang tergabung dalam kelompok tiang saling overlap, maka efisiensi dari daya dukung satu tiang akan menurun di dalam kelompok tiang.

Perumusan efisiensi kelompok yang dipakai dengan menggunakan persamaan conversi Labarre:

$$E_k = 1 - \theta \left[\frac{(n-1)m + (m-1)n}{90mn} \right] \quad (3.87)$$

Dimana:

m = Jumlah tiang dalam baris

n = Jumlah tiang dalam kolom

= Arc tg D/s (dalam derajat)

D = Diameter tiang

s = jarak antara pusat ke pusat tiang

Perkiraaan jumlah tiang pancang:

$$n = \frac{\Sigma P}{P_{ijin}} \quad (3.88)$$

Syarat: $P_{max} < P_{ijin}$

$$P_{max} = \frac{\Sigma P}{n} + \frac{M_y \cdot x_{max}}{\Sigma_x^2} + \frac{M_x \cdot y_{max}}{\Sigma_y^2} > P_{ijin} \quad (3.89)$$

$$P_{min} = \frac{\Sigma P}{n} - \frac{M_y \cdot x_{max}}{\Sigma_x^2} - \frac{M_x \cdot y_{max}}{\Sigma_y^2} > 0 \quad (3.90)$$

Dimana:

n = Jumlah tiang pancang

M_x = Momen yang bekerja pada arah X

M_y = Momen yang bekerja pada arah Y

X_{max} = Jarak terjauh as tiang pancang terhadap sumbu X

Y_{max} = Jarak terjauh as tiang pancang terhadap sumbu y

x^2 = Jumlah kuadrat jarak as tiang terhadap sumbu X

y^2 = Jumlah kuadrat jarak as tiang terhadap sumbu y

Untuk perhitungan jarak tiang ditentukan dengan persyaratan:

- Untuk jarak as ke as tiang pancang
 $2D < S < 2,5D$ (3.91)

- Untuk jarak as tiang pancang ke tepi poer
 $1,5D < S_1 < 2D$ (3.92)

3.9.2 Perencanaan Poer

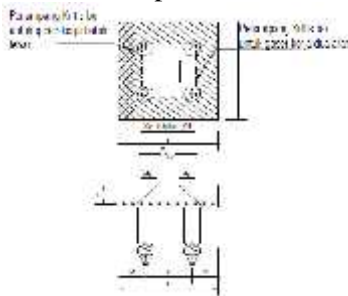
- Kontrol tebal minimum poer

Menurut SNI 03-2847-2013 tebal pondasi tapak diatas tulangan bawah tidak boleh kurang dari 150 mm untuk pondasi diatas tanah, atau kurang dari 300 mm untuk pondasi tapak (*footing*) diatas tiang pondasi.

- Kontrol geser pons pada pile cap akibat beban kolom
Kekuatan geser pondasi di sekitar kolom atau diding yang dipikulnya harus ditentukan menurut mana yang lebih menentukan dari 2 (dua) kondisi tinjauan, baik sebagai kerja balok lebar satu arah maupun sebagai kerja dua arah.

Dengan kerja balok lebar, pondasi dianggap sebagai balok lebar dengan penampang kritis pada lebar sepenuhnya. Biasanya kondisi ini jarang menentukan dalam desain. Kerja dua arah pada pondasi dimaksudkan untuk memeriksa kekuatan geser pons.

Penampang kritis untuk geser pons ini terletak pada sepanjang lintasan yang terletak sejauh $\frac{1}{2} d$ dari muka kolom yang dipikul pondasi. Gambar 3.6 menjelaskan cara menentukan penampang kritis, baik pada asumsi kerja lebar balok maupun dua arah.



Gambar 3.5 Kontrol Geser Pons Pada Poer Akibat Beban Kolom

- Kontrol geser satu arah

$$\phi V_n \geq V_u \quad (3.93)$$

$$V_n = V_c + V_s \quad (3.94)$$

$$\phi V_n \geq V_u \quad (3.95)$$

$$V_c = 0,17\lambda\sqrt{f_c}b_w d \quad (3.96)$$

- Kontrol geser dua arah

Kuat geser yang disumbangkan beton diambil yang terkecil

$$\phi V_n \geq V_u \quad (3.97)$$

$$V_c = 0,17\left(1 + \frac{2}{\beta}\right)\lambda\sqrt{f_c}b_o d \quad (3.98)$$

$$V_c = 0,083\left(\frac{a_s d}{a_c}\right)\lambda\sqrt{f_c}b_o d \quad (3.99)$$

$$V_c = 0,033\lambda\sqrt{f_c}b_o d \quad (3.100)$$

Keterangan:

c = Rasio sisi panjang terhadap sisipendek penampang kolom

= 40 untuk kolom dalam

= 30 untuk kolom tepi

= 20 untuk kolom sudut

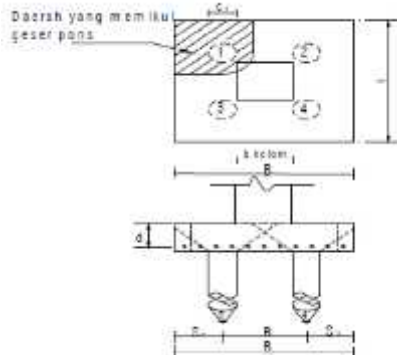
B0 = Parameter penampang kritis

d = Tinggi manfaat pelat

- Kontrol geser pons pada poer akibat beban aksial dari tiang pancang

Kekuatan geser pondasi di daerah sekitar tiang pancang yang dipikul harus ditentukan dengan kerja dua arah pada pelat pondasi. Penampang kritis untuk geser pons ini terletak pada sepanjang lintasan yang terletak sejauh $\frac{1}{2}d$ dari muka tiang pancang, yang mengelilingi tiang pancang yang dipikul oleh pelat pondasi. Untuk mencapai kondisi kerja balok dua arah, maka syarat

jarak tiang pancang ke tepi harus lebih besar dari 1,5 kali diameter tiang pancang tersebut. Gambar 3.7 menjelaskan cara menentukan penampang kritis akibataksial tiang pancang pada asumsi kerja dua arah.



Gambar 3.6 Kontrol Geser Pons Pada Poer Akibat Tiang Pancang

Kuat geser yang disumbangkan beton:

$$\emptyset V_n \geq V_u \quad (3.101)$$

Dimana V_c diambil nilai terkecil dari persamaan:

$$V_c = 0,17 \left(1 + \frac{2}{\beta} \right) \lambda \sqrt{f_c} b_o d \quad (3.102)$$

$$V_c = 0,083 \left(\frac{\alpha_s d}{b_o} \right) \lambda \sqrt{f_c} b_o d \quad (3.103)$$

$$V_c = 0,33 \lambda \sqrt{f_c} b_o d \quad (3.104)$$

3.10 Menyusun Gambar Rencana

Hasil perhitungan struktur atas (plat, balok, kolom dan link) dan struktur bawah dituangkan ke dalam gambar rencana. Gambar rencana dibuat dengan software Autocad.

BAB IV

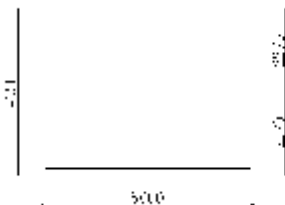
PERENCANAAN STRUKTUR SEKUNDER

4.1 Perencanaan Pelat Lantai

Perencanaan pelat lantai yang ada pada gedung ini menggunakan Bondex dengan tabel perencanaan praktis yang ada dari PT. SUPER FLOOR DECK. Spesifikasi yang digunakan untuk perencanaan pelat lantai yaitu:

Bondex : Tebal = 0,75 mm
Mutu Beton ($f'c$) : K-225 kg/cm²
Mutu baja tulangan : U-48

4.1.1 Perencanaan Pelat Lantai Atap



Gambar 4.1 Denah Pelat Lantai Atap

Beban Hidup (PPIUG 1983)	:	
Lantai atap	q_{Latap}	= 100 kg/m ²
Beban Mati (PPIUG 1983)	:	
Berat aspal 2 cm = 2x14		= 28 kg/m ²
Berat plafon		= 11 kg/m ²
Berat penggantung		= 7 kg/m ²
Berat <i>ducting</i> mekanikal		= 10 kg/m ² +
	q_{Dtotal}	= 56 kg/m ²

Beban Berguna :

$$\begin{aligned} Q_u &= q_D + q_L \\ &= 56 + 100 \\ &= 156 \text{ kg/m}^2 \quad 200 \text{ kg/m}^2 (\text{mengikuti brosur}) \end{aligned}$$

Data-data perencanaan pelat bondex

Berdasarkan tabel perencanaan praktis untuk bentang menerus dengan tulangan negative dengan tanpa penyangga (*no props*), maka didapatkan data-data sebagai berikut :

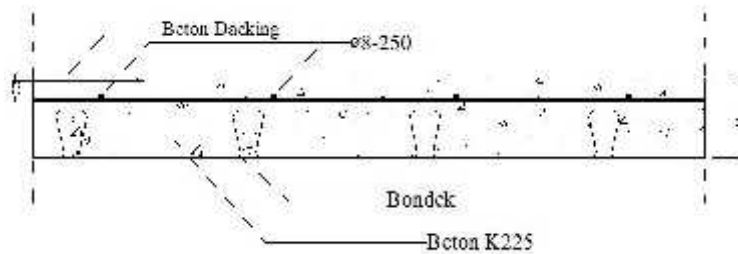
- Bentang = 2,275 m
 - Beban berguna = 200 kg/m²
 - Tulangan negative = 1,71 cm²/m
 - Tebal pelat beton = 0,09 m
 - Digunakan tulangan diameter 8 mm ($A_s = 0,503 \text{ cm}^2$)
 - Jumlah tulangan yang dibutuhkan adalah :
- $$n = \frac{\text{luas yang dibutuhkan}}{\text{luas tulangan dipasang}}$$
- $$n = \frac{1,71}{0,503} = 3,4 \approx 4 \text{ buah}$$
- Jarak antar tulangan = $\frac{1000}{4} = 250 \text{ mm}$

Maka untuk pelat atap dipasang tulangan negative Ø8–250

- Kontrol jarak spasi tulangan :
$$S_{\text{pasang}} = 250 \text{ mm} < S_{\text{max}} = 3 \times d = 3 \times 90 = 270 \text{ mm} \quad \text{OK}$$
- Kontrol perlu tulangan susut + suhu :

Didapatkan susut pakai = 0,0016 $f_y = 480 \text{ Mpa}$
As susut pasang = $0,0016 \times 90 \times 1000$
= 144 mm^2

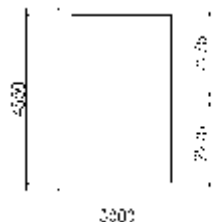
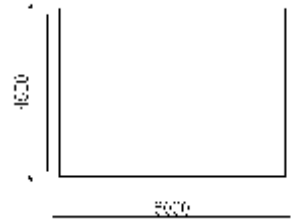
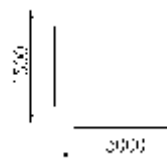
Dipasang tulangan Ø8–250 mm (A_s pasang = $201,062 \text{ mm}^2$)

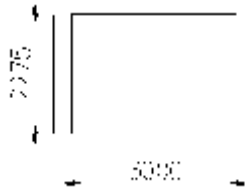
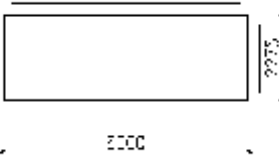
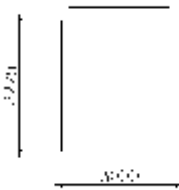
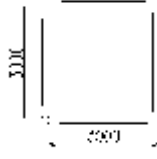
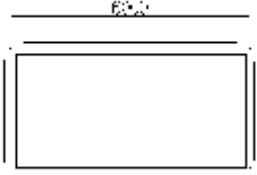


Gambar 4.2 Penulangan Lantai Atap

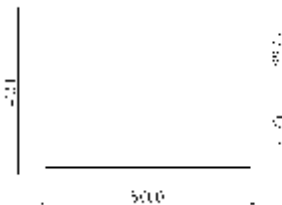
Terdapat 8 jenis pelat atap pada gedung ini, dengan perhitungan yang sama seperti perhitungan diatas maka didapat:

Tabel 4.1 Rekap Perhitungan Pelat Atap

Tipe Pelat	Gambar	Tebal Pelat	Tulangan Negatif
1		9 cm	Ø8 –250
2		9 cm	Ø8– 250
3		9 cm	Ø8– 250
4		9 cm	Ø8– 250

5		9 cm	$\varnothing 8 - 250$
6		9 cm	$\varnothing 8 - 250$
7		10 cm	$\varnothing 10 - 250$
8		9 cm	$\varnothing 10 - 250$
9		10 cm	$\varnothing 10 - 250$

4.1.2 Perencanaan Pelat Lantai Hotel



Gambar 4.3 Denah Pelat Lantai Hotel

$$\begin{array}{lcl}
 \text{Beban Hidup (PPIUG 1983)} & : & \\
 \text{Lantai hotel} & q_{L\text{hotel}} & = 250 \text{ kg/m}^2 \\
 \text{Beban Mati (PPIUG 1983)} & : & \\
 \text{Berat spesi } 2 \text{ cm} = 0,02 \times 2200 & & = 44 \text{ kg/m}^2 \\
 \text{Berat keramik } 1 \text{ cm} = 1 \times 24 & & = 24 \text{ kg/m}^2 \\
 \text{Berat plafond + penggantung} = 11+7 & & = 18 \text{ kg/m}^2 \\
 \text{Berat } ducting \text{ mekanikal} & & = 10 \text{ kg/m}^2 + \\
 & & q_{D\text{total}} = 96 \text{ kg/m}^2
 \end{array}$$

Beban Berguna :

$$\begin{aligned}
 Q_u &= q_D + q_L \\
 &= 250 + 96 \\
 &= 346 \text{ kg/m}^2 \quad 400 \text{ kg/m}^2
 \end{aligned}$$

Didapat data data perencanaan pelat bondex:

- Bentang 2,275 m
- Beban berguna = 400 kg/m²
- Dari tabel brosur (bentang menerus dengan tulangan negatif dengan tanpa penyangga), didapatkan :
 - tebal pelat 9 cm, dan tulangan negatif 2,48 cm²/m
 - Digunakan tulangan Ø 8 (As = 0,503 cm²)

Jumlah tulangan yang dibutuhkan tiap meter adalah :

$$n = \frac{2,48}{0,503} = 4,9 \quad 5 \text{ buah}$$

- Jarak antar tulangan $s = \frac{1000}{5} = 200$ mm, maka digunakan jarak 200 mm

Dipasang tulangan negatif Ø8 – 200

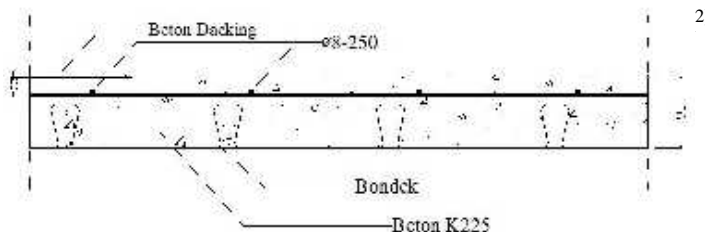
$$S_{\text{pasang}} = 200 \text{ mm} < S_{\text{max}} = 3 \times h = 3 \times 90 = 270 \text{ mm} \quad \text{OK}$$

- Kontrol perlu tulangan susut + suhu :

$$\text{Didapatkan susut pakai} = 0,0016 \quad f_y = 480 \text{ Mpa}$$

$$\text{As susut pasang} = 0,0016 \times 90 \times 1000$$

$$= 144 \text{ mm}^2$$



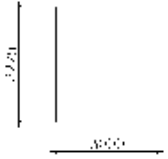
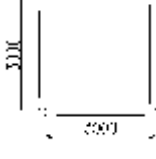
Gambar 4.4 Penulangan Lantai Hotel

Terdapat 8 jenis pelat lantai pada gedung ini, dengan perhitungan yang sama seperti perhitungan diatas maka didapat:

Tabel 4.2 Rekap Perhitungan Pelat Lantai

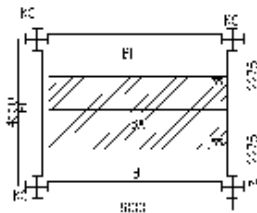
Tipe Pelat	Gambar	Tebal Pelat	Tulangan Negatif
1		9 cm	Ø8–200

2		9 cm	Ø8-200
3		9 cm	Ø8-200
4		9 cm	Ø8-200
5		9 cm	Ø8-200
6		9 cm	Ø8-200

7		10 cm	Ø10– 200
8		10 cm	Ø10– 200

4.2 Perencanaan Balok Anak

4.2.1 Perencanaan Balok Anak Atap bentang 6 m



Gambar 4.5 Denah balok anak atap 6m

Balok anak yang terletak pada lantai atap direncanakan menggunakan profil WF 250 x 175 x 7 x 11, dengan data-data sebagai berikut:

d	= 244 mm	ix	= 10,4 cm
bf	= 175 mm	iy	= 4,18 cm
tf	= 11 mm	Zx	= 535 cm ³
tw	= 7 mm	Zy	= 171 cm ³
A	= 56,24 cm ²	Sx	= 502 cm ³
q	= 44,1 kg/m	Sy	= 113 cm ³
Ix	= 6120 cm ⁴	r	= 16 mm
		h	= 190 mm

➤ Beban-beban Yang Bekerja

1. Beban Mati

Berat pelat bondek	= 10,1 kg/m ²
Berat Beton = 0,09 x 2400	= 216 kg/m ²
Beban Plafon +penggantung =11+7	= 18 kg/m ²
Beban aspal 2 cm = 2x14	= 28 kg/m ²
Berat <i>ducting</i> mekanikal	= 10 kg/m ² +
	<hr/>
	= 282,1 kg/m ²
282,1 kg/m ² x 2,275 m	= 641,8kg/m
Berat Profil = 44,1 kg/m	= 44,1 kg/m
Sambungan dll (10%)	= 68,59kg/m +
	<hr/>
	= 754,47kg/m

2. Beban Hidup Berdasarkan SNI 1727-2013:

$$\text{Lantai Atap} q_{\text{Latap}} = 100 \text{ kg/m}^2 \times 2,275 \text{ m} = 227,5 \text{ kg/m}$$

3. Beban Berfaktor

$$q_U = 1,2 \cdot q_D + 1,6 \cdot q_L = 1,2 \cdot 754,465 + 1,6 \cdot 227,5 = 1269,36 \text{ kg/m}$$

➤ Gaya Dalam Yang Bekerja Pada Balok

- Momen:

$$\begin{aligned} Mu &= \frac{1}{8} \times q_U \times L^2 \\ &= \frac{1}{8} \times 1269,36 \times 6^2 \\ &= 5712,11 \text{ kgm} \end{aligned}$$

- Gaya Geser:

$$\begin{aligned} Vu &= \frac{1}{2} \times q_U \times L \\ &= \frac{1}{2} \times 1269,36 \times 6 \\ &= 3808,07 \text{ kg} \end{aligned}$$

➤ Kontrol Kuat Momen Lentur

- Pelat sayap (SNI 1729-2015):

$$\frac{bf}{2tf} = \frac{175}{2 \times 11} = 7,954$$

$$\} _p = 0,38 \sqrt{\frac{E}{f_y}} = 10,75$$

$$\frac{bf}{2tf} < \} _p \rightarrow \text{Penampang Kompak}$$

- Pelat badan SNI 1729-2015:

$$\frac{h}{tw} = \frac{190}{7} = 27,142$$

$$\} _p = 3,76 \sqrt{\frac{E}{f_y}} = 106,35$$

$$\frac{h}{tw} \leq \} _p \rightarrow \text{Penampang Kompak}$$

- Karena penampang kompak, maka $M_n = M_p$
- $M_p = Zx \cdot f_y$
 $= 535 \text{ cm}^3 \times 2500 \text{ kg/m}^2$
 $= 1337500 \text{ kg.cm} = 13375 \text{ kg.m}$

- Kontrol Penampang Terhadap Tekuk Lateral SNI 1729-2015 :
Jarak penahan lateral (L_b) = 40 cm

$$L_p = 206,082 \text{ cm} \quad] \quad \text{Dari Tabel (Lp & Lr)}$$

$$L_r = 669,211 \text{ cm} \quad]$$

$L_b < L_p \rightarrow \text{Bentang Pendek}$

$$M_{nx} = M_{px} = Zx \cdot f_y$$

$$= 535 \times 2500$$

$$= 1337500 \text{ kgcm}$$

$$= 13375 \text{ kg.m}$$

$$M_{ny} = M_{py} = Zy \times f_y$$

$$= 171 \times 2500$$

$$= 427500 \text{ kgcm}$$

$$= 4275 \text{ kgm}$$

➤ Persamaan Interaksi

$$\frac{M_{ux}}{\phi_b M_{ax}} + \frac{M_{uy}}{\phi_b M_{ay}} \leq 1,0$$

$$\frac{5712,11}{0,913375} \leq 1,0 \rightarrow 0,5 < 1,0 \quad (\text{OK})$$

➤ Kontrol Geser Berdasarkan SNI 1729-2015
 $V_u = 3808,075 \text{ kg}$

$$\frac{h}{tw} \leq \frac{1100}{\sqrt{fy}} \rightarrow \frac{150}{7} \leq 1,1 \sqrt{\frac{Kv E}{fy}}$$

$$\frac{h}{tw} \leq \frac{1100}{\sqrt{fy}} \rightarrow \frac{190}{7} \leq 1,1 \sqrt{\frac{Kv E}{fy}}$$

$$27,14 \quad 69,57 \quad Cv = 1,0$$

$$\begin{aligned} \text{Maka, } V_n &= 0,6 f_y A_w Cv \\ &= 0,6 \times (2500) \times (24,4 \times 0,7) \times 1 \\ &= 25620 \text{ kg} \end{aligned}$$

$$\begin{aligned} \phi V_n &= V_u \\ \phi V_n &= 0,9 \cdot 25620 \text{ kg} \\ &= 23058 \text{ kg} > 3808,075 \text{ kg } (\text{OK}) \end{aligned}$$

➤ Kontrol Lendutan SNI 1729-2015:

$$f_{ijin} = \frac{L}{360} \rightarrow \frac{6000}{360} \leq 16,67 \text{ mm}$$

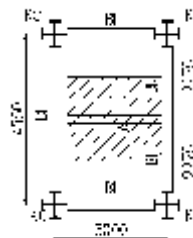
➤
 Lendutan akibat beban

$$\begin{aligned} Fx &= \left(\frac{5}{384} \cdot \frac{(qdl + qll)}{EJx} L^4 \right) \\ &= \left(\frac{5}{384} \cdot \frac{(754,465 + 227,5) \cdot 10^{-3}}{2000000 \times 6120 \times 10^2} 6000^4 \right) \\ &= 13,54 \text{ mm} \end{aligned}$$

$$f_{ijin} > f_x \quad 16,67 \text{ mm} > 13,54 \text{ mm (OK)}$$

“ Profil WF 250 x 175 x 7 x 11 dapat digunakan sebagai balok anak pada lantai atap”

4.2.2 Perencanaan Balok Anak Atap bentang 3 m



Gambar 4.6 Denah balok anak atap 3m

Balok anak yang terletak pada lantai atap direncanakan menggunakan profil WF 200 x 100 x 5,5 x 8, dengan data-data sebagai berikut:

d	= 200 mm	ix	= 8,24 cm
bf	= 100 mm	iy	= 2,22 cm
tf	= 8 mm	Zx	= 200 cm³
tw	= 5,5 mm	Zy	= 41 cm³
A	= 27,16 cm²	Sx	= 184 cm³
q	= 21,3 kg/m	Sy	= 26,8 cm³
Ix	= 1840 cm⁴	r	= 11 mm
		h	= 162 mm

➤ Beban-beban Yang Bekerja

4. Beban Mati

Berat pelat bondek	= 10,1 kg/m²
Berat Beton = 0,09 x 2400	= 216 kg/m²
Beban Plafon + penggantung = 11+7 = 18 kg/m²	
Beban aspal 2 cm = 2x14	= 28 kg/m²
Berat ducting mekanikal	= 10 kg/m² +
	= 282,1 kg/m²
282,1 kg/m² x 2,275 m	= 641,8 kg/m
Berat Profil = 21,3 kg/m	= 21,3 kg/m

$$\begin{array}{rcl} \text{Sambungan dll (10\%)} & & = 66,31 \text{ kg/m} \\ & + & \\ & & = 729,38 \text{ kg/m} \end{array}$$

5. Beban Hidup Berdasarkan SNI 1727-2013:

$$\text{Lantai Atap } q_{\text{Latap}} = 100 \text{ kg/m}^2 \times 2,275 \text{ m} = 227,5 \text{ kg/m}$$

6. Beban Berfaktor

$$q_U = 1,2 \cdot q_D + 1,6 \cdot q_L = 1,2 \cdot 729,38 + 1,6 \cdot 227,5 = 1239,26 \text{ kg/m}$$

➤ Gaya Dalam Yang Bekerja Pada Balok

- Momen:

$$\begin{aligned} Mu &= \frac{1}{8} \times q_U \times L^2 \\ &= \frac{1}{8} \times 1239,26 \times 3^2 \\ &= 1394,17 \text{ kgm} \end{aligned}$$

- Gaya Geser:

$$\begin{aligned} Vu &= \frac{1}{2} \times q_U \times L \\ &= \frac{1}{2} \times 1239,26 \times 3 \\ &= 1858,89 \text{ kg} \end{aligned}$$

➤ Kontrol Kuat Momen Lentur

- Pelat sayap (SNI 1729-2015):

$$\frac{bf}{2tf} = \frac{100}{2 \times 8} = 6,25$$

$$\} _p = 0,38 \sqrt{\frac{E}{f_y}} = 10,75$$

$$\frac{bf}{2tf} < \} _p \rightarrow \text{Penampang Kompak}$$

- Pelat badan SNI 1729-2015:

$$\frac{h}{tw} = \frac{162}{5,5} = 29,45$$

$$\} _p = 3,76 \sqrt{\frac{E}{f_y}} = 106,35$$

$$\frac{h}{tw} \leq \} _p \rightarrow \text{Penampang Kompak}$$

- Karena penampang kompak, maka $M_n = M_p$
- $M_p = Zx \cdot f_y$
 $= 200 \text{ cm}^3 \times 2500 \text{ kg/m}^2$
 $= 500000 \text{ kg.cm} = 5000 \text{ kg.m}$

- Kontrol Penampang Terhadap Tekuk Lateral SNI 1729-2015 :
Jarak penahan lateral (L_b) = 40 cm
 $L_p = 110,512 \text{ cm}$ } Dari Tabel (L_p & L_r)
 $L_r = 361,127 \text{ cm}$

$$L_b < L_p \rightarrow \text{Bentang Pendek}$$

$$M_{nx} = M_{px} = Zx \cdot f_y$$

$$= 200 \times 2500$$

$$= 500000 \text{ kgcm}$$

$$= 5000 \text{ kg.m}$$

$$M_{ny} = M_{py} = Zy \times f_y$$

$$= 41 \times 2500$$

$$= 102500 \text{ kgcm}$$

$$= 1025 \text{ kgm}$$

- Persamaan Interaksi
- $$\frac{M_{ux}}{\phi_b \cdot M_{mx}} + \frac{M_{uy}}{\phi_b \cdot M_{ny}} \leq 1,0$$
- $$\frac{1394,17}{0,9 \cdot 5000} \leq 1,0 \quad 0,31 < 1,0 \quad (\text{OK})$$
- Kontrol Geser Berdasarkan SNI 1729-2015
 $V_u = 1858,89 \text{ kN}$

$$\frac{h}{tw} \leq \frac{1100}{\sqrt{fy}} \rightarrow \frac{162}{5,5} \leq 1,1 \sqrt{\frac{Kv E}{fy}}$$

$$\frac{h}{tw} \leq \frac{1100}{\sqrt{fy}} \rightarrow \frac{162}{5,5} \leq 1,1 \sqrt{\frac{Kv E}{fy}}$$

$$29,45 \quad 69,57 \quad Cv = 1,0$$

$$\begin{aligned} \text{Maka, } V_n &= 0,6 f_y A_w Cv \\ &= 0,6 \times (2500) \times (20 \times 0,55) \times 1 \\ &= 16500 \text{ kg} \end{aligned}$$

$$\begin{aligned} \emptyset V_n &= V_u \\ \emptyset V_n &= 0,9 \cdot 16500 \text{ kg} \\ &= 14850 \text{ kg} > 1858,89 \text{ kg (OK)} \end{aligned}$$

➤ Kontrol Lendutan SNI 1729-2015:

$$f_{ijin} = \frac{L}{360} \rightarrow \frac{3000}{360} \leq 8,33 \text{ mm}$$

➤

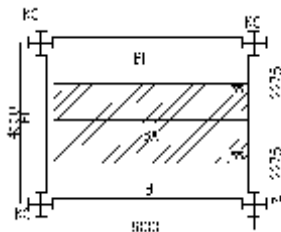
Lendutan akibat beban

$$\begin{aligned} Fx &= \left(\frac{5}{384}, \frac{(qdl+ql^2)}{EJx} \right) L^4 \\ &= \left(\frac{5}{384}, \frac{(729,38+227,5) \times 10^{-3}}{2000000 \times 1840 \times 10^2} \right) 3000^4 \\ &= 2,7 \text{ mm} \end{aligned}$$

$$f_{ijin} > f_x \quad 8,33 \text{ mm} > 2,7 \text{ mm (OK)}$$

“ Profil WF 200 x 100 x 5,5 x 8 dapat digunakan sebagai balok anak pada lantai atap”

4.2.3 Perencanaan Balok Anak Lantai Bentang 6 m



Gambar 4.7 Denah Balok Anak Lantai 6m

Balok anak yang terletak pada lantai hotel direncanakan menggunakan profil WF 300 x 150 x 6,5 x 9, dengan data-data sebagai berikut:

d	= 300 mm	ix	= 12,4 cm
bf	= 150 mm	iy	= 3,29 cm
tf	= 9 mm	Zx	= 522 cm ³
tw	= 6,5 mm	Zy	= 104 cm ³
A	= 46,78 cm ²	Sx	= 481 cm ³
q	= 36,7 kg/m	Sy	= 68 cm ³
Ix	= 7210 cm ⁴	r	= 13 mm
		h	= 256 mm

➤ Beban-beban Yang Bekerja (ASCE 7)

7. Beban Mati

Berat pelat bondek	= 10,1	kg/m ²
Berat Beton = 0,09 x 2400	= 216	kg/m ²
Berat spesi = 0,02 x 2200	= 44	kg/m ²
Beban Plafon+penggantung = 11+7	= 18	kg/m ²
Beban tegel	= 24	kg/m ²
Berat <i>ducting</i> mekanikal	= 10	kg/m ²
	= 322,1	kg/m ²
322,1 kg/m ² x 2,275m	= 732,8kg/m	
Berat Profil = 36,7 kg/m	= 36,7	kg/m
Sambungan dll (10%)	= 76,95kg/m	+
	= 846,4kg/m	

8. Beban Hidup Berdasarkan SNI 1727-2013:

$$\text{Lantai Atap } q_{\text{Lantai}} = 250 \text{ kg/m}^2 \times 2,275 \text{ m} = 568,75 \text{ kg/m}$$

9. Beban Berfaktor

$$q_u = 1,2 \cdot q_d + 1,6 \cdot q_L = 1,2 \cdot 846,4 + 1,6 \cdot 568,75 = 1925,71 \text{ kg/m}$$

- Gaya Dalam Yang Bekerja Pada Balok

- Momen:

$$\begin{aligned} Mu &= \frac{1}{8} \times q_u \times L^2 \\ &= \frac{1}{8} \times 1925,71 \times 6^2 \\ &= 8665,7 \text{ kgm} \end{aligned}$$

- Gaya Geser:

$$\begin{aligned} Vu &= \frac{1}{2} \times q_u \times L \\ &= \frac{1}{2} \times 1925,71 \times 6 \\ &= 5777,13 \text{ kg} \end{aligned}$$

- Kontrol Kuat Momen Lentur

- Pelat sayap (SNI 1729-2015):

$$\frac{bf}{2tf} = \frac{150}{2 \times 9} = 8,33$$

$$\} _p = 0,38 \sqrt{\frac{E}{f_y}} = 10,75$$

$$\frac{bf}{2tf} < \} _p \rightarrow \text{Penampang Kompak}$$

- Pelat badan SNI 1729-2015:

$$\frac{h}{tw} = \frac{256}{6,5} = 39,38$$

$$\} _p = 3,76 \sqrt{\frac{E}{f_y}} = 106,35$$

$$\frac{h}{tw} \leq \} _p \rightarrow \text{Penampang Kompak}$$

- Karena penampang kompak, maka $M_n = M_p$

$$M_p = Zx \cdot f_y$$

$$= 522 \text{ cm}^3 \times 2500 \text{ kg/m}^2$$

$$= 1305000 \text{ kg.cm} = 13050 \text{ kg.m}$$

- Kontrol Penampang Terhadap Tekuk Lateral SNI 1729-2015 :

Jarak penahan lateral (L_b) = 40 cm

$L_p = 163,771 \text{ cm}$ } Dari Tabel (L_p & L_r)

$L_r = 476,2 \text{ cm}$

$L_b < L_r \rightarrow \text{Bentang Pendek}$

$$M_{nx} = M_{px} = Zx \cdot f_y$$

$$= 522 \times 2500 \text{ kg/cm}^2$$

$$= 1305000 \text{ kgcm}$$

$$= 13050 \text{ kg.m}$$

$$M_{ny} = M_{py} = Zy \cdot f_y$$

$$= 104 \times 2500 \text{ kg/cm}^2$$

$$= 260000 \text{ kgcm}$$

$$= 2600 \text{ kgm}$$

- Persamaan Interaksi

$$\frac{M_{ux}}{\phi_b M_{ox}} + \frac{M_{uy}}{\phi_b M_{oy}} \leq 1,0$$

$$\frac{8665,7}{0,9 \cdot 13050} + \frac{0}{0,9 \cdot 2600} \leq 1,0 \quad 0,74 < 1,0 \quad (\text{OK})$$

- Kontrol Geser Berdasarkan SNI 1729-2015

$$V_u = 5777,13 \text{ kg}$$

$$\frac{h}{tw} \leq \frac{1100}{\sqrt{fy}} \rightarrow \frac{256}{6,5} \leq 1,1 \sqrt{\frac{Kv E}{fy}}$$

Bila $39,38 < 69,57$ maka $Kv = 1$

$$\begin{aligned} \text{Maka, } V_n &= 0,6 f_y A_w C_v \\ &= 0,6 f_y (d t_w) \\ &= 0,6 \times (2500) \times (30 \times 0,65) \times 1 \\ &= 29250 \text{ kg} \end{aligned}$$

$$\begin{aligned} \emptyset V_n &= V_u \\ \emptyset V_n &= 0,9 \cdot 29250 \text{ kg} \\ &= 26325 \text{ kg} > 5777,13 \text{ kg (OK)} \end{aligned}$$

➤ Kontrol Lendutan SNI 1729-2015:

$$f_{ijin} = \frac{L}{360} \rightarrow \frac{6000}{360} \leq 16,67 \text{ mm}$$

➤ Lendutan akibat beban

$$f_x = \left(\frac{5}{384} \cdot \frac{(qdl + ql^2) \cdot L^4}{E \cdot I_x} \right)$$

$$f_x = \left(\frac{5}{384} \cdot \frac{(qdl + ql^2) \cdot L^4}{E \cdot I_x} \right)$$

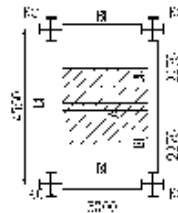
$$= \left(\frac{5}{384} \cdot \frac{(846,42 + 568,75) \cdot 10^{-3}}{2000000 \times 13300 \times 10^2} \cdot 6000^4 \right)$$

$$= 16,5 \text{ mm}$$

$$f_{ijin} > f_x \quad 16,67 \text{ mm} > 16,5 \text{ mm (OK)}$$

“ Profil WF 300 x 150 x 6,5 x 9 dapat digunakan sebagai balok anak pada lantai hotel”

4.2.4 Perencanaan Balok Anak Lantai Bentang 3 m



Gambar 4.8 Denah Balok Anak Lantai 3m

Balok anak yang terletak pada lantai hotel direncanakan menggunakan profil WF 200 x 100 x 5,5 x 8, dengan data-data sebagai berikut:

d	= 200 mm	ix	= 8,24 cm
bf	= 100 mm	iy	= 2,22 cm
tf	= 8 mm	Zx	= 200 cm ³
tw	= 5,5 mm	Zy	= 41 cm ³
A	= 27,16 cm ²	Sx	= 184 cm ³
q	= 21,3 kg/m	Sy	= 26,8 cm ³
Ix	= 1840 cm ⁴	r	= 11 mm
		h	= 162 mm

➤ Beban-beban Yang Bekerja (PPIUG 1983)

10. Beban Mati

Berat pelat bondek	= 10,1	kg/m ²
Berat Beton = 0,09 x2400	= 216	kg/m ²
Berat spesi 0,02x2200	= 44	kg/m ²
Beban Plafon + penggantung 11+7	= 18	kg/m ²
Beban tegel	= 24	kg/m ²
Berat <i>ducting</i> mekanikal	= 10	kg/m ²
		+
	= 322,1	kg/m ²
322,1 kg/m ² x 2,275m	= 732,8	kg/m
Berat Profil = 21,3 kg/m	= 21,3	kg/m
Sambungan dll (10%)	= 75,41	kg/m
		+
	= 829,4	kg/m

11. Beban Hidup Berdasarkan SNI 1727-2013:

$$\text{Lantai Atap } q_{\text{Lantai}} = 250 \text{ kg/m}^2 \times 2,275 \text{ m} = 568,75 \text{ kg/m}$$

12. Beban Berfaktor

$$q_u = 1,2 \cdot q_d + 1,6 \cdot q_L = 1,2 \cdot 829,4 + 1,6 \cdot 568,75 = 1905,38 \text{ kg/m}$$

- Gaya Dalam Yang Bekerja Pada Balok

- Momen:

$$\begin{aligned} Mu &= \frac{1}{8} \times q_u \times L^2 \\ &= \frac{1}{8} \times 1905,38 \times 3^2 \\ &= 2143,56 \text{ kgm} \end{aligned}$$

- Gaya Geser:

$$\begin{aligned} Vu &= \frac{1}{2} \times q_u \times L \\ &= \frac{1}{2} \times 1905,38 \times 3 \\ &= 2858,07 \text{ kg} \end{aligned}$$

- Kontrol Kuat Momen Lentur

- Pelat sayap (SNI 1729-2015):

$$\frac{bf}{2tf} = \frac{100}{2 \times 8} = 6,25$$

$$\} _p = 0,38 \sqrt{\frac{E}{f_y}} = 10,75$$

$$\frac{bf}{2tf} < \} _p \rightarrow \text{Penampang Kompak}$$

- Pelat badan SNI 1729-2015:

$$\frac{h}{tw} = \frac{162}{5,5} = 29,45$$

$$\} _p = 3,76 \sqrt{\frac{E}{f_y}} = 106,35$$

$$\frac{h}{tw} \leq \} _p \rightarrow \text{Penampang Kompak}$$

- Karena penampang kompak, maka $M_n = M_p$
 $M_p = Zx \cdot f_y$
 $= 200 \text{ cm}^3 \times 2500 \text{ kg/m}^2$
 $= 500000 \text{ kg.cm} = 5000 \text{ kg.m}$

- Kontrol Penampang Terhadap Tekuk Lateral SNI 1729-2015 :
Jarak penahan lateral (L_b) = 40 cm
 $L_p = 110,512 \text{ cm}$ } Dari Tabel (L_p & L_r)
 $L_r = 361,127 \text{ cm}$ }
 $L_b < L_r \rightarrow \text{Bentang Pendek}$

$$M_{nx} = M_{px} = Zx \cdot f_y$$

$$= 200 \times 2500 \text{ kg/cm}^2$$

$$= 500000 \text{ kgcm}$$

$$= 5000 \text{ kg.m}$$

$$M_{ny} = M_{py} = Zy \cdot f_y$$

$$= 41 \times 2500 \text{ kg/cm}^2$$

$$= 102500 \text{ kgcm}$$

$$= 1025 \text{ kgm}$$

- Persamaan Interaksi

$$\frac{M_{ux}}{\phi_b M_{uy}} + \frac{M_{uy}}{\phi_b M_{uy}} \leq 1,0$$

$$\frac{2143,55}{0,95000} + \frac{0}{0,91025} \leq 1,0 \rightarrow 0,5 < 1,0 \quad (\text{OK})$$

- Kontrol Geser Berdasarkan SNI 1729-2015
 $V_u = 4130, \text{ kN}$

$$\frac{h}{tw} \leq \frac{1100}{\sqrt{fy}} \rightarrow \frac{162}{5,5} \leq 1,1 \sqrt{\frac{Kv E}{fy}}$$

Bila $29,454 < 69,57$ maka Cv= 1

$$\begin{aligned} \text{Maka, } V_n &= 0,6 f_y A_w C_v \\ &= 0,6 f_y (d t_w) \\ &= 0,6 \times (2500) \times (20 \times 0,55) \times 1 \\ &= 16500 \text{ kg} \end{aligned}$$

$$\begin{aligned} \emptyset V_n &= V_u \\ \emptyset V_n &= 0,9 \cdot 16500 \text{ kg} \\ &= 14850 \text{ kg} > 2858,07 \text{ kg (OK)} \end{aligned}$$

➤ Kontrol Lendutan SNI 1729-2015:

$$f_{ijin} = \frac{L}{360} \rightarrow \frac{3000}{360} \leq 8,33 \text{ mm}$$

➤ Lendutan akibat beban

$$f_x = \left(\frac{5}{384} \cdot \frac{(qdl + ql^2) \cdot L^4}{E \cdot Ix} \right)$$

$$f_x = \left(\frac{5}{384} \cdot \frac{(qdl + ql^2) \cdot L^4}{E \cdot Ix} \right)$$

$$= \left(\frac{5}{384} \cdot \frac{(829,48 + 558,75) \cdot 10^{-3}}{2000000 \cdot 1840 \cdot 10^2} \cdot 3000^4 \right)$$

$$= 4,01 \text{ mm}$$

$$f_{ijin} > f_x \quad 8,33 \text{ mm} > 4,01 \text{ mm (OK)}$$

“ Profil WF 200 x 100 x 5,5 x 8 dapat digunakan sebagai balok anak pada lantai hotel

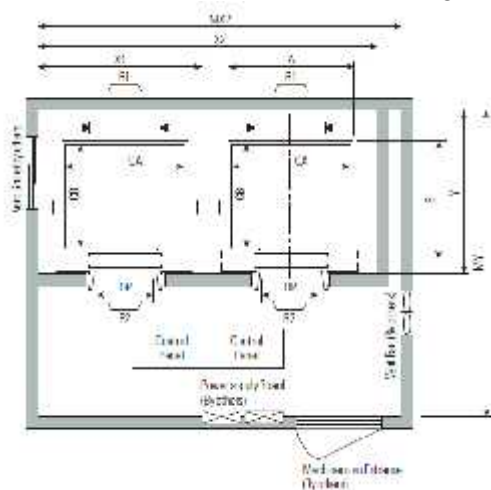
4.3 Perencanaan Balok Lift 2 Car

4.3.1 Spesifikasi Lift

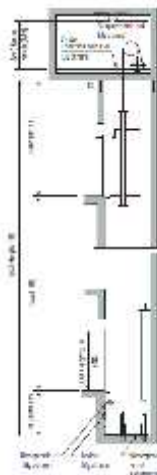
1. Lift Penumpang

Pada perencanaan balok lift meliputi balok- balok yang berkaitan dengan ruang mesin lift yaitu terdiri dari balok penumpang dan balok penggantung lift. Pada bangunan ini menggunakan lift penumpang dengan data- data sebagai berikut:

Tipe lift	: Passenger Elevators
Merk	: HYUNDAI
Kapasitas	: 13 Orang /900 kg
Lebar pintu (<i>opening width</i>)	: 900 mm
Dimensi ruang luncur (<i>hoistway inside</i>) 2 Car	: 4200x1950 mm ²
Dimensi sangkar (<i>Car size</i>)	
Internal	: 1600x1350 mm ²
Eksternal	: 1660x1505 mm ²
Dimensi ruang mesin (2 Car)	: 4400 x 3750 mm ²
Beban reaksi ruang mesin	: R ₁ = 5100 kg R ₂ = 3750 kg



Gambar 4.9 *Lift*



Gambar 4.10 Hoistway Section

4.3.2 Rencana Balok Penggantung Lift

Balok penggantung lift direncanakan menggunakan profil WF 300 x 150 x 6.5 x 9, dengan data-data sebagai berikut:

d	= 300 mm	ix = 12.4 cm
bf	= 150 mm	iy = 3.29 cm
tf	= 9 mm	Zx = 522 cm ³
tw	= 6.5 mm	Zy = 104 cm ³
A	= 46.78 cm ²	Sx = 481 cm ³
q	= 36.7 kg/m	Sy = 68 cm ³
Ix	= 7210 cm ⁴	r = 13 cm
Iy	= 508 cm ⁴	h = d - 2(tf+r)
Fy	= 250 Mpa (BJ-41)	= 256 mm

- Pembebanan Balok Penggantung Lift
 - Beban mati

Berat profil balok penggantung lift	= 36,7 kg/m
Berat sambungan (10%)	<u>= 3,67 kg/m</u>
qd	= 40,37 kg/m
 - Beban merata ultimate

$$\begin{aligned} qu &= 1,4 \times qd \\ &= (1,4 \times 40,37) = 56,518 \text{ kg/m} \end{aligned}$$

- Beban terpusat lift

Pada pasal 4.7 Impact load RSNI-03-1727 (Peraturan Pembebatan Untuk Bangunan Rumah dan Gedung) menyatakan bahwa semua beban elevator harus ditingkatkan 100% untuk beban kejut dan tumpuan struktur harus direncanakan berdasarkan beban lendutan atau spesifikasi teknik dari pembuat.

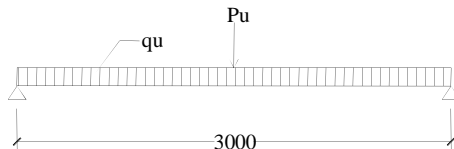
Pada tabel perencanaan lift diperoleh:

$$\begin{aligned} PU_1 &= R_1 \cdot (1+100\%) \\ &= 5100 \times (1+100\%) = 10200 \text{ kg} \end{aligned}$$

$$\begin{aligned} PU_2 &= R_2 \cdot (1+100\%) \\ &= 3700 \times (1+100\%) = 7500 \text{ kg} \end{aligned}$$

Dipilih beban PU terbesar = 10200 kg

- Perhitungan Gaya Dalam Balok Penggantung Lift



Gambar 4.11 Pembebatan Pada Balok Penggantung Lift

- Reaksi perletakan

$$Ra = Rb = \frac{1}{2} \times qu \times L + \frac{1}{2} \times Pu$$

$$= \frac{1}{2} \times 56,518 \times 3 + \frac{1}{2} \times 10200$$

$$= 5184,777 \text{ kg}$$

- Momen maksimum

$$M_{max} = 1/8 \cdot qu \cdot L^2 + 1/4 \cdot Pu \cdot L$$

$$\begin{aligned}
 &= \frac{1}{8} \times 56,518 \times 3^2 + \frac{1}{4} \times 10200 \times 3 \\
 &= 7713,583 \text{ kgm}
 \end{aligned}$$

- Gaya geser

$$\begin{aligned}
 Vu &= Ra \\
 &= 5184,777 \text{ kg}
 \end{aligned}$$

- Kontrol Kuat Momen Lentur

- Pelat sayap:

$$- \quad \frac{bf}{2tf} = \frac{150}{2 \times 9} = 8,33$$

$$\} _p = 0,38 \sqrt{\frac{E}{f_y}} = 10,75$$

$$\frac{bf}{2tf} < \lambda_p \rightarrow \text{Penampang Kompak}$$

- Pelat badan:

$$- \quad \frac{h}{tw} = \frac{256}{65} = 39,38$$

$$\} _p = 3,76 \sqrt{\frac{E}{f_y}} = 106,35$$

$$\frac{h}{tw} < \} _p \rightarrow \text{Penampang Kompak}$$

- Karena penampang kompak, maka $M_n = M_p$

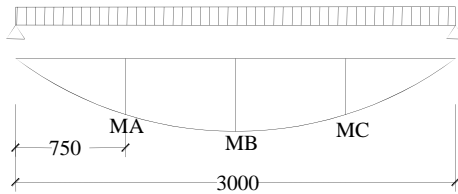
$$\begin{aligned}
 M_p &= Zx \cdot f_y \\
 &= 522 \text{ cm}^3 \times 2500 \text{ kg/m}^2 \\
 &= 1305000 \text{ kg.cm} = 13050 \text{ kg.m}
 \end{aligned}$$

- Kontrol Penampang Terhadap Tekuk Lateral

Jarak penahan lateral (L_b) = 300 cm

$L_p = 163,772 \text{ cm}$ } Dari Tabel (L_p & L_r)
 $L_r = 476,2 \text{ cm}$

$L_p < L_b < L_r \rightarrow$ Bentang Menengah
 Karena bentang menengah maka:
 $M_n = C_b [M_p - (M_p - 0,7 f_y S_x) \left(\frac{L_b - L_p}{L_r - L_p} \right)] \quad M_p$



Gambar 4.12 Diagram Momen Balok Penggantung Lift

$$\begin{aligned} M_A &= M_C \\ &= R_A \times (L/4) - q_u \times (L/4) \times (L/8) \\ &= 5184.777 \times 3/4 - 56,518 \times 3/4 \times 3/8 \\ &= 3872,6871 \text{ kg.m} \end{aligned}$$

$$\begin{aligned} M_B &= M_{\max} \\ &= 7713,583 \text{ kg m} \end{aligned}$$

$$C_b = \frac{12,5 M_{\max}}{2,5 M_{\max} + 3 M_A + 4 M_B + 3 M_C} \leq 2,3$$

$$\begin{aligned} C_b &= \frac{12,5 \times 7713,583}{2,5 \times 7713,583 + 3 \times 3872,687 + 4 \times 7713,583 + 3 \times 3872,687} \leq 2,3 \\ &= 1,31 \leq 2,3 \text{ maka dipakai } C_b = 1,31 \end{aligned}$$

$$\begin{aligned} M_n &= C_b [M_p - (M_p - 0,7 f_y S_x) \left(\frac{L_b - L_p}{L_r - L_p} \right)] \quad M_p \\ &= 1,31 [130500 - (130500 - 0,7 \cdot 2500 \cdot 481) \left(\frac{300 - 163,772}{476,2 - 163,772} \right)] \\ &= 1449446,7 \text{ kg.cm} \\ M_n &= 14494,467 \text{ kg.m} > M_p = 13050 \text{ kg.m} \end{aligned}$$

Cek kemampuan Penampang

$$\varnothing_b \cdot M_n = M_U$$

$$\varnothing_b \cdot M_n = 0,9 \times 13050 \text{ kg.m}$$

$$= 11745 \text{ kg.m} \quad 7713,582 \text{ kg.m}$$

- Kontrol Geser

$$V_u = 5184,777 \text{ kg}$$

$$\frac{h}{tw} \leq \frac{1100}{\sqrt{f_y}} \rightarrow \frac{256}{6,5} \leq 1,1 \sqrt{\frac{E}{f_y}}$$

Bila $39,38 < 69,57$ plastis

$$\text{Maka, } V_n = 0,6 f_y A_w$$

$$= 0,6 \times 2500 \times (30 \times 0,65) = 29250 \text{ kg}$$

$$\varnothing V_n = V_u$$

$$\varnothing V_n = 0,9 \cdot 29250 \text{ kg}$$

$$\approx 26325 \text{ kg} > 5184,777 \text{ kg (OK)}$$

- Lendutan

$$f_{ijin} = \frac{L}{360} \rightarrow \frac{300}{360} = 0,83 \text{ cm}$$

Lendutan akibat beban

$$f^o = \frac{5((qdl + qH)/100)I^4}{384 \cdot EI_x} + \frac{P \cdot l^3}{48EI_x}$$

$$f^o = \frac{5 \times 0,56518 \times 300^4}{384 \times 2 \times 10^6 \times 7210} + \frac{10200 \times 300^3}{48 \times 2000000 \times 7210}$$

$$= 0,4 \text{ cm}$$

$$f_{ijin} > f^o \quad 0,83 \text{ cm} > 0,4 \text{ cm (Ok)}$$

Profil WF 300 x 150 x 6.5 x 9 dapat digunakan sebagai balok penggantung lift

4.4 Perencanaan Tangga Dan Bordes

Tangga adalah sebuah konstruksi yang dirancang untuk menghubungkan dua tingkat vertikal yang memiliki jarak satu sama lain. Pada gedung hotel pop ini struktur tangga direncanakan menggunakan konstruksi dari baja.

Data Teknis Tangga

Mutu baja	= BJ-41
Tinggi antar lantai	= 330 cm
Tinggi bordes	= 165 cm
Panjang tangga	= 240 cm
Lebar tangga	= 137,5 cm
Lebar bordes	= 100 cm
Lebar injakan (i)	= 28 cm
Lebar pegangan tangga	= 20 cm

4.4.1 Perencanaan Tangga

Persyaratan-persyaratan jumlah injakan tangga

$$60 \text{ cm} \quad (2t + i) \quad 65 \text{ cm}$$

$$25^\circ < a < 40^\circ$$

Dimana :

t = tinggi injakan (cm)

i = lebar injakan (cm)

a = kemiringan tangga

- Perhitungan Jumlah Injakan dan Kemiringan Tangga

Tinggi injakan (t) = 18 cm

$$\text{Jumlah tanjakan} = \frac{330/2}{18} = 9,16 \text{ buah} = 10 \text{ buah}$$

Jumlah injakan (n) = 10 - 1 = 9 buah

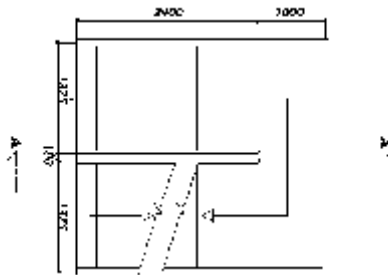
$$60 \text{ cm} \quad (2 \times 18 + 28) \quad 65 \text{ cm}$$

$$60 \text{ cm} < (64) < 65 \text{ cm (OK)}$$

Lebar bordes = 100 cm

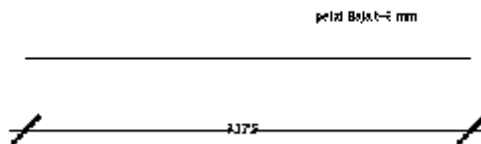
Lebar tangga = 137,5 cm

$$a = \text{arc tg} \frac{330/2}{240} = 34,5^\circ$$



Gambar 4.13 Denah Tangga

- Perencanaan Anak Tangga



Gambar 4.14 Pelat Anak Tangga

- Perencanaan Tebal Anak Tangga

Tebal pelat tangga = 3 mm

Berat jenis baja = 7850 kg/m³

Mutu baja BJ 41 → fy = 2500 kg/m²

- Perencanaan pembebanan pelat tangga

Beban mati

Berat pelat = $0,003 \times 1,375 \times 7850$ = 32,38 kg/m

Alat penyambung (10%) $\frac{= 3,238 \text{ kg/m}}{q_D} = 35,62 \text{ kg/m}$ +

Beban hidup

$q_L = 300 \times 1,375 = 412,5 \text{ kg/m}$

- Perhitungan M_D dan M_L

$$M_D = \frac{1}{8} q_D l^2 = \frac{1}{8} \times 35,62 \times 0,28^2 = 0,35 \text{ kg.m}$$

$$M_L = 1/8 q_L l^2 = 1/8 \times 412,5 \times 0,28^2 = 4,04 \text{ kg.m}$$

$$M_L = 1/4 P_L l = 1/4 \times 100 \times 0,28 = 7 \text{ kg.m}$$

(menentukan)

- Perhitungan kombinasi pembebanan M_U
 $M_U = 1,4 M_D = 1,4 \times 0,35 \text{ kgm} = 0,49 \text{ kg.m}$
 $M_U = 1,2 M_D + 1,6 M_L = 1,2 \times 0,35 + 1,6 \times 7$
 $= 11,62 \text{ kg.m}$ (menentukan)
- Kontrol momen lentur
 $Zx = \frac{1}{4} bh^2 = 0,25 \times 137,5 \times 0,3^2 = 3,09 \text{ cm}^3$
 $\bar{\Omega}M_n = \bar{\Omega}Zx \cdot fy$
 $= 0,9 \cdot 3,09 \cdot 2500 = 6960,94 \text{ kg.cm} = 69,61 \text{ kg.m}$

Syarat : $\bar{\Omega}M_n > M_U$
 $69,61 \text{ kg.m} > 11,62 \text{ kg.m}$ (OK)

- Kontrol lendutan

$$F_{ijin} = \frac{l}{360} = \frac{28}{360} = 0,08$$

$$Ix = \frac{1}{12} b h^3 = \frac{1}{12} 137,5 \times 0,3^3 = 0,31 \text{ cm}^4$$

$$F^0 = \frac{5 \left(\frac{(qdl + ql^2)}{100} \right) l^4}{384 E Ix}$$

$$F^0 = \frac{5 \left(\frac{(35,62 + 412,5)}{100} \right) 28^4}{384 \cdot (2 \times 10^6) \cdot 0,31} = 0,06$$

$$F^0 < f_{ijin} \quad 0,06 < 0,08 \text{ cm (OK)}$$

4.4.2 Perencanaan Pengaku Anak Tangga

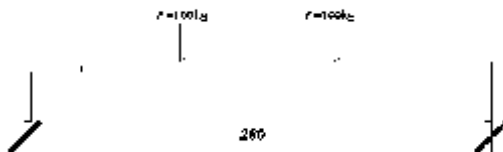
Direncanakan menggunakan profil siku 50 x 50 x 9 dengan data sebagai berikut :

$$b = 50 \text{ mm} \quad Ix = 17,9 \text{ cm}^4 \quad Zx = 5,2 \text{ cm}^3$$

$$tw = 9 \text{ mm} \quad Iy = 17,9 \text{ cm}^4 \quad ix = 1,47 \text{ cm}$$

$$W = 6,74 \text{ kg/m} \quad A = 8,24 \text{ cm}^2 \quad iy = 1,47 \text{ cm}$$

- Perencanaan pembebanan



Gambar 4.15 Model Pembebanan Pelat Tangga

Beban mati (1/2 lebar injakan)

$$\text{Berat pelat} = (0,28 \times 0,5) \cdot 0,003 \cdot 7850 = 3,297 \text{ kg/m}$$

$$\text{Baja siku} = 6,74 \text{ kg/m} +$$

$$= 10,037 \text{ kg/m}$$

$$\text{Alat penyambung (10\%)} = 1,0037 \text{ kg/m} +$$

$$q_D = 11,04 \text{ kg/m}$$

Beban hidup (1/2 lebar injakan)

$$q_L = 300 \times (0,28 \times 0,5) = 42 \text{ kg/m}$$

$$p_L = 100 \text{ kg}$$

- Perhitungan M_D dan M_L

$$\begin{aligned} M_D &= 1/8 \times q_D \times L^2 \\ &= 1/8 \times 11,04 \times 1,375^2 \\ &= 2,61 \text{ kg.m} \end{aligned}$$

$$\begin{aligned} M_L &= 1/8 \times q_L \times L^2 \rightarrow \text{akibat beban merata} \\ &= 1/8 \times 42 \times 1,375^2 \\ &= 9,92 \text{ kg.m} \end{aligned}$$

$$\begin{aligned} M_L &= 1/3 \times P \times L \rightarrow \text{akibat beban terpusat} \\ &= 1/3 \times 100 \times 1,375 \\ &= 45,83 \text{ kg.m} \end{aligned}$$

$$\begin{aligned} V_u &= 1,2(1/2 \times q_L \times 1,375) + 1,6(1/2 \times P \times 2) \\ &= 1,2 (1/2 \times 11,04 \times 1,375) + 1,6 (1/2 \times 100 \times 2) \\ &= 169,11 \text{ kg} \end{aligned}$$

- Perhitungan kombinasi pembebanan M_U

$$M_U = 1,2 M_D + 1,6 M_L \\ = 1,2 \times 2,61 + 1,6 \times 45,83 = 76,46 \text{ kg.m}$$

- Kontrol penampang profil

Pelat sayap :

$$= \frac{b}{t} = \frac{50}{9} = 5,55$$

$$\} p = 0,38 \sqrt{\frac{E}{f_y}} = 10,75$$

< _p penampang kompak

Karena penampang kompak, maka $M_n = M_p$

$$Zx = (tw \times d) \frac{1}{2} d + (tw(b-tw)) \frac{1}{2} tw \\ = (0,9 \times 5) \frac{1}{2} \times 5 + (0,9 \times (0,5 - 0,9)) \frac{1}{2} \times 0,9 \\ = 12,910 \text{ cm}^3$$

$$M_p = f_y \times Zx = 2500 \times 12,910 \\ = 32276,3 \text{ kg.cm} \\ = 322,763 \text{ kg.m}$$

$$\emptyset_b \cdot M_n = M_u$$

$$\emptyset_b \cdot M_n = 0,9 \times 322,763 \\ = 290,5 \text{ kg.m} \quad 76,46 \text{ kg.m (OK)}$$

- Kontrol Penampang Terhadap Tekuk Lateral

Jarak penahanan lateral (L_b) = 0

- Kontrol kuat geser

$$\frac{h}{tw} = \frac{50-9}{9} \approx 4,55$$

$$\frac{h}{t} = \frac{(50-9)}{5} = 4,55 \quad \frac{1100}{\sqrt{f_y}} = \frac{1100}{\sqrt{250}} = 69,5$$

$$\frac{h}{t} \leq \frac{1100}{\sqrt{f_y}} \rightarrow \text{plastis}$$

$$\text{maka } V_n = 0,6 \times f_y x A_w \\ = 0,6 \times 2500 \times (5 \times 0,9) \\ = 6750 \text{ kg}$$

$$\begin{aligned}\phi V_n &= V_u \\ \phi V_n &= 0,9 \times 6750 \text{ kg} \\ &= 6075 \text{ kg} \geq 169,11 \text{ kg (OK)}\end{aligned}$$

- Kontrol lendutan

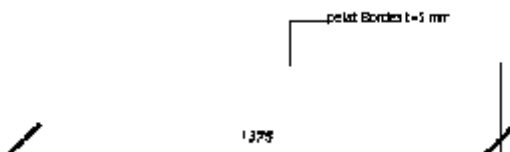
$$F_{ijin} = \frac{L}{240} = \frac{137,5}{240} = 0,57$$

$$f^o = \frac{5((qdl + ql^2)/100)l^4}{384 \cdot EI_x} + \frac{23 \cdot P \cdot l^3}{648 \cdot EI_z}$$

$$F^0 = \frac{5\left(\frac{11,04}{100}\right)/100 \times 1,375^4}{384 \times 10^6 \times 17,9} + \frac{23 \times 100 \times 1,375^3}{648 \times 2 \times 10^6 \times 17,9}$$

$$= 0,27 \\ F^0 < f_{ijin} \quad 0,27 \text{ cm} < 0,57 \text{ cm (OK)}$$

4.4.3 Perencanaan Bordes



Gambar 4.16 Pelat Bordes

4.4.3.1 Pelat Bordes

Tebal pelat bordes = 5 mm

Berat jenis baja = 7850 kg/m³

Mutu baja BJ 41 → $f_y = 2500 \text{ kg/m}^2$

- Perencanaan pembebanan pelat bordes

Beban mati

$$\text{Berat pelat} = 0,005 \times 1,375 \times 7850 = 53,969 \text{ kg/m}$$

$$\text{Alat penyambung (10\%)} \quad \frac{= 5,3969 \text{ kg/m}}{q_D = 59,366 \text{ kg/m}} +$$

Beban hidup

$$q_L = 300 \text{ kg/m}^2 \times 1,375 \text{ m} = 412,5 \text{ kg.m}$$

- Perhitungan M_D dan M_L

$$\begin{aligned} M_D &= 1/8 \times q_D \times l^2 \\ &= 1/8 \times 59,366 \times (1 \times 0,5)^2 = 1,855 \text{ kg.m} \end{aligned}$$

$$\begin{aligned} M_L &= 1/8 \times q_L \times l^2 \\ &= 1/8 \times 412,5 \times (1 \times 0,5)^2 = 12,89 \text{ kg.m} \end{aligned}$$

- Kombinasi pembebanan M_U

$$\begin{aligned} M_U &= 1,2 M_D + 1,6 M_L = 1,2 \times 1,855 + 1,6 \times \\ &12,89 = 22,85 \text{ kg.m} \end{aligned}$$

- Kontrol momen lentur

$$Z_x = \frac{1}{4} b h^2 = \frac{1}{4} \times 137,5 \times 0,5^2 = 8,594 \text{ cm}^3$$

$$\begin{aligned} M_n &= Z_x \cdot f_y \\ &= 8,594 \times 2500 \\ &= 21484,38 \text{ kg.cm} = 214,844 \text{ kg.m} \end{aligned}$$

- Cek kemampuan penampang

$$\varnothing_b \cdot M_n = M_u$$

$$\begin{aligned} \varnothing_b \cdot M_n &= 0,9 \times 214,844 \\ &= 193,36 \text{ kgcm} < 22,85 \text{ kgcm (OK)} \end{aligned}$$

- Kontrol lendutan

$$F_{ijin} = \frac{l}{\frac{240}{240}} = \frac{100 \times 0,5}{240} = 0,208$$

$$I_x = \frac{1}{12} b h^3 = \frac{1}{12} \times 137,5 \times 0,5^3 = 1,43 \text{ cm}^4$$

$$f^o = \frac{5 \left(\frac{(q_a l + q I l)}{100} \right) l^4}{384 \cdot E I_x}$$

$$f^o = \frac{5 \left(\frac{(59,366 + 412,5)}{100} \right) \times 50^4}{384 \cdot 2 \times 10^6 \times 1,43} = 0,134$$

$$f^o < f_{ijin} \rightarrow 0,134 \text{ cm} < 0,208 \text{ cm (OK)}$$

4.4.3.2 Perencanaan Balok Bordes

Direncanakan memakai profil WF 100 x 50 x 5 x 7

$$d = 100 \text{ mm} \quad i_x = 3,98 \text{ cm}$$

$$bf = 50 \text{ mm} \quad i_y = 1,12 \text{ cm}$$

$$tf = 7 \text{ mm} \quad Z_x = 42 \text{ cm}^3$$

$t_w = 5 \text{ mm}$	$Z_y = 9 \text{ cm}^3$
$A = 11,85 \text{ cm}^2$	$S_x = 37,5 \text{ cm}^3$
$q = 9,3 \text{ kg/m}$	$S_y = 5,91 \text{ cm}^3$
$I_x = 187 \text{ cm}^4$	$r = 16 \text{ cm}$
$I_y = 14,8 \text{ cm}^4$	$h = d - 2(tf+r)$
$F_y = 250 \text{ Mpa (BJ-41)}$	$= 342 \text{ mm}$

- Perencanaan pembebanan balok bordes

Beban mati

$$\begin{aligned}
 \text{Berat pelat} &= 0,005 \times 0,5 \times 7850 &= 19,625 \text{ kg/m} \\
 \text{Berat profil} &&= 9,3 \text{ kg/m} + \\
 &&= 28,925 \text{ kg/m} \\
 \text{Berat sambungan dll 10\%} &&= 2,8925 \text{ kg/m} + \\
 q_D &&= 31,8175 \text{ kg/m}
 \end{aligned}$$

Beban hidup

Lantai hotel

$$(Tabel 3.1 PPIUG 1983) = 300 \text{ kg/m}^2$$

$$\text{Total beban hidup (}q_L\text{)} = 0,5 \times 300 = 150 \text{ kg/m}$$

Perhitungan gaya dalam

$$\begin{aligned}
 V_D &= \frac{1}{2} \cdot q_D \cdot L \\
 &= \frac{1}{2} \times 31,8175 \times 1,375 \\
 &= 21,874 \text{ kg}
 \end{aligned}$$

$$\begin{aligned}
 M_D &= \frac{1}{8} \cdot q_D \cdot L^2 \\
 &= \frac{1}{8} \times 31,8175 \times (1,375)^2 \\
 &= 7,519 \text{ kg.m}
 \end{aligned}$$

$$\begin{aligned}
 V_L &= \frac{1}{2} \times q_L \times L \\
 &= \frac{1}{2} \times 150 \times 1,375 \\
 &= 103,125 \text{ kg}
 \end{aligned}$$

$$\begin{aligned}
 M_L &= \frac{1}{8} \times q_L \times L^2 \\
 &= \frac{1}{8} \times 150 \times (1,375)^2 \\
 &= 35,449 \text{ kg.m}
 \end{aligned}$$

- Kombinasi pembebanan

$$\begin{aligned}
 V_U &= 1,2V_D + 1,6V_L \\
 &= 1,2(21,874) + 1,6(103,125) = 191,249 \text{ kg} \\
 M_U &= 1,2 M_D + 1,6 M_L
 \end{aligned}$$

$$= 1,2 (7,519) + 1,6 (35,449) = 65,742 \text{ kg.m}$$

- Kontrol penampang

Pelat sayap :

$$\} = \frac{b_f}{2t_f} = \frac{50}{2 \times 7} = 3,57$$

$$\} _p = 0,38 \sqrt{\frac{E}{f_y}} = 10,75$$

$\} < \} _p \rightarrow$ penampang kompak

Pelat badan :

$$\} = \frac{h}{tw} = \frac{100 - 2(8+7)}{5} = 14$$

$$\} _p = 3,76 \sqrt{\frac{E}{f_y}} = 106,35$$

$\} < \} _p \rightarrow$ penampang kompak

- Karena penampang kompak, maka $M_n = M_p$

$$M_p = f_y \cdot Z_x = 2500 \times 42$$

$$= 105000 \text{ kg.cm}$$

$$= 1050 \text{ kg.m}$$

- Cek kemampuan penampang

$$\emptyset_b \cdot M_n \quad M_u$$

$$\emptyset_b \cdot M_n = 0,9 \times 1050$$

$$= 945 \text{ kg.m} \quad 65,742 \text{ kg.m (OK)}$$

- Kontrol Penampang Terhadap Tekuk Lateral
Jarak penahan lateral (L_b) = 0

- Kontrol kuat geser

$$V_u = 191,249 \text{ kg}$$

$$\frac{h}{tw} \leq \frac{1100}{\sqrt{f_y}} \rightarrow \frac{70}{5} \leq \frac{1100}{\sqrt{f_y}}$$

$14 \leq 69,57 \rightarrow Plastis$

$$\begin{aligned} \text{Maka, } V_n &= 0,6 f_y A_w \\ &= 0,6 \times 2500 \times (10 \times 0,5) = 7500 \text{ kg} \end{aligned}$$

$$\begin{aligned} \emptyset V_n &= V_u \\ \emptyset V_n &= 0,9 \cdot 7500 \text{ kg} = 6750 \text{ kg} > 191,249 \text{ kg (OK)} \end{aligned}$$

- Kontrol Tendutan

$$f_{ijin} = \frac{L}{240} = \frac{137,5}{240} = 0,57$$

$$f^o = \frac{5 \left(\frac{(qdl + ql)}{100} \right) l^4}{384 \cdot EI_x}$$

$$f^o = \frac{5 \left(\frac{31,8175 + 150}{100} \right) \times 137,5^4}{384 \cdot 2 \times 10^6 \times 187} = 0,02$$

$$f^o < f_{ijin} \rightarrow 0,02 \text{ cm} < 0,57 \text{ cm (OK)}$$

Maka, profil WF 100 x 50 x 5 x 7 dapat digunakan sebagai balok bordes pada anak tangga

4.4.4 Balok Utama Tangga

Balok utama tangga dianalisa dengan anggapan terletak di atas dua tumpuan sederhana dengan menerima beban merata yang berasal dari berat sendiri dan beban dari anak tangga. Balok utama direncanakan menggunakan profil WF 200 x 100 x 4,5 x 7, dengan spesifikasi sebagai berikut:

d	= 198 mm	ix	= 8,26 cm
bf	= 99 mm	iy	= 2,21 cm
tf	= 7 mm	Zx	= 170 cm ³
tw	= 4,5 mm	Zy	= 35 cm ³
A	= 23,18 cm ²	Sx	= 160 cm ³
q	= 18,2 kg/m	Sy	= 23 cm ³
Ix	= 1580 cm ⁴	r	= 11 cm
Iy	= 114 cm ⁴	h	= d - 2(tf+r)
Fy	= 250 Mpa (BJ-41)		= 162 mm

- Perencanaan Pembebatan Anak Tangga

Beban mati (anak tangga)

$$\text{Berat pelat } 0,003 \times (1,375 \times 0,5) \times 7850 = 16,19 \text{ kg/m}$$

$$\text{profil siku } 6,74 \times 2 \times 1,375 \times 0,5 \times \frac{1}{0,28} = 33,098 \text{ kg/m}$$

$$\text{Berat profil balok } 18,2 / \cos(34,51) = 22,087 \text{ kg/m} + \\ = 71,375 \text{ kg/m}$$

$$\text{Berat alat penyambung } 10\% \quad = 7,1375 \text{ kg/m} + \\ q_{D1} \quad = 78,5125 \text{ kg/m}$$

Beban hidup

$$q_{L1} = (300 \times 1,375 \times 0,5) = 206,25 \text{ kg/m}$$

$$q_{U1} = 1,2 q_D + 1,6 q_L \\ = (1,2 \times 78,5125) + (1,6 \times 206,25) \\ = 424,215 \text{ kg/m}$$

- Perencanaan Pembebatan dan Gaya Dalam Bordes

Beban mati

$$\text{Berat profil} \quad = 18,2 \text{ kg/m}$$

$$\text{Berat bordes } 0,005 \times 1,375 \times 0,5 \times 7850 = 26,984 \text{ kg/m} \\ = 45,184 \text{ kg/m}$$

$$\text{Berat penyambung } 10\% \quad = 4,518 \text{ kg/m} \\ q_{D2} = 49,703 \text{ kg/m}$$

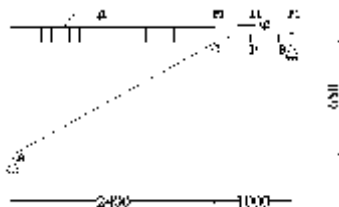
Beban hidup

$$q_{L2} = 300 \times 1,375 \times 0,5 = 206,25 \text{ kg/m}$$

$$q_{U2} = 1,2 q_{D2} + 1,6 q_{L2} \\ = 1,2 \times 49,703 + 1,6 \times 206,25 = 389,643 \text{ kg/m}$$

Beban terpusat akibat balok bordes

$$p_1 = 9,3 \times 1,375 \times 0,5 = 6,393 \text{ kg}$$



Gambar 4.17 Model Pembebatan Balok Utama Tangga

- Perhitungan pembebanan

$$Ma = 0$$

$$R_b \cdot 3,4 - p_1 \cdot 2,4 - p_1 \cdot ((1 \times 0,5) + (2,4)) - p_1 \cdot (2,4 + 1) - q_{u1} \cdot (2,4^2 \times 0,5) - q_{u2} \cdot 1 \times ((1 \times 0,5) + (2,4)) = 0$$

$$R_b = 708,038 \text{ kg}$$

$$Mb = 0$$

$$Ra \cdot 3,4 - 1 \cdot p_1 \cdot 1 \times 0,5 - q_{u1} \cdot 2,4 \times ((2,4 \times 0,5) + (1)) - q_{u2} \cdot 1 \times 1 \times 0,5 = 0$$

$$Ra = 718,902 \text{ kg}$$

Kontrol:

$$\begin{aligned} \sum V &= Ra + Rb - qu_1 \times 2,4 - qu_2 \times 1 - V \times 3 \\ &= 718,902 + 708,038 - 2,4 \cdot 424,215 - 389,643 \times 1 - 6,393 \times 3 \\ &= 0 \text{ (OK)} \end{aligned}$$

Bidang M

- a - c :

$$\begin{aligned} Mx &= Ra \cdot x - \frac{1}{2} qu_1 \cdot x^2 \\ &= 718,902 \cdot x - \frac{1}{2} \cdot 424,215 \cdot x^2 \\ x &= 0 \text{ m} \quad Ma = 0 \text{ kg.m} \\ x &= 2,4 \text{ m} \quad Mc = 718,902 \times 2,4 - \frac{1}{2} \cdot 424,215 \cdot 2,4^2 \\ &= 503,626 \text{ kg.m} \end{aligned}$$

Momen maksimum terjadi apabila $\frac{dM_x}{dx} = 0$

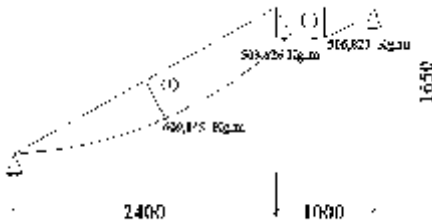
$$\frac{dM_x}{dx} = 718,902 - 424,215 \cdot x = 0$$

$$x = 1,69 \text{ m}$$

$$\begin{aligned} M_{\max} &= 718,902 \times 1,69 - \frac{1}{2} \times 424,215 \times 1,69^2 \\ &= 609,149 \text{ kg.m} \end{aligned}$$

- c - b :

$$\begin{aligned} Mx &= Rb \cdot x - \frac{1}{2} qu_2 \cdot x^2 - p \cdot x \\ &= 708,038 \cdot x - \frac{1}{2} \cdot 389,643 \cdot x^2 - 6,393 \cdot x \\ x &= 0 \text{ m} \quad Mb = 0 \text{ kg.m} \\ x &= 1 \text{ m} \quad Mc = 708,038 \cdot 1 - \frac{1}{2} \cdot 389,643 \cdot 1^2 - 6,393 \cdot 1 \\ &= 506,823 \text{ kg.m} \end{aligned}$$

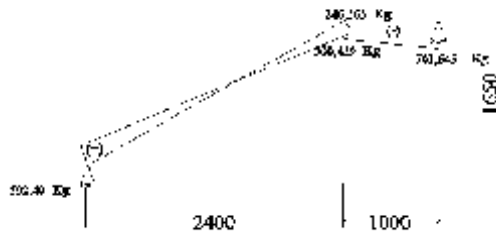


Gambar 4.18 Bidang M Balok Tangga

Bidang D

- a - c :
$$\begin{aligned} Dx &= Ra \cdot \cos(34,51^\circ) - q_{u1} \cdot x \cdot \cos(34,51^\circ) \\ x &= 0 \text{ m} \\ &= 718,902 \cdot \cos(34,51^\circ) - 424,215 \cdot 0 \cdot \cos(34,51^\circ) \\ &= 592,40 \text{ m} \\ x &= 2,4 \text{ m} \\ Da_{ka} &= 718,902 \cdot \cos(34,51^\circ) - 424,215 \cdot 2,4 \cdot \cos(34,51^\circ) \\ &= -246,565 \text{ kg} \end{aligned}$$
- b - d :
$$\begin{aligned} Dx &= -Rb + q_{u2} \cdot x + p_1 \\ &= -708,038 + 389,643 \cdot x + 6,393 \\ x &= 0 \text{ m} \\ Db_{ki} &= -708,038 + 389,643 \cdot 0 + 6,393 \\ &= -701,645 \text{ kg} \\ x &= 0,5 \text{ m} \\ Dd_{ka} &= -708,038 + 389,643 \cdot 0,5 + 6,393 \\ &= -506,823 \text{ kg} \end{aligned}$$
- d - c :
$$\begin{aligned} Dx &= -Rb + q_{u2}/2 + q_{u2} \cdot x + p_1 + p_1 \\ &= -708,038 + 389,643/2 + 389,643 \cdot x + 6,393 + 6,393 \\ x &= 0 \text{ m} \\ Dd_{ki} &= -708,038 + 389,643/2 + 389,643 \cdot 0 + 6,393 + 6,393 \\ &= -500,429 \text{ kg} \\ x &= 0,5 \text{ m} \end{aligned}$$

$$\begin{aligned} Dd_{ka} &= -708,038 + 389,643/2 + 389,643 \cdot 0,5 + 6,393 + 6,393 \\ &= -305,608 \text{ kg} \end{aligned}$$



**Gambar 4.19 Bidang D Balok Tangga
Bidang N**

- a - c :

$$\begin{aligned} Nx &= -Ra \cdot \sin(34,51^\circ) + q_{ul} \cdot x \cdot \sin(34,51^\circ) \\ &= -718,902 \cdot \sin(34,51^\circ) + 424,215 \cdot x \cdot \sin(34,51^\circ) \end{aligned}$$

$$x = 0 \text{ m}$$

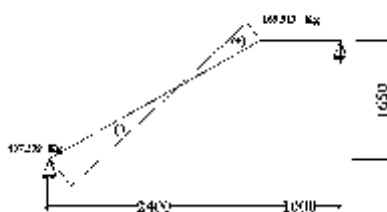
$$\begin{aligned} Na_{ka} &= -718,902 \cdot \sin(34,51^\circ) + 424,215 \cdot 0 \cdot \sin(34,51^\circ) \\ &= -407,279 \text{ kg} \end{aligned}$$

$$x = 2,4 \text{ m}$$

$$\begin{aligned} Nc_{ki} &= -718,902 \cdot \sin(34,51^\circ) + 424,215 \cdot 2,4 \cdot \sin(34,51^\circ) \\ &= 169,513 \text{ kg} \end{aligned}$$

- c - b :

$$N = 0 \text{ kg}$$



Gambar 4.20 Bidang N Balok Tangga

- Kontrol Penampang Terhadap Tekuk Lokal

- Pelat sayap :

$$= \frac{bf}{2tf} = \frac{99}{2 \times 7} = 7,071$$

$$\} _p = 0,38 \sqrt{\frac{E}{f_y}} = 10,75$$

$\} < \} _p \rightarrow$ penampang kompak

- Pelat badan :

$$\} = \frac{h}{tw} = \frac{198 - 2(7+11)}{4,5} = 36$$

$$\} _p = 3,76 \sqrt{\frac{E}{f_y}} = 106,35$$

$\} < \} _p \rightarrow$ penampang kompak

- Karena penampang kompak, maka $M_n = M_p$

$$M_p = f_y \cdot Z_x$$

$$= 2500 \cdot 170$$

$$= 425000 \text{ kg.cm}$$

$$= 4250 \text{ kg.m}$$

- Kontrol Penampang Terhadap Tekuk Lateral

$$L_b = \sqrt{28^2 + 18^2} = 33,29 \text{ cm (pengaku anak tangga)}$$

$$L_p = 110,015 \text{ cm} \quad \} \quad \text{Dari Tabel (Lp & Lr)}$$

$$L_r = 332,453 \text{ cm} \quad \}$$

$L_b < L_p < L_r \rightarrow$ Bentang Pendek, maka $M_n = M_p$

$$M_n = M_p$$

$$= Z_x \cdot f_y$$

$$= 170 \text{ cm}^3 \cdot 2500 \text{ kg/m}^2$$

$$= 425000 \text{ kg.cm}$$

$$= 4250 \text{ kg.m}$$

Cek kemampuan penampang

$$\varnothing_b \cdot M_n = M_u$$

$$\varnothing_b \cdot M_n = 0,9 \times 4250$$

$$= 3825 \text{ kg.m} \quad 609,149 \text{ kg.m (OK)}$$

- Kontrol Geser

$$V_u = 592,40 \text{ kg}$$

$$\frac{h}{tw} \leq \frac{1100}{\sqrt{f_y}} \rightarrow \frac{162}{4,5} \leq \frac{1100}{\sqrt{f_y}}$$

$$36 \leq 69,57 \rightarrow \text{Plastis}$$

$$\text{Maka, } V_n = 0,6 f_y A_w$$

$$= 0,6 \cdot 2500 \cdot (19,8 \times 0,45) = 13365 \text{ kg}$$

$$\emptyset V_n = V_u$$

$$\emptyset V_n = 0,9 \cdot 13365 \text{ kg}$$

$$= 12029 \text{ kg} > 592,40 \text{ kg (OK)}$$

- Persamaan Interaksi Tekan – Lentur

$$L = \sqrt{(240)^2 + (330)^2} = 408,044$$

$$K_c = 0,7 (\text{sendi - jepit})$$

$$F_e = \frac{\frac{f_y^2 z}{KL^2}}{\left(\frac{KL^2}{r_{in}}\right)} = \frac{\frac{f_y^2 z}{KL^2}}{\left(\frac{KL^2}{r_{in}}\right)} = \frac{\pi^2 2 \times 10^6}{\left(\frac{0,7 \times 408,044}{2,21}\right)^2} = 1180,493 \text{ kg/cm}^2$$

$$\frac{f_y}{f_e} = \frac{2500}{1180,493} = 2,12$$

Karena $\frac{f_y}{f_e} = 2,12 \leq 2,25$ maka f_{cr} ditentukan dengan :

$$f_{cr} = [0,658 \wedge \frac{f_y}{f_e}] \times f_y = [0,658^{2,12}] \times 2500 = 1030,354 \text{ kg/cm}^2$$

$$P_n = f_{cr} \times A_g$$

$$= 1030,354 \times 23,18 = 23883,6 \text{ kg}$$

$$\emptyset P_n = 0,85 \times 23883,6$$

$$= 20301,057 \text{ kg}$$

$$\frac{Pr}{Pc} = \frac{344,66}{20301,057} = 0,015 < 0,2 \text{ maka digunakan rumus}$$

$$\frac{Pr}{Pc} + \frac{8}{9} \left(\frac{M_{rx}}{Mc_r} + \frac{M_{ry}}{Mc_y} \right) \leq 1,0$$

$$\frac{344,66}{20301,057} + \frac{8}{9} \left(\frac{609,149}{3825} + 0 \right) = 0,16 < 1,0 \text{ OK}$$

- Kontrol Lendutan

$$f_{ijin} = \frac{L}{240} = \frac{\sqrt{(240)^2 + (330)^2}}{240} = 1,7$$



Gambar 4.21 Analisa Lendutan Balok Utama Tangga

$$f^o = 0,0701 \text{ cm} \text{ (Hasil analisa SAP)}$$

$$f^o < f_{ijin} \rightarrow 0,0701 \text{ cm} < 1,66 \text{ cm OK}$$

4.4.5 Balok Penumpu Tangga

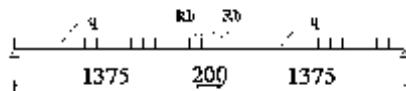
Balok utama penumpu tangga direncanakan memakai profil WF 200 x 100 x 5,5 x 8 dengan data-data sebagai berikut:

d	= 200 mm	ix	= 8,24 cm
bf	= 100 mm	iy	= 2,22 cm
tf	= 8 mm	Zx	= 200 cm ³
tw	= 5,5 mm	Zy	= 41 cm ³
A	= 27,16 cm ²	Sx	= 184 cm ³
q	= 21,3 kg/m	Sy	= 26,8 cm ³
Ix	= 1840 cm ⁴	r	= 11 cm

$$\begin{array}{ll} I_y & = 134 \text{ cm}^4 \\ F_y & = 250 \text{ Mpa (BJ-41)} \end{array} \quad \begin{array}{ll} h & = d - 2(t_f + r) \\ & = 162 \text{ mm} \end{array}$$

- Pembebanan

Pembebanan pada balok penumpu tangga diperoleh dari gaya reaksi (R_b) yang bekerja pada balok utama tangga. Gaya reaksi tersebut akan menjadi beban terpusat P yang menumpu pada balok penumpu tangga. Pada balok penumpu tangga juga bekerja beban merata yang berasal dari dinding setengah dari tinggi lantai dan berat profil. Sketsa pembebanan balok penumpu tangga bisa dilihat pada gambar di bawah ini :



Gambar 4.22 Pembebanan Balok Penumpu Tangga

$$R_b = 708,038 \text{ kg}$$

Beban merata (q)

$$\begin{aligned} \text{Berat profil} &= 21,3 \text{ kg/m} \\ \text{Beban dinding } 1,65 \times 230 &= 379,5 \text{ kg/m} + \\ &= 400,8 \text{ kg/m} \\ \text{Berat sambungan 10\%} &= 40,08 \text{ kg/m} + \\ &= 440,88 \text{ kg/m} \end{aligned}$$

- Reaksi Perletakan

$$M_a = 0$$

$$R_{vb} \cdot 2,95 - R_b \cdot 1,575 - R_b \cdot 1,375 - \frac{1}{2} \cdot q \cdot 2,95^2 = 0$$

$$R_{vb} \cdot 2,95 - 708,038 \cdot 1,575 - 708,038 \cdot 1,375 - \frac{1}{2} \cdot 440,88 \cdot 2,95^2$$

$$R_{vb} = 1346,492 \text{ kg}$$

$$M_b = 0$$

$$R_{va} \cdot 2,95 - R_b \cdot 1,575 - R_b \cdot 1,375 - \frac{1}{2} \cdot q \cdot 2,95^2 = 0$$

$$\text{Rva. } 2,95 - 708,038. 1,575 - 708,038. 1,375 - \frac{1}{2} 440,88. 2,95^2$$

$$\text{Rva} = 1346,492 \text{ kg}$$

Kontrol:

$$\begin{aligned}\sum V &= R_{va} + R_{vb} - Ra - Rb - q \cdot 2,95 \\ &= 1346,492 + 1346,492 - 708,038 - 708,038 - \\ &\quad 440,88. 2,95 = 0 \text{ (OK)}\end{aligned}$$

- Perhitungan Gaya Dalam

Momen maksimum

$$\begin{aligned}M_{max} &= R_{va} \cdot 1,475 - R_b \cdot 0,1 - \frac{1}{2} \cdot q \cdot 1,475^2 \\ &= 1346,492 \cdot 1,475 - 708,038 \cdot 0,1 - \frac{1}{2} \cdot 440,88 \cdot 1,475^2 \\ &= 1444,412 \text{ kg.m}\end{aligned}$$

Gaya geser

$$V_U = - R_{vb} = - 1346,492 \text{ kg}$$

- Pelat sayap :

$$= \frac{bf}{2tf} = \frac{100}{2 \times 8} = 6,25$$

$$\} _p = 0,38 \sqrt{\frac{E}{f_y}} = 10,75$$

} < }_p \rightarrow \text{penampang kompak}

- Pelat badan :

$$= \frac{h}{tw} = \frac{162}{5,5} = 29,45$$

$$\} _p = 3,76 \sqrt{\frac{E}{f_y}} = 106,35$$

} < }_p \rightarrow \text{penampang kompak}

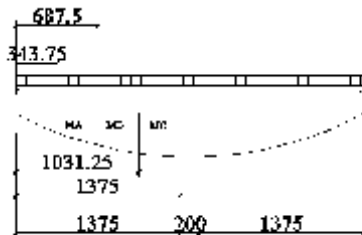
- Karena penampang kompak, maka $M_n = M_p$
 $M_p = f_y \cdot Z_x = 2500 \cdot 200 = 245000 \text{ kg.cm} = 2450 \text{ kg.m}$

Cek kemampuan penampang

$$\emptyset_b \cdot M_n \quad M_u$$

$$\emptyset_b \cdot M_n = 0,9 \times 2450 = 2205 \text{ kg.m} \quad 1444,412 \text{ kg.m (OK)}$$

- Kontrol Penampang Terhadap Tekuk Lateral
 Jarak penahan lateral (Lb) = 137,5 cm
 $L_p = 110,512 \text{ cm}$ } Dari Tabel (Lp & Lr)
 $L_r = 361,127 \text{ cm}$
 $L_p < L_b < L_r \rightarrow \text{Bentang Menengah}$
 Karena bentang menengah, maka:
 $M_y = S_x \times f_y = 184 \times 2500 = 222000 \text{ kg.cm} = 2220 \text{ kg.m}$
 $M_p = Z_x \times f_y = 200 \times 2500 = 245000 \text{ kg.cm} = 2450 \text{ kg.m}$
 $M_r = S_x \times f_y = 184 \times 1800 = 159840 \text{ kg.cm} = 1598,4 \text{ kg.m}$



Gambar 4.23 Posisi M_A , M_B , M_C Balok Penumpu Tangga

$$\begin{aligned}
 M_A &= R_{va} \times 0,34375 - \frac{1}{2} \times q \times 0,34375^2 \\
 &= 1346,492 \times 0,34375 - \frac{1}{2} \times 440,8 \times 0,34375^2 \\
 &= 437,283 \text{ kgm} \\
 M_B &= R_{va} \times 0,6875 - \frac{1}{2} \times q \times 0,6875^2 \\
 &= 1346,492 \times 0,6875 - \frac{1}{2} \times 440,8 \times 0,6875^2 \\
 &= 823,419 \text{ kgm} \\
 M_C &= R_{va} \times 1,03125 - \frac{1}{2} \times q \times 1,03125^2 \\
 &= 1346,492 \times 1,03125 - \frac{1}{2} \times 440,8 \times 1,03125^2 \\
 &= 1158,407 \text{ kgm}
 \end{aligned}$$

$$M_{\max} = 1444,412 \text{ kgm}$$

$$C_b = \frac{12.5 M_{\max}}{2.5 M_{\max} + 3M_A + 4M_B + 3M_C} \leq 2.3$$

$$Cb = \frac{12,5 \times 1444,412}{2,5 \times 1444,412 + 3 \times 437,283 + 4 \times 823,419 + 3 \times 1158,407} < 2,3$$

$$Cb = 1,54 < 2,3$$

$$M_n = C_b \left[M_p - \left(M_p - 0,7 f_y S_x \right) \left(\frac{L_h - L_p}{L_p - L_r} \right) \right] \leq M_p$$

$$M_n = 1,54 \left(\left(2450 - \left(2450 - 0,7 \cdot 25,184 \right) \left(\frac{137,5 - 110,512}{361,13 - 110,512} \right) \right) \right)$$

$$M_n = 3294,466 \text{ kgm}$$

$$M_n = 3294,466 \text{ kgm} > M_p = 2450 \text{ kgm}$$

Maka, dipakai $M_p = 2450 \text{ kgm}$

- Cek kemampuan penampang

$$\varnothing_b \cdot M_n \quad M_u$$

$$\begin{aligned} \varnothing_b \cdot M_n &= 0,9 \times 2450 \\ &= 2205 \text{ kgm} \quad 823,419 \text{ kgm ... OK !} \end{aligned}$$

- Kontrol Geser

$$V_u = 1346,492 \text{ kg}$$

$$\frac{h}{tw} \leq \frac{1100}{\sqrt{f_y}} \rightarrow \frac{162}{5,5} \leq \frac{1100}{\sqrt{f_y}}$$

$$29,45 \quad 69,57 \rightarrow \text{Plastis}$$

$$\text{Maka, } V_n = 0,6 f_y A_w$$

$$= 0,6 \times 2500 \times (20 \times 0,55) = 11250 \text{ kg}$$

$$\varnothing V_n \quad V_u$$

$$\begin{aligned} \varnothing V_n &= 0,9 \cdot 11250 \text{ kg} \\ &= 10125 \text{ kg} > 1346,492 \text{ kg (OK)} \end{aligned}$$

- Kontrol Lendutan

$$F_{ijin} = \frac{L}{240} = \frac{295}{240} = 1,23$$

$$f_x = \left(\frac{5}{384} \cdot \frac{q u L^4}{E I_x} \right)$$

$$f = \frac{5}{384} \cdot \frac{440,8 \times 137,5^4}{1840 \times 200000} = 0,02 \text{ cm}$$

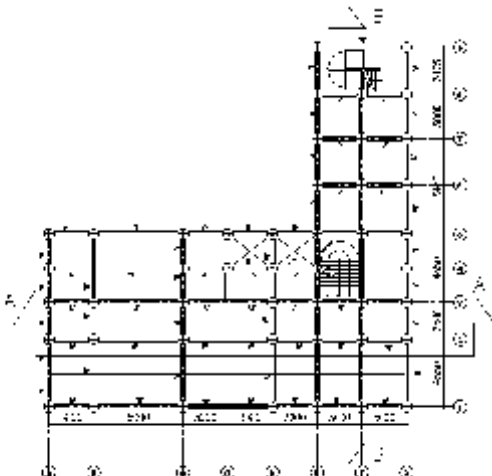
$$f_{ijin} > f_x = 1,23 > 0,05 \text{ cm (OK)}$$

BAB V

PEMODELAN STRUKTUR

5.1 Pemodelan Struktur

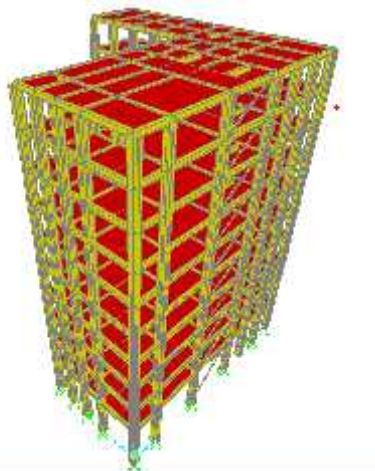
Pemodelan struktur atas pada tugas akhir ini menggunakan sistem EBF (*Eccentrically Braced Frames*). Sistem struktur EBF ini berfungsi sebagai penahan gaya lateral yang terjadi akibat gempa bumi. Struktur yang akan direncanakan merupakan bangunan hotel 10 lantai dengan total tinggi struktur 34,7 m. Berikut ini merupakan gambar denah bangunan:



Gambar 5.1 Denah Struktur Hotel Pop Padang

Pada gambar 5.1 arah vertical mengikuti arah sumbu Y global (sumbu model) dan sumbu X adalah arah horizontal gambar (gambar diatas ada dilampirkan). Untuk penempatan bracing direncanakan menggunakan D-Braced EBF yang dipasang di tengah bangunan dengan 2 bentang berbeda. Untuk arah melintang panjang bentang sebesar 4,55 m sedangkan untuk arah memanjang 6 m.

Pemodelan struktur ini dilakukan dengan program SAP 2000 untuk membantu dalam beberapa perhitungan struktur untuk mengecek kapasitas struktur bangunan sesuai dengan peraturan yang berlaku di Indonesia.



Gambar 5.2 Pemodelan 3 Dimensi Struktur Hotel Pop Padang

5.2 Pembebaan Struktur Utama

Untuk melakukan analisis struktur di SAP 2000, perlu adanya penginputan beban. Maka, dilakukan perhitungan beban-beban meliputi beban hidup, beban mati dan beban gempa.

1 Beban Mati

Beban mati pada struktur terdiri dari beban sendiri bangunan (didapat dari SAP 2000) dan beban mati tambahan seperti beban dinding dan beban merata. Pembebaan struktur didasarkan pada Peraturan Pembebaan Indonesia untuk Gedung (PPIUG 1983). Berikut ini merupakan rincian beban mati pada struktur:

- a. Berat beton yang memiliki berat jenis 2400 kg/m^3
- b. Berat pelat bondek $10,1 \text{ kg/m}^2$

- c. Berat profil baja yang terpasang sebagai rangka baja berupa balok, kolom, tangga, bressing dll memiliki berat jenis 7850 kg/m³
- d. Berat aspal 14 kg/ m² setiap ketebalan 1 cm
- e. Berat spesi sebesar 22 kg/ m² untuk setiap ketebalan 1 cm
- f. Berat keramik sebesar 24 kg/ m² untuk setiap ketebalan 1cm
- g. Berat plafond dan penggantung sebesar 18 kg/ m²
- h. Beban *ducting plumbing* yang ditetapkan sebesar 10 kg/m²
- i. Beban lift merupakan beban terpusat pada balok lantai teratas, dengan besar beban lift terlampir.
- j. Berat dinding bata ringan hebel + plester 2 cm sebesar 120 kg/ m²

2 Beban Hidup

Beban Hidup pada struktur bersifat tidak menumpu pada struktur bangunan sehingga memiliki kemungkinan untuk lepas dari struktur bangunan. Beban hidup yang bekerja pada hotel ini adalah sebagai berikut:

- 1. Lantai atap
Beban hidup atap datar = 100 kg/m²
- 2. Lantai hotel = 250 kg/m²

3 Beban Gempa

Berdasarkan wilayah gempa, kota Padang termasuk dalam wilayah gempa zona tinggi. Penentuan jenis tanah berdasarkan nilai SPT. Perhitungan beban gempa pada bangunan ini dilakukan dengan menganalisa beban gempa dinamik dan parameter gempa yang digunakan diambil dari desain Spectra Indonesia.

4. Data Tanah

Salah satu persyaratan sebelum membangun sebuah bangunan adalah mengetahui jenis tanah di lokasi dimana akan didirikan bangunan. Salah satu cara mengetahui jenis tanah lokasi adalah dengan test penetrasi tanah (SPT). Berikut perhitungan N rata-rata untuk menentukan jenis tanah:

$\tilde{N} \geq 50$ = Tanah Keras
 $15 < \tilde{N} \leq 50$ = Tanah Sedang
 $\tilde{N} < 15$ = Tanah Lunak

Tabel 5.1 Tabel Perhitungan N Rata-Rata

Keterangan	Kedalaman (m)	Tebal	N	Tebal/N
Lapisan 1	0	-	0	-
Lapisan 2	2	2	14	0.143
Lapisan 3	4	2	14	0.143
Lapisan 4	6	2	38	0.053
Lapisan 5	8	2	21	0.095
Lapisan 6	10	2	20	0.100
Lapisan 7	12	2	12	0.167
Lapisan 8	14	2	22	0.091
Total		14		0.791

$$\tilde{N} = \frac{14}{0,791} = 17,70$$

Dari perhitungan nilai N rata- rata diatas diperoleh jenis tanah kategori tanah sedang

5.2 1 Perhitungan Pembebatan

Karena besarnya beban gempa sangat dipengaruhi oleh berat dari struktur bangunan, maka perlu diketahui berat total bangunan untuk menentukan gaya geser statik. Berat dari bangunan berasal dari beban mati yang terdiri dari berat sendiri material-material konstruksi dan elemen-elemen struktur, serta beban hidup yang diakibatkan oleh hunian atau penggunaan bangunan.

Tabel 5.2 Perhitungan Beban Mati Atap

Berat bondek	10.1	kg/m ²
Berat Beton	216	kg/m ²
Aspal	28	kg/m ²
Plafond	18	kg/m ²
ducting Mekanikal	10	kg/m ²
	282,10	kg/m ²
Sambungan dll(10%)	28,21	kg/m ²
Qd	310,31	kg/m²

Tabel 5.3 Perhitungan Beban Mati Lantai

Berat bondek	10.1	kg/m ²
Berat Beton	216	kg/m ²
Spesi	44	kg/m ²
Keramik	24	kg/m ²
Plafond	18	kg/m ²
ducting Mekanikal	10	kg/m ²
	322,10	kg/m ²
Sambungan dll(10%)	32,21	kg/m ²
Qd	354,31	kg/m²

5.2.2 Kombinasi Pembebanan

Setelah memperhitungkan beban akibat gempa dan gravitasi, maka seluruh beban tersebut dihitung dengan faktor kombinasi yang mengacu pada SNI 03-1729-2015 sebagai berikut::

1. 1,4D
2. 1,2D + 1,6L + 0,5(Lr atau R)
3. 1,2D + 1,6(Lr atau R) + 0,5(L atau 0,5W)
4. 1,2D + 1,0 W + L + 0,5(Lr atau R)
5. 1,2D + 1,0E + L
6. 0,9D + 1,0W
7. 0,9D + 1,0E

Keterangan :

DL : beban mati

LL : beban hidup

E : beban gempa yang dinyatakan dalam 2 arah

5.2.3 Berat Total Bangunan

Karena besarnya beban gempa sangat dipengaruhi oleh berat dari struktur bangunan, maka perlu diketahui berat total bangunan untuk menentukan gaya geser statik. Berat dari bangunan berasal dari beban mati yang terdiri dari berat sendiri material-material konstruksi dan elemen-elemen struktur, serta beban hidup yang diakibatkan oleh hunian atau penggunaan bangunan.

Pada modifikasi gedung ini perhitungan berat struktur diambil dari analisis menggunakan program SAP2000 untuk kombinasi 1D +1L.

Dari analisa dengan menggunakan SAP2000 diperoleh berat total bangunan seperti tertera pada gambar di bawah ini :

Tabel 5.4 Berat Total Bangunan (1D+1L) Analisa SAP2000

TABLE: Base Reactions			
OutputCase	GlobalFX	GlobalFY	GlobalFZ
Text	KN	KN	KN
1.4D	7.294E-11	-1.254E-09	26272.298
1D + 1L	7.184E-12	-1.524E-09	25859.371
1.2D + L	1.76E-11	-1.703E-09	29612.557
1.2D+1.6L	-9.345E-12	-2.08E-09	33868.623
12D+0.5L	4.006E-11	-1.389E-09	26065.835

Tabel 5.5 Perhitungan Manual Berat Total Bangunan (1D+1L)

No	Lantai	Berat Total (kN)
1	10	1455.145092
2	9	2678.82006
3	8	2678.82006
4	7	2678.82006
5	6	2678.82006
6	5	2730.642759
7	4	2730.642759
8	3	2730.642759
9	2	2730.642759
10	1	3054.422397
Jumlah		26147.41876

Dari hasil analisa SAP2000 diperoleh nilai berat total bangunan (1D+1L) adalah sebesar 25859,371 kN, sedangkan dengan perhitungan manual diperoleh berat total gedung sebesar 26147,41876 kN. Maka selisih perhitungan analisa SAP2000 dengan perhitungan manual adalah sebagai berikut :

$$26147,41876 \text{ kg} - 25859,371 \text{ kg} = 288,04776 \text{ kg}$$

Sehingga diperoleh persentase

$$\frac{288,04776}{26147,41876} \times 100 = 1,102\%$$

Jadi, dari hasil perhitungan di atas diperoleh kesimpulan bahwa pemodelan telah mendekati keadaan sesungguhnya.

5.3 Pembebanan Gempa Dinamis

Perencanaan struktur hotel pop ini terdiri dari 10 tingkat yang memiliki ketinggian 34,7 m. Perhitungan beban gempa pada struktur ini ditinjau dengan pengaruh gempa dinamik sesuai SNI 03-1726-2012. Analisis dilakukan berdasarkan analisis

respon dinamik dengan parameter-parameter yang sudah ditentukan.

5.3.1 Lantai Tingkat Sebagai Diafragma

Menurut SNI1726:2012 Pasal 7.3.1.2 bahwa lantai dengan dek metal yg diberi penutup *topping* beton dapat dianggap kaku dalam bidangnya dan karenanya dapat dianggap bekerja sebagai diafragma terhadap beban gempa horisontal.

5.3.2 Arah Pembebanan Gempa

Arah pembebanan gempa dalam kenyataannya adalah sembarang, sehingga pada umumnya selalu terdapat 2 komponen beban gempa dalam arah masing-masing sumbu koordinat ortogonal yang bekerja bersamaan pada struktur gedung. Kondisi ini disimulasikan dengan meninjau pembebanan gempa dalam suatu arah sumbu koordinat yang ditinjau 100%, yang bekerja bersamaan dengan pembebanan gempa dalam arah tegak lurus tetapi ditinjau 30%.

5.3.3 Perhitungan Beban Gempa

Perhitungan Beban Gempa dilakukan sesuai dengan peraturan gempa SNI 03-1726-2012 dengan tahapan:

5.3.3.1 Faktor Keutamaan (I)

Untuk berbagai kategori risiko struktur bangunan gedung dan non gedung pengaruh gempa rencana terhadapnya harus dikalikan dengan suatu faktor keutamaan I_e . Gedung direncanakan sebagai bangunan Hotel, pada tabel 3.1 bangunan termasuk kategori II sehingga pada Tabel 3.2 diperoleh nilai $I=1$.

5.3.3.2 Parameter Percepatan Tanah (S_s, S_1)

Untuk tanah sedang klasifikasi situs berdasarkan Tabel 3.3 termasuk Kelas Situs Tanah Sedang (SD). Untuk Parameter percepatan tanah (S_s, S_1) dapat dilihat pada gambar, shingga didapat:

- $S_s (t= 0,2 \text{ s}) : 1,5$ (Gambar 3.3).
- $S_1 (t=1,0 \text{ s}) : 0,6$ (Gambar 3.2)

5.3.3.3 Menentukan Faktor Koefisien Situs (F_a, F_v)

Berdasarkan Tabel 3.4 dan 3.5 kelas situs SD, maka didapatkan nilai:

$$F_a = 1$$

$$F_v = 1,5$$

Untuk menentukan parameter percepatan desain spektral perlu dihitung nilai parameter respons percepatan pada periode pendek (S_{MS}) dan periode 1 detik (S_{M1}) melalui perumusan berikut ini :

$$S_{MS} = F_a \cdot S_s = 1 \cdot 1,5 = 1,5$$

$$S_{M1} = F_v \cdot S_1 = 1,5 \cdot 0,6 = 0,9$$

5.3.3.4 Menentukan Percepatan Spektral Desain (S_{DS}, S_{D1})

Untuk menentukan percepatan spektral desain untuk periode pendek (S_{DS}) dan pada periode 1 detik (S_{D1}) harus ditentukan melalui perumusan berikut ini :

$$S_{DS} = \frac{2}{3} S_{MS} = \frac{2}{3} \cdot 1,5 = 1$$

$$S_{D1} = \frac{2}{3} S_{M1} = \frac{2}{3} \cdot 0,9 = 0,6$$

5.3.3.5 Menentukan Kategori Desain Seismik

Pada Tabel 3.6 dan Tabel 3.7 kategori desain seismic dapat dilihat berdasarkan kategori resiko sehingga diketahui:

$S_{DS} : 1$ Kategori Resiko D (Tabel 3.6)

$S_{D1} : 0,6$ Kategori Resiko D (Tabel 3.7)

5.3.3.6 Menentukan Parameter R, C_d, dan α

Berdasarkan tabel 3.8 atau SNI 1726:2012 pasal 7.2.2 tabel 9 didapat nilai parameter struktur bangunan untuk rangka baja pemikul momen khusus adalah :

$$R = 8$$

$$C_d = 4$$

$$\alpha = 2,5$$

5.3.3.7 Menentukan Model Respon Spektrum

Penggambaran grafik respon spektrum rencana sesuai dengan SNI 1726 : 2012 pasal 6.4 dengan ketentuan berikut:

Batasan Periode

$$T_0 = \frac{0,2S_{D1}}{S_{DS}} = \frac{0,2 \cdot 0,6}{1} = 0,12$$

$$T_s = \frac{S_{D1}}{S_{DS}} = \frac{0,6}{1} = 0,6$$

- Untuk perioda yang lebih kecil dari T_0 , spektrum respon percepatan desain, S_a , harus diambil persamaan:

$$S_a = S_{DS} \left(0,4 + 0,6 \frac{T}{T_0} \right)$$

Pada saat $T = 0$ detik didapat $S_a = 1,0 \left(0,4 + 0,6 \frac{0}{0,12} \right) = 0,4$

- Untuk perioda lebih besar dari atau sama dengan T_0 dan lebih kecil dari atau sama dengan T_s , spectrum respon percepatan desain, S_a , sama dengan S_{DS} ; ($T_0 < T < T_s$)

$$S_a = S_{DS} = 1,0 \text{ g}$$

Karena $T_s = 0,6$ detik maka untuk $T = T_s$. Misalkan T yang diambil 0,7 detik. Maka :

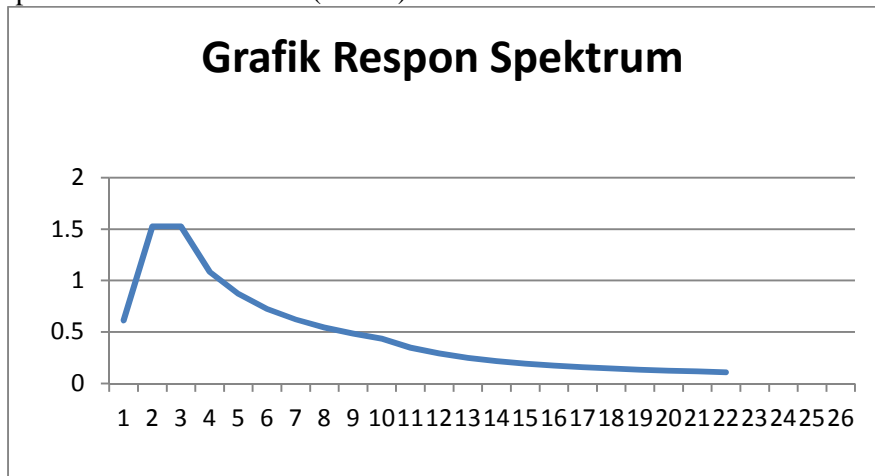
$$S_a = \frac{S_{D1}}{T} = \frac{0,6}{0,7} = 0,857$$

Untuk perioda lebih besar dari T_s , spektrum respon percepatan desain, S_a , diambil berdasarkan persamaan; ($T > T_s$)

$$S_a = \frac{S_{D1}}{T}$$

$$S_a = \frac{S_{D1}}{T} = \frac{0,6}{0,7} = 0,857$$

Dari perhitungan diatas, maka didapatkan grafik respon spektrum antara Sa dan T (Period) dibawah ini



Gambar 5.3 Grafik Respon Spektrum dengan SSD

Tabel 5.6 Nilai Periode Fundamental Struktur (T)

TABLE: Modal Periods And Frequencies			
OutputCase	StepType	StepNum	Period
Text	Text	Unitless	Sec
MODAL	Mode	1	0.661661
MODAL	Mode	2	0.640386
MODAL	Mode	3	0.554141
MODAL	Mode	4	0.222963
MODAL	Mode	5	0.212167

5.3.3.8 Menghitung Periode Fundamental

Untuk mencegah pengunaan struktur gedung yang terlalu fleksibel, nilai waktu getar alami fundamental (T) dari struktur gedung harus dibatasi. Berdasarkan SNI 03-1726-2012, perioda fundamental struktur harus ditentukan dari :

$$T_a = C_t \cdot h_n^x$$

Nilai T_a di atas adalah batas bawah periode struktur yang ditinjau. Untuk batas atas nya dikalikan dengan koefisien batas. Besarnya koefisien tersebut tergantung dari nilai S_{D1} . Untuk nilai C dan x terdapat pada SNI 1726:2012 Tabel-15.

Tinggi Bangunan Hotel pop padang ini sebesar 34,7 meter. Pada struktur ini digunakan sistem rangka pemikul eksentrik sehingga pada tabel 15 SNI 03-1726-2012 didapatkan nilai :

$$C_t = 0,0731$$

$$x = 0,75$$

$$h_n = 34,7 \text{ m}$$

maka :

$$\begin{aligned} T_a &= 0,0731 \times 34,7^{0,75} \\ &= 1,045 \text{ det} \end{aligned}$$

Nilai C_u didapat dari tabel 14 SNI 03-1726-2012 atau Tabel 3.11, maka :

$$C_u \times T_a = 1,4 \times 1,045 = 1,463 \text{ det}$$

Menurut SNI 1726:2012 pasal 7.9.4.1, Periode fundamental struktur (T) yang digunakan:

- Jika $T_c > C_u \times T_a$ maka digunakan $T = C_u \times T_a$
- Jika $T_a < T_c < C_u \times T_a$ maka digunakan $T = T_c$
- Jika $T_c < T_a$ maka digunakan $T = T_a$

Keterangan :

T_c : Periode fundamental struktur yang diperoleh dari program analisa struktur

Dari hasil analisa program bantu SAP 2000 maka didapat $T_c = 0,66$ detik, $T_a = 1,045$ dan $C_u \times T_a = 1,463$ detik,

Karena $T_c < T_a$ maka periode fundamental struktur yang digunakan adalah **$T = 1,045$ detik**.

5.3.3.9 Menentukan Koefisien Respon Spektrum

Sesuai dengan SNI 1726:2012 pasal 7.8.1, koefisien seismik, C_s , dihitung dengan Persamaan:

$$C_{s \text{ perlu}} = \frac{s_{ds}}{\left(\frac{R}{I_e}\right)} = \frac{1}{\left(\frac{8}{1}\right)} = 0,125$$

Nilai dari persamaan diatas tidak perlu melebihi persamaan berikut ini:

$$C_{s1} = \frac{s_{ds}}{T_e \left(\frac{R}{I_e}\right)} = \frac{0,6}{0,66 \left(\frac{8}{1}\right)} = 0,139 > 0,125 \text{ (OK)}$$

Untuk Nilai C_s , harus tidak kurang dari:

$$C_{s2} = 0,044 S_{ds} I_e \geq 0,01$$

$$C_{s2} = 0,044 \times 1 \times 1 = 0,044 \geq 0,01 \quad \dots\dots \text{(OK)}$$

Kontrol :

1. $C_{s \text{ perlu}} \quad C_{s1} = 0,125 \quad 0,139 \rightarrow \text{digunakan } C_s = 0,125$
2. $C_{s \text{ perlu}} \quad C_{s2} = 0,125 \quad 0,044 \rightarrow \text{digunakan } C_s = 0,125$

Sebagai tambahan, untuk struktur yang berlokasi didaerah dimana S_1 sama dengan atau lebih besar dari 0,6 g maka C_s perlu tidak kurang dari :

$$C_{s3} = \frac{0,5 S_1}{\left(\frac{R}{I_e}\right)} = \frac{0,5 \times 0,6}{\left(\frac{8}{1}\right)} = 0,0375$$

$$3. \quad C_{s \text{ perlu}} \quad C_{s3} = 0,125 \quad 0,0375 \rightarrow \text{digunakan } C_s = 0,125$$

Dari ketiga hasil perhitungan diatas, digunakan $C_s = 0,125$

5.3.3.10 Menentukan Gaya Geser Dasar Seismik

Berdasarkan SNI 1726:2012 pasal 7.8.1, gaya gempa lateral didapat dengan mengalikan dengan berat bangunan dengan koefisien respon seismik. Dari analisis struktur yang sudah dilakukan, diperoleh berat total struktur adalah **26147,41876 kN**.

$$V = C_s \cdot W = 0,125 \times 26147,41876 \text{ kN} = 3268,427 \text{ kN/detik}$$

5.3.3.11 Menghitung Distribusi Vertikal Beban Gempa

Berdasarkan SNI 1726:2012 pasal 7.8.3, distribusi vertikal beban gempa ditentukan dengan menghitung gaya gempa pada tiap lantai, F_i , dengan persamaan:

$$F_x = C_{vx} V$$

$$C_{vx} = \frac{w_x h_x^k}{\sum_{i=1}^n w_i h_i^k}$$

Keterangan :

C_{vx} = faktor distribusi vertikal

w_i dan w_x = bagian dari berat total seismik efektif struktur(W) yang ditempatkan pada tingkat i atau x

h_i dan h_x = tinggi dari dasar ke tingkat i atau x

k = eksponen yang terkait dengan periode struktur yang nilainya sebagai berikut :

- untuk struktur dengan periode 0,5 s, $k = 1$
- untuk struktur dengan periode 2,5 s, $k = 2$
- untuk struktur dengan periode antara 0,5 s sampai 2,5 s,
- $k = 2$ atau ditetapkan dengan interpolasi antara 1 dan 2

Karena T yang didapat dari hasil perhitungan SAP 2000 yaitu 0,68 detik, maka nilai $k = 2$

Tabel 5.7 Perhitungan Distribusi Vertikal Gaya Gempa

Lantai ke	hi (m)	hi^k (m)	Wi (kN)	Wi x hi^k (kN)	Cvx	Fi	Vi
10	34.7	1204.09	1455.15	1752125.7	0.152	496.374	496.374
9	31.4	985.96	2678.82	2641209.4	0.229	748.250	1244.62
8	28.1	789.61	2678.82	2115223.1	0.183	599.239	1843.86
7	24.8	615.04	2678.82	1647581.5	0.143	466.757	2310.61
6	21.5	462.25	2678.82	1238284.6	0.107	350.804	2661.42
5	18.2	331.24	2730.64	904498.1	0.078	256.243	2917.66
4	14.9	222.01	2730.64	606230.0	0.053	171.744	3089.40
3	11.6	134.56	2730.64	367435.3	0.032	104.094	3193.50
2	8.3	68.89	2730.64	188114.0	0.016	53.292	3246.79
1	5	25	3054.42	76360.6	0.007	21.633	3268.42
TOTAL		26147.4	11537062				

5.4 Analisis Struktur

Hasil analisis struktur harus dikontrol terhadap suatu batasan-batasan tertentu untuk menentukan kelayakan sistem struktur tersebut. Kontrol-kontrol tersebut adalah sebagai berikut:

- Kontrol partisipasi massa
- Kontrol periode getar struktur
- Kontrol nilai akhir respon spektrum
- Kontrol batas simpangan (*drift*)

Dari hasil analisis struktur juga dipilih gaya dalam maksimum yang terjadi pada masing-masing elemen struktur sebagai kontrol kapasitas penampang.

5.4.1 Kontrol Partisipasi Massa

Untuk mendapatkan hasil analisis struktur yang baik, analisis yang dilakukan harus menyertakan jumlah ragam yang

cukup untuk mendapatkan partisipasi massa ragam terkombinasi minimal 90% dari massa aktual dari masing-masing arah horizontal orthogonal dari respon yang ditinjau ((SNI 03-1726-2012 pasal 7.9.1).

Pada perhitungan ini digunakan bantuan program SAP2000 untuk mendapatkan hasil partisipasi massa seperti pada tabel 5.4 dibawah ini.

Tabel 5.8 Ratio Partisipasi Massa

TABLE: Modal Participating Mass Ratios				
OutputCase	StepType	StepNum	SumUX	SumUY
Text	Text	Unitless	Unitless	Unitless
MODAL	Mode	1	0.75346	0.00044
MODAL	Mode	2	0.75382	0.5911
MODAL	Mode	3	0.75391	0.75647
MODAL	Mode	4	0.91042	0.75647
MODAL	Mode	5	0.91042	0.88967
MODAL	Mode	6	0.91051	0.91763
MODAL	Mode	7	0.92954	0.91765
MODAL	Mode	8	0.92973	0.9368
MODAL	Mode	9	0.94569	0.93712
MODAL	Mode	10	0.9458	0.95021
MODAL	Mode	11	0.94715	0.95115
MODAL	Mode	12	0.94809	0.95118
MODAL	Mode	13	0.95424	0.95317
MODAL	Mode	14	0.96472	0.95408

Dari tabel di atas didapat partisipasi massa arah X sebesar 91,04 % pada mode ke 4 dan partisipasi massa arah Y sebesar 91,76% pada mode ke 6. Maka dapat disimpulkan analisis struktur yang sudah dilakukan telah memenuhi syarat yang

terdapat pada SNI-03-1726-2012 pasal 7.9.1 yaitu partisipasi massa ragam terkombinasi paling sedikit sebesar 90%.

5.4.2 Kontrol Periode Getar Struktur

Dari hasil analisa program bantu SAP 2000 maka didapat $T_c = 0,66$ detik, $T_a = 1,045$ dan $C_u \times T_a = 1,463$ detik, karena $T_c < C_u \times T_a$ maka periode fundamental struktur masih memenuhi syarat SNI 03-1726-2012 Pasal 7.8.2.

5.4.3 Kontrol Nilai Akhir Respon Spektrum

Jika Nilai V_{dinamik} (V_t) dan V_{statik} (V) didapatkan dari *base reaction* hasil analisis struktur. SNI 03-1726-2012 pasal 7.9.4 mensyaratkan nilai akhir V_{dinamik} minimal 85% dari V_{statik} ($V_{\text{dinamik}} \geq 0,85 V_{\text{statik}}$).

Bila syarat ini tak terpenuhi maka gaya geser dasar ragam perlu dikalikan faktor skala gaya sebesar 0,85 V/V_t (SNI-1726-2012 pasal 7.9.4.1).

Tabel 5.9 Gaya Geser Dasar Akibat Beban Gempa

TABLE: Base Reactions		
OutputCase	GlobalFX	GlobalFY
Text	KN	KN
RS-X	4163.422	1125.512
RS-Y	1250.948	3744.592

Kontrol :

- Untuk gempa arah X :

$$V_{\text{dinamik}} \geq 85\% \times V_{\text{statik}}$$

$$4163,422 \text{ kN} \geq 85\% \times 3268,427 \text{ kN}$$

$$4163,422 \text{ kN} \geq 2778,163 \text{ kN} (\text{OK})$$

- Untuk gempa arah Y :

$$V_{\text{dinamik}} \geq 85\% \times V_{\text{statik}}$$

$$3744,592 \text{ kN} \geq 85\% \times 3268,427$$

$$3744,592 \text{ kN} \geq 3268,427 (\text{OK})$$

5.4.4 Kontrol Batas Simpangan Antar Lantai (*drift*)

Berdasarkan SNI 03-1726-2012 Pasal 7.8.6 untuk memenuhi persyaratan simpangan digunakan rumus :

$$u_x = \frac{C_d \cdot u_{xe}}{I_e}$$

Dimana :

- C_d = Faktor pembesaran defleksi (4).
- u_{xe} = Defleksi pada lantai x yang ditentukan dengan analisis elastis.
- I_e = Faktor keutamaan (1,0).
- a = 0,020 h_{sx}
- = Faktor redundansi (1,0)

Tabel 5.10 Gaya Geser Dasar Akibat Beban Gempa Arah Y

Lantai	hi	xe	x		a	a/	a/
		(mm)	(mm)	(mm)	(mm)	(mm)	(mm)
10	3300	16.50	66.00	2.00	66	66	OK
9	3300	16.00	64.00	4.80	66	66	OK
8	3300	14.80	59.20	6.80	66	66	OK
7	3300	13.10	52.40	8.80	66	66	OK
6	3300	10.90	43.60	10.00	66	66	OK
5	3300	8.40	33.60	5.60	66	66	OK
4	3300	7.00	28.00	6.40	66	66	OK
3	3300	5.40	21.60	6.80	66	66	OK
2	3300	3.70	14.80	7.20	66	66	OK
1	5000	1.90	7.60	7.60	100	100	OK

Tabel 5.11 Gaya Geser Dasar Akibat Beban Gempa Arah X

Lantai	hi	xe	x		a	a'	a'
		(mm)	(mm)	(mm)	(mm)	(mm)	(mm)
10	3300	24.00	96.00	4.00	66	66	OK
9	3300	23.00	92.00	7.20	66	66	OK
8	3300	21.20	84.80	9.60	66	66	OK
7	3300	18.80	75.20	12.00	66	66	OK
6	3300	15.80	63.20	14.00	66	66	OK
5	3300	12.30	49.20	8.80	66	66	OK
4	3300	10.10	40.40	9.60	66	66	OK
3	3300	7.70	30.80	9.60	66	66	OK
2	3300	5.30	21.20	10.40	66	66	OK
1	5000	2.70	10.80	10.80	100	100	OK

Dari hasil analisa tabel di atas maka analisis struktur memenuhi persyaratan sesuai dengan SNI 03-1726-2012 Pasal 7.9.3 dan Pasal 7.12.1.

“Halaman ini sengaja dikosongkan”

BAB VI

PERENCANAAN STRUKTUR PRIMER

6.1 Perencanaan Elemen Struktur Primer

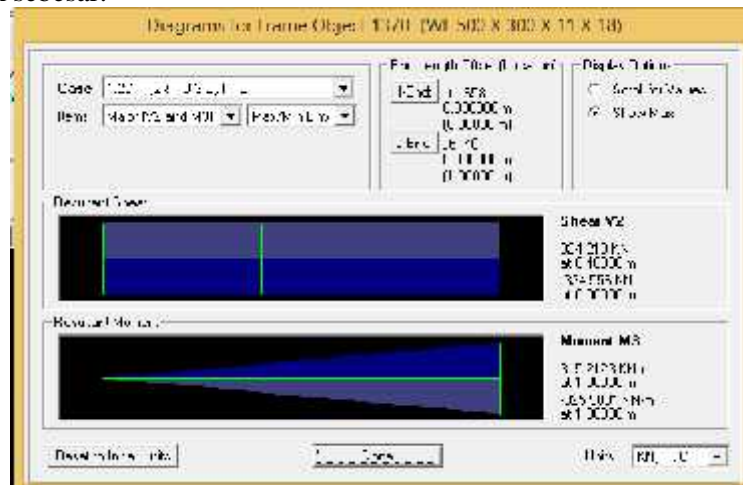
6.1.1 Link

6.1.1.1 Link Arah X

Pada *link* arah X direncanakan menggunakan profil WF 500 x 300 x 11 x 18 dengan data- data sebagai berikut:

d = 488 mm	ix = 20,8 cm
bf = 300 mm	iy = 7,04 cm
tf = 18 mm	Zx = 3100 cm ³
tw = 11 mm	Zy = 824 cm ³
A = 163,5 cm ²	Sx = 2910 cm ³
q = 128 kg/m	Sy = 541 cm ³
Ix = 71000 cm ⁴	r = 26 cm
Iy = 8110 cm ⁴	h = d - 2(tf+r)
Fy = 250 Mpa (BJ-41)	= 400 mm

Hasil dari output SAP 2000 untuk *link* arah x diperoleh gaya dalam sebesar:



Gambar 6.1 Gaya Dalam Link Arah X

$$Nu = 12198,2 \text{ kg}$$

$$Vu = 32455,6 \text{ kg}$$

$$e = 9,8 \text{ mm}$$

- Kontrol penampang

Pelat sayap

$$\lambda = \frac{bf}{2tf} = \frac{300}{2.18} = 8,33$$

$$\lambda_p = \frac{135}{\sqrt{fy}} = 8,538$$

$$\lambda < \lambda_p \rightarrow \text{Penampang Kompak}$$

Pelat badan

$$Ny = Ag \times fy$$

$$= 163,5 \text{ cm}^2 \times 2500 \text{ kg/m}^2$$

$$= 408750 \text{ kg}$$

$$\frac{Nu}{\emptyset \cdot Ny} = \frac{12198,2}{0,9 \cdot 408750} = 0,03 < 0,125$$

$$\lambda = \frac{h}{tw} = \frac{400}{11} = 36,36$$

$$\lambda_p = \frac{1365}{\sqrt{fy}} \cdot \left(1 - 1,54 \cdot \frac{Nu}{\emptyset \cdot Ny} \right)$$

$$\lambda_p = \frac{1365}{\sqrt{250}} \cdot (1 - 1,54 \times 0,03) = 82,34$$

$$\lambda < \lambda_p \rightarrow \text{Penampang Kompak}$$

Karena penampang kompak, maka:

$$Ny = Ag \times fy$$

$$= 163,5 \text{ cm}^2 \times 2500 \text{ kg/m}^2$$

$$= 408750 \text{ kg}$$

$$0,15 Ny = 0,15 \cdot 408750 \text{ kg} = 61312,5 \text{ kg} > Nu$$

Karena $0,15 Ny > Nu$, sehingga berdasarkan SNI03-1729-2002 Pasal 15.13.2.5, pengaruh gaya aksial pada kuat geser rencana link tidak diperhitungkan.

- Kontrol kuat geser

$$\begin{aligned} V_p &= 0,6 \cdot F_y \cdot (d - 2 \cdot t_f) \cdot t_w \\ &= 0,6 \cdot 2500 \cdot (48,8 - 2 \cdot 1,8) \cdot 1,1 \\ &= 74580 \text{ kg (menentukan)} \end{aligned}$$

$$M_{px} = f_y \times Z_x = 2500 \times 3100 = 7750000 \text{ kg.cm}$$

$$1,5 \cdot S_x \cdot f_y = 1,5 \cdot 2910 \cdot 2500 = 10912500 \text{ kg.cm}$$

$$M_{px} \text{ menentukan} = 7750000 \text{ kg.cm}$$

$$2 \cdot M_p / e = 2 \cdot 7750000 / 100 = 155000 \text{ kg}$$

$$\cdot V_n = 0,9 \cdot 74580 = 67122 \text{ kg}$$

$$\cdot V_n > V_u = 67122 \text{ kg} > 32455,6 \text{ kg (OK)}$$

- Kontrol sudut rotasi *link*

Sudut rotasi *link*

$$1,6 \cdot M_p / V_p = 1,6 \cdot 7750000 / 74580 = 166,264 \text{ cm}$$

$$2,6 \cdot M_p / V_p = 2,6 \cdot 7750000 / 74580 = 270,18 \text{ cm}$$

$$e = 100 \text{ cm} < 1,6 \cdot M_p / V_p$$

Karena $e < 1,6 \cdot M_p / V_p$, berdasarkan SNI03-1729-2002

Pasal 15.13.2.7 umaks = 0,08 radian

$$= C_d \cdot \Delta e = 4 \cdot 9,8 \text{ mm} = 39,2 \text{ mm}$$

$$= \left(\frac{L}{e} \right) \cdot \emptyset = \left(\frac{600}{100} \right) \cdot \left(\frac{3,92}{330} \right) = 0,07 \text{ radian}$$

< maks (OK)

6.1.1.2 Pengaku *Link* Arah X

Berdasarkan SNI 03-1729-2002 Pasal 15.13.3.1, Ditiuk pertemuan dengan batang bressing pada *link*, harus dipasang pengaku setinggi badan *link* dan berada di kedua sisi pelat badan *link*. Pengaku tersebut harus mempunyai lebar total tidak kurang dari $(bf - 2tf)$ dan ketebalan yang tidak kurang dari nilai terbesar antara $0,75tw$ atau 10 mm , bf dan tw merupakan lebar pelat sayap dan tebal pelat badab *link*.

Untuk pengaku dengan panjang $link < 1,6 \cdot M_p / V_p$, harus direncanakan memiliki pengaku antara dengan spasi tidak memiliki harga-harga berikut:

Untuk $= 0,08 \text{ radian}$

$$S = 30 \cdot tw - d/5 = 30 \cdot 1,1 - 48,8/5 = 23,24 \text{ cm}$$

Untuk $\theta = 0,02$ radian

$$S = 52 \cdot tw - d/5 = 52 \cdot 1,1 - 48,8/5 = 47,44 \text{ cm}$$

Untuk $\theta = 0,07$ radian, maka harus diinterpolasi

$$S = 23,24 + \left(\frac{0,08 - 0,07}{0,08 - 0,02} \right) \cdot (47,44 - 23,24) = 27,2 \text{ cm}$$

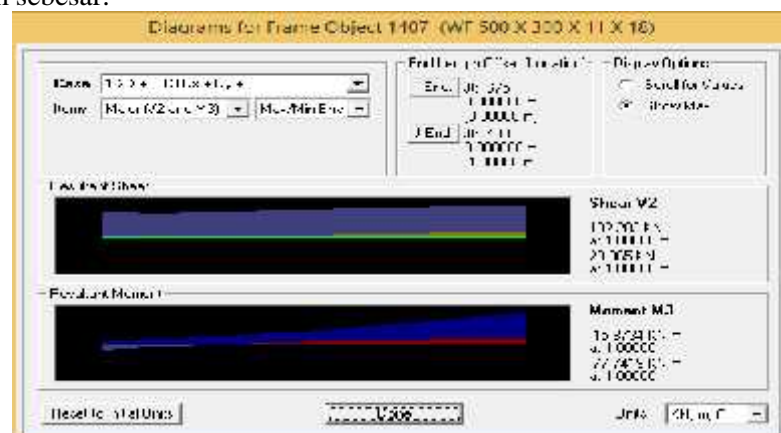
Dipasang pengaku antara dengan jarak 20 cm

6.1.1.3 Link Arah Y

Pada link arah Y direncanakan menggunakan profil WF 500 x 300 x 11 x 18 dengan data-data sebagai berikut:

d	= 488 mm	ix	= 20,8 cm
bf	= 300 mm	iy	= 7,04 cm
tf	= 18 mm	Zx	= 3100 cm^3
tw	= 11 mm	Zy	= 824 cm^3
A	= 163,5 cm^2	Sx	= 2910 cm^3
q	= 128 kg/m	Sy	= 541 cm^3
I_x	= 71000 cm^4	r	= 26 cm
I_y	= 8110 cm^4	h	= $d - 2(tf+r)$
F_y	= 250 Mpa (BJ-41)		= 400 mm

Hasil dari output SAP 2000 untuk link arah Y diperoleh gaya dalam sebesar:



Gambar 6.2 Gaya Dalam Link Arah Y

$$\begin{aligned} \text{Nu} &= 421 \text{ kg} \\ \text{Vu} &= 10220,2 \text{ kg} \\ e &= 13,9 \text{ mm} \end{aligned}$$

- Kontrol penampang

Pelat sayap

$$\lambda = \frac{bf}{2tf} = \frac{300}{2.18} = 8,33$$

$$\lambda_p = \frac{135}{\sqrt{fy}} = 8,538$$

$$\lambda < \lambda_p \rightarrow \text{Penampang Kompak}$$

Pelat badan

$$\begin{aligned} Ny &= Ag \times fy \\ &= 163,5 \text{ cm}^2 \times 2500 \text{ kg/m}^2 \\ &= 408750 \text{ kg} \end{aligned}$$

$$\frac{Nu}{\phi \cdot Ny} = \frac{421}{0,9 \cdot 408750} = 0,002 < 0,125$$

$$\lambda = \frac{h}{tw} = \frac{400}{11} = 36,36$$

$$\lambda_p = \frac{1365}{\sqrt{fy}} \left(1 - 1,54 \cdot \frac{Nu}{\phi \cdot Ny} \right)$$

$$\lambda_p = \frac{1365}{\sqrt{250}} \cdot (1 - 1,54 \times 0,002) = 86,17$$

$$\lambda < \lambda_p \rightarrow \text{Penampang Kompak}$$

Karena penampang kompak, maka:

$$\begin{aligned} Ny &= Ag \times fy \\ &= 163,5 \text{ cm}^2 \times 2500 \text{ kg/m}^2 \\ &= 408750 \text{ kg} \end{aligned}$$

$$0,15 Ny = 0,15 \cdot 408750 \text{ kg} = 61312,5 \text{ kg} > Nu$$

Karena $0,15 Ny > Nu$, sehingga berdasarkan SNI03-1729-2002 Pasal 15.13.2.5, pengaruh gaya aksial pada kuat geser rencana link tidak diperhitungkan

- Kontrol kuat geser

$$V_p = 0,6 \cdot fy \cdot (d - 2 \cdot tf) \cdot tw$$

$$= 0,6 \cdot 2500 \cdot (48,8 - 2 \cdot 1,8) \cdot 1,1 \\ = 74580 \text{ kg (menentukan)}$$

$$\begin{aligned} M_{px} &= f_y \times Z_x = 2500 \times 3100 = 7750000 \text{ kg.cm} \\ 1,5 \cdot S_x \cdot f_y &= 1,5 \cdot 2910 \cdot 2500 = 10912500 \text{ kg.cm} \\ M_{px} \text{ menentukan} &= 7750000 \text{ kg.cm} \\ 2 \cdot M_p / e &= 2 \cdot 7750000 / 100 = 155000 \text{ kg} \\ \cdot V_n &= 0,9 \cdot 74580 = 67122 \text{ kg} \\ \cdot V_n > V_u &= 67122 \text{ kg} > 10220,2 \text{ kg (OK)} \end{aligned}$$

- Kontrol sudut rotasi *link*

Sudut rotasi *link*

$$1,6 \cdot M_p / V_p = 1,6 \cdot 7750000 / 74580 = 166,264 \text{ cm}$$

$$2,6 \cdot M_p / V_p = 2,6 \cdot 7750000 / 74580 = 270,18 \text{ cm}$$

$$e = 100 \text{ cm} < 1,6 \cdot M_p / V_p$$

Karena $e < 1,6 \cdot M_p / V_p$, berdasarkan SNI03-1729-2002

Pasal 15.13.2.7 amaks = 0,08 radian

$$= C_d \cdot \Delta e = 4 \cdot 13,9 \text{ mm} = 55,6 \text{ mm}$$

$$= \left(\frac{L}{e}\right) \cdot \emptyset = \left(\frac{455}{100}\right) \cdot \left(\frac{5,56}{330}\right) = 0,076 \text{ radian}$$

< amaks (OK)

6.1.1.4 Pengaku Link Arah Y

Berdasarkan SNI03-1729-2002 Pasal 15.13.3.1, Ditetik pertemuan dengan batang bressing pada *link*, harus dipasang pengaku setinggi badan *link* dan berada di kedua sisi pelat badan *link*. Pengaku tersebut harus mempunyai lebar total tidak kurang dari ($bf - 2tf$) dan ketebalan yang tidak kurang dari nilai terbesar antara $0,75tw$ atau 10 mm , bf dan tw merupakan lebar pelat sayap dan tebal pelat badan *link*.

Untuk pengaku dengan panjang $link < 1,6 \cdot M_p / V_p$, harus direncanakan memiliki pengaku antara dengan spasi tidak memiliki harga-harga berikut:

Untuk $\emptyset = 0,08 \text{ radian}$

$$S = 30 \cdot tw - d/5 = 30 \cdot 1,1 - 48,8/5 = 23,24 \text{ cm}$$

Untuk $\emptyset = 0,02 \text{ radian}$

$$S = 52 \cdot tw - d/5 = 52 \cdot 1,1 - 48,8/5 = 47,44 \text{ cm}$$

Untuk $\theta = 0,07$ radian, maka harus diinterpolasi

$$S = 23,24 + \left(\frac{0,08 - 0,07}{0,08 - 0,02} \right) \cdot (47,44 - 23,24) = 27,2 \text{ cm}$$

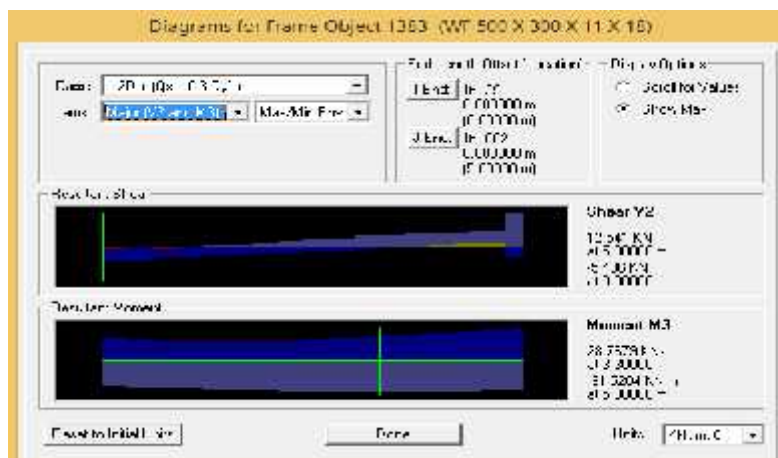
Dipasang pengaku antara dengan jarak 20 cm

6.1.2 Balok Diluar Link

6.1.2.1 Balok Diluar Link Arah X

Balok diluar link arah X direncanakan menggunakan profil WF 500 x 300 x 11x 18, dengan data-data sebagai berikut:

$d = 488 \text{ mm}$	$ix = 20,8 \text{ cm}$
$bf = 300 \text{ mm}$	$iy = 7,04 \text{ cm}$
$tf = 18 \text{ mm}$	$Z_x = 3100 \text{ cm}^3$
$tw = 11 \text{ mm}$	$Z_y = 824 \text{ cm}^3$
$A = 163,5 \text{ cm}^2$	$S_x = 2910 \text{ cm}^3$
$q = 128 \text{ kg/m}$	$S_y = 541 \text{ cm}^3$
$I_x = 71000 \text{ cm}^4$	$r = 26 \text{ cm}$
$I_y = 8110 \text{ cm}^4$	$h = d - 2(tf+r)$
$F_y = 250 \text{ Mpa (BJ-41)}$	$= 400 \text{ mm}$



Gambar 6.3 Balok diluar Link Arah X

$$Mu = 315204 \text{ kg.cm}$$

Berdasarkan SNI03-1729-2002 Pasal 15.13.6.2, kuat perlu balok yang terletak diluar *link* harus ditentukan berdasarkan gaya-gaya yang ditimbulkan paling tidak 1,1 kali kuat geser nominal *link* sebesar $R_y V_n$. Dan kuat rencana balok diluar link dapat ditentukan menggunakan ketentuan kuat rencana yang dihitung berdasarkan butir 8 dan mengalikannya dengan faktor R_y .

$$V_u = 1,1 \times R_y \times V_n$$

V_n = Kuat geser nominal *link*, diambil yang terkecil dari V_p atau $2M_p/e$

$$\begin{aligned} V_p &= 0,6 \cdot f_y \cdot (d - 2tf) \cdot tw \\ &= 0,6 \cdot 2500 \cdot (48,8 - 2 \cdot 1,8) \cdot 1,1 = 74580 \text{ kg} \end{aligned}$$

$$2 \cdot M_p / e = 2 \cdot 7750000 / 100 = 155000 \text{ kg}$$

$$V_n \text{ menentukan} = 74580 \text{ kg}$$

$$\begin{aligned} \text{Maka, } V_u &= 1,1 \cdot 1,5 \cdot 74580 \\ &= 123057 \text{ kg} \end{aligned}$$

- Kontrol penampang

Pelat sayap

$$\lambda = \frac{bf}{2tf} = \frac{300}{2.18} = 8,33$$

$$\lambda_p \approx 0,38 \sqrt{\frac{E}{f_y}} = 0,38 \sqrt{\frac{2 \times 10^5}{250}} = 10,748$$

$\lambda < \lambda_p \rightarrow \text{Penampang Kompak}$

Pelat badan

$$\lambda = \frac{h}{tw} = \frac{400}{11} = 36,36$$

$$\lambda_p \approx 3,76 \sqrt{\frac{E}{f_y}} = 3,76 \sqrt{\frac{2 \times 10^5}{250}} = 106,35$$

$\lambda < \lambda_p \rightarrow \text{Penampang Kompak}$

- Kapasitas momen penampang

Karena penampang kompak, maka $M_n = M_p$

$$M_n = Z_x \times f_y$$

$$= 3100 \times 2500 = 7750000 \text{ kg.cm}$$

$$\phi_b \cdot M_n = 0,9 \times 7750000 \text{ kg.cm}$$

$$= 6975000 \text{ kg.cm} > M_u$$

- Kapasitas geser penampang

$$\lambda = \frac{h}{t_w} = \frac{400}{11} = 36,36$$

$$a = L - e = 6000 - 1000 = 5000 \text{ mm}$$

$$k_n = 5 + \frac{5}{(a/h)^2} = 5 + \frac{5}{(5000/488)^2} = 5,048$$

$$1,1 \cdot \sqrt{\frac{k_n \cdot E}{f_y}} = 1,1 \cdot \sqrt{\frac{5,048 \cdot 2000000}{2500}} = 69,9$$

$$\lambda \leq 1,1 \cdot \sqrt{\frac{k_n \cdot E}{f_y}} \rightarrow 36,36 < 69,9 \text{ (Plastis)}$$

$$V_n = 0,6 f_y A_w R_y$$

$$= 0,6 \times 2500 \times (48,8 \times 1,1) \times 1,5 = 120780 \text{ kg}$$

$$\phi V_n = 0,9 \cdot 120780 \text{ kg} = 108702 \text{ kg}$$

- Kontrol interaksi geser lentur

Pada perhitungan balok diluar link arah x $M_u = 315204 \text{ kg.cm}$ (Analisa dari SAP2000)

$$\frac{M_u}{\phi \cdot M_n} + 0,625 \frac{V_u}{\phi \cdot V_n} \leq 1,375$$

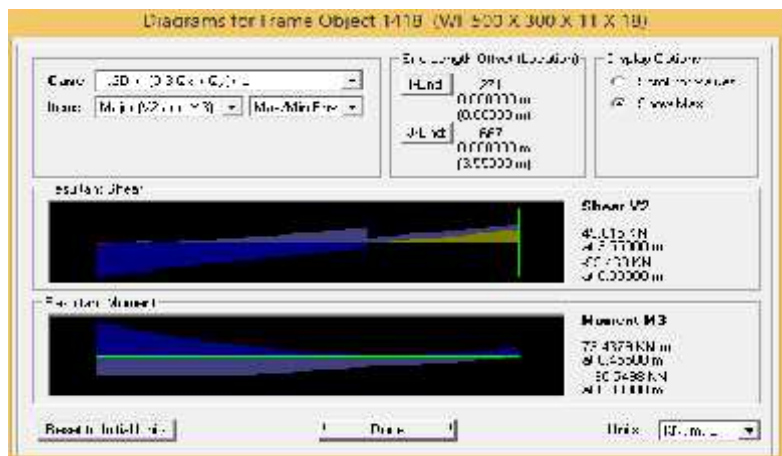
$$\frac{315204}{6975000} + 0,625 \frac{123057}{108702} \leq 1,375 \\ 0,752 \leq 1,375 \quad (\text{OK})$$

6.1.2.2 Balok Diluar Link Arah Y

Balok diluar link arah Y direncanakan menggunakan profil WF 500 x 300 x 11 x 18, dengan data-data sebagai berikut:

$$d = 488 \text{ mm} \quad i_x = 20,8 \text{ cm}$$

bf	= 300 mm	iy	= 7,04 cm
tf	= 18 mm	Zx	= 3100 cm ³
tw	= 11 mm	Zy	= 824 cm ³
A	= 163,5 cm ²	Sx	= 2910 cm ³
q	= 128 kg/m	Sy	= 541 cm ³
Ix	= 71000 cm ⁴	r	= 26 cm
Iy	= 8110 cm ⁴	h	= d - 2(tf+r)
Fy	= 250 Mpa (BJ-41)		= 400 mm



Gambar 6.4 Gaya Dalam Balok diluar Link Arah Y

Berdasarkan SNI03-1729-2002 Pasal 15.13.6.2, kuat perlu balok yang terletak diluar *link* harus ditentukan berdasarkan gaya-gaya yang ditimbulkan paling tidak 1,1 kali kuat geser nominal *link* sebesar $R_y V_n$. Dan kuat rencana balok diluar link dapat ditentukan menggunakan ketentuan kuat rencana yang dihitung berdasarkan butir 8 dan mengalikannya dengan faktor R_y .

$$V_u = 1,1 \times R_y \times V_n$$

V_n = Kuat geser nominal link, diambil yang terkecil dari V_p atau $2M_p$ /e

$$\begin{aligned} V_p &= 0,6 \cdot f_y \cdot (d - 2 \cdot tf) \cdot tw \\ &= 0,6 \cdot 2500 \cdot (48,8 - 2 \cdot 1,8) \cdot 1,1 = 74580 \text{ kg} \end{aligned}$$

$$2 \cdot M_p / e = 2 \cdot 7750000 / 100 = 155000 \text{ kg}$$

Vn menentukan = 74580 kg

Maka, Vu = 1,1 . 1,5 . 74580

$$= 123057 \text{ kg}$$

- Kontrol penampang

Pelat sayap

$$\lambda = \frac{bf}{2tf} = \frac{300}{2.18} = 8,33$$

$$\lambda_p = 0,38 \sqrt{\frac{E}{f_y}} = 10,75$$

$\lambda < \lambda_p \rightarrow$ Penampang Kompak

Pelat badan

$$\lambda = \frac{h}{tw} = \frac{400}{11} = 36,36$$

$$\lambda_p = 3,76 \sqrt{\frac{E}{f_y}} = 106,25$$

$\lambda < \lambda_p \rightarrow$ Penampang Kompak

- Kapasitas momen penampang

Karena penampang kompak, maka $M_n = M_p$

$M_n = Zx \times f_y$

$$= 3100 \times 2500 = 7750000 \text{ kg.cm}$$

$$\emptyset_b \cdot M_n = 0,9 \times 7750000 \text{ kg.cm}$$

$$= 6975000 \text{ kg.cm}$$

- Kapasitas geser penampang

$$\lambda = \frac{h}{tw} = \frac{400}{11} = 36,36$$

$$a = L - e = 4550 - 1000 = 3550$$

$$k_n = 5 + \frac{5}{(a/h)^2} = 5 + \frac{5}{(3550/488)^2} = 5,094$$

$$1,1 \cdot \sqrt{\frac{k_n \cdot E}{f_y}} = 1,1 \cdot \sqrt{\frac{5,094 \cdot 2000000}{2500}} = 70,22$$

$$\lambda \leq 1,1 \cdot \sqrt{\frac{k_n \cdot E}{f_y}} \rightarrow 36,36 < 70,22 \text{ (Plastis)}$$

$$V_n = 0,6 f_y A_w R_y$$

$$= 0,6 \times 2500 \times (48,8 \times 1,1) \times 1,5 = 120780 \text{ kg}$$

$$\phi V_n = 0,9 \cdot 120780 \text{ kg} = 108702 \text{ kg}$$

- Kontrol interaksi geser lentur

Pada perhitungan balok diluar link digunakan $M_u = 1305498 \text{ kg.cm}$ (Analisa dari SAP2000)

$$\frac{M_u}{\phi \cdot M_n} + 0,625 \frac{V_u}{\phi \cdot V_n} \leq 1,375$$

$$\frac{1305498}{6975000} + 0,625 \frac{123057}{108702} \leq 1,375$$

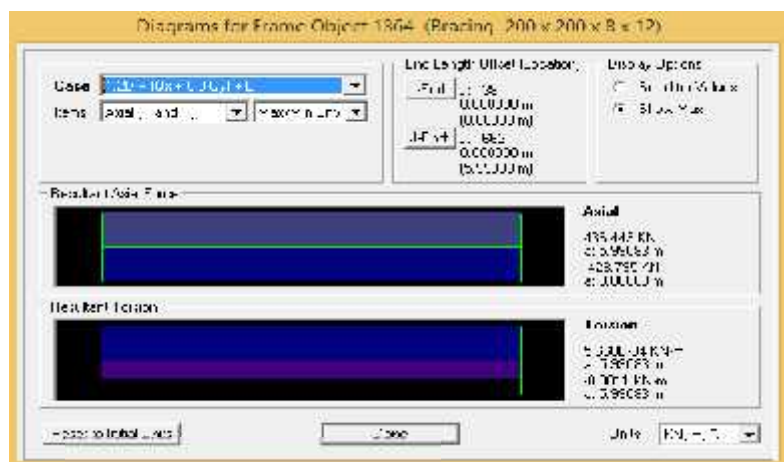
$$0,894 \leq 1,375 \quad (\text{OK})$$

6.1.3 Bressing

6.1.3.1 Bressing Arah X

Bressing arah X direncanakan menggunakan profil WF 200x 200 x 8 x 12, dengan data- data sebagai berikut:

$d = 200 \text{ mm}$	$ix = 8,62 \text{ cm}$
$bf = 200 \text{ mm}$	$iy = 5,02 \text{ cm}$
$tf = 12 \text{ mm}$	$Z_x = 513 \text{ cm}^3$
$tw = 8 \text{ mm}$	$Z_y = 243 \text{ cm}^3$
$A = 63,53 \text{ cm}^2$	$S_x = 472 \text{ cm}^3$
$q = 49,90 \text{ kg/m}$	$S_y = 160 \text{ cm}^3$
$I_x = 4720 \text{ cm}^4$	$r = 13 \text{ cm}$
$I_y = 1600 \text{ cm}^4$	$h = d - 2(tf+r)$
$f_y = 250 \text{ Mpa (BJ-41)}$	$= 150 \text{ mm}$



Gambar 6.5 Gaya Dalam Bresing Arah X

$$P_{utekan} = 42879,5 \text{ kg}$$

$$P_{utarik} = 43644,3 \text{ kg}$$

- Kontrol penampang

Pelat sayap

$$\lambda = \frac{bf}{2tf} = \frac{200}{2.12} = 8,33$$

$$\lambda_R = \frac{250}{\sqrt{fy}} = 15,81$$

$\lambda < \lambda_p \rightarrow$ Penampang tidak langsing

Pelat badan

$$\lambda = \frac{h}{tw} = \frac{150}{8} = 18,75$$

$$\lambda_R = \frac{665}{\sqrt{fy}} = 42,06$$

$\lambda < \lambda_R \rightarrow$ Penampang tidak langsing

- Kontrol kekuatan bresing

$$\text{Panjang bresing } L = \sqrt{500^2 + 330^2} = 599,08 \text{ cm}$$

$$\text{Arah } X \rightarrow \lambda_x = \frac{L_{kx}}{i_x} = \frac{599,08 \cdot 1}{8,62} = 69,499$$

$$\text{Arah } Y \rightarrow \lambda_y = \frac{L_{kx}}{i_y} = \frac{599,08 \cdot 1}{5,02} = 119,339$$

$$\lambda_y \rightarrow \lambda = 119,339$$

$$\lambda_c = \frac{\lambda}{\pi} \cdot \sqrt{\frac{f_y}{E}} = \frac{119,339}{\pi} \cdot \sqrt{\frac{250}{200000}} = 1,343$$

$\lambda_c > 1,2$ maka:

$$\omega = 1,25 \lambda c^2 = 1,25(1,343^2) = 2,254$$

Bressing tarik

$$P_{max} = R_y \cdot F_y \cdot Ag$$

$$= 1,5 \cdot 2500 \cdot 63,53 = 238237,50 \text{ kg}$$

$$\phi_c P_n = 0,90 \times 238237,50 \text{ kg} = 214413,75 \text{ kg}$$

$$\phi_c P_n > P_u \rightarrow 214413,75 \text{ kg} > 43644,3 \text{ kg (OK)}$$

Bressing tekan

$$P_{max} = 1,1 \cdot R_y \cdot Ag F_y / \omega$$

$$= 1,1 \cdot 1,5 \cdot 63,53 \cdot \frac{2500}{2,254} = 116229,536 \text{ kg}$$

$$\phi_c P_n = 0,9 \times 116229,536 \text{ kg} = 104606,582 \text{ kg}$$

$$\phi_c P_n > P_u \rightarrow 104606,582 \text{ kg} > 42879,5 \text{ kg (OK)}$$

6.1.3.2 Bressing Arah Y

Bressing arah Y direncanakan menggunakan profil WF 200 x 200 x 8 x 12, dengan data-data sebagai berikut:

$$d = 200 \text{ mm} \quad ix = 8,62 \text{ cm}$$

$$bf = 200 \text{ mm} \quad iy = 5,02 \text{ cm}$$

$$tf = 12 \text{ mm} \quad Zx = 513 \text{ cm}^3$$

$$tw = 8 \text{ mm} \quad Zy = 243 \text{ cm}^3$$

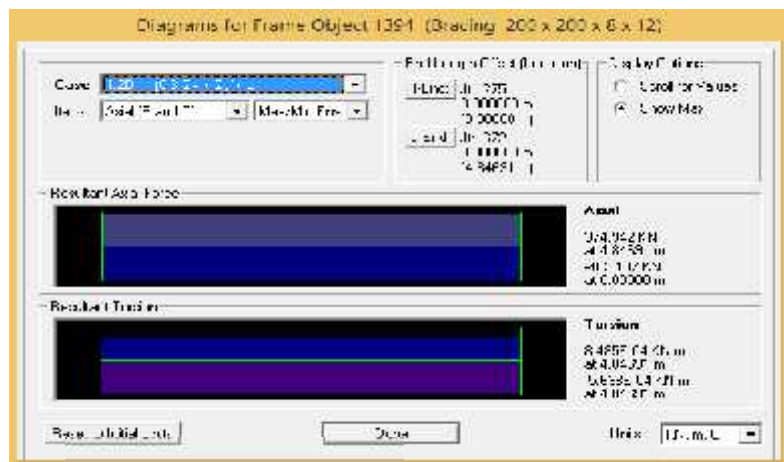
$$A = 63,53 \text{ cm}^2 \quad Sx = 472 \text{ cm}^3$$

$$q = 49,90 \text{ kg/m} \quad Sy = 160 \text{ cm}^3$$

$$Ix = 4720 \text{ cm}^4 \quad r = 13 \text{ cm}$$

$$Iy = 1600 \text{ cm}^4 \quad h = d - 2(tf+r)$$

$$Fy = 250 \text{ Mpa (BJ-41)} \quad = 150 \text{ mm}$$



Gambar 6.6 Gaya Dalam Bresing Arah Y

$$P_u \text{ tekan} = 40310,7 \text{ kg}$$

$$P_u \text{ tarik} = 37494,2 \text{ kg}$$

- Kontrol penampang
Pelat sayap

$$\lambda = \frac{bf}{2tf} = \frac{200}{2.12} = 8,33$$

$$\lambda_R = \frac{250}{\sqrt{fy}} = 15,81$$

$\lambda < \lambda_p \rightarrow$ Penampang tidak langsing

Pelat badan

$$\lambda = \frac{h}{tw} = \frac{150}{8} = 18,75$$

$$\lambda_R = \frac{665}{\sqrt{fy}} = 42,06$$

$\lambda < \lambda_R \rightarrow$ Penampang tidak langsing

- Kontrol kekuatan bresing

$$\text{Panjang bresing } L = \sqrt{355^2 + 330^2} = 484,69 \text{ cm}$$

$$\text{Arah } X \rightarrow \lambda_x = \frac{L_{kx}}{i_x} = \frac{484,69 \cdot 1}{8,62} = 56,229$$

$$\text{Arah } Y \rightarrow \lambda_y = \frac{L_{ky}}{i_y} = \frac{484,69 \cdot 1}{5,02} = 96,552$$

$$\lambda_y \rightarrow \lambda = 96,552$$

$$\lambda_c = \frac{\lambda}{\pi} \cdot \sqrt{\frac{f_y}{E}} = \frac{96,552}{\pi} \cdot \sqrt{\frac{250}{200000}} = 1,087$$

$0,25 < 1 < 1,2$ maka:

$$\omega = \frac{1,43}{1,6 - 0,67 \cdot \lambda_c} = \frac{1,43}{1,6 - 0,67 \cdot 1,087} = 1,64$$

Bresing tarik

$$P_{max} = R_y \cdot F_y \cdot Ag = 1,5 \cdot 2500 \cdot 63,53 = 238237,5 \text{ kg}$$

$$\phi_c P_n = 0,90 \times 238237,5 \text{ kg} = 214413,75 \text{ kg}$$

$$\phi_c P_n > Pu \rightarrow 214413,75 \text{ kg} > 37494,2 \text{ kg (OK)}$$

Bresing tekan

$$P_{max} = 1,1 \cdot R_y \cdot Ag \cdot F_y / \omega \\ = 1,1 \cdot 1,5 \cdot 63,53 \cdot 2500 / 1,64 = 159799,479 \text{ kg}$$

$$\phi_c P_n = 0,9 \times 159799,479 \text{ kg} = 143819,531 \text{ kg}$$

$$\phi_c P_n > Pu \rightarrow 143819,531 \text{ kg} > 40310,7 \text{ kg (OK)}$$

6.1.4 Balok Induk

6.1.4.1 Balok Induk Lantai Hotel Arah X Bentang 6 m

Balok induk direncanakan menggunakan profil WF 500 x 300 x 11 x 18, dengan data-data sebagai berikut:

$$d = 488 \text{ mm} \quad ix = 20,8 \text{ cm}$$

$$bf = 300 \text{ mm} \quad iy = 7,04 \text{ cm}$$

$$tf = 18 \text{ mm} \quad Zx = 3100 \text{ cm}^3$$

$$tw = 11 \text{ mm} \quad Zy = 824 \text{ cm}^3$$

$$A = 163,5 \text{ cm}^2 \quad Sx = 2910 \text{ cm}^3$$

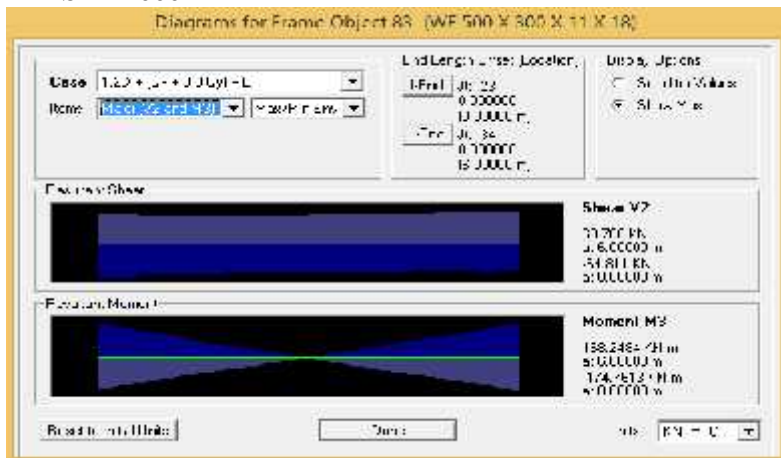
$$q = 128 \text{ kg/m} \quad Sy = 541 \text{ cm}^3$$

$$Ix = 71000 \text{ cm}^4 \quad r = 26 \text{ cm}$$

$$Iy = 8110 \text{ cm}^4 \quad h = d - 2(tf+r)$$

$$Fy = 250 \text{ Mpa (BJ-41)} \quad = 400 \text{ mm}$$

Pada perhitungan balok induk arah X bentang 6 m diperoleh gaya dalam dan lendutan yang terjadi berdasarkan analisis SAP 2000



Gambar 6.7 Gaya Dalam Balok Induk Lantai Arah X Bentang 6m

$$Mu = 1747613 \text{ kg.cm}$$

$$Vu = 6481,1 \text{ kg}$$

$$F^0 = 0,53 \text{ cm}$$

- Kontrol profil terhadap gaya lentur
 - Kontrol penampang terhadap tekuk lokal
Pelat sayap

$$\lambda_f = \frac{bf}{2tf} = \frac{300}{2.18} = 8,33$$

$$\lambda_p = 0,38 \sqrt{\frac{E}{f_y}} = 0,38 \sqrt{\frac{2 \times 10^5}{250}} = 10,75$$

$\lambda < \lambda_p \rightarrow$ Penampang Kompak

Pelat badan

$$\lambda = \frac{h}{tw} = \frac{400}{11} = 36,36$$

$$\lambda_p = 3,76 \sqrt{\frac{E}{f_y}} = 3,76 \sqrt{\frac{2 \times 10^5}{250}} = 106,35$$

$\lambda_w < \lambda_p \rightarrow$ Penampang Kompak

- Karena penampang kompak, maka $M_n = M_p$
- $M_p = f_y \cdot Zx = 2500 \times 3100$
 $= 7750000 \text{ kg.cm}$
 $= 77500 \text{ kg.m}$

- Cek kemampuan penampang

$$\emptyset_b \cdot M_n = M_u$$

$$\emptyset_b \cdot M_n = 0,9 \times 77500$$

$$= 69750 \text{ kg.m} \quad 17476,13 \text{ kg.m (OK)}$$

- Kontrol penampang terhadap tekuk lateral

$$L_b = 40 \text{ cm (Panjang tak terkekang)}$$

$$L_p = 350,45 \text{ cm} \quad \left. \right\} \text{ Dari Tabel (Lp & Lr)}$$

$$L_r = 1050,713 \text{ cm}$$

$L_b < L_p \rightarrow$ Bentang pendek, maka $M_n = M_p$

$$M_n = M_p = Zx \times f_y$$

$$= 3100 \text{ cm}^3 \times 2500 \text{ kg/cm}^2$$

$$= 7750000 \text{ kg.cm}$$

$$= 77500 \text{ kg.m}$$

$$\emptyset_b \cdot M_n = M_u$$

$$\emptyset_b \cdot M_n = 0,9 \times 77500$$

$$= 69750 \text{ kg.m} \quad 17476,13 \text{ kg.m (OK)}$$

- Kontrol penampang profil terhadap gaya geser

$$\frac{h}{tw} = \frac{400}{11} = 36,36 < 260 \rightarrow k_v = 5$$

$$p = 1,1 \sqrt{k_v \frac{E}{f_y}} = 1,1 \sqrt{5 \frac{2 \times 10^5}{250}} = 69,57$$

$$36,36 \leq 69,57 \rightarrow c_v = 1$$

$$\text{Maka, } V_n = 0,6 f_y A_w C_v$$

$$= 0,6 \times 2500 \times (48,8 \times 1,1)1 = 80520 \text{ kg}$$

$$\emptyset V_n = V_u$$

$$\emptyset V_n = 0,9 \cdot 80520 \text{ kg}$$

$$= 72468 \text{ kg} > 6481,1 \text{ kg (OK)}$$

- Kontrol lendutan

$$f_{lim} = \frac{L}{360} = \frac{600}{360} = 1,66 \text{ cm}$$

$$f^o = 0,53 \text{ cm}$$

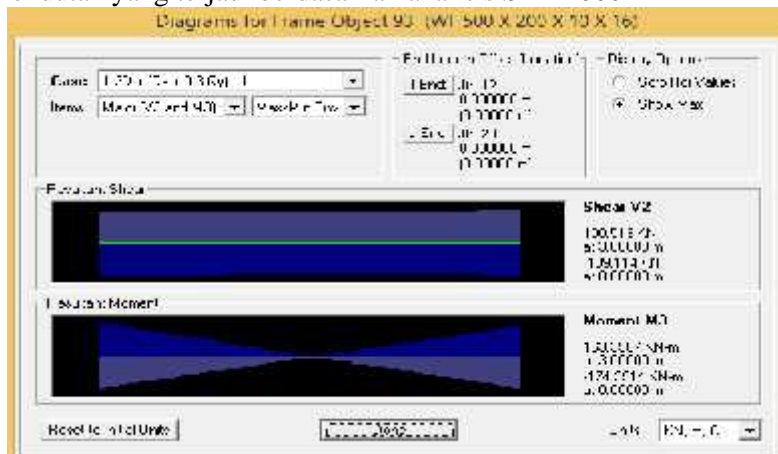
$$f^o < f_{lim} \rightarrow 0,53 \text{ cm} < 1,66 \text{ cm (OK)}$$

6.1.4.2 Balok Induk Lantai Hotel Arah X Bentang 3 m

Balok induk direncanakan menggunakan profil WF 500 x 200 x 10 x 16, dengan data-data sebagai berikut:

d	= 500 mm	ix	= 20,5 cm
bf	= 200 mm	iy	= 4,33 cm
tf	= 16 mm	Zx	= 2096 cm ³
tw	= 10 mm	Zy	= 332 cm ³
A	= 114,2 cm ²	Sx	= 1910 cm ³
q	= 89,6 kg/m	Sy	= 214 cm ³
Ix	= 47800 cm ⁴	r	= 20 cm
Iy	= 2140 cm ⁴	h	= d - 2(tf+r)
Fy	= 250 Mpa (BJ-41)		= 428 mm

Pada perhitungan balok induk arah X diperoleh gaya dalam dan lendutan yang terjadi berdasarkan analisis SAP 2000



Gambar 6.8 Gaya Dalam Balok Induk Lantai Arah X Bentang 3m

$$M_u = 1743914 \text{ kg.cm}$$

$$V_u = 10911,4 \text{ kg}$$

$$F^0 = 0,53 \text{ cm}$$

- Kontrol profil terhadap gaya lentur
 - Kontrol penampang terhadap tekuk 144ocal

Pelat sayap

$$\lambda_f = \frac{bf}{2tf} = \frac{200}{2.16} = 6,25$$

$$\lambda_p = 0,38 \sqrt{\frac{E}{f_y}} = 0,38 \sqrt{\frac{2x10^5}{250}} = 10,75$$

$\lambda < \lambda_p \rightarrow \text{Penampang Kompak}$

Pelat badan

$$\lambda = \frac{h}{tw} = \frac{428}{10} = 42,8$$

$$\lambda_p = 3,76 \sqrt{\frac{E}{f_y}} = 3,76 \sqrt{\frac{2x10^5}{250}} = 106,35$$

$\lambda_w < \lambda_p \rightarrow \text{Penampang Kompak}$

- Karena penampang kompak, maka $M_n = M_p$

$$M_p = f_y \cdot Z_x = 2500 \times 2096$$

$$= 5240000 \text{ kg.cm}$$

$$= 52400 \text{ kg.m}$$

- Cek kemampuan penampang

$$\emptyset_b \cdot M_n = M_u$$

$$\emptyset_b \cdot M_n = 0,9 \times 52400$$

$$= 47160 \text{ kg.m} \quad 17439,14 \text{ kg.m (OK)}$$

- Kontrol penampang terhadap tekuk lateral

$$L_b = 40 \text{ cm (Panjang tak terkekang)}$$

$$L_p = 215,55 \text{ cm} \quad \} \quad \text{Dari Tabel (Lp & Lr)}$$

$$L_r = 643,75 \text{ cm}$$

$L_b < L_p \rightarrow \text{Bentang Pendek, maka } M_n = M_p$

$$M_n = M_p = Z_x \times f_y$$

$$= 2096 \text{ cm}^3 \times 2500 \text{ kg/cm}^2$$

$$\begin{aligned}
 &= 5240000 \text{ kg.cm} \\
 &= 52400 \text{ kg.m} \\
 \varnothing_b \cdot M_n &\quad M_u \\
 \varnothing_b \cdot M_n &= 0,9 \times 52400 \\
 &= 47160 \text{ kg.m} \quad 17439,14 \text{ kg.m (OK)}
 \end{aligned}$$

- Kontrol penampang profil terhadap gaya geser

$$\frac{h}{tw} = \frac{428}{10} = 42,8 < 260 \rightarrow k_V = 5$$

$$p = 1,1 \sqrt{k_V \frac{E}{f_y}} = 1,1 \sqrt{5 \frac{2 \times 10^5}{250}} = 69,57$$

$$42,8 \leq 69,57 \rightarrow c_V = 1$$

$$\begin{aligned}
 \text{Maka, } V_n &= 0,6 f_y A_w C_V \\
 &= 0,6 \times 2500 \times (50 \times 1) 1 = 75000 \text{ kg}
 \end{aligned}$$

$$\varnothing V_n \quad V_u$$

$$\varnothing V_u = 0,9 \cdot 75000 \text{ kg}$$

$$= 67500 \text{ kg} > 10911,4 \text{ kg (OK)}$$

- Kontrol lendutan

$$f_{lijn} = \frac{L}{360} = \frac{300}{360} = 0,83 \text{ cm} \quad f^o = 0,53 \text{ cm}$$

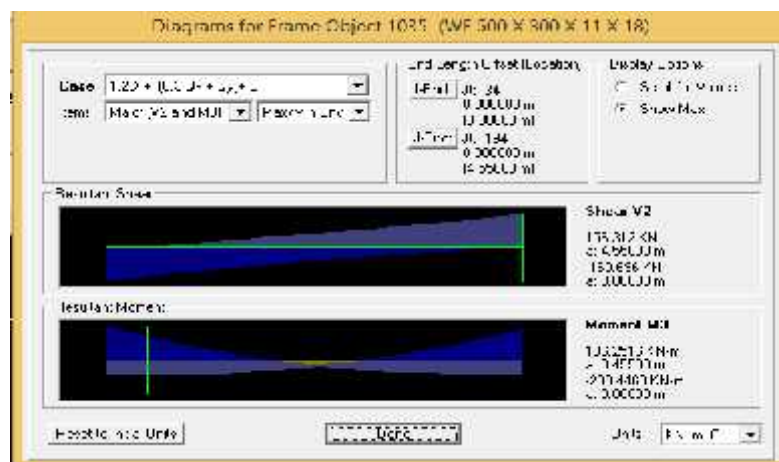
$$f^o < f_{lijn} \rightarrow 0,53 \text{ cm} < 0,833 \text{ cm (OK)}$$

6.1.4.3 Balok Induk Lantai Hotel Arah Y Bentang 4,55 m

Balok induk direncanakan menggunakan profil WF 500 x 300 x 11 x 18, dengan data-data sebagai berikut:

d	= 488 mm	ix	= 20,8 cm
bf	= 300 mm	iy	= 7,04 cm
tf	= 18 mm	Zx	= 3100 cm ³
tw	= 11 mm	Zy	= 824 cm ³
A	= 163,5 cm ²	Sx	= 2910 cm ³
q	= 128 kg/m	Sy	= 541 cm ³
Ix	= 71000 cm ⁴	r	= 26 cm
Iy	= 8110 cm ⁴	h	= d - 2(tf+r)
Fy	= 250 Mpa (BJ-41)		= 400 mm

Pada perhitungan balok induk arah Y bentang 4,55 m diperoleh gaya dalam dan lendutan yang terjadi berdasarkan analisis SAP 2000



Gambar 6.9 Gaya Dalam Balok Induk Lantai Arah Y Bentang 4,55m

$$M_u = 23844,68 \text{ kg.m}$$

$$V_u = 16069,6 \text{ kg}$$

$$F^0 = 0,37 \text{ cm}$$

- Kontrol profil terhadap gaya lentur
 - Kontrol penampang terhadap tekuk 146ocal
Pelat sayap

$$\lambda_f = \frac{bf}{2tf} = \frac{300}{2.18} = 8,33$$

$$\lambda_p = 0,38 \sqrt{\frac{E}{f_y}} = 0,38 \sqrt{\frac{2 \times 10^5}{250}} = 10,75$$

$$\lambda < \lambda_p \rightarrow \text{Penampang Kompak}$$
 Pelat badan

$$\lambda = \frac{h}{tw} = \frac{400}{11} = 36,36$$

$$\lambda_p = 3,76 \sqrt{\frac{E}{f_y}} = 3,76 \sqrt{\frac{2 \times 10^5}{250}} = 106,35$$

$$\lambda_w < \lambda_p \rightarrow \text{Penampang Kompak}$$
 - Karena penampang kompak, maka $M_n = M_p$

$$\begin{aligned}
 M_p &= f_y \cdot Zx = 2500 \times 3100 \\
 &= 7750000 \text{ kg.cm} \\
 &= 77500 \text{ kg.m}
 \end{aligned}$$

- Cek kemampuan penampang

$$\begin{aligned}
 \varnothing_b \cdot M_n &= M_u \\
 \varnothing_b \cdot M_n &= 0,9 \times 77500 \\
 &= 69750 \text{ kg.m} \quad 23844,68 \text{ kg.m (OK)}
 \end{aligned}$$

- Kontrol penampang terhadap tekuk lateral

$$\begin{aligned}
 L_b &\approx 227,5 \text{ cm (Panjang tak terkekang)} \\
 L_p &\approx 350,45 \text{ cm } \quad \boxed{\text{Dari Tabel (Lp & Lr)}} \\
 L_r &\approx 1050,713 \text{ cm}
 \end{aligned}$$

$$L_b < L_p \rightarrow \text{Bentang Pendek, maka } M_n = M_p$$

$$\begin{aligned}
 M_n &= M_p = Zx \cdot f_y \\
 &= 3100 \text{ cm}^3 \times 2500 \text{ kg/cm}^2 \\
 &= 7750000 \text{ kg.cm} \\
 &= 77500 \text{ kg.m}
 \end{aligned}$$

$$\begin{aligned}
 \varnothing_b \cdot M_n &= M_u \\
 \varnothing_b \cdot M_n &= 0,9 \times 77500 \\
 &= 69750 \text{ kg.m} \quad 23844,68 \text{ kg.m (OK)}
 \end{aligned}$$

- Kontrol penampang profil terhadap gaya geser

$$\frac{h}{tw} = \frac{400}{11} = 36,36 < 260 \Rightarrow k_v = 5$$

$$p = 1,1 \sqrt{k_v \frac{E}{f_y}} = 1,1 \sqrt{5 \frac{2 \times 10^5}{250}} = 69,57$$

$$36,36 \leq 69,57 \rightarrow c_v = 1$$

$$\begin{aligned}
 \text{Maka, } V_n &= 0,6 f_y A_w C_v \\
 &= 0,6 \times 2500 \times (48,8 \times 1,1)1 = 80520 \text{ kg}
 \end{aligned}$$

$$\begin{aligned}
 \varnothing V_n &= V_u \\
 \varnothing V_n &= 0,9 \cdot 80520 \text{ kg} \\
 &= 72468 \text{ kg} > 16069,6 \text{ kg (OK)}
 \end{aligned}$$

- Kontrol lendutan

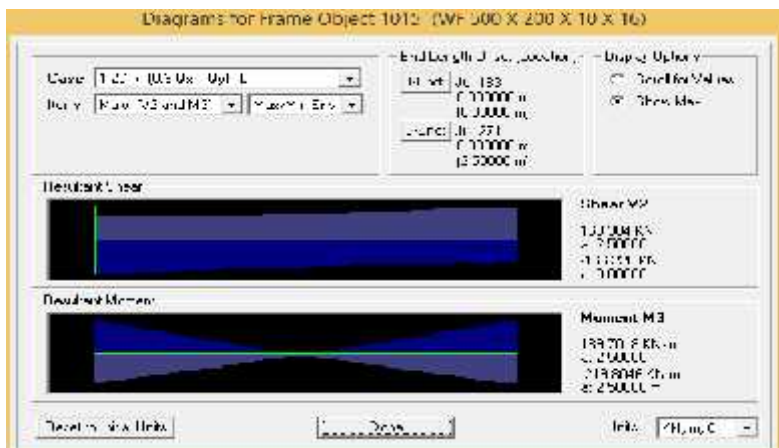
$$\begin{aligned}
 f_{ijin} &\approx \frac{L}{360} = \frac{4,55}{360} = 1,26 \text{ cm} \quad f^o = 0,37 \text{ cm} \\
 f^o &< f_{ijin} \rightarrow 0,37 \text{ cm} < 1,26 \text{ cm (OK)}
 \end{aligned}$$

6.1.4.4 Balok Induk Lantai Hotel Arah Y Bentang 2,275 m

Balok induk direncanakan menggunakan profil WF 500 x 200 x 10 x 16, dengan data-data sebagai berikut:

$d = 500 \text{ mm}$	$ix = 20,5 \text{ cm}$
$bf = 200 \text{ mm}$	$iy = 4,33 \text{ cm}$
$tf = 16 \text{ mm}$	$Zx = 2096 \text{ cm}^3$
$tw = 10 \text{ mm}$	$Zy = 332 \text{ cm}^3$
$A = 114,2 \text{ cm}^2$	$Sx = 1910 \text{ cm}^3$
$q = 89,6 \text{ kg/m}$	$Sy = 214 \text{ cm}^3$
$I_x = 47800 \text{ cm}^4$	$r = 20 \text{ cm}$
$I_y = 2140 \text{ cm}^4$	$h = d - 2(t_f + r)$
$F_y = 250 \text{ Mpa (BJ-41)}$	$= 428 \text{ mm}$

Pada perhitungan balok induk arah X diperoleh gaya dalam dan lendutan yang terjadi berdasarkan analisis SAP 2000



Gambar 6.10 Gaya Dalam Balok Induk Lantai Arah Y Bentang 2,275m

$$Mu = 21980,46 \text{ kg.m}$$

$$Vu = 16622 \text{ kg}$$

$$F^0 = 0,3 \text{ cm}$$

- Kontrol profil terhadap gaya lentur
 - Kortrol penampang terhadap tekuk lokal
Pelat sayap
$$\lambda_f = \frac{bf}{2tf} = \frac{200}{2.16} = 6,25$$

$$\lambda_p = 0,38 \sqrt{\frac{E}{f_y}} = 0,38 \sqrt{\frac{2x10^5}{250}} = 10,75$$

$\lambda < \lambda_p \rightarrow \text{Penampang Kompak}$

Pelat badan

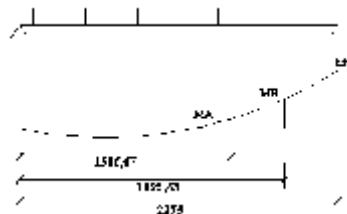
$$\lambda = \frac{h}{tw} = \frac{428}{10} = 42,8$$

$$\lambda_p = 3,76 \sqrt{\frac{E}{f_y}} = 3,76 \sqrt{\frac{2x10^5}{250}} = 106,35$$

$\lambda_w < \lambda_p \rightarrow \text{Penampang Kompak}$

 - Karena penampang kompak, maka $M_n = M_p$
- $$M_p = f_y \cdot Z_x = 2500 \times 2096$$
- $$= 5240000 \text{ kg.cm}$$
- $$= 52400 \text{ kg.m}$$
- Cek kemampuan penampang
- $$\emptyset_b \cdot M_n = M_u$$
- $$\emptyset_b \cdot M_n = 0,9 \times 52400$$
- $$= 47160 \text{ kg.m} \quad 21980,46 \text{ kg.m (OK)}$$

- Kontrol penampang terhadap tekuk lateral
- | | |
|--|------------------------------|
| $L_b = 227,5 \text{ cm}$ (Panjang tak terkekang) | |
| $L_p = 215,55 \text{ cm}$ | Dari Tabel (L_p & L_r) |
| $L_r = 643,75 \text{ cm}$ | |
- $L_p < L_b < L_r \rightarrow \text{Bentang menengah}$
- Maka $M_n = C_b [M_p - (M_p - 0,7 f_y S_x) \left(\frac{L_b - L_r}{L_r - L_p} \right)] \leq M_p$
- $$M_p = f_y \cdot Z_x$$
- $$= 2500 \times 2096$$
- $$= 5240000 \text{ kg.cm} = 52400 \text{ kg.m}$$



Gambar 6.11 Diagram momen balok lantai bentang 2,275 m

Dari SAP 2000 diperoleh output sebagai berikut :

$$M_A = 541527 \text{ kg.cm}$$

$$M_B = 1075410 \text{ kg.cm}$$

$$M_C = M_{max} = 1839287 \text{ kg.cm}$$

$$C_b = \frac{12,5 M_{max}}{2,5 M_{max} + 3 M_A + 4 M_B + 3 M_C} \leq 2,3$$

$$= \frac{12,5 \times 1839287}{2,5 \times 1839287 + 3 \times 541527 + 4 \times 1075410 + 3 \times 1839287}$$

$$= 1,434 < 2,3 \rightarrow C_b = 1,434$$

$$M_n = C_b [M_p - (M_p - 0,7 f_y S_x) \left(\frac{L_b - L_r}{L_r - L_p} \right)] \leq M_p$$

$$= 1,434 [5240000 - (5240000 - 0,7 \times 2500 \times 1910) \left(\frac{227,5 - 215,55}{643,75 - 215,55} \right)]$$

$$= 7438243,682 \text{ kg.cm}$$

$$= 69615,83 \text{ kg.m} > 52400 \text{ kg.m} \quad \text{dipakai } 52400 \text{ kg.m}$$

Cek kemampuan penampang

$$\phi_b \cdot M_n \quad M_u$$

$$\phi_b \cdot M_n = 0,9 \times 52400$$

$$= 47160 \text{ kg.m} \quad 21980,46 \text{ kg.m (OK)}$$

- Kontrol penampang profil terhadap gaya geser

$$\frac{h}{tw} = \frac{428}{10} = 42,8 < 260 \rightarrow k_v = 5$$

$$p = 1,1 \sqrt{k_v \frac{E}{f_y}} = 1,1 \sqrt{5 \frac{2 \times 10^5}{250}} = 69,57$$

$$42,8 \leq 69,57 \rightarrow c_v = 1$$

$$\text{Maka, } V_n = 0,6 f_y A_w C_v$$

$$= 0,6 \times 2500 \times (50 \times 1) 1 = 75000 \text{ kg}$$

$$\begin{aligned}\bar{\phi} V_n &= V_u \\ \bar{\phi} V_u &= 0,9 \cdot 75000 \text{ kg} \\ &= 67500 \text{ kg} > 16622 \text{ kg (OK)}\end{aligned}$$

- Kontrol lendutan

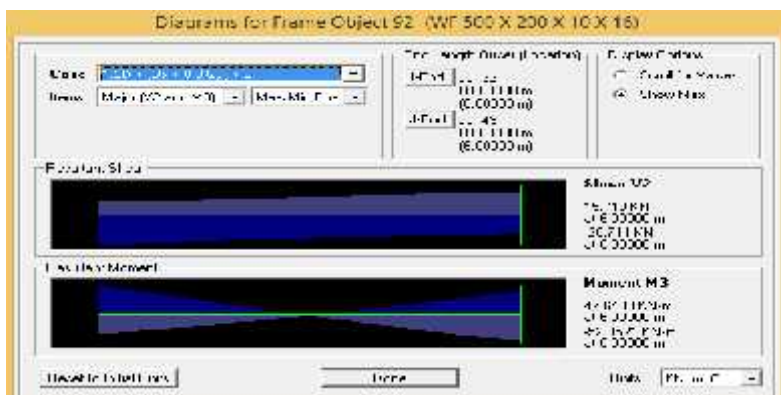
$$\begin{aligned}f_{ijln} &= \frac{l}{360} = \frac{227,5}{360} = 0,63 \text{ cm} & f^o &= 0,3 \text{ cm} \\ f^o &< f_{ijln} \rightarrow 0,3 \text{ cm} < 0,63 \text{ cm (OK)}\end{aligned}$$

6.1.4.5 Balok Induk Atap Arah X Bentang 6 m

Balok induk direncanakan menggunakan profil WF 500 x 200 x 10 x 16, dengan data-data sebagai berikut:

d	= 500 mm	i_x	= 20,5 cm
bf	= 200 mm	i_y	= 4,33 cm
tf	= 16 mm	Z_x	= 2096 cm^3
tw	= 10 mm	Z_y	= 332 cm^3
A	= 114,2 cm^2	S_x	= 1910 cm^3
q	= 89,6 kg/m	S_y	= 214 cm^3
I_x	= 47800 cm^4	r	= 20 cm
I_y	= 2140 cm^4	h	= $d - 2(t_f + r)$
F_y	= 250 Mpa (BJ-41)		= 428 mm

Pada perhitungan balok induk arah X diperoleh gaya dalam dan lendutan yang terjadi berdasarkan analisis SAP 2000



Gambar 6.12 Gaya Dalam Balok Induk Atap Bentang 6m

$$M_u = 529521 \text{ kg.cm}$$

$$V_u = 2071,1 \text{ kg}$$

$$F^0 = 0,23 \text{ cm}$$

- Kontrol profil terhadap gaya lentur

- Kontrol penampang terhadap tekuk lokal

Pelat sayap

$$\lambda_f = \frac{bf}{2tf} = \frac{200}{2.16} = 6,25$$

$$\lambda_p = 0,38 \sqrt{\frac{E}{f_y}} = 0,38 \sqrt{\frac{2x10^5}{250}} = 10,75$$

$\lambda < \lambda_p \rightarrow \text{Penampang Kompak}$

Pelat badan

$$\lambda = \frac{h}{tw} = \frac{428}{10} = 42,8$$

$$\lambda_p = 3,76 \sqrt{\frac{E}{f_y}} = 3,76 \sqrt{\frac{2x10^5}{250}} = 106,35$$

$\lambda_w < \lambda_p \rightarrow \text{Penampang Kompak}$

- Karena penampang kompak, maka $M_n = M_p$

$$M_p = f_y \cdot Z_x = 2500 \times 2096$$

$$= 5240000 \text{ kg.cm}$$

$$= 52400 \text{ kg.m}$$

- Cek kemampuan penampang

$$\emptyset_b \cdot M_n = M_u$$

$$\emptyset_b \cdot M_n = 0,9 \times 52400$$

$$= 47160 \text{ kg.m} \quad 5295,21 \text{ kg.m (OK)}$$

- Kontrol penampang terhadap tekuk lateral

$$L_b = 40 \text{ cm (Panjang tak terkekang)}$$

$$L_p = 215,55 \text{ cm} \quad \boxed{-} \quad \text{Dari Tabel (Lp & Lr)}$$

$$L_r = 643,75 \text{ cm}$$

$L_b < L_p \rightarrow \text{Bentang Pendek, maka } M_n = M_p$

$$M_n = M_p = Z_x \times f_y$$

$$\begin{aligned}
 &= 2096 \text{ cm}^3 \times 2500 \text{ kg/cm}^2 \\
 &= 5240000 \text{ kg.cm} \\
 &= 52400 \text{ kg.m}
 \end{aligned}$$

$$\begin{aligned}
 \varnothing_b \cdot M_n &\quad M_u \\
 \varnothing_b \cdot M_n &= 0,9 \times 52400 \\
 &= 47160 \text{ kg.m} \quad 5295,21 \text{ kg.m (OK)}
 \end{aligned}$$

- Kontrol penampang profil terhadap gaya geser

$$\frac{h}{tw} = \frac{428}{10} = 42,8 < 260 \rightarrow kv = 5$$

$$\begin{aligned}
 p &= 1,1 \sqrt{\frac{E}{f_y}} = 1,1 \sqrt{5 \frac{2 \times 10^5}{250}} = 69,57 \\
 42,8 &\leq 69,57 \rightarrow cv = 1
 \end{aligned}$$

$$\begin{aligned}
 \text{Maka, } V_n &= 0,6 f_y A_w C_v \\
 &= 0,6 \times 2500 \times (50 \times 1) 1 = 75000 \text{ kg}
 \end{aligned}$$

$$\begin{aligned}
 \varnothing V_n &\quad V_u \\
 \varnothing V_n &= 0,9 \cdot 75000 \text{ kg} \\
 &= 67500 \text{ kg} > 2071,1 \text{ kg (OK)}
 \end{aligned}$$

- Kontrol tendutan

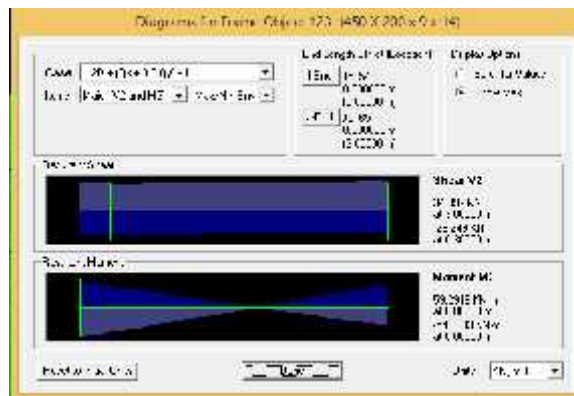
$$\begin{aligned}
 f_{ijin} &\approx \frac{L}{360} = \frac{600}{360} = 1,66 \text{ cm} \quad f^o = 0,23 \text{ cm} \\
 f^o &< f_{ijin} \rightarrow 0,23 \text{ cm} < 1,66 \text{ cm (OK)}
 \end{aligned}$$

6.1.4.6 Balok Induk Atap Arah X Bentang 3 m

Balok induk direncanakan menggunakan profil WF 450 x 200 x 9 x 14, dengan data-data sebagai berikut:

d	= 450 mm	ix	= 18,6 cm
bf	= 200 mm	iy	= 4,4 cm
tf	= 14 mm	Zx	= 1621 cm ³
tw	= 9 mm	Zy	= 289 cm ³
A	= 96,76 cm ²	Sx	= 1490 cm ³
q	= 76 kg/m	Sy	= 187 cm ³
I _x	= 33500 cm ⁴	r	= 18 cm
I _y	= 1870 cm ⁴	h	= d - 2(tf+r)

- $F_y = 250 \text{ Mpa (BJ-41)}$ $= 386 \text{ mm}$
- Pada perhitungan balok induk arah X diperoleh gaya dalam dan lendutan yang terjadi berdasarkan analisis SAP 2000



Gambar 6.13 Gaya Dalam Balok Induk Atap Bentang 3m

$$M_u = 5929,16 \text{ kg.m}$$

$$V_u = 3439,7 \text{ kg}$$

$$F^0 = 0,21 \text{ cm}$$

- Kontrol profil terhadap gaya lentur
 - Kontrol penampang terhadap teknik 154ocal

Pelat sayap

$$\lambda_f = \frac{bf}{2tf} = \frac{200}{2.14} = 7,14$$

$$\lambda_p = 0,38 \sqrt{\frac{E}{f_y}} = 0,38 \sqrt{\frac{2 \times 10^5}{250}} = 10,75$$

$\lambda < \lambda_p \rightarrow \text{Penampang Kompak}$

Pelat badan

$$\lambda = \frac{h}{tw} = \frac{386}{9} = 42,89$$

$$\lambda_p = 3,76 \sqrt{\frac{E}{f_y}} = 3,76 \sqrt{\frac{2 \times 10^5}{250}} = 106,35$$

$$\lambda_w < \lambda_p \rightarrow Penampang Kompak$$

Karena penampang kompak, maka $M_n = M_p$

$$\begin{aligned} M_p &= f_y \cdot Z_x = 2500 \times 1621 \\ &= 4052500 \text{ kg.cm} \\ &= 40525 \text{ kg.m} \end{aligned}$$

- Cek kemampuan penampang

$$\emptyset_b \cdot M_n = M_u$$

$$\begin{aligned} \emptyset_b \cdot M_n &= 0,9 \times 40525 \\ &= 36472,5 \text{ kg.m} \quad 5929,16 \text{ kg.m (OK)} \end{aligned}$$

- Kontrol penampang terhadap tekuk lateral

$$L_b = 40 \text{ cm (Panjang tak terkekang)}$$

$$L_p = 219,033 \text{ cm }] \quad \text{Dari Tabel (Lp & Lr)}$$

$$L_r = 641,818 \text{ cm}$$

$$L_b < L_p \rightarrow Bentang Pendek, maka M_n = M_p$$

$$M_n = M_p = Z_x \times f_y$$

$$\begin{aligned} &= 1621 \text{ cm}^3 \times 2500 \text{ kg/cm}^2 \\ &= 4052500 \text{ kg.cm} \\ &= 40525 \text{ kg.m} \end{aligned}$$

$$\emptyset_b \cdot M_n = M_u$$

$$\emptyset_b \cdot M_n = 0,9 \times 40525$$

$$= 36472,5 \text{ kg.m} \quad 5929,16 \text{ kg.m (OK)}$$

Kontrol penampang profil terhadap gaya geser

$$\frac{h}{tw} = \frac{386}{9} = 42,889 < 260 \Rightarrow k_v = 5$$

$$p = 1,1 \sqrt{k_v \frac{E}{f_y}} = 1,1 \sqrt{5 \frac{2 \times 10^5}{250}} = 69,57$$

$$42,889 \leq 69,57 \rightarrow c_v = 1$$

$$\text{Maka, } V_n = 0,6 f_y A_w C_v$$

$$= 0,6 \times 2500 \times (45 \times 0,9) 1 = 60750 \text{ kg}$$

$$\emptyset V_n = V_u$$

$$\emptyset V_n = 0,9 \cdot 60750 \text{ kg}$$

$$= 54675 \text{ kg} > 3439,7 \text{ kg (OK)}$$

- Kontrol lendutan

$$f_{jin} = \frac{L}{360} = \frac{300}{360} = 0,833 \text{ cm} \quad f^o = 0,21 \text{ cm}$$

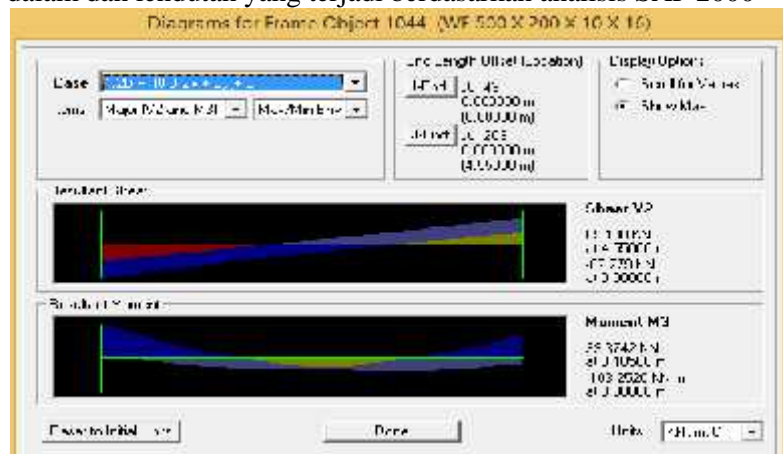
$$f^o < f_{jin} \rightarrow 0,21 \text{ cm} < 0,833 \text{ cm (OK)}$$

6.1.4.7 Balok Induk Atap Arah Y Bentang 4,55 m

Balok induk direncanakan menggunakan profil WF 500 x 200 x 10 x 16, dengan data-data sebagai berikut:

$d = 500 \text{ mm}$	$i_x = 20,5 \text{ cm}$
$bf = 200 \text{ mm}$	$i_y = 4,33 \text{ cm}$
$tf = 16 \text{ mm}$	$Z_x = 2096 \text{ cm}^3$
$tw = 10 \text{ mm}$	$Z_y = 332 \text{ cm}^3$
$A = 114,2 \text{ cm}^2$	$S_x = 1910 \text{ cm}^3$
$q = 89,7 \text{ kg/m}$	$S_y = 214 \text{ cm}^3$
$I_x = 47800 \text{ cm}^4$	$r = 20 \text{ cm}$
$I_y = 2140 \text{ cm}^4$	$h = d - 2(tf+r)$
$F_y = 250 \text{ Mpa (BJ-41)}$	$= 428 \text{ mm}$

Pada perhitungan balok induk arah Y bentang 4,55 m diperoleh gaya dalam dan lendutan yang terjadi berdasarkan analisis SAP 2000



Gambar 6.14 Balok Induk Atap Bentang 4,55m

$$M_u = 10325,2 \text{ kg.m}$$

$$V_u = 8777,9 \text{ kg}$$

$$F^0 = 0,34 \text{ cm}$$

- Kontrol profil terhadap gaya lentur
 - Kontrol penampang terhadap tekuk lokal
Pelat sayap

$$\lambda_f = \frac{bf}{2tf} = \frac{200}{2.16} = 6,25$$

$$\lambda_p = 0,38 \sqrt{\frac{E}{f_y}} = 0,38 \sqrt{\frac{2x10^5}{250}} = 10,75$$

$\lambda < \lambda_p \rightarrow \text{Penampang Kompak}$

Pelat badan

$$\lambda = \frac{h}{tw} = \frac{428}{10} = 42,8$$

$$\lambda_p = 3,76 \sqrt{\frac{E}{f_y}} = 3,76 \sqrt{\frac{2x10^5}{250}} = 106,35$$

$\lambda_w < \lambda_p \rightarrow \text{Penampang Kompak}$

- Karena penampang kompak, maka $M_n = M_p$

$$M_p = f_y \cdot Z_x = 2500 \times 2096$$

$$= 5240000 \text{ kg.cm}$$

$$= 52400 \text{ kg.m}$$
- Cek kemampuan penampang

$$\emptyset_b \cdot M_n = M_u$$

$$\emptyset_b \cdot M_n = 0,9 \times 52400$$

$$= 47160 \text{ kg.m} \quad 10325,2 \text{ kg.m (OK)}$$
- Kontrol penampang terhadap tekuk lateral

$$L_b = 455 \text{ cm (Panjang tak terkekang)}$$

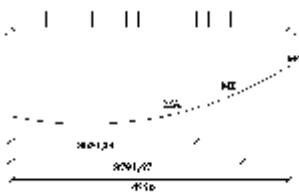
$$L_p = 215,55 \text{ cm}$$

$$L_r = 643,75 \text{ cm}$$

$L_p < L_b < L_r \rightarrow \text{Bentang menengah}$

Maka $M_n = C_b [M_p - (M_p - 0,7 f_y S_x) \left(\frac{L_b - L_p}{L_r - L_p} \right)] \leq M_p$

$$\begin{aligned}M_p &= f_y \cdot Zx \\&= 2500 \times 2096 \\&= 5240000 \text{ kg.cm}\end{aligned}$$



Gambar 6.15 Diagram momen balok lantai bentang 4,55 m

Dari SAP 2000 diperoleh output sebagai berikut :

$$M_A = 385607 \text{ kg.cm}$$

$$M_B = 339841 \text{ kg.cm}$$

$$M_C = M_{max} = 662233 \text{ kg.cm}$$

$$\begin{aligned}C_b &= \frac{12,5 M_{max}}{2,5 M_{max} + 3 M_A + 4 M_B + 3 M_C} \leq 2,3 \\&= \frac{12,5 \times 662233}{2,5 \times 662233 + 3 \times 385607 + 4 \times 339841 + 3 \times 662233} \\&= 1,344 < 2,3 \rightarrow C_b = 1,344\end{aligned}$$

$$\begin{aligned}M_n &= C_b [M_p - (M_p - 0,7 f_y S_x) \left(\frac{L_b - L_r}{L_r - L_p} \right)] \leq M_p \\&= 1,344 [5240000 - (5240000 - 0,7 \times 2500 \times 2096) \left(\frac{455 - 215,55}{643,75 - 215,55} \right)] \\&= 6983613,773 \text{ kg.cm} \\&= 69836,138 \text{ kg.m} > 52400 \text{ kg.m} \quad \text{dipakai } 52400 \text{ kg.m}\end{aligned}$$

Cek kemampuan penampang

$$\varnothing_b \cdot M_n = M_u$$

$$\begin{aligned}\varnothing_b \cdot M_n &= 0,9 \times 52400 \\&= 47160 \text{ kg.m} \quad 10325,2 \text{ kg.m (OK)}\end{aligned}$$

- Kontrol penampang profil terhadap gaya geser

$$\frac{h}{tw} = \frac{428}{10} = 42,8 < 260 \rightarrow kv = 5$$

$$p = 1,1 \sqrt{kv \frac{E}{f_y}} = 1,1 \sqrt{5 \frac{2 \times 10^5}{250}} = 69,57$$

$$42,8 \leq 69,57 \rightarrow cv = 1$$

Maka, $V_n = 0,6 f_y A_w C_v$
 $= 0,6 \times 2500 \times (50 \times 1) 1 = 75000 \text{ kg}$

$$\emptyset V_n = V_u$$

$$\emptyset V_n = 0,9 \cdot 75000 \text{ kg}$$

$$= 67500 \text{ kg} > 8777,9 \text{ kg (OK)}$$

- Kontrol lendutan

$$f_{ljin} = \frac{L}{360} = \frac{455}{360} = 1,26 \text{ cm} \quad f^o = 0,34 \text{ cm}$$

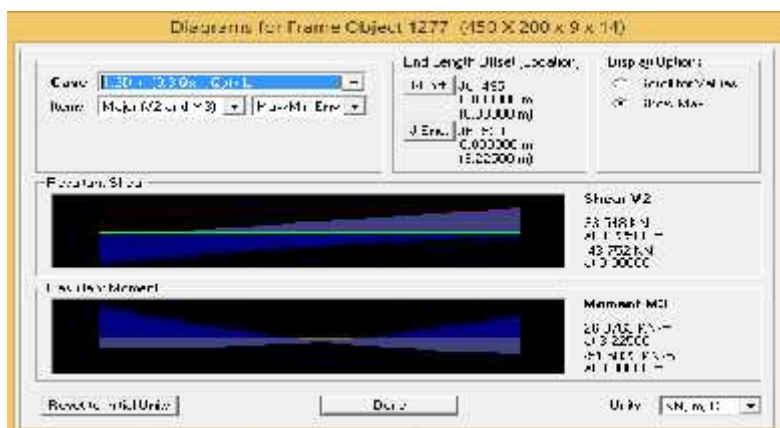
$$f^o < f_{ljin} \rightarrow 0,34 \text{ cm} < 1,26 \text{ cm (OK)}$$

6.1.4.8 Balok Induk Atap Arah Y Bentang 3 m

Balok induk direncanakan menggunakan profil WF 450 x 200 x 9 x 14, dengan data-data sebagai berikut:

d	= 450 mm	ix	= 18,6 cm
bf	= 200 mm	iy	= 4,4 cm
tf	= 14 mm	Zx	= 1621 cm ³
tw	= 9 mm	Zy	= 289 cm ³
A	= 96,76 cm ²	Sx	= 1490 cm ³
q	= 76 kg/m	Sy	= 187 cm ³
Ix	= 33500 cm ⁴	r	= 18 cm
Iy	= 1870 cm ⁴	h	= d - 2(tf+r)
Fy	= 250 Mpa (BJ-41)		= 386 mm

Pada perhitungan balok induk arah X diperoleh gaya dalam dan lendutan yang terjadi berdasarkan analisis SAP 2000



Gambar 6.16 Gaya Dalam Balok Induk Atap Arah Y Bentang 3m

- $M_u = 515823 \text{ kg.cm}$
- $V_u = 4375,2 \text{ kg}$
- $F^0 = 0,19 \text{ cm}$
- Kontrol profil terhadap gaya lentur
 - Kontrol penampang terhadap tekuuk lokal

Pelat sayap

$$\lambda_f = \frac{bf}{2tf} = \frac{200}{2.14} = 7,14$$

$$\lambda_p = 0,38 \sqrt{\frac{E}{f_y}} = 0,38 \sqrt{\frac{2 \times 10^5}{250}} = 10,75$$

$\lambda < \lambda_p \rightarrow \text{Penampang Kompak}$

Pelat badan

$$\lambda = \frac{h}{tw} = \frac{386}{9} = 42,89$$

$$\lambda_p = 3,76 \sqrt{\frac{E}{f_y}} = 3,76 \sqrt{\frac{2 \times 10^5}{250}} = 106,35$$

$\lambda_w < \lambda_p \rightarrow \text{Penampang Kompak}$

- Karena penampang kompak, maka $M_n = M_p$
 $M_p = f_y \cdot Zx = 2500 \times 1621$
 $= 4052500 \text{ kg.cm}$
 $= 40525 \text{ kg.m}$
- Cek kemampuan penampang
 $\bar{\phi}_b \cdot M_n = M_u$
 $\bar{\phi}_b \cdot M_n = 0,9 \times 40525$
 $= 36472,5 \text{ kg.m} \quad 5158,23 \text{ kg.m (OK)}$

• Kontrol penampang terhadap tekuk lateral

$$L_b = 322,5 \text{ cm} \text{ (Panjang tak terkekang)}$$

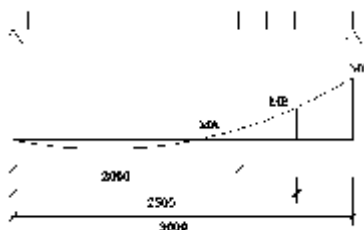
$$L_p = 219,033 \text{ cm} \quad] \quad \text{Dari Tabel (Lp & Lr)}$$

$$L_r = 641,818 \text{ cm}$$

$$L_p < L_b < L_r \rightarrow \text{Bentang menengah}$$

$$\text{Maka } M_n = C_b [M_p - (M_p - 0,7 f_y S_x) \left(\frac{L_b - L_p}{L_r - L_p} \right)] \leq M_p$$

$$\begin{aligned} M_p &= f_y \cdot Zx \\ &= 2500 \times 1621 \\ &= 4052500 \text{ kg.cm} \\ &= 40525 \text{ kg.m} \end{aligned}$$



Gambar 6.17 Diagram momen balok lantai bentang 3 m

Dari SAP 2000 diperoleh output sebagai berikut :

$$M_A = 123641 \text{ kg.cm}$$

$$M_B = 195139 \text{ kg.cm}$$

$$M_C = M_{max} = 344280 \text{ kg.cm}$$

$$\begin{aligned} C_b &= \frac{12,5 \cdot M_{max}}{2,5 \cdot M_{max} + 3 \cdot MA + 4 \cdot MB + 3 \cdot MC} \leq 2,3 \\ &= \frac{12,5 \times 344280}{2,5 \times 344280 + 3 \times 123641 + 4 \times 195139 + 3 \times 344280} \\ &= 1,413 < 2,3 \rightarrow C_b = 1,413 \end{aligned}$$

$$\begin{aligned} M_n &= C_b [M_p - (M_p - 0,7 f_y S_x) \left(\frac{L_b - L_r}{L_r - L_p} \right)] \leq M_p \\ &= 1,413 [4052500 - (4052500 - 0,7 \times 2500 \times 1490) \left(\frac{3225 - 219,033}{641,818 - 219,033} \right)] \\ &= 5226502,123 \text{ kg.cm} \\ &= 52265,021 \text{ kg.m} > 40525 \text{ kg.m} \quad 40525 \text{ dipakai kg.m} \end{aligned}$$

Cek kemampuan penampang

$$\begin{aligned} \emptyset_b \cdot M_n &\quad M_u \\ \emptyset_b \cdot M_n &= 0,9 \times 40525 \\ &= 36472,5 \text{ kg.m} \quad 5158,23 \text{ kg.m (OK)} \end{aligned}$$

- Kontrol penampang profil terhadap gaya geser

$$\frac{h}{tw} = \frac{386}{9} = 42,889 < 260 \rightarrow kv = 5$$

$$p = 1,1 \sqrt{kv \frac{E}{f_y}} = 1,1 \sqrt{5 \frac{2 \times 10^5}{250}} = 69,57$$

$$42,889 \leq 69,57 \rightarrow cv = 1$$

$$\begin{aligned} \text{Maka, } V_n &= 0,6 f_y A_w Cv \\ &= 0,6 \times 2500 \times (45 \times 0,9) 1 = 60750 \text{ kg} \end{aligned}$$

$$\begin{aligned} \emptyset V_n &\quad V_u \\ \emptyset V_n &= 0,9 \cdot 60750 \text{ kg} \\ &= 54675 \text{ kg} > 4375,2 \text{ kg (OK)} \end{aligned}$$

- Kontrol lendutan

$$\begin{aligned} f_{ljin} &= \frac{L}{360} = \frac{300}{360} = 0,833 \text{ cm} \quad f^o = 0,19 \text{ cm} \\ f^o &< f_{ljin} \rightarrow 0,19 \text{ cm} < 0,833 \text{ cm (OK)} \end{aligned}$$

6.1.5 Kolom

Pada perencanaan kolom dibedakan menjadi 2 tipe kolom. Untuk kolom lantai 1 sampai 5 digunakan profil KC 800 x 300 x 14 x 26 sedangkan untuk kolom lantai 6-10 digunakan profil KC 588x300x12x20. Perbedaan dimensi kolom yang direncanakan karena beban bangunan yang didukung oleh kolom semakin keatas semakin kecil sehingga dimensi kolom atas lebih kecil daripada dimensi kolom bawah.

6.1.5.1 Kolom Lantai 1-5

Pada perencanaan ini ditunjukan contoh perhitungan pada kolom lantai dasar elemen 633. Direncanakan menggunakan profil King Cross 800 x 300 x 14 x 26 dengan panjang kolom 500 cm. berikut data- data profil yang digunakan:

$$\begin{array}{ll}
 H = 800 \text{ mm} & I_x = 303700 \text{ cm}^4 \\
 B = 300 \text{ mm} & I_y = 315027 \text{ cm}^4 \\
 t_w = 14 \text{ mm} & i_x = 23,83 \text{ cm} \\
 t_f = 26 \text{ mm} & i_y = 24,27 \text{ cm} \\
 A = 534,8 \text{ cm}^2 & f_y = 250 \text{ Mpa} \\
 Z_x = 7592,5 \text{ cm}^3 & \\
 h = 748 \text{ mm} &
 \end{array}$$

Dari hasil analisis SAP 2000 didapatkan gaya dalam yang bekerja sebagai berikut :

$$\begin{aligned}
 P_u &= 260940,3 \text{ kg} \\
 M_{u_x} &= 4437756 \text{ kgcm} \\
 M_{u_y} &= 2134821 \text{ kgcm}
 \end{aligned}$$

- a. Kontrol penampang profil terhadap gaya lentur
- Kontrol penampang terhadap tekuk lokal

Pelat sayap

$$= \frac{bf}{2tf} = \frac{300}{2 \times 26} = 5,77$$

$$p = 0,38 \sqrt{\frac{E}{f_y}} = 0,38 \sqrt{\frac{2 \times 10^5}{250}} = 10,748$$

$\lambda_p \rightarrow 5,77 \cdot 10,748$ penampang kompak

Pelat badan

$$= \frac{hw}{tw} = \frac{748}{14} = 53,43$$

$$p = 3,76 \sqrt{\frac{E}{f_y}} = 3,76 \sqrt{\frac{2 \times 10^5}{250}} = 106,349$$

$p = 53,43 \cdot 106,349$ penampang kompak

- Karena penampang kompak, maka $M_n = M_p$

$$\begin{aligned} M_{px} &= f_y \cdot Z_x = 2500 \times 7592,5 \\ &= 18981250 \text{ kgcm} \\ &= 189812,5 \text{ kgm} \end{aligned}$$

$$\begin{aligned} M_{py} &= f_y \cdot Z_x = 2500 \times 7740,2 \\ &= 19350500 \text{ kgcm} \\ &= 193505 \text{ kgm} \end{aligned}$$

- Cek kemampuan penampang

$$\varnothing_b \cdot M_{nx} - M_{ux}$$

$$\begin{aligned} \varnothing_b \cdot M_{nx} &= 0,9 \times 18981250 \\ &= 17083125 \text{ kgcm} > 4437756 \text{ kgcm} \dots \text{OK!} \end{aligned}$$

$$\varnothing_b \cdot M_{ny} - M_{uy}$$

$$\begin{aligned} \varnothing_b \cdot M_{ny} &= 0,9 \times 19350500 \\ &= 17415450 \text{ kgcm} > 2134821 \text{ kgcm} \dots \text{OK!} \end{aligned}$$

- Kontrol penampang terhadap tekuk lateral

Panjang tak terkekang adalah tinggi kolom-d_{balok}

$$L_b = 500 - 48,2 = 451,8 \text{ cm.}$$

$$L_p = 1,76 \times i_y \times \sqrt{\frac{E}{f_y}} = 1,76 \times 24,27 \times \sqrt{\frac{2 \times 10^5}{250}} = 1208,168 \text{ cm}$$

$L_b - L_p = 451,8 \text{ cm} - 1208,168 \text{ cm}$ bentang pendek

- Karena bentang pendek, maka $M_n = M_p$
- $M_{px} = f_y \cdot Z_x = 2500 \times 7592,5 = 18981250 \text{ kgcm}$
- $M_{py} = f_y \cdot Z_y = 2500 \times 7740,2 = 19350500 \text{ kgcm}$
- b. Kuat nominal tekan kolom
- c. $Fe = \frac{\pi^2 E}{\left(\frac{KL}{r}\right)^2} = \frac{\pi^2 2 \times 10^6}{\left(\frac{1.500}{2.8}\right)^2} = 619,021$
- d. $\frac{Fy}{Fe} = \frac{2500}{619,021} = 4,038$

Maka, dipakai rumus :

$$Fcr = 0,877 Fe = 0,877 \times 619,021 = 542,881$$

Sehingga $P_n = Ag \cdot Fcr$

$$= 534,8 \cdot 542,881 = 290333,2576 \text{ kg}$$

- e. Kekuatan lentur dan aksial orde kedua
Arah sumbu X :

- Kontrol momen terhadap beban gravitasi

Dari SAP 2000 diperoleh output sebagai berikut:

$$M_1 = 4310333 \text{ kgcm}$$

$$M_2 = 4437756 \text{ kgcm}$$

$$C_m = 0,6 - 0,4(M_1/M_2)$$

$$= 0,5 - 0,4(4310333/4437756)$$

$$= 0,211$$

$$Pe_1 = \frac{\pi^2 EI}{(KL)^2} = \frac{\pi^2 2 \times 10^6 \times 303700}{(1 \times 500)^2} = 23979190,85 \text{ kg}$$

Untuk $DFBK_s = 1$

$$B_1 = \frac{Cm}{1-\alpha P_1/Pe_1} = \frac{0,211}{1-1 \times 260940,3/23979190,85} \geq 1$$

$$= 0,213 < 1,0 \text{ sehingga dipakai } 1,0$$

- Kontrol momen terhadap beban lateral

Dari SAP 2000 diperoleh output sebagai berikut:

$$P_{\text{story}} = 57967,9 \text{ kg}$$

$$\Delta_H = 0,44 \text{ cm}$$

$$H = 8766 \text{ kg}$$

Untuk sistem rangka bresing $P_{mf} = 0$, sehingga:

$$R_m = 1 - 0,15 \left(\frac{P_{mf}}{P_{\text{story}}} \right) = 1 - 0,15 \left(\frac{0}{57967,9} \right) = 1$$

$$P_e \text{ story} = R_m \left(\frac{H \cdot L}{\Delta_H} \right) = 1 \frac{8766 \times 500}{0,44} = 9961363,636 \text{ kg}$$

$$B_2 = \frac{1}{1 - \frac{\alpha P_{\text{story}}}{P_e \text{ story}}} = \frac{1}{1 - \frac{1,57967,9}{9961363,636}} = 1$$

$$B_2 = 1$$

- Momen terfaktor pada sumbu X

Dari SAP 2000 diperoleh output sebagai berikut:

$$M_{nt} = 108679 \text{ kg cm}$$

$$M_{lt} = 4374045 \text{ kg cm}$$

$$M_r = B_1 M_{nt} + B_2 M_{lt}$$

$$M_{rx} = (1,0 \times 108679) + (1 \times 4374045)$$

$$= 4482724 \text{ kgcm}$$

Arah sumbu Y :

- Kontrol momen terhadap beban gravitasii

Dari SAP 2000 diperoleh output sebagai berikut:

$$M_1 = 2113570 \text{ kgcm}$$

$$M_2 = 2134821 \text{ kgcm}$$

$$C_m = 0,6 - 0,4 \left(\frac{M_1}{M_2} \right)$$

$$= 0,6 - 0,4 \left(\frac{2113570}{2134821} \right)$$

$$= 0,204$$

$$P_{e1} = \frac{\pi^2 EI}{(KL)^2} = \frac{\pi^2 2 \times 10^6 \times 315027}{(1 \times 500)^2} = 24873534,93 \text{ kg}$$

Untuk $D_{FBK} = 1$

$$B_1 = \frac{Cm}{1-\alpha P_1/P_{el}} = \frac{0,204}{1-1x260940,3/24873534,93} \geq 1$$

$$= 0,206 < 1, \text{ maka dipakai } 1,0$$

- Kontrol momen terhadap beban lateral

Dari SAP 2000 diperoleh output sebagai berikut:

$$P_{story} = 179047,9 \text{ kg}$$

$$\Delta_H = 0,14 \text{ cm}$$

$$H = 10620,6 \text{ kg}$$

Untuk sistem rangka bresing $P_{mf} = 0$, sehingga:

$$R_m = 1 - 0,15 \left(\frac{P_{mf}}{P_{story}} \right) = 1 - 0,15 \left(\frac{0}{179047,9} \right) = 1$$

$$P_{e_story} = R_m \left(\frac{H_L}{\Delta_H} \right) = 1 \frac{10620,6 \times 500}{0,14} = 37930714,29 \text{ kg}$$

$$B_2 = \frac{1}{1 - \frac{\alpha P_{story}}{P_{e_story}}} = \frac{1}{1 - \frac{1,179047,9}{37930714,29}} = 1$$

$$B_2 = 1$$

- Momen terfaktor pada sumbu Y

Dari SAP 2000 diperoleh output sebagai berikut:

$$M_{nt} = 15478 \text{ kg cm}$$

$$M_{lt} = 2124195 \text{ kg cm}$$

$$M_r = B_1 M_{nt} + B_2 M_{lt}$$

$$M_{ry} = (1,0 \times 15478) + (1 \times 2124195)$$

$$= 2139673 \text{ kg cm}$$

- Kuat aksial orde kedua

Dari SAP 2000 diperoleh output sebagai berikut:

$$P_{lt} = 196438,2 \text{ kg}$$

$$Pr - Pnt + B2 Plt = 64502,1 + (1 \times 196438,2) = 260940,3 \text{ kg}$$

f. Kontrol interaksi aksial-momen

$$\left(\frac{Pr}{P_c}\right) = \left(\frac{Pr}{sPn}\right) = \left(\frac{260940,3}{0,9 \times 290333,2576}\right) = 0,89 \quad 0,2$$

Maka digunakan rumus interaksi pertama sebagai berikut:

$$\frac{P_r}{P_c} + \frac{8}{9} \left(\frac{M_{rx}}{M_{cx}} + \frac{M_{ry}}{M_{cy}} \right) \leq 1,0$$

$$0,89 + \frac{8}{9} \left(\frac{4482724}{17083125} + \frac{2139673}{17083125} \right) = 1,00$$

Hasil kontrol interaksi yaitu 1,00 sehingga kolom yang direncanakan dapat dipakai.

6.1.5.2 Kolom Lantai 6-10

Pada perencanaan ini ditunjukkan contoh perhitungan pada kolom lantai 6 elemen 638. Direncanakan menggunakan profil King Cross 588 x 300 x 12 x 20 dengan panjang kolom 330 cm. berikut data-data profil yang digunakan:

$$H = 588 \text{ mm} \quad I_x = 127020 \text{ cm}^4$$

$$B = 300 \text{ mm} \quad I_y = 132585 \text{ cm}^4$$

$$t_w = 12 \text{ mm} \quad i_x = 18,16 \text{ cm}$$

$$t_f = 20 \text{ mm} \quad i_y = 18,16 \text{ cm}$$

$$A = 385 \text{ cm}^2$$

$$Z_x = 4320,4 \text{ cm}^3$$

$$h = 492 \text{ mm}$$

$$f_y = 250 \text{ Mpa}$$

Dari hasil analisis SAP 2000 didapatkan gaya dalam yang bekerja sebagai berikut :

$$Pu = 74906,8 \text{ kg}$$

$$Mu_x = 1390459 \text{ kgcm}$$

$$Mu_y = 824080 \text{ kgcm}$$

g. Kontrol penampang profil terhadap gaya lentur

- Kontrol penampang terhadap tekuk lokal

Pelat sayap

$$= \frac{bf}{2tf} = \frac{300}{2x20} = 7,5$$

$$p = 0,38 \sqrt{\frac{E}{fy}} = 0,38 \sqrt{\frac{2x10^5}{250}} = 10,748$$

$\lambda p \rightarrow 7,5 \leq 10,748$ penampang kompak

Pelat badan

$$= \frac{hw}{tw} = \frac{492}{12} = 41$$

$$p = 3,76 \sqrt{\frac{E}{fy}} = 3,76 \sqrt{\frac{2x10^5}{250}} = 106,349$$

$p = 41 \cdot 106,349$ penampang kompak

- Karena penampang kompak, maka $M_n = M_p$

$$M_{px} = f_y \cdot Z_x = 2500 \times 4320,4$$

$$= 10801000 \text{ kgcm}$$

$$= 108010 \text{ kgm}$$

$$M_{py} = f_y \cdot Z_x = 2500 \times 4419,5$$

$$= 11048750 \text{ kgcm}$$

$$= 110487,5 \text{ kgm}$$

- Cek kemampuan penampang

$$\phi_b \cdot M_{nx} - M_{ux}$$

$$\phi_b \cdot M_{nx} = 0,9 \times 10801000$$

$$= 9720900 \text{ kgcm} > 1390459 \text{ kgcm} \dots \text{OK !}$$

$$\phi_b \cdot M_{ny} - M_{uy}$$

$$\phi_b \cdot M_{ny} = 0,9 \times 11048750$$

$$= 9943875 \text{ kgcm} > 824080 \text{ kgcm} \dots \text{OK !}$$

- Kontrol penampang terhadap tekuk lateral

Panjang tak terkekang adalah tinggi kolom-d_{balok}

$$L_b = 330-48,2 = 281,8 \text{ cm.}$$

$$L_p = 1,76 \times i_y \times \sqrt{\frac{E}{f_y}} = 1,76 \times 18,16 \times \sqrt{\frac{2x10^5}{250}} = 904,01 \text{ cm}$$

Lb Lp 281,8 cm 904,01 cm bentang pendek

- Karena bentang pendek, maka $M_n = M_p$
 $M_{px} = f_y \cdot Z_x = 2500 \times 4320,4 = 10801000 \text{ kgcm}$
 $M_{py} = f_y \cdot Z_y = 2500 \times 4419,5 = 11048750 \text{ kgcm}$

- h. Kuat nominal tekan kolom

$$F_e = \frac{\pi^2 E}{\left(\frac{KL}{r}\right)^2} = \frac{\pi^2 2 \times 10^6}{\left(\frac{1.330}{2,8}\right)^2} = 1421,078$$

$$\frac{F_y}{F_e} = \frac{2500}{1421,078} = 1,759 < 2,25$$

Maka, dipakai rumus :

$$F_{cr} = (0,658^{F_y/F_e}) f_y = (0,658^{1,759}) 2500 = 1197,29$$

Sehingga $P_n = A_g F_{cr}$

$$= 168,24 \times 1197,29 = 201432,07 \text{ kg}$$

- i. Kekuatan lentur dan aksial orde kedua

Arah sumbu X :

- Kontrol momen terhadap beban gravitasi

Dari SAP 2000 diperoleh output sebagai berikut:

$$M_1 = 1110620 \text{ kgcm}$$

$$M_2 = 1390459 \text{ kgcm}$$

$$C_m = 0,6 - 0,4(M_1/M_2)$$

$$= 0,6 - 0,4(1110620/1390459)$$

$$= 0,28$$

$$P_{el} = \frac{\pi^2 EI}{(KL)^2} = \frac{\pi^2 2 \times 10^6 \times 127020}{(1 \times 330)^2} = 23023639,14 \text{ kg}$$

Untuk $DFB_K_{ax} = 1$

$$B_1 = \frac{C_m}{1 - \alpha P_1/P_{el}} = \frac{0,28}{1 - 1 \times 74906,8 / 23023639,14} \geq 1$$

$= 0,28 < 1,0$ sehingga dipakai 1,0

- Kontrol momen terhadap beban lateral

Dari SAP 2000 diperoleh output sebagai berikut:

$$P_{\text{story}} = 12062,1 \text{ kg}$$

$$\Delta_H = 2,47 \text{ cm}$$

$$H = 2165,7 \text{ kg}$$

Untuk sistem rangka bresing $P_{mf} = 0$, sehingga:

$$R_m = 1 - 0,15 \left(\frac{P_{mf}}{P_{\text{story}}} \right) = 1 - 0,15 \left(\frac{0}{12062,1} \right) = 1$$

$$P_e \text{ story} = R_m \left(\frac{H \cdot L}{\Delta_H} \right) = 1 \frac{2165,7 \times 330}{2,47} = 289344,534 \text{ kg}$$

$$B_2 = \frac{1}{1 - \frac{\alpha P_{\text{story}}}{P_{\text{story}}}} = \frac{1}{1 - \frac{1,12062,1}{289344,534}} = 1$$

$$B_2 = 1$$

- Momen terfaktor pada sumbu X

Dari SAP 2000 diperoleh output sebagai berikut:

$$M_{nt} = 217638 \text{ kg cm}$$

$$M_{lt} = 1172821 \text{ kg cm}$$

$$M_r = B_1 M_{nt} + B_2 M_{lt}$$

$$\begin{aligned} M_{rx} &= (1,0 \times 217638) + (1 \times 1172821) \\ &= 1390459 \text{ kgcm} \end{aligned}$$

Arah sumbu Y :

- Kontrol momen terhadap beban gravitasi

Dari SAP 2000 diperoleh output sebagai berikut:

$$M_1 = 681329 \text{ kgcm}$$

$$M_2 = 824080 \text{ kgcm}$$

$$C_m = 0,6 - 0,4(M_1/M_2)$$

$$= 0,6 - 0,4 \left(\frac{681329}{824080} \right)$$

$$= 0,269$$

$$P_{e1} = \frac{\pi^2 EI}{(KL)^2} = \frac{\pi^2 2 \times 10^6 \times 132585}{(1 \times 330)^2} = 240323 \text{ kg}$$

Untuk DFBK, $\alpha = 1$

$$B1 = \frac{Cm}{1 - \alpha P1/P_{e1}} = \frac{0,269}{1 - 1 \times 74906,8 / 24032350,77} \geq 1$$

$$= 0,269 < 1, \text{ maka dipakai } 1,0$$

- Kontrol momen terhadap beban lateral

Dari SAP 2000 diperoleh output sebagai berikut:

$$P_{\text{story}} = 39254,5 \text{ kg}$$

$$\Delta_H = 0,83 \text{ cm}$$

$$H = 5865,1 \text{ kg}$$

Untuk sistem rangka bresing $P_{mf} = 0$, sehingga:

$$R_m = 1 - 0,15 \left(\frac{P_{mf}}{P_{\text{story}}} \right) = 1 - 0,15 \left(\frac{0}{39254,5} \right) = 1$$

$$P_{e \text{ story}} = R_m \left(\frac{H \cdot L}{\Delta_H} \right) = 1 \frac{5865,1 \times 330}{0,83} = 2331907,229 \text{ kg}$$

$$B_2 = \frac{1}{1 - \frac{\alpha P_{\text{story}}}{P_{e \text{ story}}}} = \frac{1}{1 - \frac{1,0 \times 39254,5}{2331907,229}} = 1$$

$$B_2 = 1$$

- Momen terfaktor pada sumbu Y

Dari SAP 2000 diperoleh output sebagai berikut:

$$M_{nt} = 82727 \text{ kg cm}$$

$$M_{lt} = 741354 \text{ kg cm}$$

$$M_r = B_1 M_{nt} + B_2 M_{lt}$$

$$\begin{aligned} M_{ry} &= (1,0 \times 82727) + (1 \times 741354) \\ &= 824081 \text{ kgcm} \end{aligned}$$

- Kuat aksial orde kedua

Dari SAP 2000 diperoleh output sebagai berikut:

$$P_{lt} = 42873, 1 \text{ kg}$$

$$P_r = P_{nt} + B_2 P_{lt} = 32033,7 + (1 \times 42873,1) = 74906,8 \text{ kg}$$

- j. Kontrol interaksi aksial-momen

$$\left(\frac{P_r}{P_c} \right) = \left(\frac{P_r}{sP_n} \right) = \left(\frac{74906,8}{0,9 \times 68465,255} \right) = 0,8 - 0,2$$

Maka digunakan rumus interaksi pertama sebagai berikut:

$$\frac{P_r}{P_c} + \frac{8}{9} \left(\frac{M_{rx}}{M_{cx}} + \frac{M_{ry}}{M_{cy}} \right) \leq 1,0$$

$$0,8 + \frac{8}{9} \left(\frac{1390459}{2862000} + \frac{824081}{2862000} \right) = 0,93$$

Hasil kontrol interaksi yaitu $0,93 < 1,0$ sehingga kolom yang direncanakan dapat dipakai.

"Halaman ini sengaja dikosongkan"

BAB VII

PERENCANAAN SAMBUNGAN

7.1 Sambungan Balok Anak Lantai Dengan Balok Induk

Sambungan antara balok anak lantai hotel dan balok induk direncanakan dengan baut yang hanya memikul beban geser dari balok anak, sehingga dalam analisa dianggap sebagai sendi.

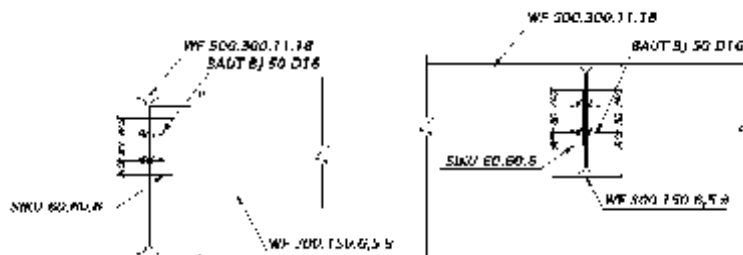
Ada 2 jenis dimensi balok anak lantai dengan balok induk pada bangunan ini:

Tabel 7.1 Dimensi Balok Induk Lantai dan Balok Anak Lantai

No	Balok Induk Lantai	Balok Anak
1	WF 500 x 300 x 11 x 18	WF 300 x 150 x 6,5 x 9
2	WF 500 x 300 x 11 x 18	WF 200 x 100 x 5,5 x 8

Dari perhitungan sebelumnya diperoleh gaya geser yang bekerja pada balok anak sebesar 5777,13 kg, dengan dimensi balok anak WF 300 x 150 x 6,5 x 9 dan balok induk WF 500 x 300 x 11 x 18. Pada sambungan ini direncanakan dengan profil siku 60 x 60 x 6.

7.1.1 Sambungan Detail A



**Gambar 7.1 Sambungan Balok Anak Lantai Dengan Balok Induk
Detail A**

- Sambungan Pada Badan Balok Anak:

$$\text{Øbaut} = 16\text{mm} (\text{Ab} = 2,01 \text{ cm}^2)$$

$$\text{Mutu baut BJ.50} (\text{fu} = 5000 \text{ kg/cm}^2)$$

Ular tidak pada bidang geser ($r_1 = 0,5$)

- Kuat geser baut:

$$\text{Ø.Vn} = \text{Ø} \cdot r_1 \cdot \text{fu} \cdot \text{Ab}$$

$$= 0,75 \cdot 0,5 \cdot 5000 \cdot 2 \cdot 2,01$$

$$= 7537,5 \text{ kg (menentukan)}$$

- Kuat tumpu baut

$$\text{Ø.Rn} = \text{Ø} \cdot 2,4 \cdot \text{db} \cdot \text{tp} \cdot \text{fu}$$

$$= 0,75 \cdot 2,4 \cdot 1,6 \cdot 0,65 \cdot 4100$$

$$= 7675,2 \text{ kg}$$

$$n = \frac{5777,13}{7537,5} = 0,8 \quad 2 \text{ buah}$$

Dipasang 2 buah baut diameter 16 mm

- Sambungan Pada Badan Balok Induk:

$$\text{Øbaut} = 16\text{mm} (\text{Ab} = 2,01 \text{ cm}^2)$$

$$\text{Mutu baut BJ.50} (\text{fu} = 5000 \text{ kg/cm}^2)$$

Ular tidak pada bidang geser ($r_1 = 0,5$)

- Kuat geser baut:

$$\text{Ø.Vn} = \text{Ø} \cdot r_1 \cdot \text{fu} \cdot \text{Ab}$$

$$= 0,75 \cdot 0,5 \cdot 5000 \cdot 1 \cdot 2,01$$

$$= 3768,75 \text{ kg (menentukan)}$$

- Kuat tumpu baut

$$\text{Ø.Rn} = \text{Ø} \cdot 2,4 \cdot \text{db} \cdot \text{tp} \cdot \text{fu}$$

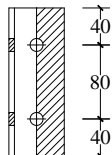
$$= 0,75 \cdot 2,4 \cdot 1,6 \cdot 0,6 \cdot 4100$$

$$= 7084,80 \text{ kg}$$

$$n = \frac{5777,13}{3768,75} = 1,53 \quad 2 \text{ buah}$$

Dipasang 2 buah baut diameter 16 mm

- Kontrol kekuatan siku penyambung
Dipakai siku penyambung 60x60x6
BJ41 ($f_u = 4100 \text{ kg/cm}^2$)
 $\varnothing \text{ lubang} = 16\text{mm} + 1,5 \text{ mm (lubang dibuat dengan bor)}$
 $= 17,5 \text{ mm} = 1,75 \text{ cm}$



Gambar 7.2 Detail Pelat Siku Pada Gelagar

Luas bidang geser

$$A_{nv} = L_{nv} \times t_{siku} = (16 - 2 \times 1,75) \times 0,6 \\ = 7,5 \text{ cm}^2$$

Kuat rencana

$$\varphi R_n = \varphi 0,6 \times f_u \times A_{nv} \\ = 0,75 \times 0,6 \times 4100 \times 7,5 \\ = 13837,50 \text{ kg}$$

Terdapat 2 siku, sehingga

$$2\varphi R_n = 2 \times 13837,50 = 27675,0 \text{ kg}$$

Syarat:

$$V_u \leq 2\varphi R_n \rightarrow 5777,13 \text{ kg} < 27675 \text{ kg (OK)}$$

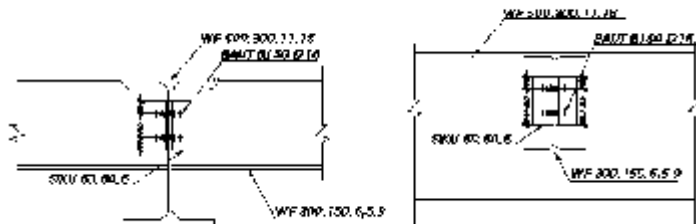
Kontrol jarak baut

Jarak ke tepi = 1,5 db s.d (4tp+100 mm) atau 200 mm
 $= 24\text{mm s.d.}200\text{ mm} \rightarrow \text{Tepasang}=40\text{mm}$

Jarak antar baut = 3 db s.d 15 tp atau 200 mm
 $=48\text{mm s.d }200\text{mm} \rightarrow \text{Tepasang}=80\text{mm}$

Untuk perhitungan balok yang lainnya dihitung dengan cara yang sama dan hasil yang didapatkan untuk sambungan balok anak lantai dan balok induk sama.

7.1.2 Sambungan Detail B



**Gambar 7.3 Sambungan Balok Anak Lantai Dengan Balok Induk
Detail B**

- Sambungan Pada Badan Balok Anak:

$$\text{Øbaut} = 16\text{mm} \quad (\text{Ab} = 2,01 \text{ cm}^2)$$

$$\text{Mutu baut BJ.50} \quad (\text{fu} = 5000 \text{ kg/cm}^2)$$

Ulir tidak pada bidang geser ($r_1 = 0,5$)

- Kuat geser baut:

$$\begin{aligned}\text{Ø.Vn} &= \text{Ø} \cdot r_1 \cdot \text{fu} \cdot \text{m.Ab} \\ &= 0,75 \cdot 0,5 \cdot 5000 \cdot 2 \cdot 2,01 \\ &= 7537,5 \text{ kg (menentukan)}\end{aligned}$$

- Kuat tumpu baut

$$\begin{aligned}\text{Ø.Rn} &= \text{Ø} \cdot 2,4 \cdot \text{db} \cdot \text{tp} \cdot \text{fu} \\ &= 0,75 \cdot 2,4 \cdot 1,6 \cdot 0,65 \cdot 4100 \\ &= 7675,2 \text{ kg} \\ n &= \frac{5777,13}{7537,5} = 0,8 \quad 2 \text{ buah}\end{aligned}$$

Dipasang 2 buah baut diameter 16 mm

- Sambungan Pada Badan Balok Induk:

$$\text{Øbaut} = 16\text{mm} \quad (\text{Ab} = 2,01 \text{ cm}^2)$$

$$\text{Mutu baut BJ.50} \quad (\text{fu} = 5000 \text{ kg/cm}^2)$$

Ulir tidak pada bidang geser ($r_1 = 0,5$)

- Kuat geser baut:

$$\begin{aligned}\varnothing \cdot V_n &= \varnothing \cdot r_1 \cdot f_u \cdot m \cdot A_b \\ &= 0,75 \cdot 0,5 \cdot 5000 \cdot 2 \cdot 2,01 \\ &= 7537,5 \text{ kg (menentukan)}\end{aligned}$$

- Kuat tumpu baut

$$\begin{aligned}\varnothing \cdot R_n &= \varnothing \cdot 2,4 \cdot d_b \cdot t_p \cdot f_u \\ &= 0,75 \cdot 2,4 \cdot 1,6 \cdot 1,1 \cdot 4100 \\ &= 12988,8 \text{ kg} \\ n &= \frac{5777,13}{7537,5} = 0,8 \quad 2 \text{ buah}\end{aligned}$$

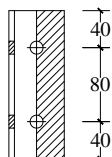
Dipasang 2 buah baut diameter 16 mm

- Kontrol kekuatan siku penyambung

Dipakai siku penyambung 60x60x6

BJ41 ($f_u = 4100 \text{ kg/cm}^2$)

$$\begin{aligned}\varnothing \text{ lubang} &= 16\text{mm} + 1,5 \text{ mm (lubang dibuat dengan bor)} \\ &= 17,5 \text{ mm} = 1,75 \text{ cm}\end{aligned}$$



Gambar 7.4 Detail Pelat Siku Pada Gelagar

Luas bidang geser

$$\begin{aligned}A_{nv} &= L_{nv} \times t_{siku} = (16 - 2 \times 1,75) \times 0,6 \\ &= 7,5 \text{ cm}^2\end{aligned}$$

Kuat rencana

$$\begin{aligned}\varphi R_n &= \varphi 0,6 \times f_u \times A_{nv} \\ &= 0,75 \times 0,6 \times 4100 \times 7,5 \\ &= 13837,50 \text{ kg}\end{aligned}$$

Terdapat 2 siku, sehingga

$$2\varphi R_n = 2 \times 13837,50 = 27675,0 \text{ kg}$$

Syarat:

$$V_u \leq 2\varphi R_n \rightarrow 5777,13 \text{ kg} < 27675 \text{ kg (OK)}$$

Kontrol jarak baut

Jarak ke tepi = 1,5 db s.d (4tp+100 mm) atau 200 mm
 $= 24\text{mm s.d.}200\text{ mm} \rightarrow \text{Tepasang}=40\text{mm}$

Jarak antar baut = 3 db s.d 15 tp atau 200 mm
 $=48\text{mm s.d }200\text{mm} \rightarrow \text{Tepasang}=80\text{mm}$

Untuk perhitungan balok yang lainnya dihitung dengan cara yang sama dan hasil yang didapatkan untuk sambungan balok anak lantai dan balok induk sama.

7.2 Sambungan Balok Anak Atap Dengan Balok Induk

Sambungan antara balok anak atap perkantoran dan balok induk direncanakan dengan baut yang hanya memikul beban geser dari balok anak, sehingga dalam analisa dianggap sebagai sendi.

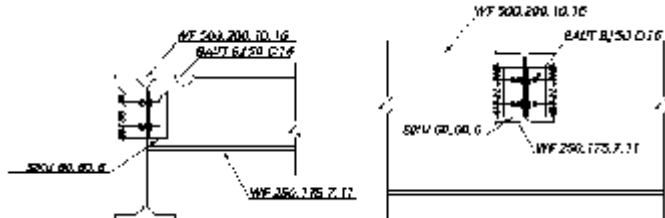
Ada 2 jenis dimensi balok anak lantai dengan balok induk pada bangunan ini:

Tabel 7.2 Dimensi Balok Induk Atap dan Balok Anak Atap

No	Balok Induk Atap	Balok Anak
1	WF 500 x 200 x 10 x 16	WF 250 x 175 x 7 x 11
2	WF 500 x 200 x 10 x 16	WF 200 x 100 x 5,5 x 8

Dari perhitungan sebelumnya diperoleh gaya geser yang bekerja pada balok anak sebesar 3808,07 kg, dengan dimensi balok anak WF 250 x 175 x 7 x 11 dan balok induk WF 500 x 200 x 10 x 16. Pada sambungan ini direncanakan dengan profil siku 60 x 60 x 6.

7.2.1 Sambungan Detail A



Gambar 7.5 Sambungan Balok Anak Atap Dengan Balok Induk

- Sambungan Pada Badan Balok Anak:
 $\text{Øbaut} = 16\text{mm}$ ($A_b = 2,01 \text{ cm}^2$)
 Mutu baut BJ.50 ($f_u = 5000 \text{ kg/cm}^2$)
 Uli tidak pada bidang geser ($r_1 = 0,5$)

- Kuat geser baut:
$$\begin{aligned}\text{Ø.Vn} &= \text{Ø} \cdot r_1 \cdot f_u \cdot A_b \\ &= 0,75 \cdot 0,5 \cdot 5000 \cdot 2 \cdot 2,01 \\ &= 7537,5 \text{ kg (menentukan)}\end{aligned}$$

- Kuat tumpu baut
$$\begin{aligned}\text{Ø.Rn} &= \text{Ø} \cdot 2,4 \cdot db \cdot tp \cdot f_u \\ &= 0,75 \cdot 2,4 \cdot 1,6 \cdot 0,7 \cdot 4100 \\ &= 8265,6 \text{ kg}\end{aligned}$$

$$n = \frac{3808,07}{7537,5} = 0,54 \quad 2 \text{ buah}$$

Dipasang 2 buah baut diameter 16 mm

- Sambungan Pada Badan Balok Induk:
 $\text{Øbaut} = 16\text{mm}$ ($A_b = 2,01 \text{ cm}^2$)
 Mutu baut BJ.50 ($f_u = 5000 \text{ kg/cm}^2$)
 Uli tidak pada bidang geser ($r_1 = 0,5$)
- Kuat geser baut:
$$\begin{aligned}\text{Ø.Vn} &= \text{Ø} \cdot r_1 \cdot f_u \cdot A_b \\ &= 0,75 \cdot 0,5 \cdot 5000 \cdot 1 \cdot 2,01 \\ &= 3768,75 \text{ kg (menentukan)}\end{aligned}$$

- Kuat tumpu baut

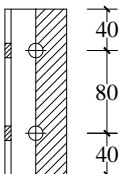
$$\begin{aligned}\varnothing \cdot R_n &= \varnothing \cdot 2,4 \cdot d_b \cdot t_p \cdot f_u \\ &= 0,75 \cdot 2,4 \cdot 1,6 \cdot 0,6 \cdot 4100 \\ &= 7084,8 \text{ kg} \\ n &= \frac{3808,07}{3768,75} = 1,01 \quad 2 \text{ buah}\end{aligned}$$

Dipasang 2 buah baut diameter 16 mm

- Kontrol kekuatan siku penyambung

Dipakai siku penyambung 60 x 60 x 6
BJ41 ($f_u = 4100 \text{ kg/cm}^2$)

$$\begin{aligned}\varnothing \text{ lubang} &= 16\text{mm} + 1,5 \text{ mm (lubang dibuat dengan bor)} \\ &= 17,5 \text{ mm} = 1,75 \text{ cm}\end{aligned}$$



Gambar 7.6 Detail Pelat Siku Pada Gelagar

Luas bidang geser

$$A_{nv} = L_{nv} \times t_{siku} = (16 - 2 \times 1,75) \times 0,6 = 7,50 \text{ cm}^2$$

Kuat rencana

$$\begin{aligned}\{ R_n &= \{ 0,6 \times f_u \times A_{nv} \\ &= 0,75 \times 0,6 \times 4100 \times 7,5 = 13837,5 \text{ Kg}\end{aligned}$$

Terdapat 2 siku, sehingga

$$2\varphi R_n = 2 \times 13837,5 = 27675 \text{ kg}$$

Syarat:

$$V_u \leq 2\varphi R_n \rightarrow 3808,07 \text{ kg} < 27675 \text{ kg (OK)}$$

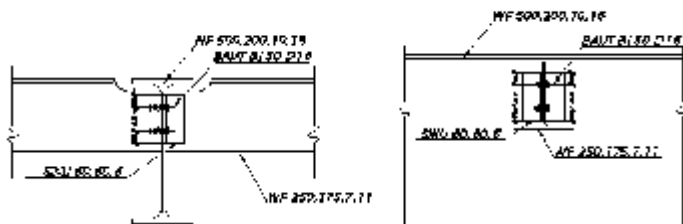
Kontrol jarak baut

Jarak ke tepi = 1,5 db s.d (4tp+100 mm) atau 200 mm
 $= 24\text{mm s.d.}200\text{ mm} \rightarrow \text{Tepasang}=40\text{mm}$

Jarak antar baut = 3 db s.d 15 tp atau 200 mm
 $=48\text{mm s.d }200\text{mm} \rightarrow \text{Tepasang}=80\text{mm}$

Untuk perhitungan balok yang lainnya dihitung dengan cara yang sama dan hasil yang didapatkan untuk sambungan balok anak atap dan balok induk sama.

7.2.2 Sambungan Detail B



Gambar 7.7 Sambungan Balok Anak Atap Dengan Balok Induk

- Sambungan Pada Badan Balok Anak:
 \varnothing baut = 16mm ($A_b = 2,01 \text{ cm}^2$)
 Mutu baut BJ.50 ($f_u = 5000 \text{ kg/cm}^2$)
 Ulin tidak pada bidang geser ($r_1 = 0,5$)

- Kuat geser baut:

$$\begin{aligned}\varnothing.V_n &= \varnothing \cdot r_1 \cdot f_u \cdot A_b \\ &= 0,75 \cdot 0,5 \cdot 5000 \cdot 2 \cdot 2,01 \\ &= 7537,5 \text{ kg (menentukan)}\end{aligned}$$
- Kuat tumpu baut

$$\begin{aligned}\varnothing.R_n &= \varnothing \cdot 2,4 \cdot db \cdot tp \cdot fu \\ &= 0,75 \cdot 2,4 \cdot 1,6 \cdot 0,7 \cdot 4100 \\ &= 8265,6 \text{ kg}\end{aligned}$$

$$n = \frac{3808,07}{7537,5} = 0,54 \quad 2 \text{ buah}$$

Dipasang 2 buah baut diameter 16 mm

- Sambungan Pada Badan Balok Induk:

$$\text{Øbaut} = 16\text{mm} (\text{Ab} = 2,01 \text{ cm}^2)$$

$$\text{Mutu baut BJ.50} (\text{fu} = 5000 \text{ kg/cm}^2)$$

Ular tidak pada bidang geser ($r_1 = 0,5$)

- Kuat geser baut:

$$\text{Ø.Vn} = \text{Ø} \cdot r_1 \cdot \text{fu} \cdot \text{Ab}$$

$$= 0,75 \cdot 0,5 \cdot 5000 \cdot 2 \cdot 2,01$$

$$= 7537,5 \text{ kg (menentukan)}$$

- Kuat tumpu baut

$$\text{Ø.Rn} = \text{Ø} \cdot 2,4 \cdot \text{db} \cdot \text{tp} \cdot \text{fu}$$

$$= 0,75 \cdot 2,4 \cdot 1,6 \cdot 1 \cdot 4100$$

$$= 11808 \text{ kg}$$

$$n = \frac{3808,07}{7537,5} = 0,54 \quad 2 \text{ buah}$$

Dipasang 2 buah baut diameter 16 mm

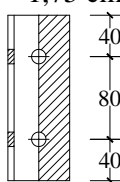
- Kontrol kekuatan siku penyambung

Dipakai siku penyambung 60 x 60 x 6

BJ41 ($\text{fu} = 4100 \text{ kg/cm}^2$)

$\text{Ø lubang} = 16\text{mm} + 1,5 \text{ mm}$ (lubang dibuat dengan bor)

$$= 17,5 \text{ mm} = 1,75 \text{ cm}$$



Gambar 7.8 Detail Pelat Siku Pada Gelagar

Luas bidang geser

$$A_{nv} = L_{nv} \times t_{siku} = (16 - 2 \times 1,75) \times 0,6 = 7,50 \text{ cm}^2$$

Kuat rencana

$$\{ R_n = \{ 0,6 \times f_u \times A_{nv}$$

$$= 0,75 \times 0,6 \times 4100 \times 7,5 = 13837,5 \text{ Kg}$$

Terdapat 2 siku, sehingga

$$2\varphi R_n = 2 \times 13837,5 = 27675 \text{ kg}$$

Syarat:

$$V_u \leq 2\varphi R_n \rightarrow 3808,07 \text{ kg} < 27675 \text{ kg (OK)}$$

Kontrol jarak baut

Jarak ke tepi = 1,5 db s.d (4tp+100 mm) atau 200 mm
 $= 24\text{mm s.d.}200\text{ mm} \rightarrow \text{Tepasang}=40\text{mm}$

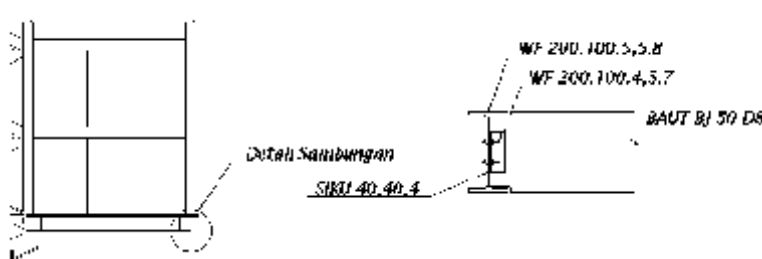
Jarak antar baut = 3 db s.d 15 tp atau 200 mm
 $=48\text{mm s.d }200\text{mm} \rightarrow \text{Tepasang}=80\text{mm}$

Untuk perhitungan balok yang lainnya dihitung dengan cara yang sama dan hasil yang didapatkan untuk sambungan balok anak atap dan balok induk sama.

7.3 Sambungan Balok Utama Tangga Dengan Balok Penumpu Tangga

Sambungan antara balok utama tangga dan balok penumpu tangga direncanakan dengan baut yang hanya memikul beban geser dari balok penumpu tangga, sehingga dalam analisa dianggap sebagai sendi.

Dari perhitungan sebelumnya diperoleh gaya geser yang bekerja pada balok penumpu tangga sebesar 1346,492 kg, dengan dimensi balok utama tangga yaitu WF 200 x 100 x 4,5 x 7 dan balok penumpu tangga WF 200 x 100 x 5,5 x 8. Pada sambungan ini direncanakan dengan profil siku 40 x 40 x 4.



Gambar 7.9 Sambungan Balok Utama Tangga Dengan Balok Penumpu Tangga

- Sambungan balok utama tangga dengan siku:

$\text{Ø baut} = 8\text{mm}$ ($A_b = 0,50 \text{ cm}^2$)

Mutu baut BJ-50 ($f_u = 5000 \text{ kg/cm}^2$)

Ular tidak pada bidang geser ($r_1 = 0,5$)

- Kuat geser baut:

$$\text{Ø.Vn} = \text{Ø} \cdot r_1 \cdot f_u \cdot A_b$$

$$= 0,75 \cdot 0,5 \cdot 5000 \cdot 2 \cdot 0,50$$

$$= 1875 \text{ kg (menentukan)}$$

- Kuat tumpu baut

$$\text{Ø.Rn} = \text{Ø} \cdot 2,4 \cdot d_b \cdot t_p \cdot f_u$$

$$= 0,75 \cdot 2,4 \cdot 0,8 \cdot 0,45 \cdot 4100$$

$$= 2656,8 \text{ kg}$$

$$n = \frac{V_u}{\text{Ø.Rn}} = \frac{1346,492}{1875} = 0,72 \approx 2 \text{ buah}$$

Dipasang 2 buah baut diameter 8 mm

- Sambungan balok penumpu tangga dengan siku:

$\text{Ø baut} = 8\text{mm}$ ($A_b = 0,50 \text{ cm}^2$)

Mutu baut BJ-50 ($f_u = 5000 \text{ kg/cm}^2$)

Ular tidak pada bidang geser ($r_1 = 0,5$)

- Kuat geser baut:

$$\text{Ø.Vn} = \text{Ø} \cdot r_1 \cdot f_u \cdot A_b$$

$$= 0,75 \cdot 0,5 \cdot 5000 \cdot 1 \cdot 0,50$$

$$= 937,5 \text{ kg (menentukan)}$$

Kuat tumpu baut

$$\text{Ø.Rn} = \text{Ø} \cdot 2,4 \cdot d_b \cdot t_p \cdot f_u$$

$$= 0,75 \cdot 2,4 \cdot 0,8 \cdot 0,4 \cdot 4100$$

$$= 2361,60 \text{ kg}$$

$$n = \frac{V_u}{\text{Ø.Rn}} = \frac{1346,492}{937,5} = 1,44 \approx 2 \text{ buah}$$

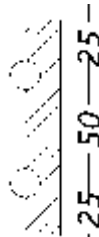
Dipasang 2 buah baut diameter 8 mm

- Kontrol kekuatan siku penyambung

Dipakai siku penyambung 40x40x4

BJ41 ($f_u = 4100 \text{ kg/cm}^2$)

\varnothing lubang = 8 mm + 1,5 mm (lubang dibuat dengan bor)
 $= 9,5 \text{ mm} = 0,95 \text{ cm}$



Gambar 7.10 Detail Pelat Siku Pada Gelagar

Luas bidang geser

$$A_{nv} = L_{nv} \times t_{siku} = (10 - 2 \times 0,95) \times 0,4 = 3,24 \text{ cm}^2$$

Kuat rencana

$$\begin{aligned} \varphi R_n &= \varphi 0,6 \times f_u \times A_{nv} \\ &= 0,75 \times 0,6 \times 4100 \times 3,24 = 5977,8 \text{ kg} \end{aligned}$$

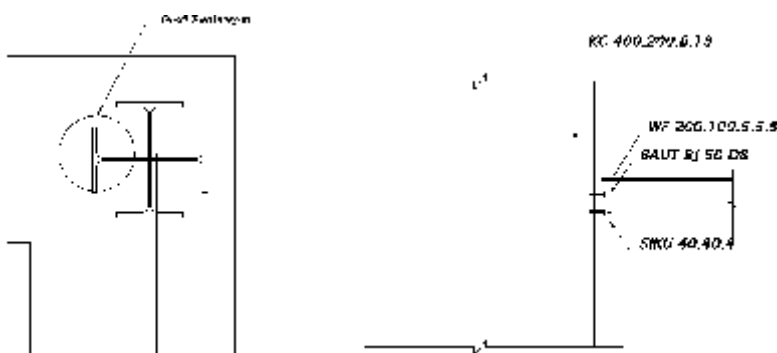
Syarat:

$$V_u \leq \varphi R_n \rightarrow 1346,492 \text{ kg} < 5977,8 \text{ kg (OK)}$$

7.4 Sambungan Balok Penumpu Tangga Dengan Kolom

Sambungan antara balok penumpu tangga dan kolom direncanakan dengan baut yang hanya memikul beban geser dari balok penumpu tangga, sehingga dalam analisa dianggap sebagai sendi.

Dari perhitungan sebelumnya diperoleh gaya geser yang bekerja pada balok penumpu tangga sebesar 1346,492 kg, dengan dimensi balok penumpu tangga yaitu WF 200 x 100 x 5,5 x 8. Pada sambungan ini direncanakan dengan profil siku 40 x 40 x 4.



Gambar 7.11 Sambungan Balok Penumpu Tangga Dengan Kolom

- Sambungan balok penumpu tangga dengan siku:
 $\text{Øbaut} = 8\text{mm}$ ($A_b = 0,50 \text{ cm}^2$)
 Mutu baut BJ-50 ($f_u = 5000 \text{ kg/cm}^2$)
 Ulin tidak pada bidang geser ($r_1 = 0,5$)

- Kuat geser baut:

$$\begin{aligned}\text{Ø.Vn} &= \text{Ø} \cdot r_1 \cdot f_u \cdot m \cdot A_b \\ &= 0,75 \cdot 0,5 \cdot 5000 \cdot 2 \cdot 0,50 \\ &= 1875 \text{ kg (menentukan)}\end{aligned}$$
- Kuat tumpu baut

$$\begin{aligned}\text{Ø.Rn} &= \text{Ø} \cdot 2,4 \cdot d_b \cdot t_p \cdot f_u \\ &= 0,75 \cdot 2,4 \cdot 0,8 \cdot 0,55 \cdot 4100 \\ &= 3247,2 \text{ kg}\end{aligned}$$

$$n = \frac{V_u}{\text{Ø.Rn}} = \frac{1346,492}{1875} = 0,72 \approx 2 \text{ buah}$$

Dipasang 2 buah baut diameter 8 mm

- Sambungan kolom tangga dengan siku:
 $\text{Øbaut} = 8\text{mm}$ ($A_b = 0,50 \text{ cm}^2$)
 Mutu baut BJ-50 ($f_u = 5000 \text{ kg/cm}^2$)
 Ulin tidak pada bidang geser ($r_1 = 0,5$)

- Kuat geser baut:

$$\begin{aligned}\varnothing \cdot V_n &= \varnothing \cdot r_1 \cdot f_u \cdot m \cdot A_b \\ &= 0,75 \cdot 0,5 \cdot 5000 \cdot 1 \cdot 0,50 \\ &= 937,5 \text{ kg (menentukan)}\end{aligned}$$

Kuat tumpu baut

$$\begin{aligned}\varnothing \cdot R_n &= \varnothing \cdot 2,4 \cdot d_b \cdot t_p \cdot f_u \\ &= 0,75 \cdot 2,4 \cdot 0,8 \cdot 0,4 \cdot 4100 \\ &= 2361,60 \text{ kg}\end{aligned}$$

$$n = \frac{V_u}{\varnothing \cdot R_n} = \frac{1346,492}{937,5} = 1,44 \approx 2 \text{ buah}$$

Dipasang 2 buah baut diameter 8 mm

- Kontrol kekuatan siku penyambung

Dipakai siku penyambung 40x40x4

BJ41 ($f_u = 4100 \text{ kg/cm}^2$)

\varnothing lubang = 8 mm + 1,5 mm (lubang dibuat dengan bor)
 $= 9,5 \text{ mm} = 0,95 \text{ cm}$



Gambar 7.12 Detail Pelat Siku Pada Gelagar Luas bidang geser

$$A_{nv} = L_{nv} \times t_{siku} = (10 - 2 \times 0,95) \times 0,4 = 3,24 \text{ cm}^2$$

Kuat rencana

$$\begin{aligned}\varphi R_n &= \varphi 0,6 \times f_u \times A_{nv} \\ &= 0,75 \times 0,6 \times 4100 \times 3,24 = 5977,8 \text{ kg}\end{aligned}$$

Syarat:

$$V_u \leq \varphi R_n \rightarrow 1346,492 \text{ kg} < 5977,8 \text{ kg (OK)}$$

7.5 Sambungan Antar Kolom

7.5.2 Sambungan Antar Kolom Lantai 1-5

Kolom: King Cross 800 x 300 x 14 x 26

BJ-41 : $f_y = 2500 \text{ kg/cm}^2$

$f_u = 4100 \text{ kg/cm}^2$

Dari output SAP 2000 didapat :

$P_u = 260940,3 \text{ kg}$

$M_u = 4437756 \text{ kg.cm}$

$V_u = 6269,6 \text{ kg}$

Pembagian beban momen :

$$\begin{aligned} M_{u \text{ badan}} &= \frac{I_{\text{badan}}}{I_{\text{profil}}} \times M_u \\ &= \frac{\left(\frac{1}{12} \times 1,4 \times 80^3\right)}{303700} \times 4437756 = 872841,483 \text{ kg.cm} \end{aligned}$$

$$\begin{aligned} M_{u \text{ sayap}} &= M_u - M_{u \text{ badan}} \\ &= 4437756 - 872841,483 \\ &= 3564914,517 \text{ kgcm} \end{aligned}$$

Pembagian beban aksial :

$$\begin{aligned} P_{u \text{ badan}} &= \frac{A_{\text{badan}}}{A_{\text{profil}}} \times P_u \\ &= \frac{(1,4 \times 80)}{534,8} \times 260940,3 = 54647,183 \text{ kg} \end{aligned}$$

$$\begin{aligned} P_{u \text{ sayap}} &= P_u - P_{u \text{ badan}} \\ &= 260940,3 - 54647,183 \\ &= 206293,1168 \text{ kg} \end{aligned}$$

- Sambungan pada sayap kolom
 \emptyset baut = 24mm ($A_b = 4,52 \text{ cm}^2$)
 Mutu baut A325 ($f_u = 8250 \text{ kg/cm}^2$)
 Ulir tidak pada bidang geser ($r_1 = 0,5$)
 Tebal pelat penyambung = 16 mm

- Kuat geser baut:

$$\begin{aligned}\emptyset \cdot V_n &= \emptyset \cdot r_1 \cdot f_u \cdot m \cdot A_b \\ &= 0,75 \cdot 0,5 \cdot 8250 \cdot 1 \cdot 4,52 \\ &= 13983,75 \text{ kg (menentukan)}\end{aligned}$$

- Kuat tumpu baut

$$\begin{aligned}\emptyset \cdot R_n &= \emptyset \cdot 2,4 \cdot d_b \cdot t_p \cdot f_u \\ &= 0,75 \cdot 2,4 \cdot 2,4 \cdot 1,6 \cdot 4100 \\ &= 28339,2 \text{ kg}\end{aligned}$$

Gaya kopel pada sayap

$$T = \frac{M_{usayap}}{d} = \frac{3564914,517}{80} = 44561,431 \text{ kg}$$

Jumlah gaya total pada sayap :

$$\begin{aligned}Tu - T + P_u \text{ sayap} &= 44561,431 + 206293,1168 \\ &= 250854,548 \text{ kg}\end{aligned}$$

Jumlah baut yang diperlukan :

$$n = \frac{Tu}{\emptyset \cdot R_n} = \frac{250854,548}{13983,75} = 14,8 \text{ buah} \approx 16 \text{ buah}$$

- Sambungan pada badan kolom

$$\emptyset \text{ baut} = 24 \text{ mm} (\text{Ab} = 4,52 \text{ cm}^2)$$

$$\text{Mutu baut A325 (f}_u = 8250 \text{ kg/cm}^2)$$

$$\text{Ulrir tidak pada bidang geser (r}_1 = 0,5)$$

$$\text{Tebal pelat buhul} = 16 \text{ mm}$$

- Kuat geser baut:

$$\begin{aligned}\emptyset \cdot V_n &= \emptyset \cdot r_1 \cdot f_u \cdot m \cdot A_b \\ &= 0,75 \cdot 0,5 \cdot 8250 \cdot 2 \cdot 4,52 \\ &= 27991,59 \text{ kg (menentukan)}\end{aligned}$$

- Kuat tumpu baut

$$\begin{aligned}\emptyset \cdot R_n &= \emptyset \cdot 2,4 \cdot d_b \cdot t_p \cdot f_u \\ &= 0,75 \cdot 2,4 \cdot 2,4 \cdot 2,6 \cdot 4100 \\ &= 46051,2 \text{ kg}\end{aligned}$$

e direncanakan = 12 mm

$$\begin{aligned} \text{Mu total} &= \text{Mu}_{\text{badan}} + \text{Vu} \cdot e \\ &= 872841,483 + 6269,6 \cdot 1,2 \\ &= 880365,003 \text{ kg.cm} \end{aligned}$$

Perkiraan jumlah baut:

$$n = \sqrt{\frac{6 \cdot M_u}{\sim \cdot R_u}}$$

Sambungan memikul beban Mu dan Pu sehingga Ru direduksi $\varphi = 0,7$.

Susunan baut lebih dari satu deret nilai Ru dinaikan 1,2

$$R_u = 0,7 \times 1,2 \times 27991,59 = 23512,94 \text{ kg}$$

$$n = \sqrt{\frac{6 \times 880365,003}{10 \times 27991,59}} = 4,3 \approx 6 \text{ buah}$$

Kontrol beban

Akibat Gaya Pu

$$K_y (Pu) = \frac{Pu}{n} = \frac{54647,183}{6} = 9107,863 \text{ kg}$$

Akibat Gaya Vu

$$K_x (Vu) = \frac{Vu}{n} = \frac{6269,6}{6} = 1044,933 \text{ kg}$$

Akibat Mu

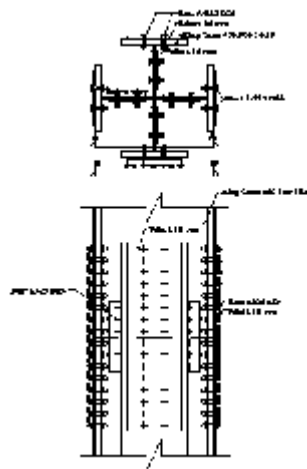
Beban max pada baut dengan $x \approx 4 \text{ cm}$ dan $y = 8 \text{ cm}$

$$\begin{aligned} \Sigma(X^2 + Y^2) &\approx [6(4^2) + 4(8^2)] \\ &= 352 \text{ cm}^2 \end{aligned}$$

$$K_y = \frac{M_{u \text{ total}} \cdot X}{\Sigma(X^2 + Y^2)} = \frac{880365,003 \times 4}{352} = 10004,148 \text{ kg}$$

$$K_x = \frac{M_{u \text{ total}} \cdot Y}{\Sigma(X^2 + Y^2)} = \frac{880365,003 \times 8}{352} = 20008,295 \text{ kg}$$

$$\begin{aligned}
 K_{u\ total} &= \sqrt{(Kx(Vu) + (Kx(Mu))^2 + (Ky(Pu) + Ky(Mu))^2} \\
 &= \sqrt{(1044,933 + 20008,295)^2 + (9107,863 + 10004,148)^2} \\
 &= 25434,26 \text{ kg} \\
 K_{u\ total} \leq \varphi R_n &\rightarrow 19112022 \text{ kg} < 27991,59 \text{ kg (OK)} \\
 \text{Kontrol jarak baut} \\
 \text{Jarak ke tepi} &= 1.5 \text{ db s.d. } (4\text{tp}+100 \text{ mm}) \text{ atau } 200 \text{ mm} \\
 &= 3,6 \text{ cm s.d. } 16,4 \text{ cm, Terpasang } = 4 \text{ cm} \\
 \text{Jarak antar baut} &= 3 \text{ db s.d. } 15 \text{ tp atau } 200 \text{ mm} \\
 &= 7,2 \text{ cm s.d. } 24 \text{ cm, Terpasang } = 8 \text{ cm}
 \end{aligned}$$



Gambar 7.13 Sambungan Kolom Dengan Kolom

7.5.2 Sambungan Antar Kolom Lantai 6-10

Kolom: King Cross 588 x 300 x 12 x 20

BJ-41 : $f_y = 2500 \text{ kg/cm}^2$
 $f_u = 4100 \text{ kg/cm}^2$

Dari output SAP 2000 didapat :

$$Pu = 74906.8 \text{ kg}$$

$$Mu = 1390459 \text{ kgcm}$$

$$V_u = 6269,6 \text{ kg}$$

Pembagian beban momen :

$$\begin{aligned} M_{u \text{ badan}} &= \frac{I_{\text{badan}}}{I_{\text{profil}}} \times M_u \\ &= \frac{\left(\frac{1}{12} \times 1,2 \times 58,8^3\right)}{127020} \times 1390459 = 222545,111 \text{ kg.cm} \end{aligned}$$

$$\begin{aligned} Mu \text{ sayap} &= Mu - Mu \text{ badan} \\ &= 1390459 - 222545,111 \\ &= 1167913,889 \text{ kgcm} \end{aligned}$$

Pembagian beban aksial :

$$\begin{aligned} P_{u \text{ badan}} &= \frac{A_{\text{badan}}}{A_{\text{profil}}} \times P_u \\ &= \frac{(1,2 \times 58,8)}{385} \times 74906,8 = 13728,373 \text{ kg} \end{aligned}$$

$$\begin{aligned} Pu \text{ sayap} &= Pu - Pu \text{ badan} \\ &= 74906,8 - 13728,373 \\ &= 61178,426 \text{ kg} \end{aligned}$$

- Sambungan pada sayap kolom
 \emptyset baut = 24mm ($A_b = 4,52 \text{ cm}^2$)
 Mutu baut A325 ($f_u = 8250 \text{ kg/cm}^2$)
 Ulir tidak pada bidang geser ($r_1 = 0,5$)
 Tebal pelat penyambung = 16 mm

- Kuat geser baut:

$$\begin{aligned} \emptyset.V_n &= \emptyset \cdot r_1 \cdot f_u \cdot A_b \\ &= 0,75 \cdot 0,5 \cdot 8250 \cdot 1 \cdot 4,52 \\ &= 13983,75 \text{ kg (menentukan)} \end{aligned}$$

- Kuat tumpu baut

$$\begin{aligned} \emptyset.R_n &= \emptyset \cdot 2,4 \cdot d_b \cdot t_p \cdot f_u \\ &= 0,75 \cdot 2,4 \cdot 2,4 \cdot 1,3 \cdot 4100 \\ &= 28339,2 \text{ kg} \end{aligned}$$

Gaya kopel pada sayap

$$T = \frac{M_u \text{sayap}}{d} = \frac{1167913,889}{58,8} = 19862,481 \text{kg}$$

Jumlah gaya total pada sayap :

$$\begin{aligned} Tu - T + Pu \text{ sayap} &= 19862,481 + 61178,426 \\ &= 81040,907 \text{ kg} \end{aligned}$$

Jumlah baut yang diperlukan :

$$n = \frac{\text{Tu}}{\emptyset \cdot R_n} = \frac{81040,907}{13983,75} = 6,8 \approx 8 \text{ buah}$$

- Sambungan pada badan kolom

$$\emptyset \text{baut} = 24 \text{mm} (\text{Ab} = 4,52 \text{ cm}^2)$$

$$\text{Mutu baut A325 (fu} = 8250 \text{ kg/cm}^2)$$

$$\text{Ultrir tidak pada bidang geser (r}_1 = 0,5)$$

$$\text{Tebal pelat buhul} = 16 \text{ mm}$$

- Kuat geser baut:

$$\begin{aligned} \emptyset \cdot V_n &= \emptyset \cdot r_1 \cdot fu \cdot Ab \\ &= 0,75 \cdot 0,5 \cdot 8250 \cdot 2 \cdot 4,52 \\ &= 27991,59 \text{ kg} \end{aligned}$$

- Kuat tumpu baut

$$\begin{aligned} \emptyset \cdot R_n &= \emptyset \cdot 2,4 \cdot db \cdot tp \cdot fu \\ &= 0,75 \cdot 2,4 \cdot 2,4 \cdot 1,3 \cdot 4100 \\ &= 23025,6 \text{ kg (menentukan)} \end{aligned}$$

$$e \text{ direncanakan} = 12 \text{ mm}$$

$$\text{Mu total} = \text{Mu}_{\text{badan}} + \text{Vu} \cdot e$$

$$\begin{aligned} &= 222545,111 + 6269,6 \cdot 1,2 \\ &= 230068,631 \text{ kg.cm} \end{aligned}$$

Perkiraan jumlah baut:

$$n = \sqrt{\frac{6 \cdot M_u}{\sim \cdot R_u}}$$

Sambungan memikul beban Mu dan Pu sehingga Ru direduksi $\varphi = 0,7$.

Susunan baut lebih dari satu deret nilai Ru dinaikan 1,2
 $R_u = 0,7 \times 1,2 \times 23025,6 = 19341,504 \text{ kg}$

$$n = \sqrt{\frac{6 \times 230068,631}{10 \times 19341,504}} = 4,35 \approx 6 \text{ buah}$$

Kontrol beban

Akibat Gaya Pu

$$K_y(Pu) = \frac{Pu}{n} = \frac{13728,373}{6} = 2288,062 \text{ kg}$$

Akibat Gaya Vu

$$K_x(Vu) = \frac{Vu}{n} = \frac{6269,6}{6} = 1044,933 \text{ kg}$$

Akibat Mu

Beban max pada baut dengan x = 4 cm dan y = 8 cm

$$\begin{aligned}\Sigma(X^2 + Y^2) &= [6(4^2) + 4(8^2)] \\ &= 352 \text{ cm}^2\end{aligned}$$

$$K_y = \frac{M_{u \text{ total}} \cdot X}{\Sigma(X^2 + Y^2)} = \frac{230068,631 \times 4}{352} = 2614,416 \text{ kg}$$

$$K_x = \frac{M_{u \text{ total}} \cdot Y}{\Sigma(X^2 + Y^2)} = \frac{230068,631 \times 8}{352} = 5228,832 \text{ kg}$$

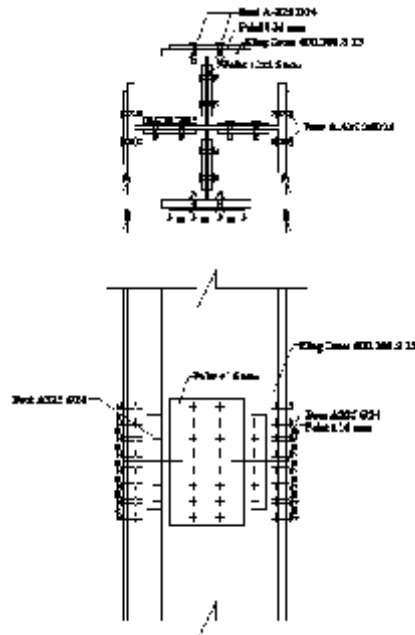
$$\begin{aligned}K_{u \text{ total}} &= \sqrt{(K_x(Vu) + (K_x(Mu))^2 + (K_y(Pu) + K_y(Mu))^2} \\ &= \sqrt{(1044,933 + 5228,832)^2 + (2288,062 + 2614,416)^2} \\ &= 7962,061 \text{ kg}\end{aligned}$$

$$K_{u \text{ total}} \leq \varphi R_n \rightarrow 7962,061 \text{ kg} < 23025,6 \text{ kg (OK)}$$

Kontrol jarak baut

$$\begin{aligned}\text{Jarak ke tepi} &= 1.5 \text{ db s.d. } (4\text{tp}+100 \text{ mm}) \text{ atau } 200 \text{ mm} \\ &= 3,6 \text{ cm s.d. } 16,4 \text{ cm, Terpasang} = 4 \text{ cm}\end{aligned}$$

Jarak antar baut = 3 db s.d 15 tp atau 200 mm
 = 7,2 cm s.d.24 cm, Terpasang = 8 cm

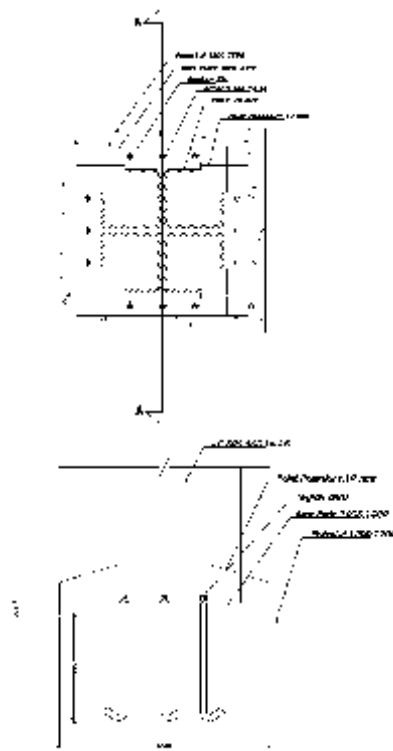


Gambar 7.14 Sambungan Kolom Dengan Kolom

7.5.3 Sambungan Kolom Dengan Base Plate

Perencanaan *base plate* dibawah ini menggunakan *fixed plate* dari katalog PT. Gunung Garuda untuk profil K800 x 300 x 14 x 26 dengan data – data sebagai berikut :

- Part No = BMK-17
- H = 1000mm
- B = 1000mm
- $t_p = 55$
- $q = 431,75 \text{ kg}$



Gambar 7.15 Sambungan Kolom Dengan Base Plate

Dari hasil perhitungan analisa SAP2000 diperoleh gaya-gaya yang bekerja adalah sebagai berikut:

$$P_u = 247421,2 \text{ kg}$$

$$M_u = 3941081 \text{ kg.cm}$$

$$V_u = 10590,7 \text{ kg}$$

- **Sambungan Las pada End Plate**

Direncanakan las dengan $t_e = 1 \text{ cm}$ pada daerah yang diarsir pada profil KC 800 x 300 x 14 x 26 sehingga didapat :

$$A_{las} = \{(2,69,2) + (2,67,8) + (4,30)\}.1 = 394 \text{ cm}^2$$

$$\begin{aligned} I_x &= \left[2 \left(\frac{1}{12} \cdot 1,69,2^3 + \frac{1}{12} \cdot 30,1^3 + 30,1 \cdot 40,7^2 \right) \right] \\ &\quad + \left[2 \left(\frac{1}{12} \cdot 67,8,1^3 + \frac{1}{12} \cdot 1,30^3 \right) \right] \\ &= 159134,68 \text{ cm}^4 \end{aligned}$$

$$I_x = I_y = 159134,68 \text{ cm}^4$$

$$W_x = W_y = \frac{I_x}{y} = \frac{159134,68}{40} = 3978,37 \text{ cm}^3$$

$$\begin{aligned} f_{ulas} &= .0,6 \cdot F_{E70xx} = 0,75 \cdot 0,6 \cdot 70,70,3 \\ &= 2214,45 \text{ Kg/cm}^2 \end{aligned}$$

Akibat Pu:

$$\begin{aligned} f_p &= \frac{Pu}{A} + \frac{Mx}{Wx} = \frac{247421,2}{394} + \frac{3941081}{3978,37} \\ &= 1618,6 \text{ kg/cm}^2 \end{aligned}$$

Akibat Vu:

$$\begin{aligned} f_v &= \frac{Vu}{A} + \frac{Mx}{Wy} = \frac{10590,7}{394} + \frac{3941081}{3978,37} \\ &\approx 1017,507 \text{ kg/cm}^2 \end{aligned}$$

$$\begin{aligned} f_{total} &= \sqrt{f_p^2 + f_v^2} = \sqrt{1618,6^2 + 1017,507^2} \\ &\approx 1911,854 \text{ kg/cm}^2 \end{aligned}$$

$$te = \frac{f_{total}}{fu_{las}} = \frac{1911,854}{2214,45} = 0,86$$

$$a = \frac{te}{0,707} = \frac{0,86}{0,707} = 1,22 \text{ cm} > (a \text{ min} = 0,6 \text{ cm})$$

Syarat- syarat tebal kaki las

Tebal minimum = $t_{plat} = 55 \text{ mm}$

$$a_{eff\ max} = 1,41 \cdot \frac{f_u}{f_{E\ 70xx}} \cdot p = 1,41 \cdot \frac{4100}{70.70,3} \cdot 5,5 = 6,461 \text{ cm}$$

Sehingga dipakai las dengan a = 2 cm

Perhitungan Base Plate

Periksa eksentrisitas gaya:

$$e = \frac{M_{ux}}{P_u} = \frac{3941081}{247421,2} = 15 \text{ cm}$$

$$\frac{1}{6} h = \frac{1}{6} \cdot 100 = 16,67 \text{ cm} > e$$

Karena $\frac{1}{6} h > e$, maka tidak terjadi gaya tarik, sehingga tidak perlu memasang gaya angkur (dipasang angkur praktis)

Direncanakan diameter baut : 30mm = 3 cm

$$h' = w_e + c_1$$

$$w_e = \text{jarak baut ke tepi} = 2 \cdot d_b = 2 \cdot 3 = 6 \text{ cm}$$

$$c_1 = \text{jarak minimum untuk kunci} = 27/16 \cdot d_b = 5,06 \text{ cm}$$

$$h' = 6 + 5,06 = 11,06 \text{ cm}$$

$$h \geq H - 0,5 \cdot h' = 100 - 0,5 \cdot 11,06 = 94,47 \text{ cm}$$

$$B = 100 \text{ cm}$$

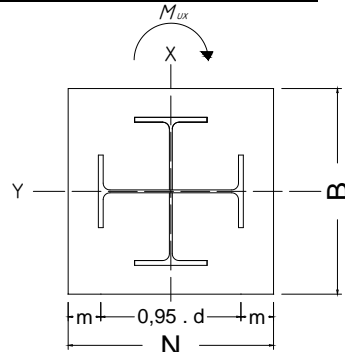
Dimensi beton :

Panjang : 1200 mm

Lebar : 1200 mm

$$\sqrt{\frac{A_2}{A_1}} = \sqrt{\frac{120 \cdot 120}{100 \cdot 100}} = 1,2$$

Perencanaan akibat beban sumbu X



Gambar 7.16 Arah Beban Sumbu X Pada Base Plate

- Akibat beban P_u
 - $f_{pa} = \frac{P_u}{B \cdot N} = \frac{247421,2}{100 \cdot 100} = 24,742 \text{ kg/cm}^2$
- Akibat beban M_u

$$f_{pb} = \frac{\sigma \cdot M_u}{B \cdot N^2} = \frac{6,3941081}{100 \cdot 100^2} = 23,646 \text{ kg/cm}^2$$
- Tekanan maksimal
$$f_{p\max} = f_{pa} + f_{pb} = 24,742 + 23,646 = 48,388 \text{ kg/cm}^2$$
- Tekanan yang dapat diterima kolom
$$f_{p\text{avail}} = \emptyset \cdot 0,85 \cdot f_c = 0,9 \cdot 0,85 \cdot 30 = 22,95 \text{ MPa}$$
- Menentukan M_{upl} pada jarak m setiap lebar 1 cm pelat

$$m = \frac{N - 0,95 \cdot d}{2} = \frac{100 - 0,95 \cdot 80}{2} = 12 \text{ cm}$$

$$M_{upl} = \left(f_{p\max} - 2 \cdot f_{pb} \cdot \frac{m}{N} \right) \cdot \left(\frac{m^2}{2} \right) + \left(2 \cdot f_{pb} - \frac{m}{N} \right) \left(\frac{m^2}{3} \right)$$

$$\begin{aligned}
 &= \left(48,388 - 2,66 \cdot \frac{12}{100} \right) \cdot \left(\frac{12^2}{2} \right) + \left(2,66 - \right. \\
 &\quad \left. \frac{12}{100} \right) \left(\frac{12^2}{3} \right) \\
 &= 3377,328 \text{ kg.cm/cm}
 \end{aligned}$$

- Menentukan tebal base plate

$$f_y = 2500 \text{ kg/cm}^2$$

$$t = \sqrt{\frac{4 \cdot M_{upl}}{0,9 \cdot f_y}} = \sqrt{\frac{4.3377,328}{0,9 \cdot 2500}} = 2,45 \text{ cm} \\
 < 5,5 \text{ cm (OK)}$$

Perencanaan pelat pengaku

- Pelat pengaku direncanakan seperti dengan balok yang menerima beban momen dari pelat landas.
- Dimensi pelat minimum menurut SNI-03-1729-2002 Pasal 8.11

Lebar pelat pengaku minimum (bs)

$$b_s \geq \frac{b}{3} - \frac{tw}{2} = \frac{30}{3} - \frac{1,4}{2} = 9,3 \text{ cm}$$

Tebal pelat pengaku minimum (ts)

$$t_s \geq 0,5 \text{ tf} \rightarrow 0,5 \times 2,6 = 1,3 \text{ m}$$

$$t_s \geq 1,79 \cdot b_s \cdot \sqrt{\frac{f_y}{E}} = 1,79 \cdot 9,3 \cdot \sqrt{\frac{2500}{2 \cdot 10^6}} = 0,50 \text{ m}$$

Digunakan lebar pelat pengaku (bs) = 20 cm dengan tebal pelat pengaku (ts) = 1,3 cm

Perencanaan baut angkur

- Gaya tarik yang terjadi pada angkur

$$T = \frac{f_p \max \cdot A \cdot B}{2} - P_u = \frac{48,388 \cdot 100 \cdot 100}{2} - 247421,2 \\
 = 31073,65 \text{ kg}$$

“Karena $1/6 h > e$, maka dipasang angkur praktis”

Perhitungan Baut Angkur:

Dipakai baut angkur Ø30 mm dengan $f_u = 8250 \text{ kg/cm}^2$

$$\begin{aligned} V_n &= 0,75 \cdot r_1 \cdot f_{ub} \cdot A_b \\ &= 0,75 \cdot 0,5 \cdot 8250 \cdot (\frac{1}{4} \cdot \cdot 3^2) \\ &= 21868,43 \text{ kg (menentukan)} \\ R_n &= 2,4 \cdot \cdot db \cdot tp \cdot f_u \\ &= 2,4 \cdot 0,75 \cdot 3 \cdot 5,5 \cdot 4100 \\ &= 121770 \text{ kg} \end{aligned}$$

- Kuat rencana tarik

$$\begin{aligned} R_n &= T_d = \cdot \cdot 0,75 \cdot f_{ub} \cdot A_b \\ &= 0,75 \cdot 0,75 \cdot 8250 \cdot (\frac{1}{4} \cdot \cdot 3^2) \\ &= 32802,65 \text{ kg} \end{aligned}$$

- Jumlah baut angkur yang dibutuhkan (diambil jumlah yang terbesar antara gaya geser dan gaya tarik yang terjadi)

$$n = \frac{V_u}{\epsilon V_n} = \frac{10590,7}{21868,43} = 0,48$$

Terhadap gaya tarik

$$n = \frac{T}{\epsilon V_n} = \frac{31073,65}{21868,43} = 1,42 \approx 2 \text{ buah}$$

Maka untuk kestabilan kolom dipasang angkur 2 buah tiap sisi 8 buah angkur.

- Panjang Baut Angkur

$$\frac{d}{db} = \frac{9f_y}{10\sqrt{f'c}} \times \frac{r \cdot s \cdot x}{\left(\frac{c + ktr}{db} \right)} = \frac{9 \times 250}{10\sqrt{30}} \times \frac{1 \times 1,2 \times 1 \times 1}{3,0}$$

$$d = 16,43 \cdot db \rightarrow 16,43 \cdot 3,0 \text{ cm} = 49,30 \text{ cm} \approx 50 \text{ cm}$$

Maka panjang angkur yang dibutuhkan 50 cm.

7.5.4 Sambungan Balok Induk Lantai Hotel Dengan Kolom

Sambungan balok induk dengan kolom direncanakan dengan sambungan kaku (*rigid connection*) dimana sambungan

memikul beban geser P_u dan momen M_u . Penerimaan beban dianggap sebagai berikut :

Sambungan kaku yang merupakan bagian dari sistem rangka pemikul beban gempa mempunyai kuat lentur M_u yang besarnya paling tidak sama dengan :

$$\begin{aligned} M_p &= Zx \cdot f_y \\ &= 3100.2500 \\ &= 7750000 \text{ kg.cm} \end{aligned}$$

$$\begin{aligned} M_u &= 1,1.R_y.M_p^{\text{balok}} \\ &= 1,1.1,5. 7750000 \text{ kg.cm} \\ &= 12787500 \text{ kg.cm} \end{aligned}$$

Menghitung V_u ($1,2 D + 0,5 L$)

Berat pelat bondek	$= 10,1 \text{ kg/m}^2$
Berat Beton = $0,09 \times 2400$	$= 216 \text{ kg/m}^2$
Berat spesi = $0,02 \times 2200$	$= 44 \text{ kg/m}^2$
Beban Plafon+penggantung = $11+7$	$= 18 \text{ kg/m}^2$
Beban tegel	$= 24 \text{ kg/m}^2$
Berat <i>ducting</i> mekanikal	$= 10 \text{ kg/m}^2$
	$+ \frac{= 322,1 \text{ kg/m}^2}{= 322,1 \text{ kg/m}^2}$
$322,1 \text{ kg/m}^2 \times 2,275\text{m}$	$= 732,8\text{kg/m}$
Berat Profil = $36,7 \text{ kg/m}$	$= 36,7 \text{ kg/m}$
Sambungan dll (10%)	$= 76,95\text{kg/m}$
	$+ \frac{= 846,4\text{kg/m}}{= 846,4\text{kg/m}}$

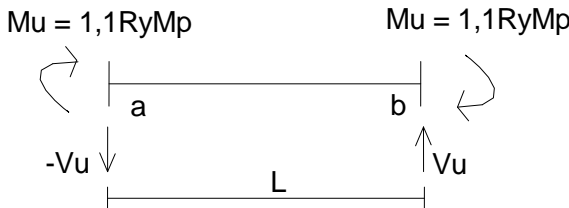
Beban Hidup Berdasarkan SNI 1727-2013:

$$\text{Lantai Atap } q_{\text{Latap}} = 250 \text{ kg/m}^2 \times 2,275 \text{ m} = 568,75 \text{ kg/m}$$

$$q_u = 1,2 \cdot q_d + 0,5 \cdot q_L = 1,2 \cdot 846,4 + 0,5 \cdot 568,75 = 1300,055 \text{ kg/m}$$

$$V_u = \frac{1}{2} q_u L = \frac{1}{2} 1300,055 \times 6 = 3900,165 \text{ kg}$$

Gaya geser terfaktor V pada sambungan kaku harus diambil berdasarkan beban kombinasi pembebanan $1,2D + 0,5L$ ditambah gaya geser yang berasal dari M_u diatas, sehingga besarnya :



Gambar 7.17 Gaya Pada Balok-Kolom

$$V_u = \frac{12787500 + 12787500}{600} = 42625 \text{ kg}$$

$$V_{\text{total}} = 42625 \text{ kg} + 3900,165 \text{ kg} = 46525,165 \text{ kg}$$

Perencanaan kekuatan sambungan baut:

- Kuat geser baut

Pada bidang geser baut tidak ada ulir ($r_1 = 0,5$)

Mutu profil BJ41 ($f_u = 4100 \text{ kg/cm}^2$)

Baut tipe tumpu baut 30 mm ($A_g = 7,07 \text{ cm}^2$)

Mutu baut A325 ($f_u = 8250 \text{ kg/cm}^2$)

$$\emptyset \cdot V_n = \emptyset \cdot r_1 \cdot f_u \cdot m \cdot A_b$$

$$= 0,75 \cdot 0,5 \cdot 8250 \cdot 1 \cdot 7,07$$

$$= 21868,43 \text{ kg} \text{ (menentukan)}$$

Kuat tumpu baut

$$\emptyset \cdot R_n = \emptyset \cdot 2,4 \cdot d_b \cdot t_p \cdot f_u$$

$$= 0,75 \cdot 2,4 \cdot 3,0 \cdot 1,8 \cdot 4100$$

$$= 39852 \text{ kg}$$

Kuat tarik baut:

$$T_d = \emptyset \cdot 0,75 \cdot f_u \cdot A_b$$

$$= 0,75 \cdot 0,75 \cdot 8250 \cdot 7,07$$

$$= 32802,65 \text{ kg}$$

- Kontrol geser

$$V_u = \frac{P_u}{n} = \frac{46525,165}{12} \\ = 3877,097 \text{ kg} < 21868,43 \text{ kg (OK)}$$

- Kontrol tarik

$$f_{uv} = \frac{V_u}{A} = \frac{3877,097}{7,07} = 548,387 \text{ kg/cm}^2$$

$$\begin{aligned} f_t &= (1,3 \times f_u^b - 1,5 \times f_{uv}) \\ &= (1,3 \times 8250 - 1,5 \times 548,387) \\ &= 9902,419 > 8250 \text{ kg/cm}^2 \rightarrow (\text{OK}) \end{aligned}$$

- Perencanaan kekuatan sambungan las
Direncanakan las dengan $t_e = 1 \text{ cm}$

$$\begin{aligned} A_1 = A_2 &= t_e \cdot (2 \cdot d1) + (2 \cdot d2) \\ &= 1 \cdot \left\{ \left(2(50 - (2 \cdot 1,8)) \right) + \left(2(30 - 1,1) \right) \right\} \\ &= 104,2 \text{ cm}^2 \end{aligned}$$

$$\begin{aligned} I_x &= \left[4 \left(\frac{1}{12} \cdot \frac{30 - 1,1}{2} \cdot 1^3 + \frac{30 - 1,1}{2} \cdot 1 \cdot \left(\frac{50}{2} - \frac{2 \cdot 1,8}{2} \right)^2 \right) \right] \\ &\quad + \\ &\quad \left[4 \left(\frac{1}{12} \cdot 1 \cdot (50 - 2 \cdot 1,8)^3 \right) \right] \\ &= 64414,203 \text{ cm}^4 \end{aligned}$$

$$S_x = \frac{I_x}{Y_{max}} = \frac{64414,203}{25} = 2576,568 \text{ cm}^3$$

Akibat geser beban sentris

$$f_v = \frac{P_u}{A} = \frac{46525,165}{104,2} = 446,499 \text{ kg/cm}^2$$

Akibat beban momen lentur

$$f_h = \frac{Mu}{S_x} = \frac{12787500}{2576,568} = 4963 \text{ kg/cm}^2$$

$$f_{\text{total}} = \sqrt{f_v^2 + f_h^2} = \sqrt{446,499^2 + 4963^2}$$

$$= 4983,044 \text{ kg/cm}^2$$

$$f_{u_{las}} = \varphi_0,6 \cdot F_{E70xx} = 0,75 \cdot 0,6 \cdot 70 \cdot 70,3,1 \\ = 2214,45 \text{ Kg/cm}^2 > f_{total}$$

$$te = \frac{f_{total}}{f_{u_{las}}} = \frac{4983,044}{2214,45} = 2,25 \text{ cm}$$

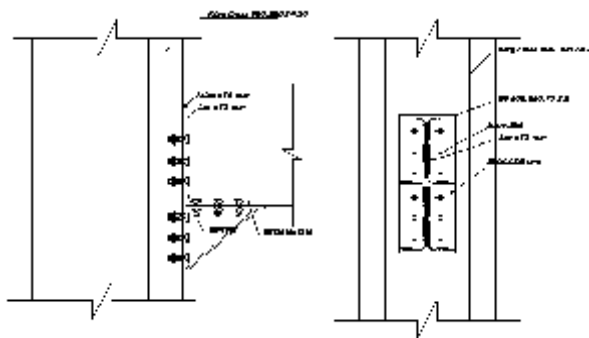
$$a = \frac{te}{0,707} = \frac{2,25}{0,707} = 3,18 \text{ cm} > (a \min = 6 \text{ mm})$$

Dipakai las sudut dengan ketebalan 3 cm

- Kontrol kehandalan sambungan

$$Tu \max = \frac{\frac{Mu \times r_{max}}{JY^2}}{= \frac{12787500 \times 45}{2 \times (45^2 + 36^2 + 27^2 + 18^2 + 9^2)}} = 25 \text{ kg}$$

Tu max = 30555,6 kg < Td = 32802,65 kg (OK)



Gambar 7.18 Sambungan Balok Induk Lantai dan Kolom

7.5.5 Sambungan Balok Induk Atap Dengan Kolom

Sambungan balok induk dengan kolom direncanakan dengan sambungan kaku (*rigid connection*) dimana sambungan memikul beban geser Pu dan momen Mu. Penerimaan beban dianggap sebagai berikut :

Sambungan kaku yang merupakan bagian dari sistem rangka pemikul beban gempa mempunyai kuat lentur Mu yang besarnya paling tidak sama dengan :

$$\begin{aligned} M_p &= Z_x \cdot f_y \\ &= 2096.2500 \\ &= 5240000 \text{ kg.cm} \end{aligned}$$

$$\begin{aligned} M_u &= 1,1.R_y.M_p_{\text{balok}} \\ &= 1,1.1,5. 5240000 \text{ kg.cm} \\ &= 8646000 \text{ kg.cm} \end{aligned}$$

Menghitung Vu (1,2 D + 0,5 L)

Beban Mati :

Berat pelat bondek	= 10,1	kg/m ²
Berat Beton = 0,09 x 2400	= 216	kg/m ²
Beban Plafon +penggantung =11+7	= 18	kg/m ²
Beban aspal 2 cm = 2x14	= 28	kg/m ²
Berat <i>ducting</i> mekanikal	= 10	kg/m ²
		+
	= 282,1	kg/m ²
282,1 kg/m ² x 2,275 m	= 641,8	kg/m
Berat Profil = 44,1 kg/m	= 44,1	kg/m
Sambungan dll (10%)	= 68,59	kg/m
		+
	= 754,47	kg/m

Beban Hidup Berdasarkan SNI 1727-2013:

$$\begin{aligned} \text{Lantai Atap} q_{\text{latap}} &= 100 \text{ kg/m}^2 \times 2,275 \text{ m} = 227,5 \text{ kg/m} \\ q_u &= 1,2 \cdot q_d + 0,5 \cdot q_L = 1,2 \cdot 754,47 + 0,5 \cdot 227,5 = 1019,114 \text{ kg/m} \end{aligned}$$

$$V_u = \frac{1}{2} q_u L = \frac{1}{2} 1019,114 \times 6 = 3057,342 \text{ kg}$$

Gaya geser terfaktor V pada sambungan kaku harus diambil berdasarkan beban kombinasi pembebanan 1,2D + 0,5L ditambah gaya geser yang berasal dari Mu diatas, sehingga besarnya :

Gambar 7.19 Gaya Pada Balok-Kolom

$$Vu = \frac{8646000 + 8646000}{600} = 28820 \text{ kg}$$

$$V_{\text{total}} = 28820 \text{ kg} + 3057,342 \text{ kg} = 31877,342 \text{ kg}$$

Perencanaan kekuatan sambungan baut:

- Kuat geser baut

Pada bidang geser baut tidak ada ulir ($r_1 = 0,5$)

Tebal pelat penyambung 18 mm

Mutu profil BJ41 ($f_u = 4100 \text{ kg/cm}^2$)

Baut tipe tumpu baut 30 mm ($Ag = 7,07 \text{ cm}^2$)

Mutu baut A325 ($f_u = 8250 \text{ kg/cm}^2$)

$$\begin{aligned}\emptyset \cdot V_n &= \emptyset \cdot r_1 \cdot f_u \cdot m \cdot A_b \\ &= 0,75 \cdot 0,5 \cdot 8250 \cdot 1 \cdot 7,07 \\ &= 21868,43 \text{ kg (menentukan)}\end{aligned}$$

Kuat tumpu baut

$$\begin{aligned}\emptyset \cdot R_n &= \emptyset \cdot 2,4 \cdot db \cdot tp \cdot fu \\ &= 0,75 \cdot 2,4 \cdot 3,0 \cdot 1,6 \cdot 4100 \\ &= 35424 \text{ kg}\end{aligned}$$

Kuat tarik baut:

$$\begin{aligned} Td &= \emptyset \cdot 0,75 \cdot fu \cdot Ab \\ &= 0,75 \cdot 0,75 \cdot 8250 \cdot 7,07 \\ &= 32802,65 \text{ kg} \end{aligned}$$

- Kontrol geser

$$V_u = \frac{Pu}{n} = \frac{31877,342}{12}$$

$$= 2656,445 \text{ kg} < 21868,43 \text{ kg (OK)}$$

- Kontrol tarik

$$f_{uv} = \frac{V_u}{A} = \frac{2656,445}{7,07} = 375,735 \text{ kg/cm}^2$$

$$\begin{aligned} f_t &= (1,3 \times f_{ub} - 1,5 \times f_{uv}) \\ &= (1,3 \times 8250 - 1,5 \times 375,735) \\ &= 10161,397 \text{ kg/cm}^2 > 8250 \text{ kg/cm}^2 \rightarrow (\text{OK}) \end{aligned}$$

- Perencanaan kekuatan sambungan las

Direncanakan las dengan te = 1 cm

$$A_l = A_2 = te (2 \cdot 1,6) + (2 \cdot 1)$$

$$= 1 \cdot \left\{ (2(50 - (2 \cdot 1,6)) + (2 \cdot 20 \cdot 1,6)) \right\} = 131,6 \text{ mm}^2$$

$$\begin{aligned} I_x &= \left[4 \left(\frac{1}{12} \cdot \frac{20-1,0}{2} \cdot 1^3 + \frac{20-1,0}{2} \cdot 1 \cdot \left(\frac{50-(2 \cdot 1,6)}{2} \right)^2 \right) \right] + \\ &\quad \left[4 \left(\frac{1}{12} \cdot 1 \cdot (50-1,6)^3 \right) \right] \\ &= 58603,75 \text{ cm}^4 \end{aligned}$$

$$S_x = \frac{I_x}{Y_{max}} = \frac{58603,75}{25} = 2344,15 \text{ cm}^3$$

Akibat geser beban sentris

$$f_v = \frac{P_u}{A} = \frac{31877,342}{131,6} = 242,23 \text{ kg/cm}^2$$

Akibat beban momen lentur

$$f_h = \frac{Mu}{S_x} = \frac{8646000}{2344,15} = 3688,33 \text{ kg/cm}^2$$

$$\begin{aligned} f_{total} &= \sqrt{f_v^2 + f_h^2} = \sqrt{242,23^2 + 3688,33^2} \\ &= 3696,276 \text{ kg/cm}^2 \end{aligned}$$

$$\begin{aligned} f_{ulas} &= 0,6 \cdot F_{E70xx} \\ &= 0,75 \cdot 0,6 \cdot 70 \cdot 70 \cdot 3,1 \\ &= 2214,45 \text{ Kg/cm}^2 > f_{total}=1 \text{ kg/cm}^2 \end{aligned}$$

$$te = \frac{f_{total}}{fu_{las}} = \frac{3696,276}{2214,45} = 1,67 \text{ cm}$$

$$a = \frac{te}{0,707} = \frac{1,67}{0,707} = 2 \text{ cm} > (a \text{ min} = 6 \text{ mm})$$

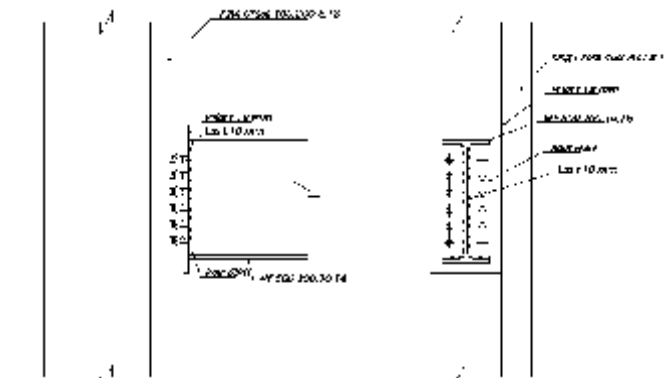
Dipakai las sudut dengan ketebalan 2 cm

- Kontrol kehandalan sambungan

$$\text{Tu max} = \frac{Mu \times r_{max}}{\gamma^2}$$

$$= \frac{8646000 \times 45}{2 \times (45^2 + 36^2 + 27^2 + 18^2 + 9^2)} = 30667 \text{ kg}$$

Tu max = 30667 kg < Td = 32802,65 kg (OK)



Gambar 7.20 Sambungan Balok Induk Atap dan Kolom

7.6 Sambungan Batang Bresing

Sesuai peraturan SNI 03 – 1729 – 2002 butir 15.13.6.4 mengenai kuat perlu sambungan batang bresing ke balok, harus ditentukan lebih besar atau sama dengan kuat nominal batang bresing yaitu $1,25 \cdot R_y \cdot V_n$.

$$V_u = 1,25 \times R_y \times V_n$$

V_n = Kuat geser nominal link, diambil yang terkecil dari V_p
atau $2M_p/e$

$$\begin{aligned} V_p &= 0,6 \cdot f_y \cdot (d - 2 \cdot t_f) \cdot tw \\ &= 0,6 \cdot 2500 \cdot (48,8 - 2 \cdot 1,8) \cdot 1 = 67800 \text{ kg} \end{aligned}$$

(menentukan)

$$2 \cdot M_p / e = 2 \cdot 3100 \times 2500 / 80 = 193750 \text{ kg}$$

$$\begin{aligned} V_u &= 1,25 \cdot R_y \cdot V_n \\ &= 1,25 \cdot 1,5 \cdot 67800 \\ &= 127125 \text{ kg} \end{aligned}$$

Sambungan pada batang bresing

Kuat geser baut

Pada bidang geser baut tidak ada ulir ($r_1 = 0,5$)

Mutu profil BJ41 ($f_u = 4100 \text{ kg/cm}^2$)

Baut tipe tumpu baut 24 mm ($A_g = 4,52 \text{ cm}^2$)

Mutu baut A325 ($f_u = 8250 \text{ kg/cm}^2$)

Tebal plat buhul = 22 mm

$$\begin{aligned} .V_n &= .(r_1 f_{ub}) \cdot m \cdot A_b \\ &= 0,75 \cdot (0,5 \cdot 8250) \cdot 1 \cdot 4,52 \\ &= 13983,75 \text{ kg (menentukan !)} \end{aligned}$$

Kuat tumpu baut

$$\begin{aligned} .R_n &= \Phi \cdot 2,4 \cdot db \cdot tp \cdot f_u \\ &= 0,75 \cdot 2,4 \cdot 2,4 \cdot 1,2 \cdot 4100 \\ &= 21254,4 \text{ kg} \end{aligned}$$

$$n = \frac{V_u}{R_n} = \frac{127125}{13983,75} = 6,1 \approx 8 \text{ buah}$$

Dipasang 4 buah 2 baris.

Kontrol jarak baut

Jarak ke tepi = 1,5 db s.d. (4tp+100 mm) atau 200 mm
= 3,6 cm s.d. 18,8 cm → Terpasang = 4 cm

Jarak antar baut = 3 db s.d. 15 tp atau 200 mm

= 7,2 cm s.d. 33 cm → Terpasang = 8cm

Sambungan las sudut pada plat buhul

- Bahan las sudut yang digunakan adalah E_{70xx}

- Tebal efektif las sudut rencana $t_e = 1 \text{ cm}$

- Kuat nominal las sudut

$$\begin{aligned}\varnothing \cdot R_{nw} &= 0,75 \cdot t_e \cdot (0,6 \cdot f_{uw}) \\ &= 0,75 \cdot 1 \cdot 0,6 \cdot 70 \cdot 70,3 \\ &= 2214,45 \text{ kg/cm}^2\end{aligned}$$

- Luas las sudut

$$\begin{aligned}A_{las} &= 2 \cdot (d+b) \\ &= 2 \cdot (80+47) = 254 \text{ cm}^2\end{aligned}$$

- Tegangan yang terjadi pada las sudut

$$L = 685 \text{ cm}$$

$$h = 330 \text{ cm}$$

$$b = 600 \text{ cm}$$

$$\cos \phi = 6/6,85 = 0,876$$

$$\sin \phi = 3,3/6,85 = 0,482$$

$$0,876 \cdot V_u = 0,876 \times 127125 = 111361,5 \text{ kg}$$

$$0,482 \cdot V_u = 0,482 \times 127125 = 61274,25 \text{ kg}$$

$$f_h = \frac{111361,5}{254} = 438,431 \text{ kg/cm}^2$$

$$f_v = \frac{61274,25}{254} = 241,237 \text{ kg/cm}^2$$

$$\begin{aligned}f_{total} &= \sqrt{\left(\sum f_v\right)^2 + \left(\sum f_h\right)^2} \\ &= \sqrt{(241,237)^2 + (438,431)^2} \\ &= 500,42 \text{ kg/cm}^2\end{aligned}$$

- Tebal efektif las sudut

$$t_e = \frac{f_{total}}{\varnothing \cdot R_{nw}} = \frac{500,42}{2214,45} = 0,23 \text{ cm}$$

$$a = \frac{t_e}{0,707} = \frac{0,23}{0,707} = 0,32 \text{ cm} < a \text{ min (6 mm)}$$

Dipakai ketebalan las sudut sebesar 0,6 cm

Sambungan las sudut pada pelat sambung bracing-balok

- Bahan las sudut yang digunakan adalah E_{70xx}

Tebal efektif las sudut rencana te= 1 cm

Kuat nominal las sudut

$$\begin{aligned}\emptyset \cdot R_{nw} &= 0,75 \cdot te \cdot (0,6 \cdot f_{uw}) \\ &= 0,75 \cdot 1 \cdot 0,6 \cdot 70 \cdot 70,3 \\ &= 2214,45 \text{ kg/cm}^2\end{aligned}$$

Luas las sudut

$$\begin{aligned}A_{las} &= 2 \cdot (d+b) \\ &= 2 \cdot (21+36) = 144 \text{ cm}^2\end{aligned}$$

Tegangan yang terjadi pada las sudut

L = 685 cm

h = 330 cm

b = 600 cm

$$\cos \phi = 6/6,85 = 0,876$$

$$\sin \phi = 3,3/6,85 = 0,482$$

$$0,876 \cdot V_u = 0,876 \times 127125 = 111361,5 \text{ kg}$$

$$0,482 \cdot V_u = 0,482 \times 127125 = 61274,25 \text{ kg}$$

$$f_h = \frac{111361,5}{144} = 773,34 \text{ kg/cm}^2$$

$$f_v = \frac{61274,25}{144} = 425,52 \text{ kg/cm}^2$$

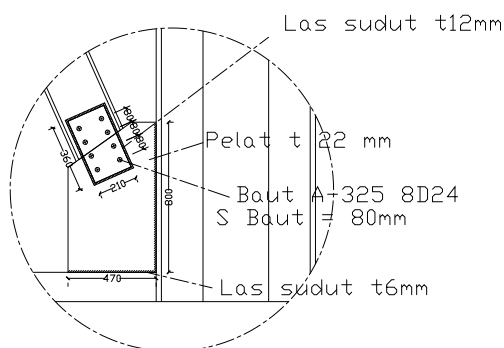
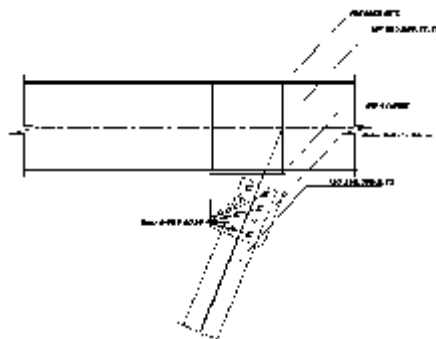
$$\begin{aligned}f_{total} &= \sqrt{\left(\sum f_v\right)^2 + \left(\sum f_h\right)^2} \\ &= \sqrt{(425,52)^2 + (773,34)^2} \\ &= 882,68 \text{ kg/cm}^2\end{aligned}$$

Tebal efektif las sudut

$$t_e = \frac{f_{total}}{\emptyset \cdot R_{nw}} = \frac{882,68}{2214,45} = 0,8 \text{ cm}$$

$$a = \frac{t_e}{0,707} = \frac{0,8}{0,707} = 1,14 \text{ cm} > a_{min}$$

Dipakai ketebalan las sudut sebesar 1,2 cm



Gambar 7.21 Sambungan Bracing Dengan Balok

7.7 Sambungan Kolom KC 800x300x14x26 Dengan KC 400x200x8x13

Perencanaan sambungan antara KC800x300x14x26 dengan KC 588x300x12x20 menggunakan *fixed plate* dari katalog PT. Gunung Garuda dengan data – data sebagai berikut :

- Part No = BMK-17 • Part No = BMK-10
- H = 1000mm • H = 600 mm
- B = 1000mm • B = 600 mm
- $t_p = 55$ mm • $t_p = 47$ mm
- $q = 431,75$ kg • $q = 132,82$ kg

Beban yang bekerja pada sambungan sebagai berikut :

$$P_u = 90044,9 \text{ kg}$$

$$M_u = 940877 \text{ kg.cm}$$

$$V_u = 6269,6 \text{ cm}$$

Sambungan Las pada pelat landas

Direncanakan las dengan $t_e = 1$ cm pada profil KC 400x200x8x13 sehingga didapat:

$$A_{las} = \{(2.34,2) + (2.33,4) + (4.20)\}.1 = 215,2 \text{ cm}^2$$

$$\begin{aligned} I_x &= \left[2\left(\frac{1}{12} \cdot 1.34,2^3 + \frac{1}{12} \cdot 20.1^3 + 20.1.20^2\right) \right] \\ &\quad + \left[2\left(\frac{1}{12} \cdot 33,4.1^3 + \frac{1}{12} \cdot 1.20^3\right) \right] \\ &= 24009,181 \text{ cm}^4 \end{aligned}$$

$$I_x = I_y = 24009,181 \text{ cm}^4$$

$$W_x = W_y = \frac{I_x}{y} = \frac{24009,181}{20} = 1200,459 \text{ cm}^3$$

$$\begin{aligned} f_{u,las} &= 0,6.F_{E70xx} = 0,75.0,6.70.70,3.1 \\ &= 2214,45 \text{ Kg/cm}^2 \end{aligned}$$

Akibat P_u yang berasal dari 400 x 200 x 8 x 13 :

$$f_p = \frac{P_u}{A} + \frac{M_x}{Wx} = \frac{90044,9}{215,2} + \frac{940877}{1200,459} \\ = 1202,188 \text{ kg/cm}^2$$

Akibat Vuyang berasal dari KC.400 x 200 x 8 x 13 :

$$f_v = \frac{V_u}{A} + \frac{M_y}{Wy} = \frac{6269,6}{215,2} + \frac{940877}{1200,459} \\ \approx 812,898 \text{ kg/cm}^2$$

$$f_{total} = \sqrt{f_p^2 + f_v^2} = \sqrt{1202,188^2 + 812,898^2} \\ = 1451,227 \text{ kg/cm}^2$$

$$te = \frac{f_{total}}{f_{ulas}} = \frac{1451,227}{2214,45} = 0,655 \text{ cm}$$

$$a = \frac{te}{0,707} = \frac{0,655}{0,707} = 0,93 \text{ cm} > (a \text{ min} = 6 \text{ mm})$$

Syarat- syarat tebal kaki las

Tebal minimum = $t_{plat} = 55 \text{ mm}$

$$a_{eff\ max} = 1,41 \cdot \frac{f_u}{f_{E\ 70xx}} \cdot t_p = 1,41 \cdot \frac{4100}{70,70,3} \cdot 5,4 = 6,34 \text{ cm}$$

Sehingga dipakai las dengan $a = 1,0 \text{ cm}$

Perencanaan tebal pelat landas

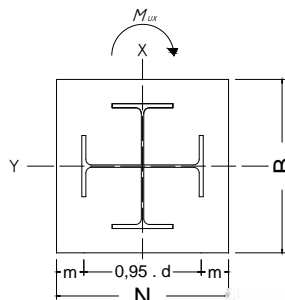
Periksa eksentrisitas gaya:

$$e = \frac{M_x}{P_u} = \frac{940877}{90044,9} = 10,45 \text{ cm}$$

$$1/6 h = 1/6 \cdot 100 = 16,67 \text{ cm} > e = 10,45 \text{ cm}$$

Karena $1/6 h > e$, maka tidak terjadi gaya tarik

Perencanaan akibat beban sumbu X:



Gambar 7.22 Arah Beban Sumbu X Pada Pelat Landas

- Akibat beban P_u

$$f_{pa} = \frac{P_u}{B \cdot N} = \frac{90044,9}{60 \cdot 60} = 25,012 \text{ kg/cm}^2$$

- Akibat beban M_u

$$- f_{pb} = \frac{5 \cdot M_u}{B \cdot N^2} = \frac{6 \cdot 940877}{60 \cdot 60^2} = 26,135 \text{ kg/cm}^2$$

- Tekanan maksimal

$$- f_{p\max} = f_{pa} + f_{pb} = 25,012 + 26,135 = 51,147 \text{ kg/cm}^2$$

- Menentukan M_{upl} pada sejarak m setiap lebar 1 cm pelat

$$- m = \frac{N - 0,95 \cdot d}{2} = \frac{60 - 0,95 \cdot 40}{2} = 11 \text{ cm}$$

$$\begin{aligned} - M_{upl} &= \left(f_{p\max} - 2 \cdot f_{pb} \cdot \frac{m}{N} \right) \cdot \left(\frac{m^2}{2} \right) + \\ &\quad \left(2 \cdot f_{pb} - \frac{m}{N} \right) \left(\frac{m^2}{3} \right) \\ &= \left(51,147 - 2 \cdot 26,135 \cdot \frac{11}{60} \right) \cdot \left(\frac{11^2}{2} \right) + \\ &\quad \left(2 \cdot 26,135 - \frac{11}{60} \right) \left(\frac{11^2}{3} \right) \\ &= 2423,579 \text{ kg.cm/cm} \end{aligned}$$

- Menentukan tebal base plate

$$f_y = 2500 \text{ kg/cm}^2$$

$$t = \sqrt{\frac{4 \cdot M_{upl}}{0,9 \cdot f_y}} = \sqrt{\frac{4.2423,579}{0,9.2500}} = 2,075 \text{ cm} \\ < 5,4 \text{ cm (OK)}$$

Perencanaan pelat pengaku pelat landas

- Pelat pengaku direncanakan seperti dengan dengan balok yang menerima beban momen dari pelat landas.
- Dimensi pelat minimum menurut SNI-03-1729-2002 Pasal 8.11

Lebar pelat pengaku minimum (bs)

$$b_s \geq \frac{b}{3} - \frac{tw}{2} = \frac{20}{3} - \frac{0,8}{2} = 6,267 \text{ cm}$$

Tebal pelat pengaku minimum (ts)

$$t_s \geq 0,5 \cdot tf \rightarrow 0,5 \times 1,3 = 0,65 \text{ cm}$$

$$t_s \geq 1,79 \cdot bs \cdot \sqrt{\frac{f_y}{E}} = 1,79 \cdot 6,267 \cdot \sqrt{\frac{2500}{2.10^6}} \\ = 0,397 \text{ cm}$$

Digunakan lebar pelat pengaku (bs) = 20 cm dengan tebal pelat pengaku (ts) = 1,0 cm

Perencanaan las dan baut pada pelat landas

Direncanakan las dengan $t_e = 1 \text{ cm}$ pada daerah yang diarsir pada daerah pelat landas sehingga didapat:

$$A_{las} = [40 \times 4] \cdot 1 = 160 \text{ cm}^2$$

$$I_x = \left[2 \left(\frac{1}{12} \cdot 1 \cdot 20^3 + 40 \cdot 1 \cdot 20^2 \right) \right] \\ = 33333,34 \text{ cm}^4$$

$$I_x = I_y = 33333,34 \text{ cm}^4$$

$$W_x = W_y = \frac{I_x}{y} = \frac{33333,34}{20} = 1666,667 \text{ cm}^3$$

$$f_u_{las} = .0,6 \cdot F_{E70XX} = 0,75 \cdot 0,6 \cdot 70 \cdot 70 \cdot 3,1 \\ = 2214,45 \text{ Kg/cm}^2$$

Akibat P_u :

$$\bar{f}_p = \frac{P_u}{A} + \frac{Mx}{Wx} = \frac{90044,9}{160} + \frac{940877}{1666,667} \\ = 1127,307 \text{ kg/cm}^2$$

Akibat V_u :

$$\bar{f}_v = \frac{V_u}{A} + \frac{Mx}{Wy} = \frac{6269,6}{160} + \frac{940877}{1666,667} \\ = 603,711 \text{ kg/cm}^2$$

$$f_{total} = \sqrt{\bar{f}_p^2 + \bar{f}_v^2} = \sqrt{1127,307^2 + 603,711^2} \\ = 1278,783 \text{ kg/cm}^2$$

$$te = \frac{f_{total}}{fu_{las}} = \frac{1278,783}{2214,45} = 0,577 \text{ cm}$$

$$a = \frac{te}{0,707} = \frac{0,577}{0,707} = 0,817 \text{ cm} > (a \text{ min} = 6 \text{ mm})$$

Syarat-syarat tebal kaki las

Tebal minimum = $t_{plat} = 55 \text{ mm}$

$$a_{eff\ max} = 1,41 \cdot \frac{fu}{f_{E\ 70xx}} \cdot tp = 1,41 \cdot \frac{4100}{70.70,3} \cdot 5,4 \\ = 6,34 \text{ cm}$$

Sehingga dipakai las dengan $a = 1 \text{ cm}$

- Gaya tarik yang terjadi pada baut

$$T = \frac{\bar{f}_p \max \cdot A \cdot B}{2} - P_u = \frac{51,147 \cdot 60 \cdot 60}{2} - 90044,9 \\ = 2019,7 \text{ kg}$$

Perhitungan Baut:

Dipakai baut angkur $\varnothing 30 \text{ mm}$ dengan $fu = 8250 \text{ kg/cm}^2$

$$V_n = 0,75 \cdot r_1 \cdot f_{ub} \cdot A_b \\ = 0,75 \cdot 0,5 \cdot 8250 \cdot (\frac{1}{4} \cdot \pi \cdot 3^2) \\ = 21868,43 \text{ kg (menentukan)}$$

$$R_n = 2,4 \cdot db \cdot tp \cdot fu \\ = 2,4 \cdot 0,75 \cdot 3 \cdot 5,5 \cdot 4100 \\ = 121770 \text{ kg}$$

- Kuat rencana tarik

$$\begin{aligned}
 R_n &= T_d = \dots . 0,75 . f_{ub} . A_b \\
 &= 0,75 . 0,75 . 8250 . (\frac{1}{4} \dots . 3^2) \\
 &= 32802,65 \text{ kg}
 \end{aligned}$$

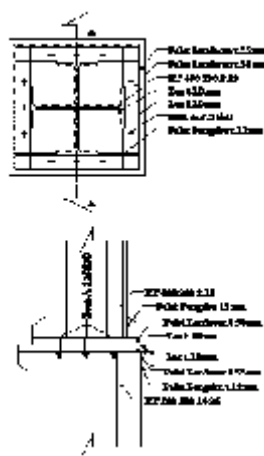
- Jumlah baut yang dibutuhkan (diambil jumlah yang terbesar antara gaya geser dan gaya tarik yang terjadi)

$$n = \frac{V_u}{\epsilon V_n} = \frac{6269,6}{21868,43} = 0,28$$

Terhadap gaya tarik

$$n = \frac{T}{\epsilon V_n} = \frac{17084,4}{21868,43} = 1 \approx 12 \text{ buah}$$

Untuk Pelat landas dipakai 12 baut agar simetris.



Gambar 7.23 Sambungan Antar Kolom

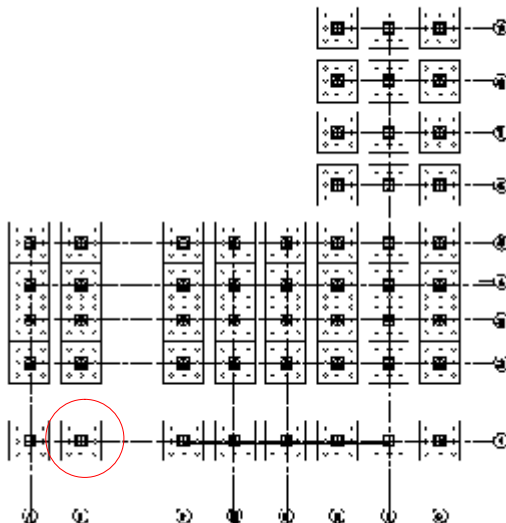
“Halaman ini sengaja dikosongkan”

BAB VIII

PERENCANAAN STRUKTUR BAWAH

8.1 Perencanaan Pondasi

Rencana pondasi yang berlaku sebagai komponen struktur pendukung bangunan yang berada dibawah dan berfungsi sebagai elemen yang meneruskan beban ke tanah.



Gambar 8.1 Denah Rencana Pondasi

Direncanakan pondasi yang akan digunakan pada struktur gedung hotel menggunakan pondasi tiang pancang (*Concrete Pile*) dengan penampang bulat berongga (*Round Hollow*) dari produk dari PT. WIKA Beton.

Spesifikasi tiang pancang yang akan digunakan adalah sebagai berikut:

- Diameter tiang : 500 mm
- Tebal tiang : 90 mm
- Klasifikasi : A1
- *Concrete cross section* : 1159 cm²
- Berat : 290 kg/m
- *Bending moment crack* : 10,5 tm
- *Bending momen ultimate* : 15,75 tm
- *Allowable axial load* : 185,3 tm
- *Modulus section* : 10505 cm³

8.2 Daya Dukung Tanah

8.2.1 Tiang Pancang Tunggal

Harga rata-rata SPT di sekitar 4D di atas hingga 4D di bawah dasar tiang pondasi (Np):

$$N_p = \left(\frac{12+37+50}{3} \right) = 33$$

Ketentuan nilai K:

- K= Koefisien karakteristik tanah
- = 12 t/m², untuk tanah lempung
 - = 20 t/m², untuk tanah lanau berlempung
 - = 25 t/m², untuk tanah lanau berpasir
 - = 40 t/m², untuk tanah pasir
 - = 40 t/m², untuk lempung sangat kaku (Poulos, H.G)

Menghitung tahanan ujung bawah ultimit (Qp):

Luas penampang dasar tiang (Ap):

$$A_p = \frac{1}{4} \cdot 3,14 \cdot 0,5^2 = 0,19625$$

$$\begin{aligned} Q_p &= q_p \cdot A_p \\ &= (N_p \cdot K) \cdot A_p \\ &= (33 \times 40) \cdot 0,19625 \\ &= 259,05 \text{ ton} \end{aligned}$$

Menghitung tahanan gesek ultimit (Qs):

$$Q_s = q_s \cdot A_s$$

- Harga rata-rata sepanjang tiang yang tertanam (Ns), dengan batasan : $3 \leq N \leq 50$

Mulai dari kedalaman 1,5 m:

$$Ns = \left(\frac{7+28+40+21+7+23+11+12+37}{9} \right) = 20,67$$

$$\begin{aligned} As &= \text{keliling} \times \text{panjang tiang yang terbenam} \\ &= .0,5 .14 = 21,99 \text{ m}^2 \end{aligned}$$

- Tegangan akibat lekatan lateral dalam (qs):

$$\begin{aligned} Qs &= \left(\frac{Ns}{3} + 1 \right) . As = \left(\frac{20,67}{3} + 1 \right) . 21,99 \\ &= 173,477 \text{ ton} \end{aligned}$$

Daya dukung tanah total:

$$Qu = Qp + Qs = 259,05 + 173,477 = 432,527 \text{ ton}$$

Daya dukung ijin dari satu tiang pancang yang berdiri sendiri adalah daya dukung tiang total dibagi dengan suatu angka keamanan.

$$P_{ijin\ 1\ tiang} = \frac{Qu}{SF} = \frac{432,527}{3} = 144,176 \text{ ton}$$

8.3 Perhitungan Pondasi Kolom

8.3.1 Daya Dukung Satu Tiang Pancang

Untuk daya dukung ini diambil nilai terkecil antara daya dukung bahan dan daya dukung tanah.

- Daya dukung bahan :

Dari spesifikasi bahan tiang pancang (tabel spesifikasi WIKA), didapat :

$$\overline{P}_{\text{tp}} = 185,30 \text{ ton}$$

- Daya dukung tanah :

$$\overline{P}_{\text{tiang}} = 144,176 \text{ ton}$$

Maka daya dukung satu tiang pondasi adalah 144,176 ton.

Perhitungan jarak tiang

2D S 2,5D dengan S = jarak antar tiang

100 S 125

dipakai S = 125 cm

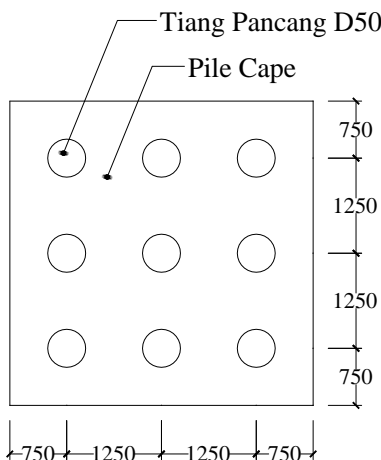
1D S 1,5D

dengan S = jarak tepi

50 S 75

dipakai S = 75 cm

Direncanakan pondasi tiang dengan 9 tiang pancang. Jarak dari as ke arah tiang adalah 1,25 meter dengan konfigurasi sebagai berikut :



Gambar 8.2 Pondasi Tiang Pancang

Direncanakan menggunakan tiang pancang $\varnothing 50$ cm,

$$E_k = 1 - \left(\arctg \frac{500}{1250} \right) \left[\frac{(3-1)3 + (3-1)3}{90 \times 3 \times 3} \right] \\ = 0,68$$

Diambil tiang pancang dengan kedalaman (D)14 m dari perhitungan yang ditabelkan (terlampir), didapat nilai daya dukung satu tiang pancang :

$$P \text{ beban tetap} = 144,176 \text{ kg} \times 0,68 = 98,04 \text{ ton.}$$

Jadi diambil P beban tetap = 98,04 ton (dari daya dukung tanah).

8.3.2 Perhitungan Repartisi Beban Diatas Tiang Kelompok

Dari hasil analisis SAP 2000 pada kolom interior, diperoleh:

Tabel 8.1 Hasil Analisis SAP 2000 Untuk Kolom

	(D + L)	(D + L + Ey)	(D + L + Ex)
P	83096,4	102600	91646,4
Mx	134,52	-7647,19	-5815,37
My	596,55	-20190,11	-21060,65

$$P_i = \frac{\Sigma P}{n} \pm \frac{M_y \times x_{max}}{\Sigma x^2} \pm \frac{M_x \times y_{max}}{\Sigma y^2}$$

$$y^2 = 6 (1,25)^2 = 9,375 \text{ m}^2$$

$$x^2 = 6 (1,25)^2 = 9,375 \text{ m}^2$$

Beban Tetap:

$$\begin{aligned} P_{D+L} &= \frac{83096,4}{9} \pm \frac{596,55 \times 1,25}{9,375^2} \pm \frac{134,52 \times 1,25}{9,375^2} \\ &= 9243,33 \text{ kg} \rightarrow (\text{menentukan}) \end{aligned}$$

Beban sementara:

$$\begin{aligned} P_{D+L+EX} &= \frac{91646,4}{9} \pm \frac{21060,65 \times 1,25}{9,375^2} \pm \frac{5815,37 \times 1,25}{9,375^2} \\ &= 10565,169 \text{ kg} \end{aligned}$$

$$\begin{aligned} P_{D+L+EY} &= \frac{102600}{9} \pm \frac{20190,11 \times 1,25}{9,375^2} \pm \frac{7647,19 \times 1,25}{9,375^2} \\ &= 11795,908 \text{ kg} \rightarrow (\text{menentukan}) \end{aligned}$$

Kontrol beban tetap

$$P_{\max} = 9243,33 \text{ kg} < Q_{ijin} = 144176 \text{ kg} \quad (\text{OK})$$

Kontrol beban sementara

$$P_{\max} = 11795,908 \text{ kg} < Q_{ijin} = 1,5 \cdot 144176 \text{ kg}$$

$$P_{\max} = 11795,908 \text{ kg} < Q_{ijin} = 216264 \text{ kg} \quad (\text{OK})$$

8.3.3 Perencanaan Poer Pada Kolom

Poer direncanakan terhadap gaya geser ponds pada penampang kritis dan penulangan akibat momen lentur.

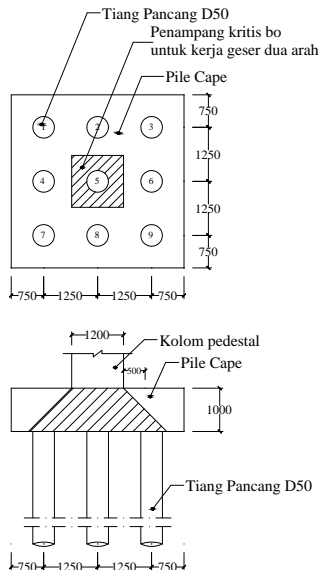
Data-data perancangan poer

- P_{\max} (1 tiang)	= 144,176 ton
- Jumlah tiang pancang	= 9 buah
- Dimensi poer	= 4 x 4 x 1,0 m
- Mutu beton (f_c')	= 30 MPa
- Mutu baja (f_y)	= 400 MPa
- Diameter tulangan	= 22 mm
- Selimut beton	= 70 mm
- s	= 1 (beton normal)
- Tinggi efektif (d)	= 40 (kolom interior)
$d_x = 1000 - 70 - \frac{1}{2} 22$	= 919 mm
$d_y = 1000 - 70 - 22 - \frac{1}{2}(22)$	= 897 mm

8.3.4 Kontrol Geser Pons

1. Akibat Kolom

Poer harus mampu menyebarluaskan beban dari kolom ke pondasi, sehingga perlu dilakukan kontrol kekuatan geser pons untuk memastikan bahwa kekuatan geser nominal beton harus lebih besar dari geser pons yang terjadi. Perencanaan geser pons pada poer tersebut berdasarkan ketentuan SNI 03-2847-2012 Pasal 11.11.2.1



Gambar 8.3 Geser Ponds Akibat Kolom

Untuk pondasi tapak non-prategang (V_c) ditentukan berdasarkan nilai yang terkecil dari persamaan berikut:

$$V_{c1} = 0,17 \left(1 + \frac{2}{d} \right) \sqrt{f' c} \times b_o \times d$$

$$V_{c2} = 0,083 \left(\frac{\alpha_s d}{b_o} \right) \lambda \sqrt{f' c} \times b_o \times d \quad V_{c3} = 0,333 \lambda \sqrt{f' c} \times b_o \times d$$

$$V_{c3} = 0,333 \lambda \sqrt{f' c} \times b_o \times d$$

dimana :

= rasio sisi terpanjang terhadap sisi terpendek (daerah beban terpusat) = 1200/1200 = 1

Tebal effektif balok poer :

$$\text{Arah x (dx)} = 1000 - 70 - (1/2 \cdot 22) = 919 \text{ mm}$$

Keliling penampang kritis :

$$bo = 2(bk + d) + 2(hk + d)$$

dimana : bk = lebar penampang kolom

hk = tinggi penampang kolom

d = tebal efektif poer

$$bo = 2(1200 + 919) + 2(1200 + 919) = 8476 \text{ mm}$$

$$\begin{aligned} V_{c1} &= 0,17 \left(1 + \frac{2}{1} \right) \sqrt{f' c} \times b_o \times d \\ &= 0,17 \left(1 + \frac{2}{1} \right) 1 \sqrt{30} \times 8476 \times 919 \\ &= 21758916,37 \text{ N} \end{aligned}$$

$$\begin{aligned} V_{c2} &= 0,083 \times \left(\frac{r_s d}{b_o} \right) \sqrt{f' c} \times b_o \times d \\ &= 0,083 \times \left(\frac{40.919}{8476} \right) 1 \sqrt{30} \times 8476 \times 919 \\ &= 15357825,68 \text{ N} \end{aligned}$$

$$\begin{aligned} V_{c3} &= 0,333 \sqrt{f' c} \times b_o \times d \\ &= 0,333 \cdot 1 \sqrt{30} \times 8476 \times 919 \\ &= 14079298,82 \text{ N} \end{aligned}$$

Dari ketiga nilai V_c diatas diambil nilai terkecil, maka kapasitas penampang dalam memikul geser adalah $14079298,82 \text{ N} = 1435198,65 \text{ Kg}$

$$\emptyset V_c = 0,6 \cdot 1435198,65 \text{ Kg} > P_u - P_{\text{mak}} \text{ kg}$$

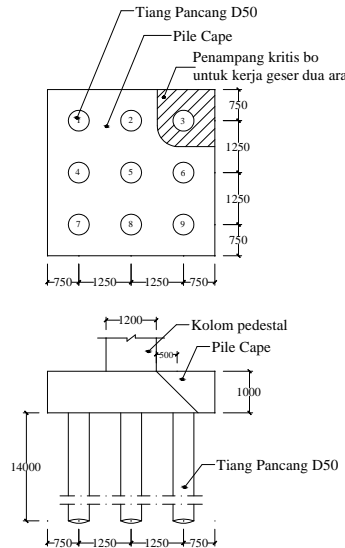
$$\begin{aligned} \emptyset V_c &= 861119,19 \text{ kg} > 83096,4 - (144,176 \times 1000) \\ &= 861119,19 \text{ kg} > 61079,6 \text{ kg} \text{ (OK)} \end{aligned}$$

Jadi ketebalan dan ukuran poer memenuhi syarat terhadap geser pons akibat kolom.

2. Akibat Pancang

= rasio sisi terpanjang terhadap sisi terpendek (daerah beban terpusat) $= 1200/1200 = 1$

$$\begin{aligned} \text{bo} &= (0,25 \times \pi \times (500 + 919)) + (2 \times 750) \\ &= 2614,48 \text{ mm} \end{aligned}$$



Gambar 8.4 Geser Ponds Akibat Tiang Pancang

$$\begin{aligned} V_{c1} &= 0,17 \left(1 + \frac{2}{1} \right) \} \sqrt{f'c} \times b_o \times d \\ &= 0,17 \left(1 + \frac{2}{1} \right) 1, \sqrt{30} \times 2614,48 \times 919 \\ &= 6711686,11 \text{ N} \end{aligned}$$

$$\begin{aligned} V_{c2} &= 0,083 \times \left(\frac{r_s d}{b_o} \right) \} \sqrt{f'c} \times b_o \times d \\ &= 0,083 \times \left(\frac{40 \cdot 919}{2614,48} \right) 1, \sqrt{30} \times 2614,48 \times 919 \\ &= 15357825,68 \text{ N} \\ V_{c3} &= 0,333 \} \sqrt{f'c} \times b_o \times d \end{aligned}$$

$$= 0,333 \cdot 1\sqrt{30} \cdot 614,488 \cdot 91 \\ = 4342855,72 \text{ N}$$

Dari ketiga nilai V_c diatas diambil nilai terkecil, maka kapasitas penampang dalam memikul geser adalah $4342855,72 \text{ N} = 442696,81 \text{ Kg}$

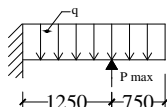
$$\bar{\Omega}V_c = 0,6 \cdot 442696,81 \text{ Kg} > P_{\max}$$

$$\bar{\Omega}V_c = 265618,08 \text{ kg} > (144,176 \times 1000) \\ = 265618,08 \text{ kg} > 144176 \text{ kg (OK)}$$

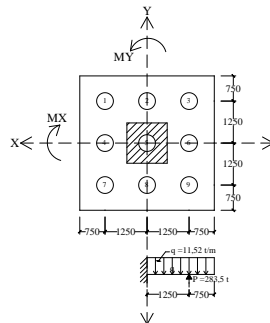
Jadi ketebalan dan ukuran poer memenuhi syarat terhadap geser pons akibat pancang.

8.3.5 Penulangan Poer

Untuk penulangan lentur, *poer* dianalisa sebagai balok kantilever dengan perletakan jepit pada kolom. Sedangkan beban yang bekerja adalah beban terpusat di tiang kolom yang menyebabkan reaksi pada tanah dan berat sendiri poer. Perhitungan gaya dalam pada poer didapat dengan teori mekanika statis tertentu.



**Gambar 8.5 Analisa Poer sebagai Balok Kantilever
Penulangan Arah x**



Gambar 8.6 Pembebanan Poer Kolom Tipe I (Arah Sumbu X)

$$\begin{aligned}
 P_{\max} &= 144,176 \text{ ton} \\
 P &= 3 \times 144,176 = 432,528 \text{ ton} \\
 Q &= 4 \times 2,4 \times 1 = 9,6 \text{ ton/m} \\
 q_u &= 9,6 \text{ ton/m} \times 1,2 = 11,52 \text{ ton/m} \\
 M_u &= 3P_{\max}a - \frac{1}{2}q_u x^2 L^2 \\
 &= (432,528 \times 1,25) - (\frac{1}{2} \times 11,52 \times (1,25+0,75)^2) \\
 &= 517,62 \text{ tonm} \\
 &= 5077852200 \text{ Nmm} \\
 d_x &= 1000 - 70 - \frac{1}{2} \cdot 22 = 919 \text{ mm} \\
 d_y &= 1000 - 70 - 25 - \frac{1}{2} \cdot 22 = 897 \text{ mm} \\
 M_n &= \frac{M_u}{\phi} = \frac{5077852200}{0,8} = 6347315250 \text{ Nmm} \\
 m &= \frac{f_y}{0,85 f'_c} = \frac{400}{0,85 \cdot 30} = 15,69 \\
 m_{\min} &= \frac{1,4}{f_y} = \frac{1,4}{400} = 0,0035 \\
 \text{bal} &= \frac{0,85 \cdot f'_c \cdot \beta}{f_y} \left(\frac{600}{600+f_y} \right) \\
 &= \frac{0,85 \cdot 30 \cdot 0,85}{400} \left(\frac{600}{600+400} \right) = 0,03251 \\
 m_{\max} &= 0,75 \rho b = 0,75 \times 0,03251 = 0,02438 \\
 R_n &= \frac{M_n}{bd^2} = \frac{6347315250}{4000 \times 919^2} = 1,878 \\
 \text{perlu} &= \frac{1}{m} \left(1 - \sqrt{1 - \frac{2mR_n}{f_y}} \right) \\
 &= \frac{1}{15,69} \left(1 - \sqrt{1 - \frac{2 \times 15,69 \times 1,878}{400}} \right) = 0,00488 > \rho_{\min} \\
 \text{Jadi} &= 0,00488
 \end{aligned}$$

Tulangan tarik yang dibutuhkan :

$$\begin{aligned}
 A_s &= x b x d_x \\
 &= 0,00488 \times 1000 \times 919 = 4484,72 \text{ mm}^2
 \end{aligned}$$

Digunakan Tulangan D22($A_s = 380,13 \text{ mm}^2$)

$$\text{Jumlah tulangan Perlu} = \frac{4484,72}{380,13} = 11,79 \approx 13 \text{ buah}$$

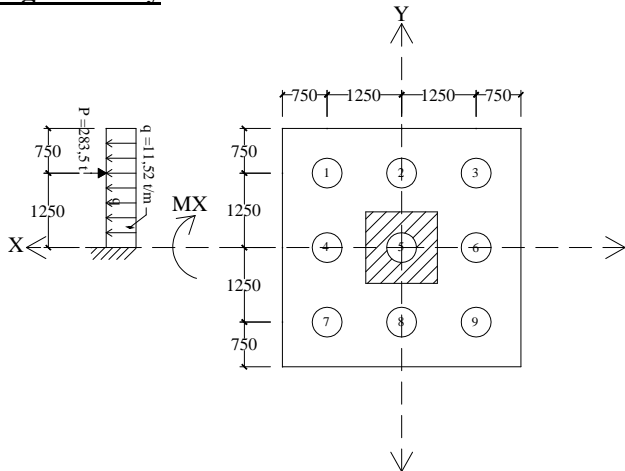
$$\text{Jarak tulangan terpasang} = \frac{1000}{13-1} = 83,33 \approx 80$$

Digunakan tulangan lentur atas D22-80 mm

$$A_s = \left(\frac{1}{4} \times \pi \times d^2 \right) \frac{1000}{80}$$

$$= 4751,66 \text{ mm}^2 > 4484,72 \text{ mm}^2 (\text{Ok})$$

Penulangan Arah y



Gambar 8.7 Pembebanan Poer Kolom Tipe I (Arah Sumbu Y)

$$P_{\max} = 144,176 \text{ ton}$$

$$P = 3 \times 144,176 = 432,528 \text{ ton}$$

$$Q = 4 \times 2,4 \times 1 = 9,6 \text{ ton/m}$$

$$qu = 9,6 \text{ ton/m} \times 1,2 = 11,52 \text{ ton/m}$$

$$Mu = 3P_{\max}a - \frac{1}{2} qux \cdot L^2$$

$$= (432,528 \times 1,25) - (\frac{1}{2} \times 11,52 \times (1,25+0,75)^2)$$

$$= 517,62 \text{ tonm}$$

$$= 5077852200 \text{ Nmm}$$

$$dx = 1000 - 70 - \frac{1}{2} \cdot 22 = 919 \text{ mm}$$

$$dy = 1000 - 70 - 25 - \frac{1}{2} \cdot 22 = 897 \text{ mm}$$

$$\begin{aligned}
 Mn &= \frac{Mu}{\phi} = \frac{5077852200}{0,8} = 6347315250 \text{ Nmm} \\
 m &= \frac{f_y}{0,85, f'_c} = \frac{400}{0,85 \cdot 30} = 15,69 \\
 \text{min} &= \frac{1,4}{f_y} = \frac{1,4}{400} = 0,0035 \\
 \text{bal} &= \frac{0,85, f'_c, \beta}{f_y} \left(\frac{600}{600+f_y} \right) \\
 &= \frac{0,85 \cdot 30 \cdot 0,85}{400} \left(\frac{600}{600+400} \right) = 0,03251 \\
 \text{max} &= 0,75 \rho b = 0,75 \times 0,03251 = 0,02438 \\
 Rn &= \frac{Mn}{bd^2} = \frac{6347315250}{4000 \times 897^2} = 1,972 \\
 \text{perlu} &= \frac{1}{m} \left(1 - \sqrt{1 - \frac{2m \cdot Rn}{f_y}} \right) \\
 &= \frac{1}{15,69} \left(1 - \sqrt{1 - \frac{2 \times 15,69 \times 1,972}{400}} \right) = 0,00514 > \rho_{\min} \\
 \text{Jadi} &= 0,00514
 \end{aligned}$$

Tulangan tarik yang dibutuhkan :

$$\begin{aligned}
 As &= x b x d_x \\
 &= 0,00514 \times 1000 \times 897 = 4607,908 \text{ mm}^2
 \end{aligned}$$

Digunakan Tulangan D22 (As = 380,13 mm²)

$$\text{Jumlah tulangan Perlu} = \frac{4607,908}{380,13} = 12,12 \approx 13 \text{ buah}$$

$$\text{Jarak tulangan terpasang} = \frac{1000}{13-1} = 83,33 \approx 80$$

Digunakan tulangan lentur atas D22-80 mm

$$\begin{aligned}
 A_s &= \left(\frac{1}{4} \times \pi \times d^2 \right) \frac{1000}{80} \\
 &= 4751,66 \text{ mm}^2 > 4607,908 \text{ mm}^2 (\text{Ok})
 \end{aligned}$$

8.4 Perencanaan Kolom Pedestal

Besarnya gaya – gaya dalam kolom diperoleh dari hasil analisis SAP 2000 pada pada kolom lantai 1, adalah :

$$Mu = 1360640 \text{ kg cm} = 13606,4 \text{ kg m}$$

$$P_u = 245021,8 \text{ kg} = 2403663,858 \text{ N}$$

$$V_u = 6269,6 \text{ kg} = 61504,776 \text{ N}$$

Data perencanaan kolom :

$$b = 1200 \text{ mm}$$

$$h = 1200 \text{ mm}$$

$$A_g = 1440000 \text{ mm}^2$$

Mutu bahan :

$$f'_c = 30 \text{ Mpa}$$

$$f_y = 400 \text{ Mpa}$$

$$\text{Selimut beton} = 50 \text{ mm}$$

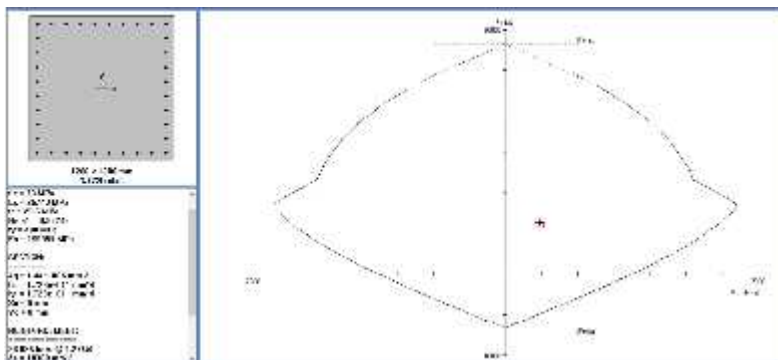
$$\text{Tulangan sengkang} = \emptyset 12 \text{ mm}$$

$$\text{Tulangan utama} = \emptyset 25 \text{ mm}$$

$$\text{Tinggi efektif} = 1200 - (50 + 12 + \frac{1}{2}.25) = 1125,5 \text{ mm}$$

Penulangan Lentur pada Kolom

Dari PCACOL didapat nilai = 1,23 %



Gambar 8.8 Hasil Analisis Kolom Pedestal dengan Program PCA Col.

$$A_s = 0,0123 \cdot 1200 \cdot 1125,5 = 16612,38 \text{ mm}^2$$

Dipasang tulangan 36 D25, $A_s = 17671,46 \text{ mm}^2$ dipasang merata 4 sisi.

Penulangan Geser Kolom

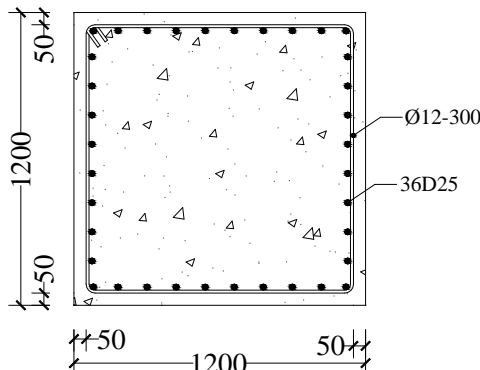
$$V_u = 6269,6 \text{ kg} - 61504,776 \text{ N}$$

Kekuatan geser yang disumbangkan oleh beton :

$$\begin{aligned} V_c &= 2 \left(1 + \frac{N_u}{14 A_g} \right) \frac{1}{6} \sqrt{f'c} \times b \times d \\ &= 2 \left(1 + \frac{2403663,858}{14.1440000} \right) \frac{1}{6} \sqrt{30} \times 1200 \times 1125,5 \\ &= 2759848,303 \text{ N} \end{aligned}$$

$$\varnothing V_c = 0,6 V_c = 1655908,982 \text{ N}$$

Karena $V_u < \varnothing V_c \rightarrow$ tidak perlu tulangan geser
Jadi dipasang tulangan geser praktis $\varnothing 12 - 300$,
sengkang dua kaki



Gambar 8.9 Penulangan Kolom Pedestal

8.5 Perhitungan Sloof Pondasi

Desain penulangan pada sloof akan direncanakan menggunakan tulangan baja, hal tersebut dilakukan karena sloof menerima kombinasi beban aksial tekan dan lentur.

Dalam perancangan sloof ini diambil contoh perhitungan pada sloof tepi:

Gaya aksial kolom = 245021,8 kg

$$P_u = 10\% \times 245021,8 \text{ kg}$$

$$= 24502,18 \text{ kg} \rightarrow 240366,3858 \text{ N}$$

Dimensi sloof	=	$400 \times 600 \text{ mm}^2$
Mutu beton (f_c)	=	30 MPa
Mutu baja (f_y)	=	400 MPa
Tulangan utama	=	D22
Tulangan sengkang	=	$\emptyset 10$
Selimut beton	=	50 mm
$d = 600 - 50 - 10 - (1/2 \times 22) =$		529 mm

Tegangan ijin tarik beton :

$$f_{ijin} = 0,70 \times \sqrt{f_c} c = 0,70 \times \sqrt{30} = 33 \text{ MPa}$$

Tegangan tarik yang terjadi :

$$f_t = \frac{P_u}{\varphi \cdot b \cdot h} = \frac{240366,3858}{0,80 \times 400 \times 600} = 1,25 \text{ MPa} < f_{ijin}$$

8.5.1 Penulangan Lentur Sloof

Penulangan sloof didasarkan pada kondisi pembebanan dimana beban yang diterima adalah beban aksial dan lentur sehingga penulangannya seperti penulangan pada kolom.

Adapun beban –beban yang ditimpakan ke sloof meliputi : berat sendiri sloof, berat dinding pada lantai paling bawah, beban aksial tekan atau tarik yang berasal dari 10% beban aksial kolom.

Dimensi sloof :	b	= 400 mm
	h	= 600 mm
	A_g	= 240000 mm^2

Mutu bahan :	f'_c	= 30 MPa
	f_y	= 400 MPa

Selimut beton	= 50 mm
Tul. sengkang	= $\emptyset 12$
Tul. utama	= D22
Tinggi efektif (d)	= $600 - (50 + 12 + 1/2 \cdot 22)$ = 527 mm

- Beban-beban yang terjadi pada sloof :

$$\begin{array}{lcl} \text{Beban dinding} & 1,2 \times 250 \times 5 & = 1500 \text{ kg/m} \\ \text{Berat sloof} & 1,2 \times 0,40 \times 0,60 \times 2400 & = 691,20 \text{ kg/m} \\ & & \text{Qu} \\ & & = 2191,2 \text{ kg/m} \end{array}$$

Panjang sloof = 6 m

$$\begin{aligned} Mu &= 1/12 \times q_u \times L^2 \\ &= 1/12 \times 2191,2 \times 6^2 \\ &= 6573,6 \text{ kgm} \\ D(Vu) &= \frac{1}{2} \times qu \times L \\ &= \frac{1}{2} \times 2191,2 \times 6 \\ &= 6573,6 \text{ kg} \end{aligned}$$

- Penulangan tarik pada sloof

$$Mu = 6573,6 \text{ kgm} = 64487016 \text{ Nmm}$$

$$D(Vu) = 6573,6 \text{ kg} = 64487,016 \text{ N}$$

Tulangan tarik yang dibutuhkan :

$$As = \frac{Vu}{fy} = \frac{64487,016}{400} = 161,217 \text{ mm}^2$$

- Tulangan tekan yang dibutuhkan :

$$A_s = 0.5A_s = 0.5 \times 161,217 = 80,609 \text{ mm}^2$$

$$Mn = \frac{Mu}{s} = \frac{64487016}{0,8} = 80608770 \text{ Nmm}$$

$$m = \frac{f_y}{0,85 f_c} = \frac{400}{0,85 \times 30} = 15,69$$

$$\cdots_{\min} = \frac{1,4}{f_y} = \frac{1,4}{400} = 0,0035$$

$$\cdots_{\max} = 0,75 \cdots_{balance}$$

$$\begin{aligned}
 &= 075 \frac{0,85 f_c S}{f_y} \left(\frac{600}{600 + f_y} \right) \\
 &= 075 \frac{0,85 \times 30 \times 0,85}{400} \left(\frac{600}{600 + 400} \right) \\
 &= 0,0243
 \end{aligned}$$

$$R_n = \frac{Mn}{bd^2} = \frac{80608770}{400 \times 527^2} = 0,726$$

$$\dots_{perlu} = \frac{1}{m} \left(1 - \sqrt{1 - \frac{2mR_n}{f_y}} \right)$$

$$= \frac{1}{15,69} \left(1 - \sqrt{1 - \frac{2 \times 15,69 \times 0,726}{400}} \right) = 0,00184 > \rho_{min}$$

$$\dots_u < \dots_{min} \text{ dipakai } \dots_{min} = 0,0035$$

Tulangan tarik yang dibutuhkan :

$$\begin{aligned}
 A_{s1} &= \dots \times b \times d_x \\
 &= 0,0035 \times 400 \times 572 \\
 &= 800,8 \text{ mm}^2
 \end{aligned}$$

Tulangan tekan yang dibutuhkan :

$$\begin{aligned}
 A_{s1}' &= 0,50 \times A_s \\
 &= 400,4 \text{ mm}^2
 \end{aligned}$$

$$\begin{aligned}
 \text{Jumlah tulangan tarik : } A_s + A_{s1} &= 161,217 + 800,8 \\
 &= 962,017 \text{ mm}^2
 \end{aligned}$$

Digunakan tulangan tarik 4D22 ($A_s = 1520,53 \text{ mm}^2$)

$$\begin{aligned}
 \text{Jumlah tulangan tekan : } A_s' + A_{s1}' &= 80,609 + 400,4 \\
 &= 481,009 \text{ mm}^2
 \end{aligned}$$

Digunakan tulangan 4D16 ($A_s = A_{s1}' = 1520,53 \text{ mm}^2$)

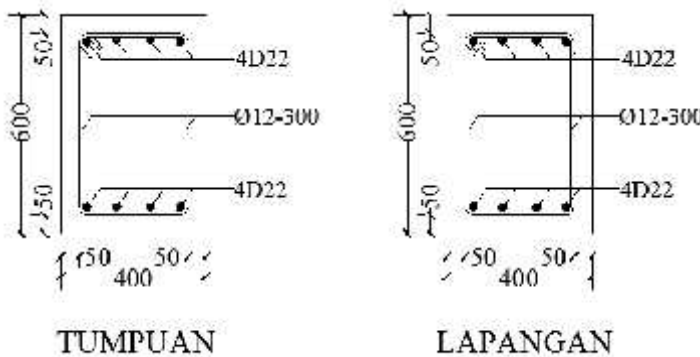
- Penulangan Geser Sloof
 $V_u = 64487,016 \text{ N}$

Kekuatan geser yang disumbangkan oleh beton :

$$\begin{aligned} V_c &= 2 \left(1 + \frac{N_u}{14A_g} \right) \frac{1}{6} \sqrt{f_c} bd \\ &= 2 \left(1 + \frac{2403663,858}{14.240000} \right) \frac{1}{6} \sqrt{30} \times 400 \times 527 \\ &= 660190,615 \text{ N} > V_u = 64487,016 \text{ N} \end{aligned}$$

Sehingga tidak perlu tulangan geser. Jadi dipasang tulangan geser Ø12 – 300, sengkang 2 kaki.

Detail tulangan sloof



Gambar 8.10 Penampang Sloof 400 x 600

“Halaman ini sengaja dikosongkan”

BAB IX

PENUTUP

9.1 Kesimpulan

Dari hasil perhitungan dan analisis yang telah dilakukan, maka dapat diperoleh kesimpulan sebagai berikut:

1. Hasil perhitungan struktur sekunder:
 - a. Pelat lantai atap menggunakan bondek dari PT.BRC LYSAGHT INDONESIA tebal 0,75 mm dengan pelat beton tebal 90 mm dan dipasang tulangan negatif Ø 8 – 250.
 - b. Pelat lantai hotel menggunakan bondek dari PT.BRC LYSAGHT INDONESIA tebal 0,75 mm dengan pelat beton tebal 90 mm dan dipasang tulangan negatif Ø 8 – 200.
 - c. Dimensi balok anak pada atap menggunakan profil WF 250x175x7x11 untuk bentang 6 m, WF 200x100x5,5x8 untuk bentang 3 m dengan mutu baja BJ-41.
 - d. Dimensi balok anak pada lantai hotel menggunakan profil WF 300x150x6,5x9 untuk bentang 6m, WF 200x100x5,5x8 untuk bentang 3 m dengan mutu baja BJ-41.
 - e. Dimensi balok penggantung lift menggunakan profil WF 300 x 150 x 6,5 x 9 dengan mutu baja BJ-41
 - f. Tebal pelat tangga yang digunakan 3 mm dan dimensi pengaku anak tangga siku 50 x 50 x 9 dengan mutu baja BJ-41.

- g. Tebal pelat bordes yang digunakan 5 mm dan dimensi balok bordes WF 100 x 50 x 5 x 7 dengan mutu baja BJ-41.
 - h. Dimensi balok utama tangga menggunakan profil WF 200 x 100 x 4,5 x 7 dan dimensi balok penumpu tangga WF 200 x 100 x 5,5 x 8 dengan mutu baja BJ-41.
2. Hasil perhitungan struktur primer:
- a. Link arah X merupakan link pendek dengan panjang link 100 cm yang dipasang pengaku antara dengan jarak 20 cm
 - b. Link arah X merupakan link pendek dengan panjang link 100 cm yang dipasang pengaku antara dengan jarak 20 cm
 - c. Dimensi balok diluar link arah X dan Y lantai menggunakan profil WF 500x300x11x18, atap menggunakan WF 500x200x10x16 mutu baja BJ-41
Untuk balok diluar link menggunakan profil yang sama dengan balok link
Dimensi bresing arah X dan Y menggunakan profil WF 200x200x8x12 dengan mutu baja BJ-41
 - d. Dimensi balok induk lantai bentang 6 m menggunakan profil WF 500x300x11x18, bentang 3 m menggunakan profil WF 500x200x10x16. Untuk balok induk atap bentang 6 m menggunakan profil WF 500x200x10x16, bentang 3 m menggunakan profil WF 450x200x9x14
 - e. Dimensi kolom lantai 1s/d 5 menggunakan profil KC 800x300x14x26, lantai 6 s/d 10 menggunakan profil KC 588x300x12x20 dengan mutu baja BJ-41
 - f. Perencanaan base plate menggunakan pelat landas 1000 mmx1000 mm tebal 55 mm

3. Hasil perhitungan struktur bawah :
 - a. Struktur pondasi menggunakan pondasi tiang pancang beton dengan penampang bulat berongga (Round Hollow) produk dari PT. WIKA beton \varnothing 50 cm (tipe A1) di kedalaman 14 m
 - b. Dimensi poer direncanakan 4 m x 4 m x 1 m, dengan tulangan lentur arah X D22-100 mm dan tulangan lentur arah Y D22-100 mm
 - c. Dimensi kolom pedestal direncanakan 1200 mmx1200mm dengan tulangan utama 36D22 dan tulangan geser \varnothing 12 – 300
 - d. Sloof direncanakan dengan dimensi 400x600 dengan tulangan utama 8D22 dan tulangan geser \varnothing 12 – 300

9.2 Saran

Untuk modifikasi perancangan struktur baja sistem EBF diharapkan dilakukan studi yang lebih dengan mempertimbangkan aspek teknis, ekonomi dan estetika sehingga perencanaan dapat dilakukan dan dimodelkan semaksimal dan semirip mungkin dengan kondisi sesungguhnya di lapangan

“Halaman ini singgajadi kosongkan”

DAFTAR PUSTAKA

- Ahmad, Irza. 2012. “ Analisa Lendutan dan Distribusi Gaya Lateral Akibat Gaya Lateral Monotonik pada Pondasi Tiang Kelompok”. JURNAL KONSTRUKSIA Vol.3 No.2 April 2012.
- Hasan, Aswin dan Imron Fikri Astira. 2013. “ Analisis Perbandingan Simpangan Lateral Bangunan Tinggi dengan Variasi Bentuk dan Posisi Dinding Geser Studi Kasusu : Proyek Apartemen The Royale SpringHill Residence.” JURNAL TEKNIK SIPIL DAN LINGKUNGAN Vol.1 No.1, Desember 2013.
- Husain, Juswan dan Hamzah. 2011. “ Analisa Perbandingan Umur Struktur Offshore Sistem EBF dan Sistem CBF Tipe Jacket”. PROSIDING HASIL PENELITIAN FAKULTAS TEKNIK ISBN:978-979-127255-0-6
- Krisnamurti, Wiswamitra, Kriswardhana. 2013. “Pengaruh Variasi Bentuk Penampang Kolom Terhadap Perilaku Elemen Struktur Akibat Beban Gempa.” JURNAL REKAYASA SIPIL Vol.7, No.1, 2013.
- Kurdi, Budiono dan Yurisman. 2013. “ Studi Numerik Usulan Jarak Pengaku Badan Diagonal Link Geser pada Struktur Baja Eccentrically Braced Frame Type-D”. JURNAL TEKNIK SIPIL Vol.20 No.2, Agustus 2013
- Moestopo, Muslinang dan M. Arief Rahman Panjaitan. 2012. “Kajian Eksperimental Peningkatan Kinerja Link Geser pada Sistem Rangka Baja Berpengaku Eksperimental”. JURNAL TEKNIK SIPIL Vol.19 No.2, Agustus 2012.

Purba, Virgo Erlando dan Sianturi, Novdin . 2013. “ Kajian Pemilihan Pondasi Sumuran Sebagai Alternatif Perancangan Pondasi”. JURNAL RANCANG SIPIL Vol.2 No.1 Juni 2013.

Sianturi, Ricky Malinton dan Tarigan, Johannes. “Aplikasi Perhitungan Sambungan Pada Balok Grid Dengan Kombinasi Momen Lentur, Gaya Lintang, dan Momen Torsi”. JURNAL TEKNIK SIPIL USU.

Standar SNI 03-1726-2012., “*Standar Perencanaan Ketahanan Gempa Untuk Struktur Bangunan Gedung*”, Badan Standarisasi Nasional, 2012

Standar SNI 03-1729-2015., “*Tata Cara Perencanaan Struktur Baja Untuk Bangunan Gedung*” Badan Standarisasi Nasional, 2015

Suhaimi, Budi Aulia dan Mochammad Afifuddin. 2014. ”Evaluasi Kinerja Gedung Beton Bertulang Sistem Ganda Dengan Variasi Geometri Dinding Geser Pada Wilayah Gempa Kuat.” JURNAL TEKNIK SIPIL PASCASARJANA UNIVERSITAS SYIAH KUALA Vol.3 No.1, Februari 2014.

Tambunan, Jhonson. 2012. “Studi Analisis Daya Dukung Pondasi Tiang Pancang”. JURNAL RANCANG SIPIL Vol. 1 No.1 Desember 2012

Tarigan, Johannes.2005.”Analisa Dampak Gempa 26 Desember 2004 dan 28 Maret 2005 Terhadap Kerusakan Bangunan di Nias Serta Perancangan Bangunan di Masa Yang Akan Datang.” JURNAL SISTEM TEKNIK INDUSTRI Vol.6, No.4, Oktober 2005.

- Wijaya, Yan Parta. 2010.” Studi Stabilitas Pada Sistem Portal Baja Berpengaku Eksentrik (*Eccentrically Braced Frame*).” Rekayasa Sipil Volume VI, Nomor 1, April 2010.
- Yurisman, Budiono, Mustopo, Sarjana. 2010. “Kajian Numerik Terhadap Kinerja Link Geser dengan Pengaku Diagonal pada Struktur Rangka Baja Berpenopang Eksentrik (EBF).” JURNAL TEKNIK SIPIL Vol.17 No.1, April 2010.

“Halaman ini sengaja dikosongkan”



Jurusan Teknik Sipil
Fakultas Teknik Sipil Dan Perencanaan
Institut Teknologi Sepuluh Nopember

Judul Tugas Akhir

Modifikasi Perencanaan Struktur
Gedung Hotel Pop Padang
Menggunakan Sistem Rangka
Bresing Eksentrik Tipe D-Braced

Dosen Pembimbing

Ir. Heppy Kristijanto, MS
Ir. Isdarmanu, MSc

Keterangan

BI1 : WF 500.300.11.18
BI2 : WF 500.200.10.16
BI3 : WF 450.200.9.14
BA1 : WF 300.150.6.9
BA2 : WF 200.100.5.5.8
BA3 : WF 250.175.7.11

Nama Mahasiswa

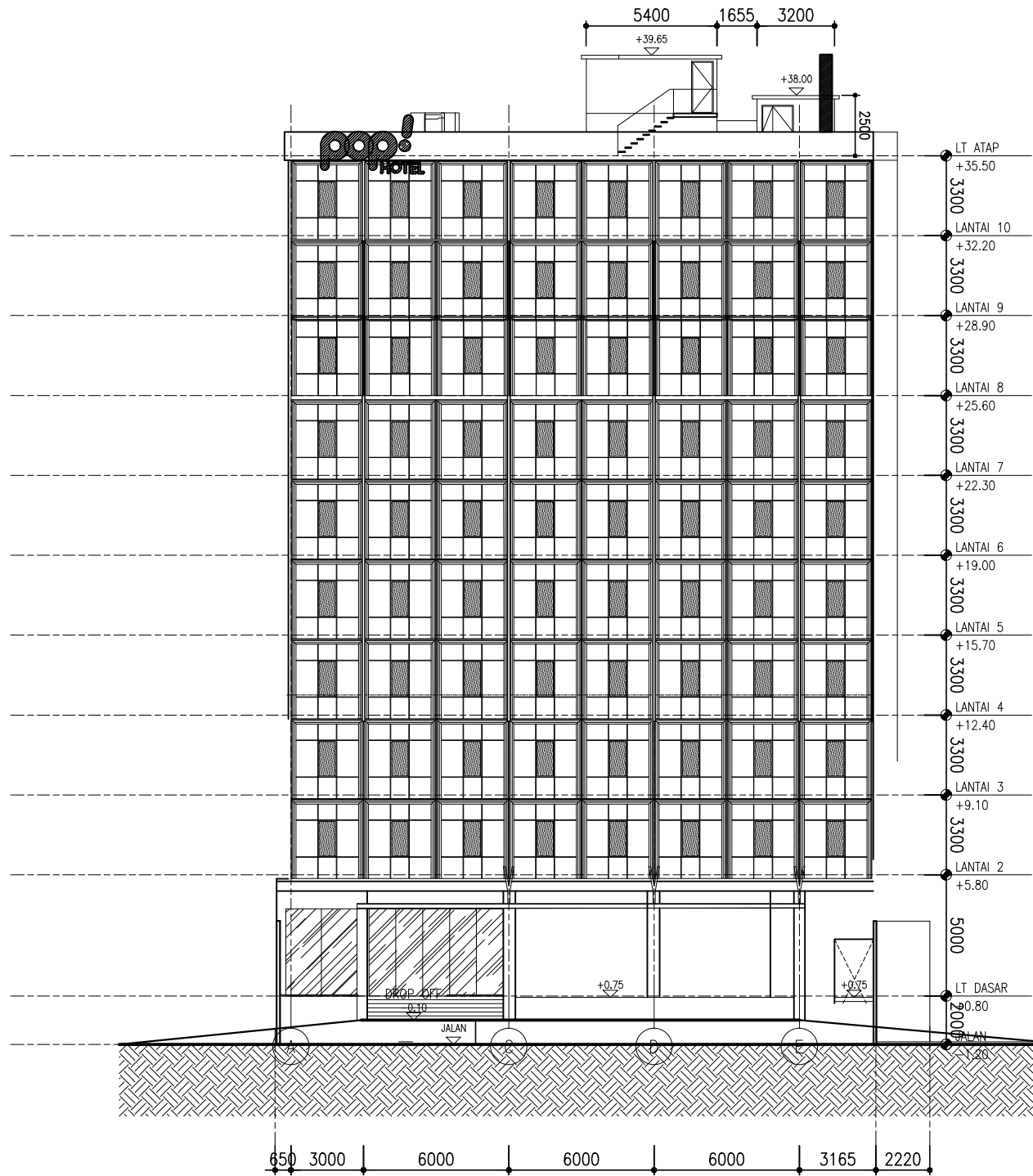
Pesta Dumaris Siagian

Revisi	Tanggal	Catatan

Nama Gambar

Tampak Depan

Skala	No Gambar	Jumlah Gambar
1:100	1	22





Jurusan Teknik Sipil
Fakultas Teknik Sipil Dan Perencanaan
Institut Teknologi Sepuluh Nopember

Judul Tugas Akhir

Modifikasi Perencanaan Struktur
Gedung Hotel Pop Padang
Menggunakan Sistem Rangka
Bresing Eksentrik Tipe D-Braced

Dosen Pembimbing

Ir. Heppy Kristijanto, MS
Ir. Isdarmanu, MSc

Keterangan

BI1 : WF 500.300.11.18
BI2 : WF 500.200.10.16
BI3 : WF 450.200.9.14
BA1 : WF 300.150.6.9
BA2 : WF 200.100.5.5.8
BA3 : WF 250.175.7.11

Nama Mahasiswa

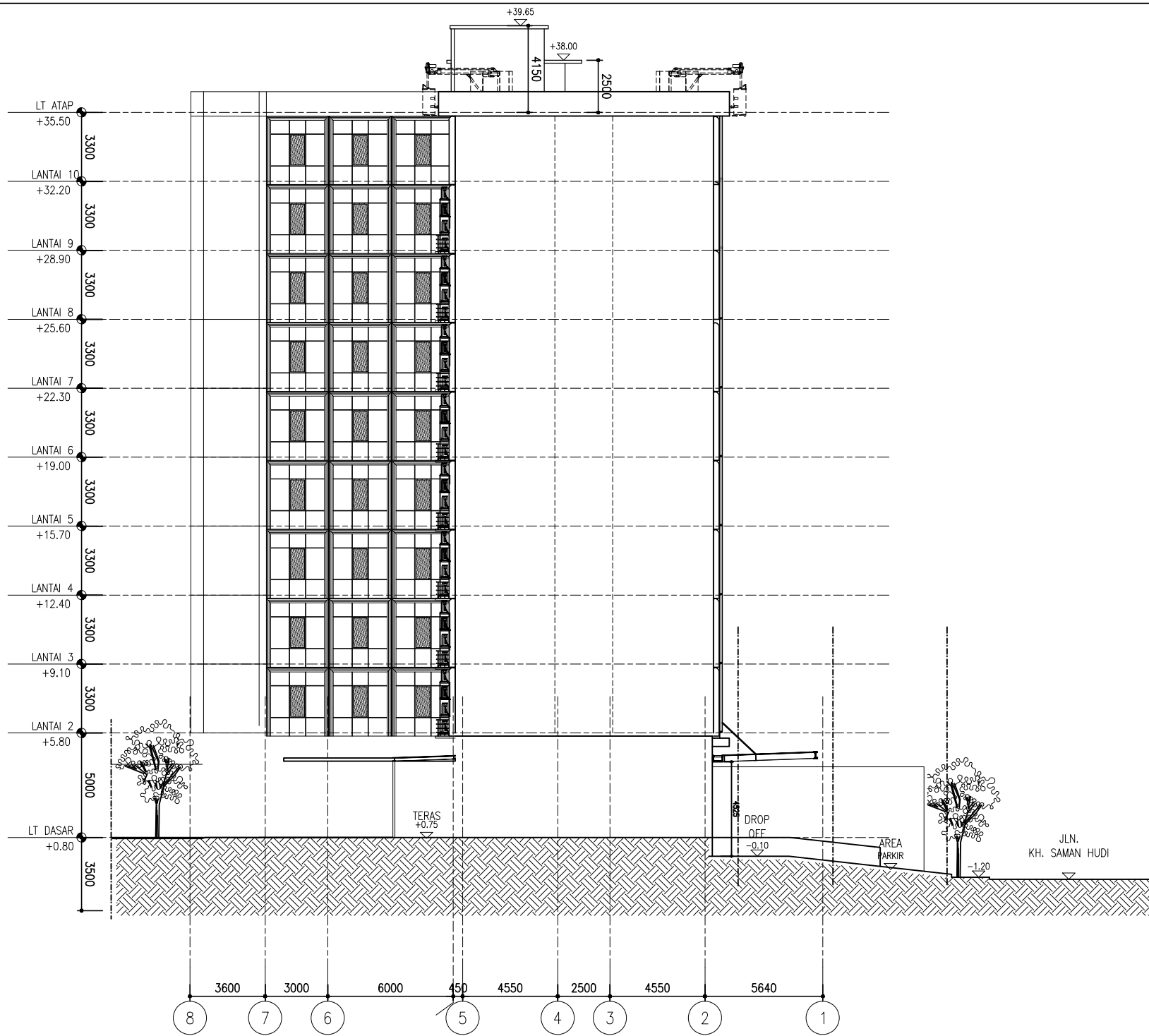
Pesta Dumaris Siagian

Revisi	Tanggal	Catatan
--------	---------	---------

Nama Gambar

Tampak Samping

Skala	No Gambar	Jumlah Gambar
1:100	2	22





Jurusan Teknik Sipil
Fakultas Teknik Sipil Dan Perencanaan
Institut Teknologi Sepuluh Nopember

Judul Tugas Akhir

Modifikasi Perencanaan Struktur
Gedung Hotel Pop Padang
Menggunakan Sistem Rangka
Bresing Elsentrik

Dosen Pembimbing

Ir. Heppy Kristianto, MS
Ir. Isdarmawan, MSc

Keterangan

Bl1 : WF 500.300.11.18
Bl2 : WF 500.200.10.16
BA1 : WF 300.150.6.9
BA2 : WF 200.100.5.5.8
KC : WF 800.300.14.26

Nama Mahasiswa
Pesta Dumaris Siagian

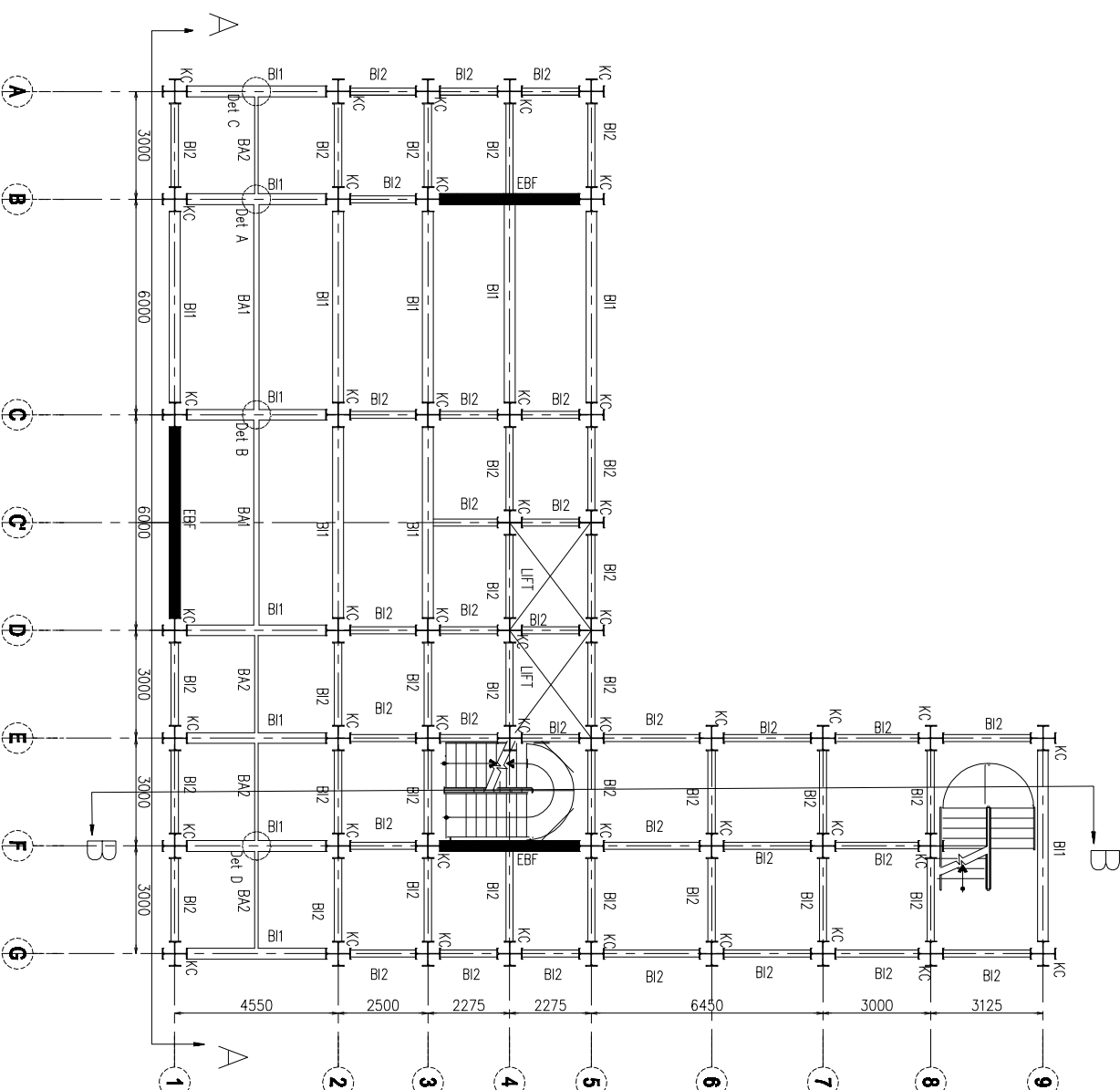
Revisi

Tanggal

Catatan

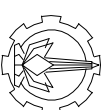
Nama Gambar

Denah Pembalokan dan Kolom Lantai
1-5



DENAH PEMBALOKAN DAN KOLOM LANTAI 1-5

1:100



Jurusan Teknik Sipil
Fakultas Teknik Sipil Dan Perencanaan
Institut Teknologi Sepuluh Nopember

Judul Tugas Akhir

Modifikasi Perencanaan Struktur Gedung Hotel Pop Padang Menggunakan Sistem Rangka Bresing Eksentrik

Ir. Heppy Kristijanto, MSc
Ir. Isdarmamu, MSc

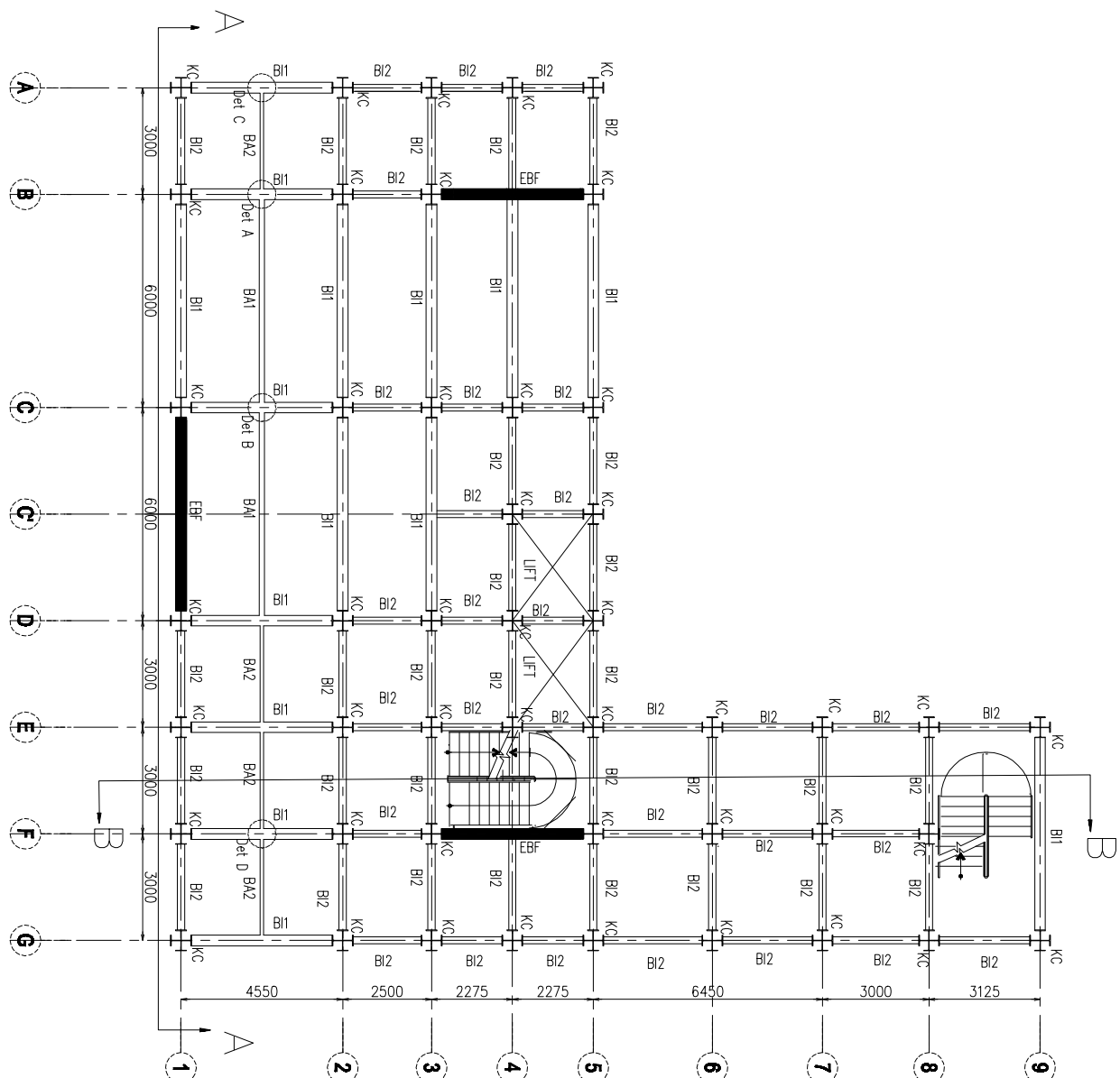
Keterangan	
B11	:WF 500.300.11.18
B12	:WF 500.200.10.16
BA1	:WF 300.150.6.9
BA2	:WF 200.100.5.5.8
KC : WF	588.300.12.20

Pesta Dumaris Siagian
Nama Mahasiswa

Revisi	Tanggal	Catatan

Denah Pembalokan dan Kolom Lantai 6–10

DENAH PEMBALOKAN DAN KOLOM LANTAI 6-10





Jurusan Teknik Sipil
Institut Teknologi Sepuluh Nopember

Judul Tugas Akhir

Modifikasi Perencanaan Struktur
Gedung Hotel Pop Padang
Menggunakan Sistem Rangka
Bresing Elsentrik

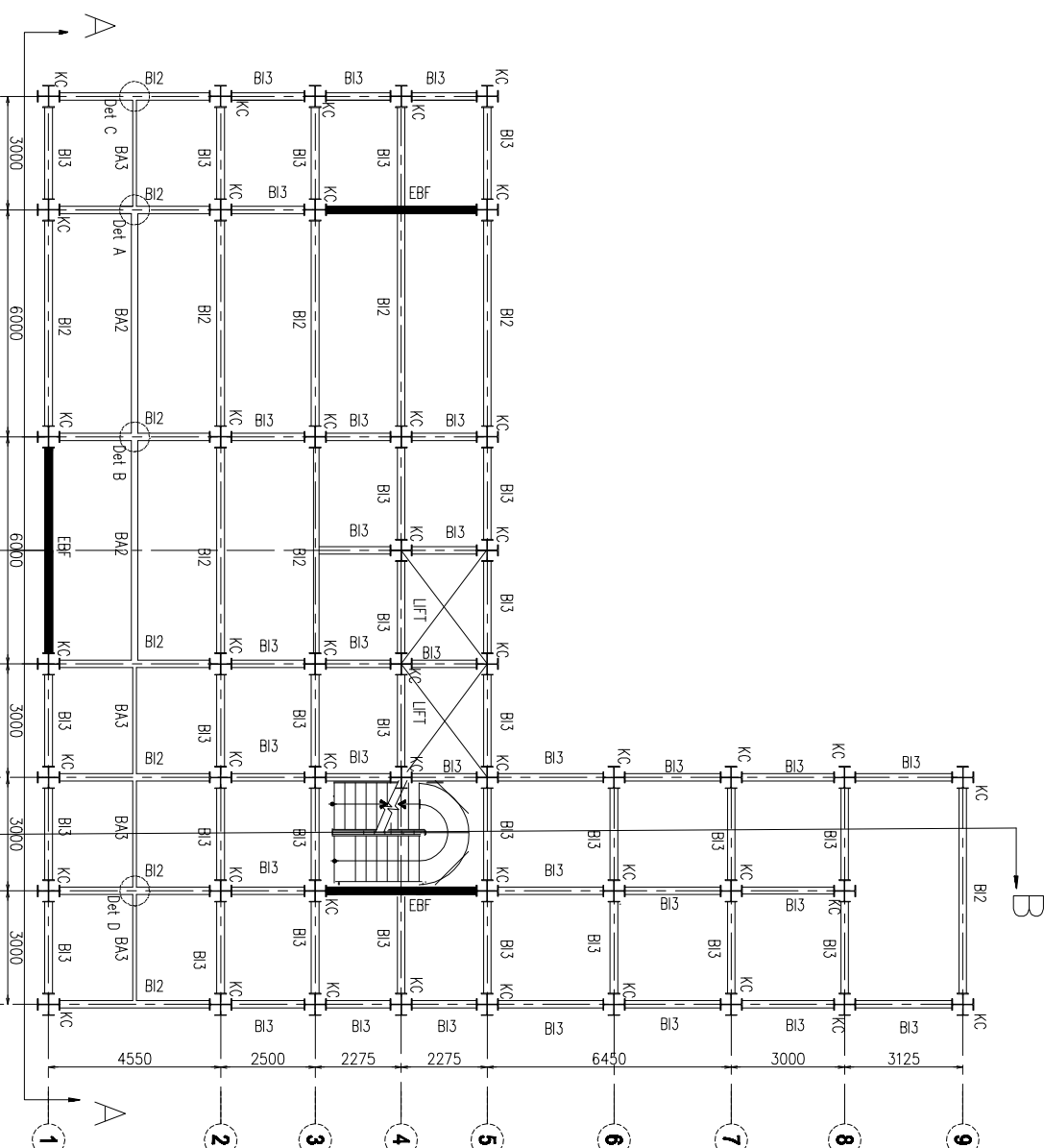
Dosen Pembimbing

Ir. Heppy Kristianto, MSc
Ir. Isdarmamu, MSc

Keterangan

BI2 : WF 500.200.10.16
BI3 : WF 450.200.9.14
BA2 : WF 250.175.7.11
BA3 : WF 200.100.5.5.8
KC : WF 588.300.12.20

Nama Mahasiswa
Pesta Dumaris Siagian



A

B

C

C

D

E

F

G

H

Denah Pembalokan dan Kolom Lantai

Revisi **Tanggal** **Catatan**

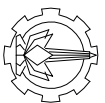
Nama Gambar

DENAH PEMBALOKAN DAN KOLOM ATAP

1:100

Skala No Gamber Jumlah Gamber

1:100 5 22



Jurusan Teknik Sipil
Fakultas Teknik Sipil Dan Perencanaan
Institut Teknologi Sepuluh Nopember

Dosen Pembimbing

Ir. Heppy Kristijanto, MS

Keterangan

Keterangan

Bl1 :WF 500.300.11.18
Bl2 :WF 500.200.10.16

B13 :WF 450.200.9.14

KC1 : WF 800.300.14.20

2

Besta Dilmari Siaajari

Revisi	Tanggal	Catatan
--------	---------	---------

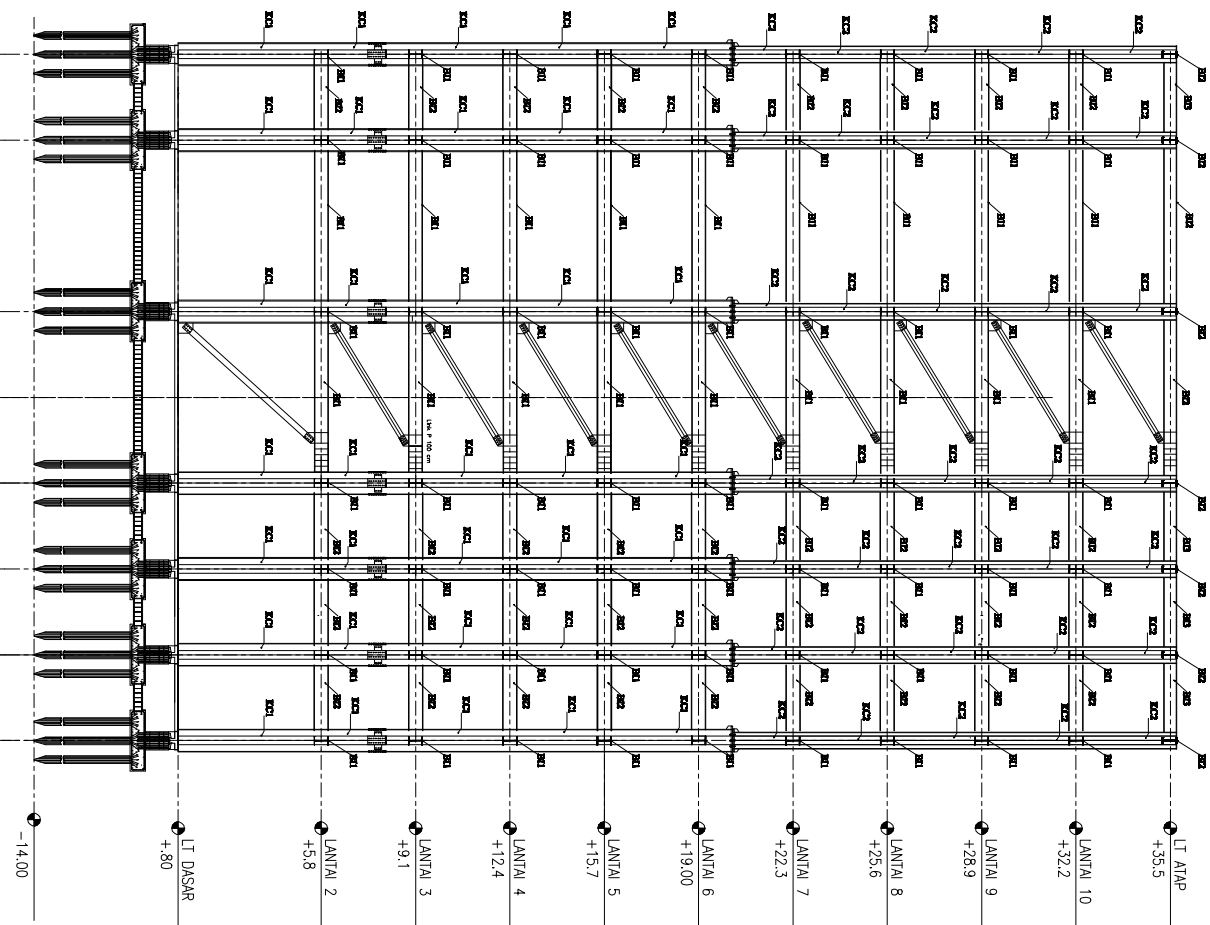
Table 1

Name: Gambar

Potongan A-

No. 1000

POTONGAN A-A
SKALA 1 : 100



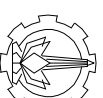
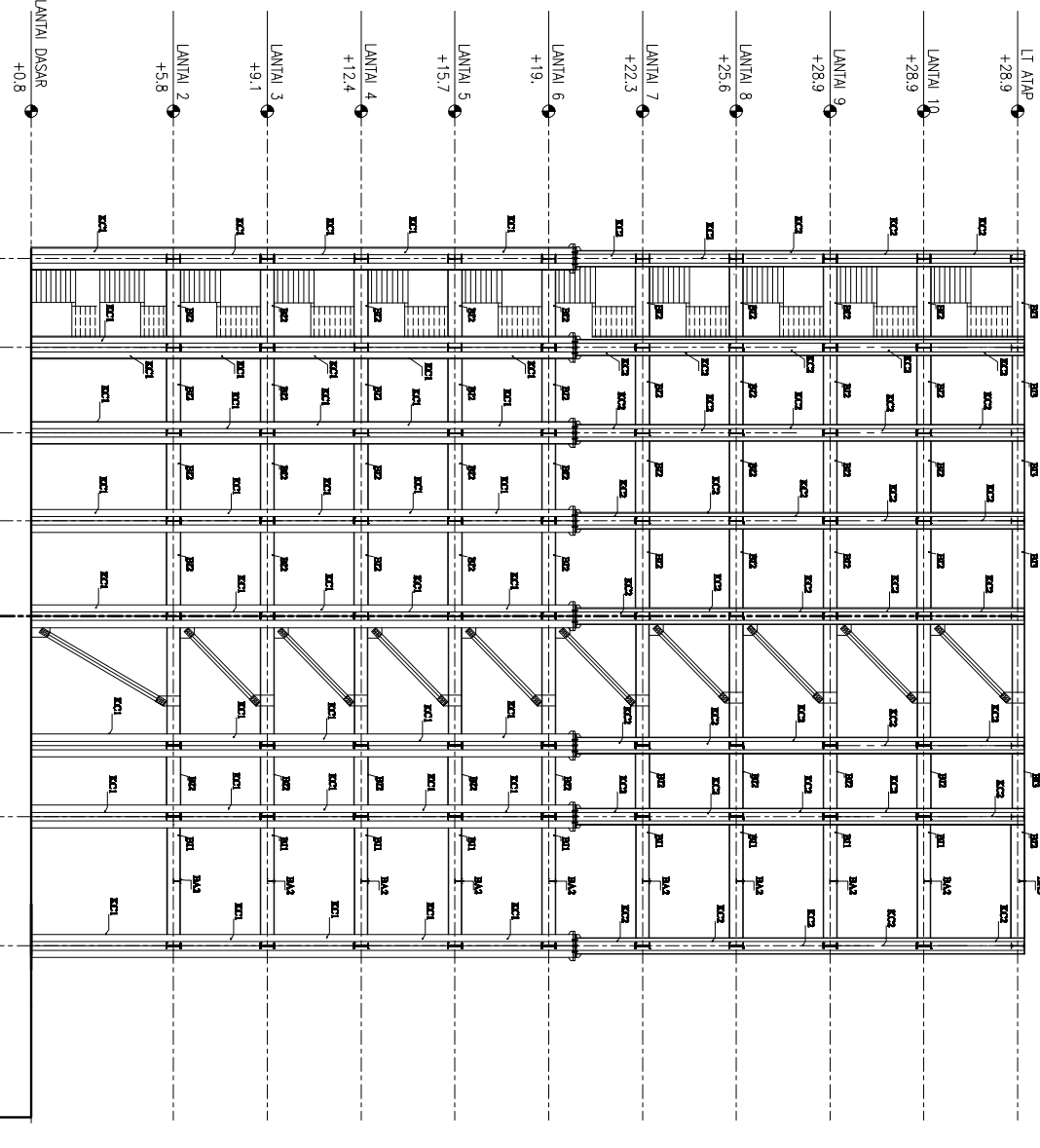
Skala	No Gambar	Jumlah Gambar
1:100	6	22



POTONGAN B-B
SKALA 1 : 50

POTONGAN B-B

SKALA 1 : 50



Jurusan Teknik Sipil
Fakultas Teknik Sipil Dan Perencanaan
Institut Teknologi Sepuluh Nopember

Hukum Teksologi Sepuluh Nopember

Modifikasi Perencanaan struktur Gedung Hotel Pop Padang Menggunakan Sistem Rangka Bresing Eksentrik Tipe D-Braced

Dosen Pembimbing

Keterangan

Nama Mahasiswa

Pesta Dumaris Siagian

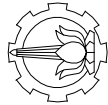
Revisi Tanggal

LANTAI DASAR

Nama Gambar

POTONGAN B-B

Sklar	No	Jumlah
Gambar	Gambar	
1: 50	7	22



Jurusan Teknik Sipil
Fakultas Teknik Sipil Dan Perencanaan
Institut Teknologi Sepuluh Nopember

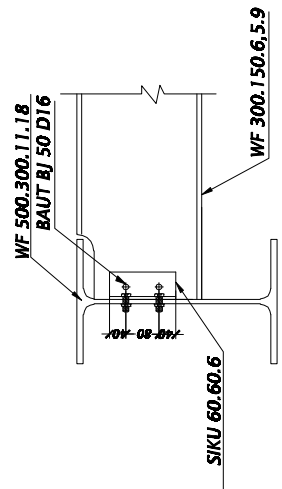
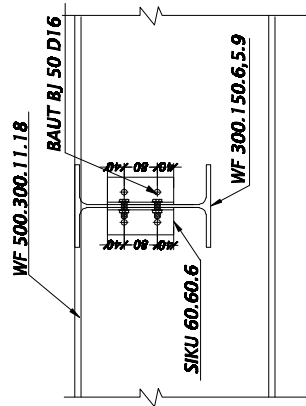
Judul Tugas Akhir

MODIFIKASI PERENCANAAN
STRUKTUR GEDUNG HOTEL POP
PADANG MENGGUNAKAN
SISTEM RANGKA BRESING
EKSENTRIK

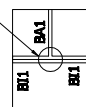
Dosen Pembimbing

Ir. Herpy Kristijanto, M.S
Ir. Isdarmann, M.Sc

Keterangan

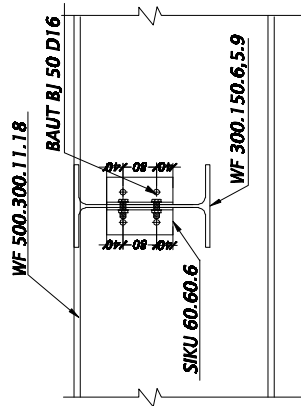


Detail Sambungan

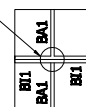


SAMBUNGAN BALOK INDUK DAN BALOK ANAK LANTAI DETAIL A

SKALA 1 : 20

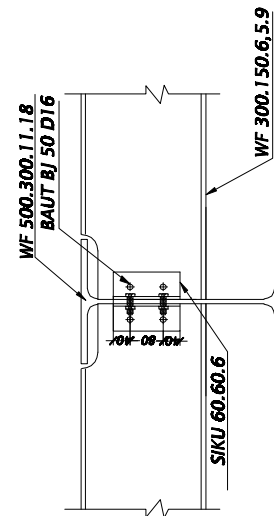


Detail Sambungan

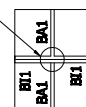


SAMBUNGAN BALOK INDUK DAN BALOK ANAK LANTAI DETAIL B

SKALA 1 : 20

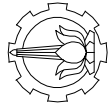


Detail Sambungan



SAMBUNGAN BALOK INDUK DAN BALOK ANAK LANTAI

Skala	No Gambar	Jumlah Gambar
1 : 20	8	22



Jurusan Teknik Sipil
Fakultas Teknik Sipil Dan Perencanaan
Institut Teknologi Sepuluh Nopember

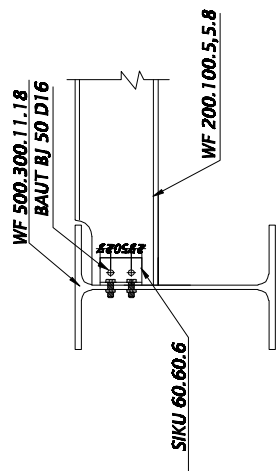
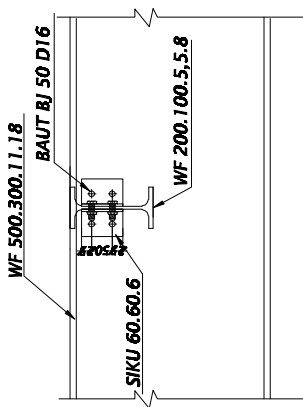
Judul Tugas Akhir

MODIFIKASI PERENCANAAN
STRUKTUR GEDUNG HOTEL POP
PADANG MENGGUNAKAN
SISTEM RANGKA BRESING
EKSENTRIK

Dosen Pembimbing

Ir. Herpy Kristijanto, M.S
Ir. Isdarmawati, M.Sc

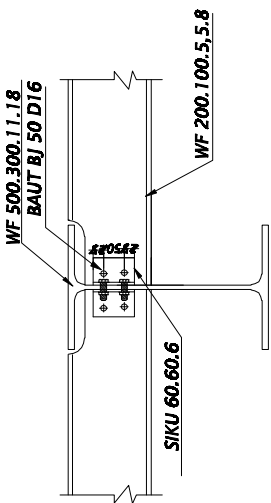
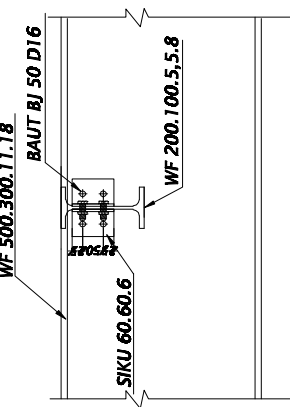
Keterangan



Detail Sambungan

SAMBUNGAN BALOK INDUK DAN BALOK ANAK LANTAI DETAIL C

SKALA 1:20



Detail Sambungan

SAMBUNGAN BALOK INDUK DAN BALOK ANAK LANTAI DETAIL D

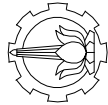
SKALA 1:20



Nama Gambar

SAMBUNGAN BALOK INDUK
DAN BALOK ANAK LANTAI

Skala	No Gambar	Jumlah Gambar
1:20	9	22



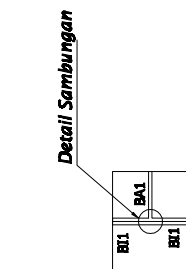
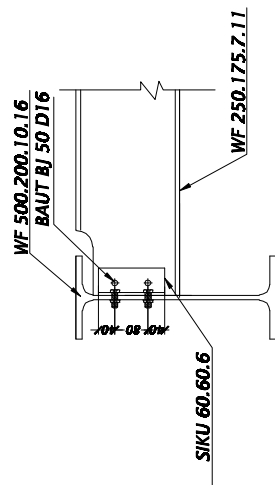
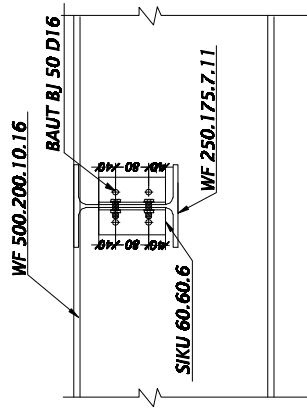
Jurusan Teknik Sipil
Fakultas Teknik Sipil Dan Perencanaan
Institut Teknologi Sepuluh Nopember

Judul Tugas Akhir

MODIFIKASI PERENCANAAN
STRUKTUR GEDUNG HOTEL POP
PADANG MENGGUNAKAN
SISTEM RANGKA BRESING
EKSENTRIK

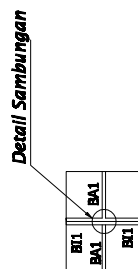
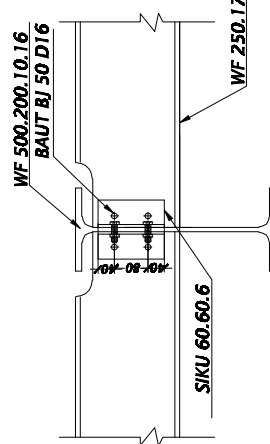
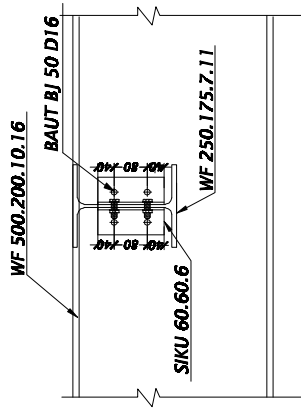
Dosen Penimbang

Ir. Herpy Kristijanto, M.S
Ir. Isdarmawati, M.Sc
Keterangan



SAMBUNGAN BALOK INDUK DAN BALOK ANAK ATAP DETAIL A

SKALA 1:20

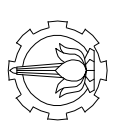


SAMBUNGAN BALOK INDUK DAN BALOK ANAK ATAP DETAIL B

SKALA 1:20



Skala	No Gambar	Jumlah Gambar
1:20	10	22



Jurusan Teknik Sipil
Fakultas Teknik Sipil Dan Perencanaan
Institut Teknologi Sepuluh Nopember

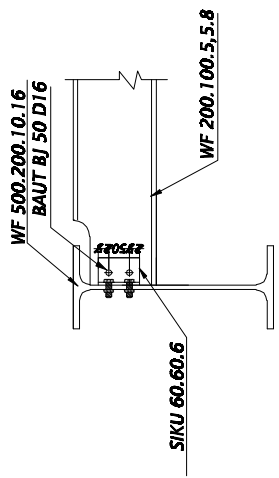
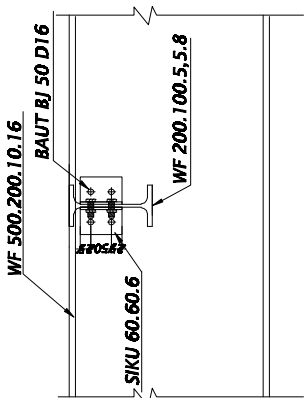
Judul Tugas Akhir

MODIFIKASI PERENCANAAN
STRUKTUR GEDUNG HOTEL POP
PADANG MENGGUNAKAN
SISTEM RANGKA BRESING
EKSENTRIK

Dosen Pembimbing

Ir. Herpy Kristijanto, M.S
Ir. Isdarmawati, M.Sc

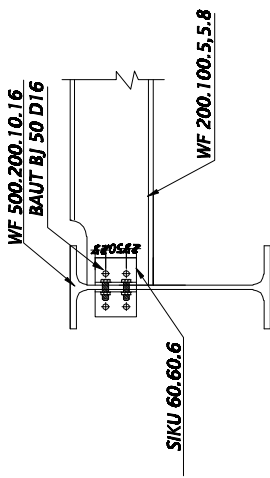
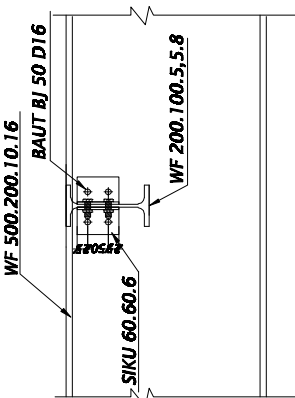
Keterangan



Detail Sambungan

SAMBUNGAN BALOK INDUK DAN BALOK ANAK ATAP DETAIL C

SKALA 1 : 20



Detail Sambungan

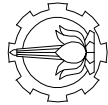
SAMBUNGAN BALOK INDUK DAN BALOK ANAK ATAP DETAIL D

SKALA 1 : 20



SAMBUNGAN BALOK INDUK
DAN BALOK ANAK ATAP

Skala	No Gambar	Jumlah Gambar
1 : 20	11	22



Jurusan Teknik Sipil
Fakultas Teknik Sipil Dan Perencanaan
Institut Teknologi Sepuluh Nopember

Judul Tugas Akhir

MODIFIKASI PERENCANAAN
STRUKTUR GEDUNG HOTEL
POP PADANG MENGGUNAKAN
SISTEM RANGKA BRESING
EKSENTRIK

Dosen Pembimbing

Ir. Herry Kristianto, M.S
Ir. Kekemun, M.Sc

Keterangan

Nama Mahasiswa
Pesta Dumaris Siegian

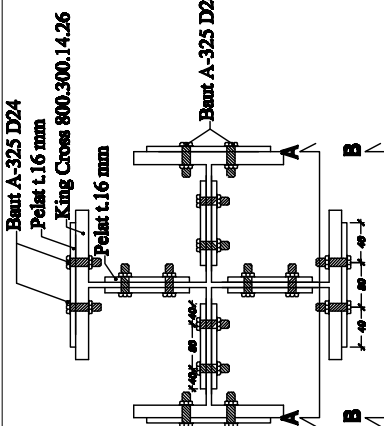
Revisi Tanggal Catatan

Nama Gambar

SAMBUNGAN KOLOM 800.300.14.26
POTONGAN A-A
POTONGAN B-B

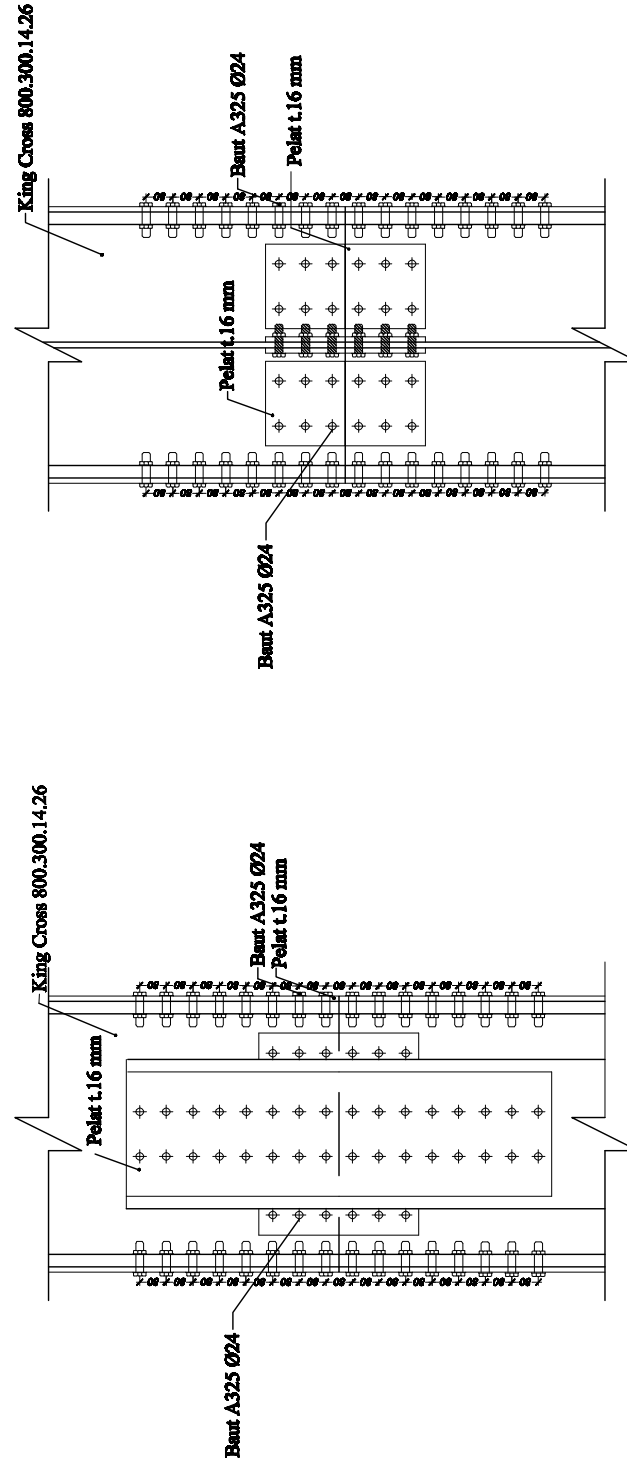
Skala No
Gambar Jumlah
Gambar

1:20 12 22



SAMBUNGAN KOLOM 800.300.14.26

SKALA 1 : 20

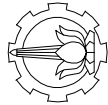


POTONGAN A-A

SKALA 1 : 20

POTONGAN B-B

SKALA 1 : 20



Jurusan Teknik Sipil
Fakultas Teknik Sipil Dan Perencanaan
Institut Teknologi Sepuluh Nopember

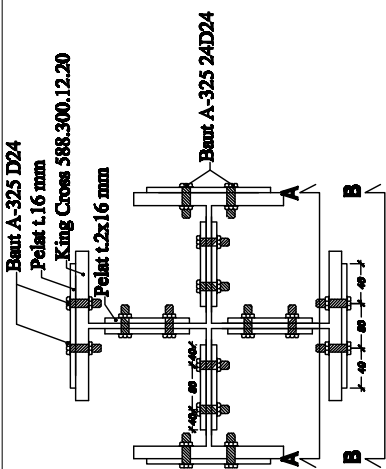
Judul Tugas Akhir

MODIFIKASI PERENCANAAN
STRUKTUR GEDUNG HOTEL
POP PADANG MENGGUNAKAN
SISTEM RANGKA BRESING
EKSENTRIK

Dosen Pembimbing

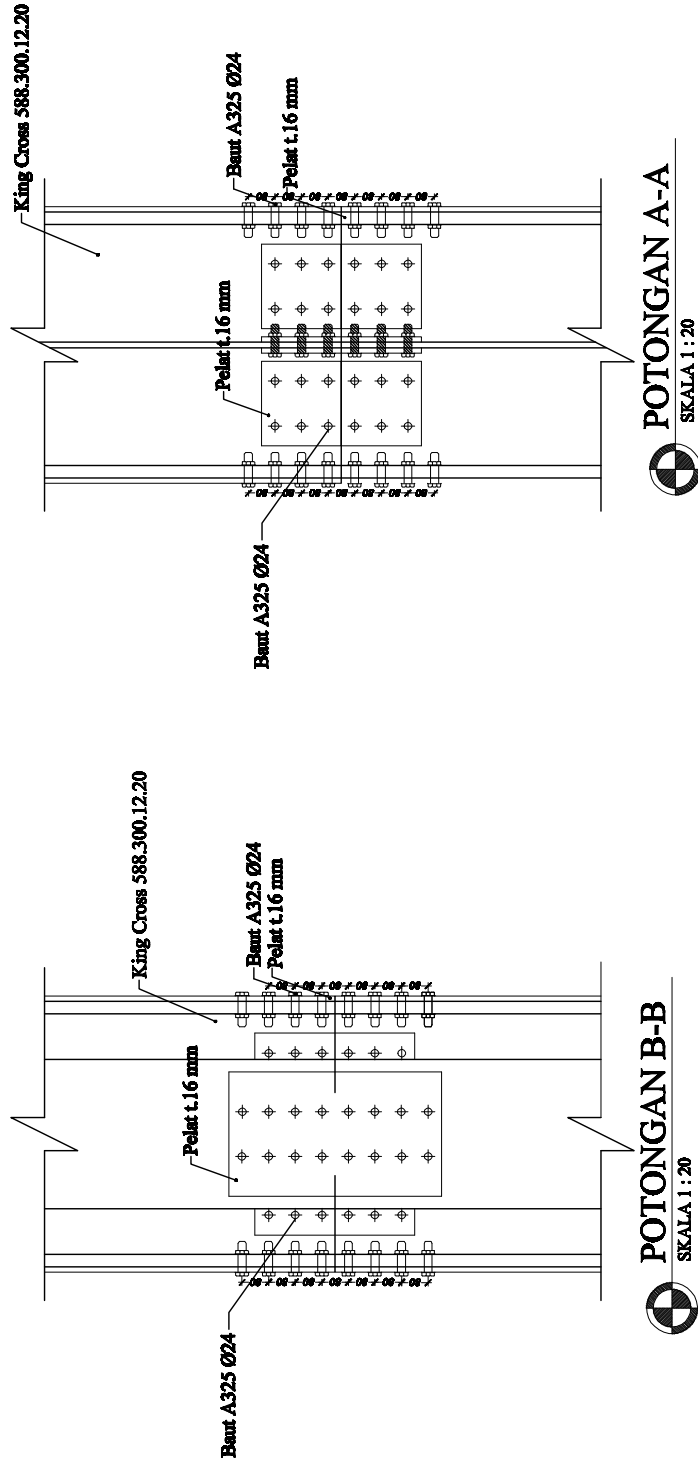
Ir. Herry Kristianto, M.S
Ir. Kekemun, M.Sc

Keterangan



SAMBUNGAN KOLOM 588.300.12.20

SKALA 1 : 20



POTONGAN A-A

SKALA 1 : 20

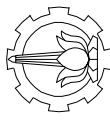
POTONGAN B-B

SKALA 1 : 20

SAMBUNGAN KOLOM 588.300.12.20
POTONGAN A-A
POTONGAN B-B

Skala No Jumlah
Gambar Gambar

1 : 20 13 22



Jurusan Teknik Sipil
Fakultas Teknik Sipil Dan Perencanaan
Institut Teknologi Sepuluh Nopember

Judul Tugas Akhir

**MODIFIKASI PERENCANAAN
STRUKTUR GEDUNG HOTEL
POP PADANG MENGGUNAKAN
SISTEM RANGKA BRESING
EKSETRIK**

Dosen Penimbing

Ir. Herry Kusdijanto, MS
Ir. Iskarmann, M.Sc

Keterangan

Nama Mahasiswa

Pesta Dumaris Siagian

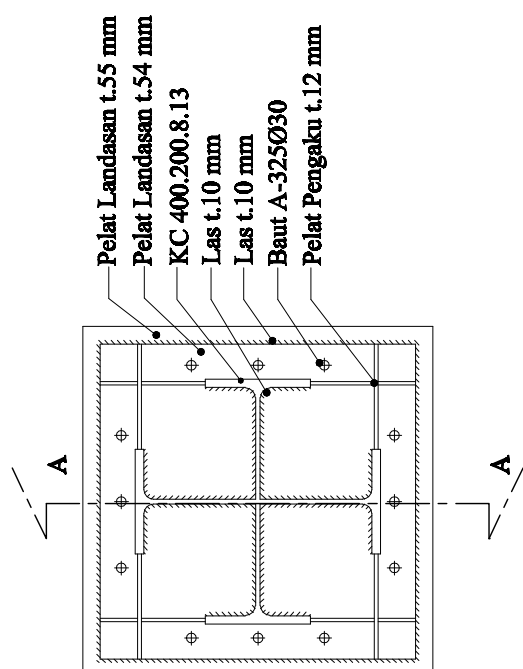
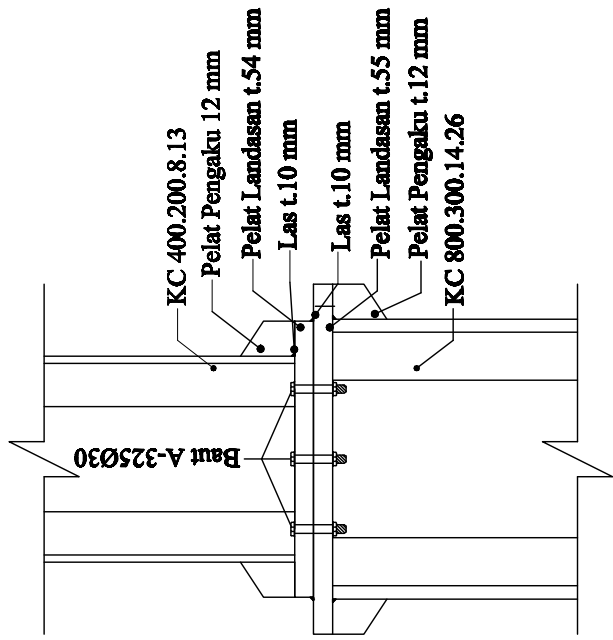
Revisi Tanggal Catatan

Nama Gambar

SAMBUNGAN KOLOM 400.200.8.13
DAN KOLOM 800.300.14.26

Skala No. Gambar Jumlah Gambar

1 : 20 14 22

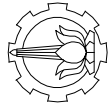


SAMBUNGAN KOLOM



POTONGAN A-A





Jurusan Teknik Sipil
Fakultas Teknik Sipil Dan Perencanaan
Institut Teknologi Sepuluh Nopember

Judul Tugas Akhir

MODIFIKASI PERENCANAAN
STRUKTUR GEDUNG HOTEL
PADA MENGUNAKAN
SISTEM RANGKA BESIING
EKSENTRIK

Dosen Pembimbing

Ir. Henry Kristijanto, MS

Ir. Idrismanu, M.Sc

Keterangan

Nama Mahasiswa

Pesta Dumaris Siegian

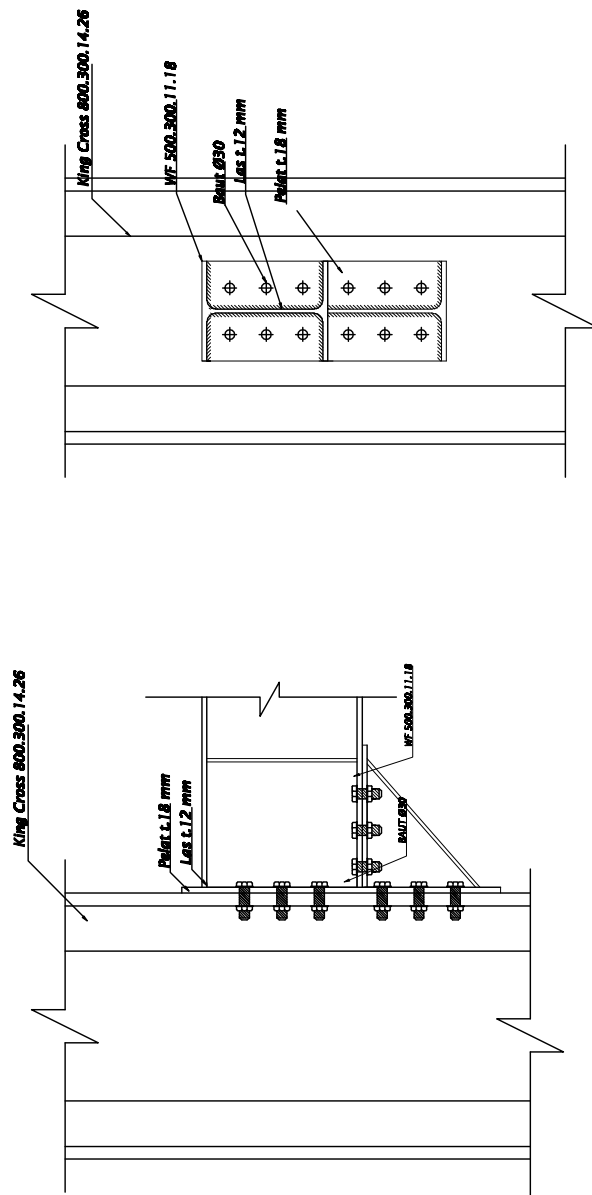
Revisi	Tanggal	Catatan

Nama Gambar

SAMBUNGAN BALOK INDUK LANTAI DENGAN KOLOM

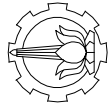


Skala	No Gambar	Jumlah Gambar
1:20	15	22



SAMBUNGAN BALOK INDUK LANTAI DENGAN KOLOM





Jurusan Teknik Sipil
Fakultas Teknik Sipil Dan Perencanaan
Institut Teknologi Sepuluh Nopember

Judul Tugas Akhir

**MODIFIKASI PERENCANAAN
STRUKTUR GEDUNG HOTEL
POP PADING MENGGUNAKAN
SISTEM RANGKA BRESING
EKSENTRIK**

Dosen Pembimbing

Ir. Herry Kristijanto, M.S

Ir. Irfanuddin, M.Sc

Keterangan

Nama Mahasiswa

Pesta Dumaris Siegian

Revisi	Tanggal	Catatan

Nama Gambar

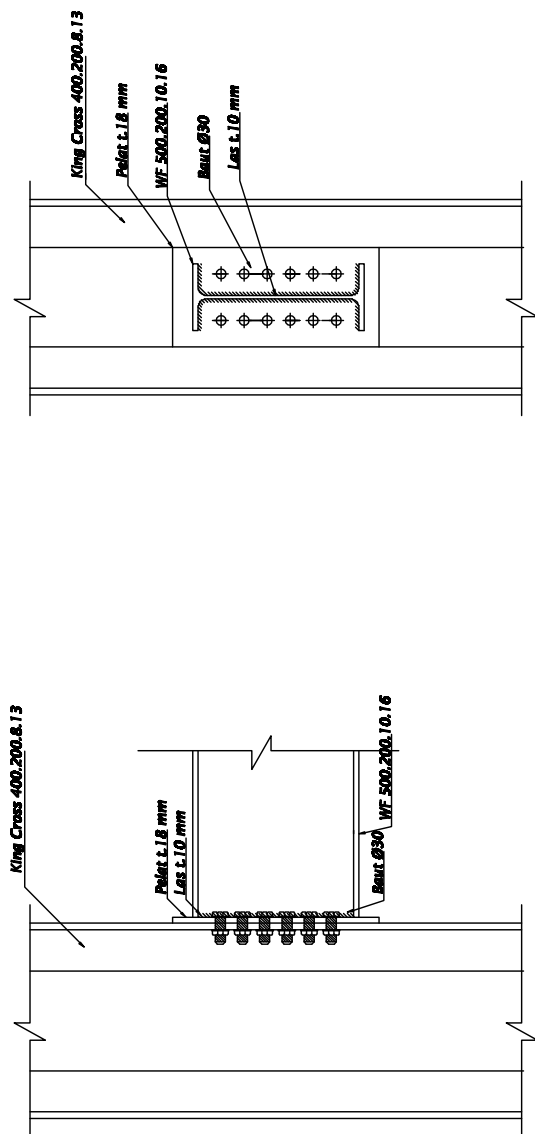
SAMBUNGAN BALOK INDUK ATAP DENGAN KOLOM



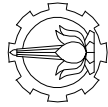
SKALA 1 : 20

**SAMBUNGAN BALOK INDUK
ATAP DENGAN KOLOM**

Skala	No Gambar	Jumlah Gambar
1 : 20	16	22



SAMBUNGAN BALOK INDUK ATAP DENGAN KOLOM



Jurusan Teknik Sipil
Fakultas Teknik Sipil Dan Perencanaan
Institut Teknologi Sepuluh Nopember

Judul Tugas Akhir

MODIFIKASI PERENCANAAN
STRUKTUR GEDUNG HOTEL
POD PADANG MENGGUNAKAN
SISTEM RANGKA BRESING
EKSENTRIK

Dosen Pembimbing

Ir. Herpy Kristianto, M.S
Ir. Iskandarmi, M.Sc

Keterangan

Nama Mahasiswa

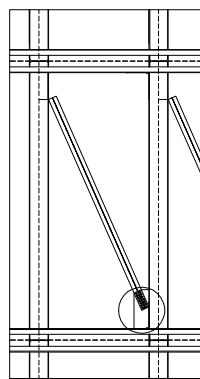
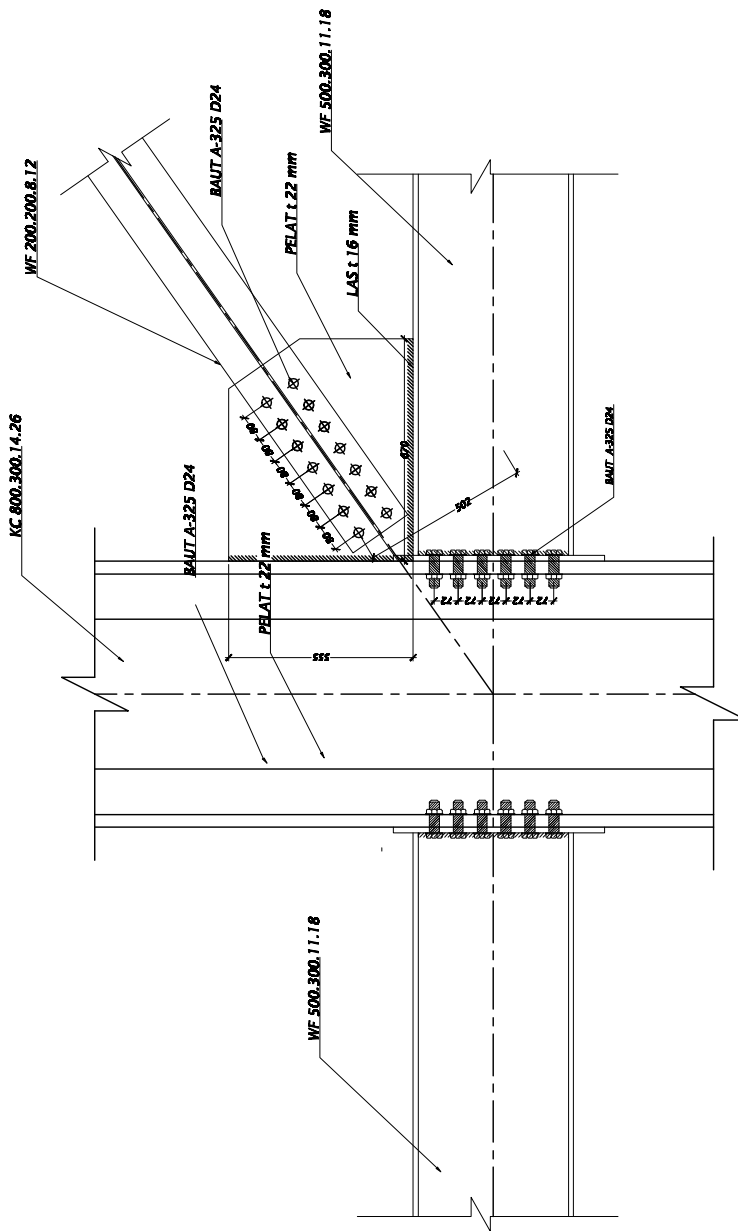
Pesta Dumaris Siegian

Revisi	Tanggal	Catatan

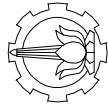
Nama Gambar

SAMBUNGAN BATANG BRESING
DENGAN KOLOM

Skala	No Gambar	Jumlah Gambar
1:20	17	22



SAMBUNGAN BATANG BRESING DENGAN KOLOM
SKALA 1:20



Jurusan Teknik Sipil
Fakultas Teknik Sipil Dan Perencanaan
Institut Teknologi Sepuluh Nopember

Judul Tugas Akhir

MODIFIKASI PERENCANAAN
STRUKTUR GEDUNG HOTEL
POD PADANG MENGGUNAKAN
SISTEM RANGKA BRESING
EKSENTRIK

Dosen Pembimbing

Ir. Henry Kristijanto, M.S
Ir. Idenanen, M.Sc

Keterangan

Nama Mahasiswa

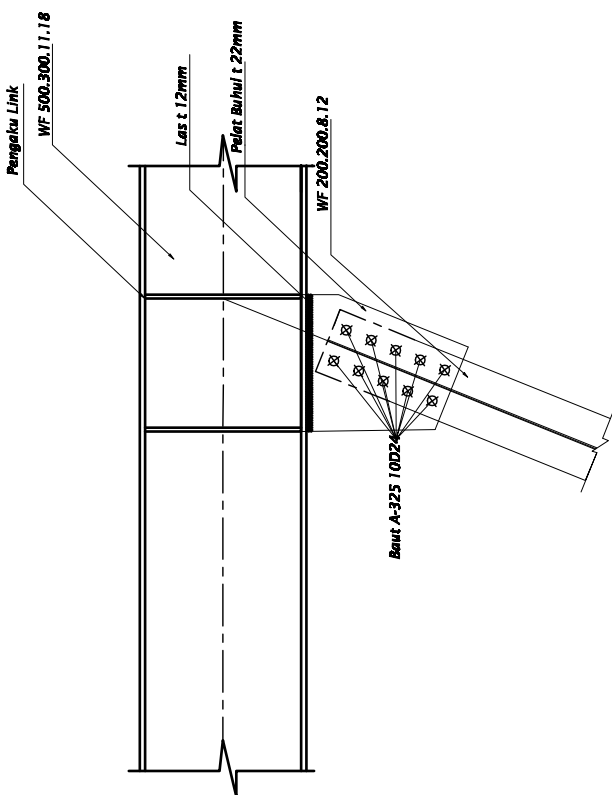
Pesta Dumaris Siegian

Revisi	Tanggal	Catatan

Nama Gambar

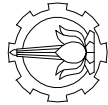
SAMBUNGAN BALOK INDUK LANTAI DENGAN BRESING

SKALA 1 : 20



SAMBUNGAN BALOK INDUK
LANTAI DENGAN BRESING

Skala	No Gambar	Jumlah Gambar
1 : 20	18	22



Jurusan Teknik Sipil
Fakultas Teknik Sipil Dan Perencanaan
Institut Teknologi Sepuluh Nopember

Judul Tugas Akhir

MODIFIKASI PERENCANAAN
STRUKTUR GEDUNG HOTEL POP
PADANG MENGGUNAKAN
SISTEM RANGKA BRESING
EKSENTRIK

Dosen Pembimbing

Ir. Heppy Kristijanto, M.S
Ir. Isdarmawati, M.Sc

Keterangan

Nama Mahasiswa

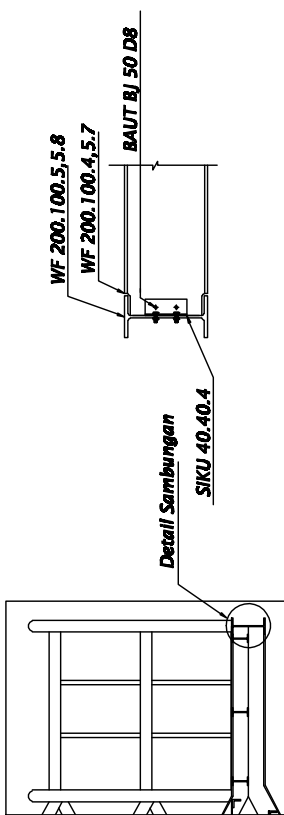
Pesta Dumaris Siegian

Revisi	Tanggal	Catatan

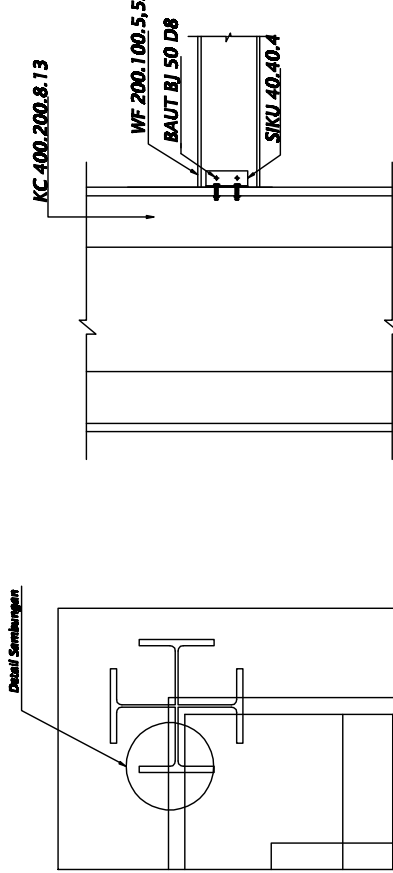
Nama Gambar

SAMBUNGAN BALOK INDUK
DAN BALOK ANAK ATAP

Skala	No Gambar	Jumlah Gambar
1 : 20	19	22



 **SAMBUNGAN BALOK UTAMA TANGGA DENGAN BALOK PENUMPATANGGA**
SKALA 1 : 20



 **SAMBUNGAN BALOK PENUMPATANGGA DENGAN KOLOM**
SKALA 1 : 20

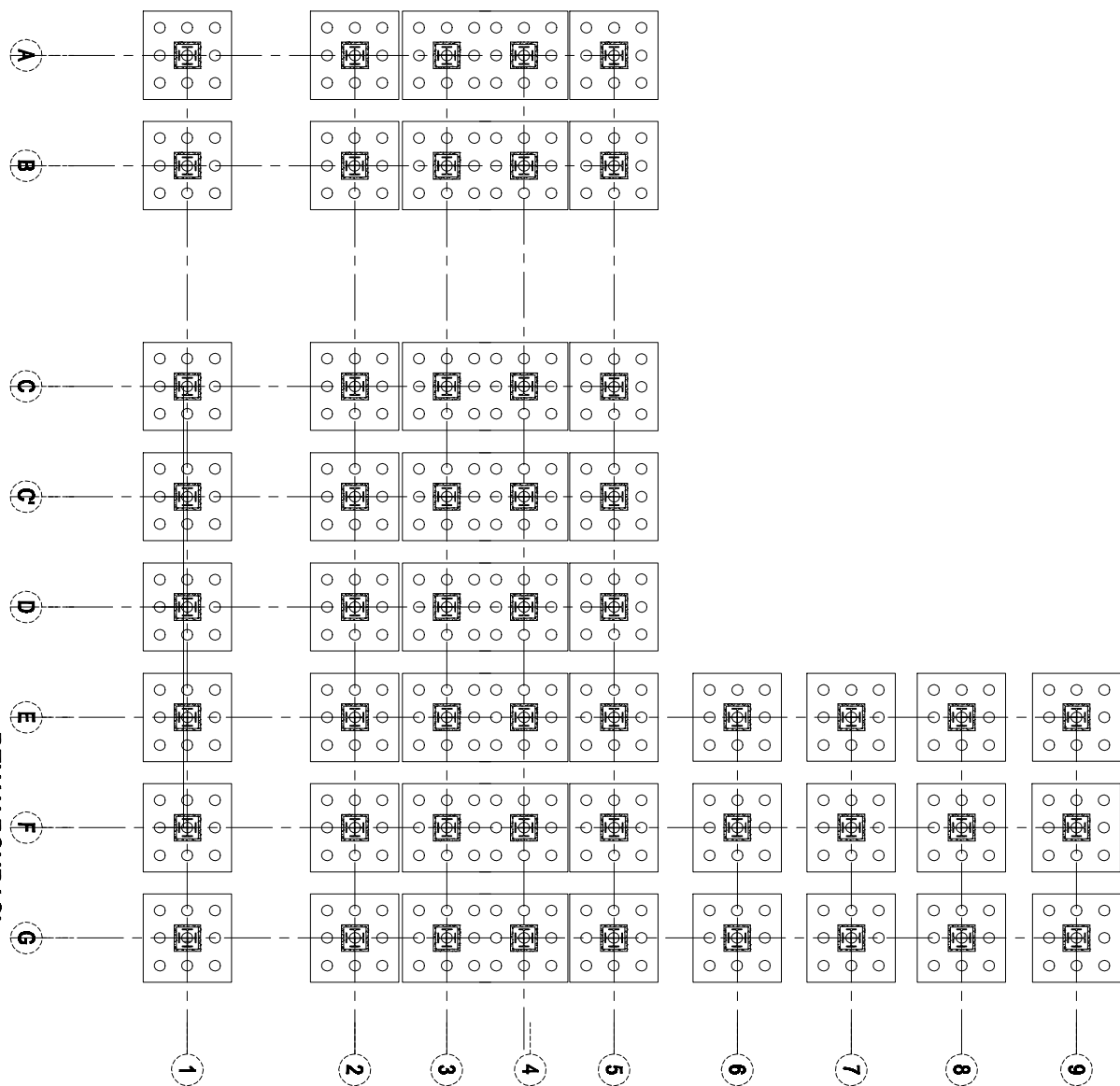


Jurusan Teknik Sipil
Fakultas Teknik Sipil Dan Perencanaan
Institut Teknologi Sepuluh Nopember

Judul Proposal Tugas Akhir

Modifikasi Perencanaan struktur
Gedung Hotel Pop Padang
Menggunakan Sistem Rangka
Bressing Elektrik Tipe D-Braced

A



DENAH PONDASI

1:100

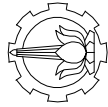
Denah Pondasi pancang

Nama Mahasiswa
Pesta Dumaris Siagian

Revisi	Tanggal	Catatan

Nama Gamber

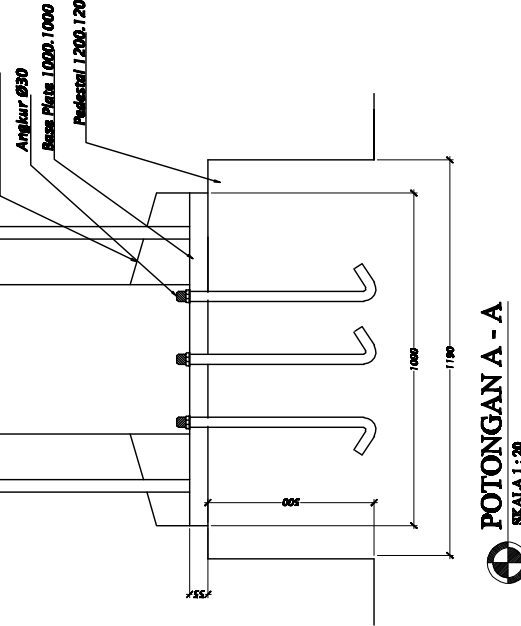
Skala	No Gamber	Jumlah Gamber
1:100	20	22



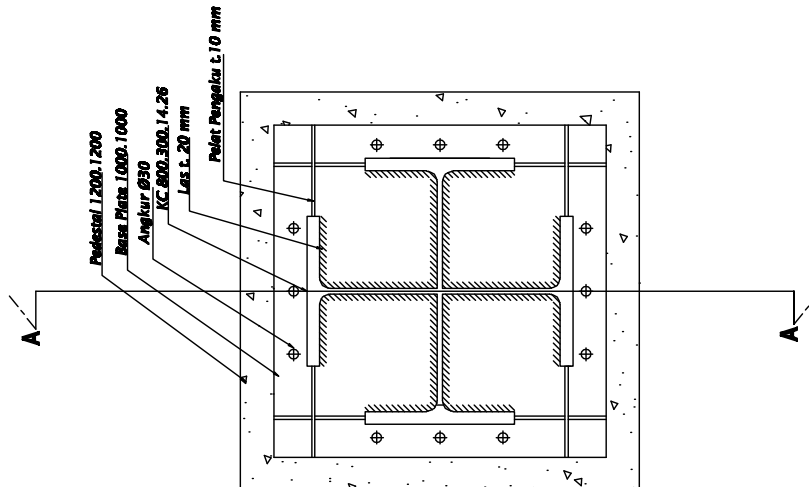
Jurusan Teknik Sipil
Fakultas Teknik Sipil Dan Perencanaan
Institut Teknologi Sepuluh Nopember

Judul Tugas Akhir

MODIFIKASI PERENCANAAN
STRUKTUR GEDUNG HOTEL
POP PADANG MENGGUNAKAN
SISTEM RANGKA BESING
EKSENTRIK



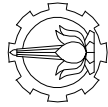
POTONGAN A - A
SKALA 1:20



SAMBUNGAN BASE PLATE
SKALA 1:20

SAMBUNGAN BASE PLATE
POTONGAN A-A

Skala	No Gambar	Jumlah Gambar
1:20	21	22



Jurusan Teknik Sipil
Fakultas Teknik Sipil Dan Perencanaan
Institut Teknologi Sepuluh Nopember

Judul Tugas Akhir

MODIFIKASI PERENCANAAN
STRUKTUR GEDUNG HOTEL
POP PADANG MENGGUNAKAN
SISTEM RANGKA BRESLING
EKSENTRIK

Dosen Pembimbing

Ir. Herpy Kristijanto, M.S

Ir. Idrisnani, M.Sc

Keterangan

Nama Mahasiswa

Pesta Dumaris Siegian

Revisi

Tanggal

Catatan

Nama Gambar

DETAIL PONDASI
POTONGAN A-A

Skala

No

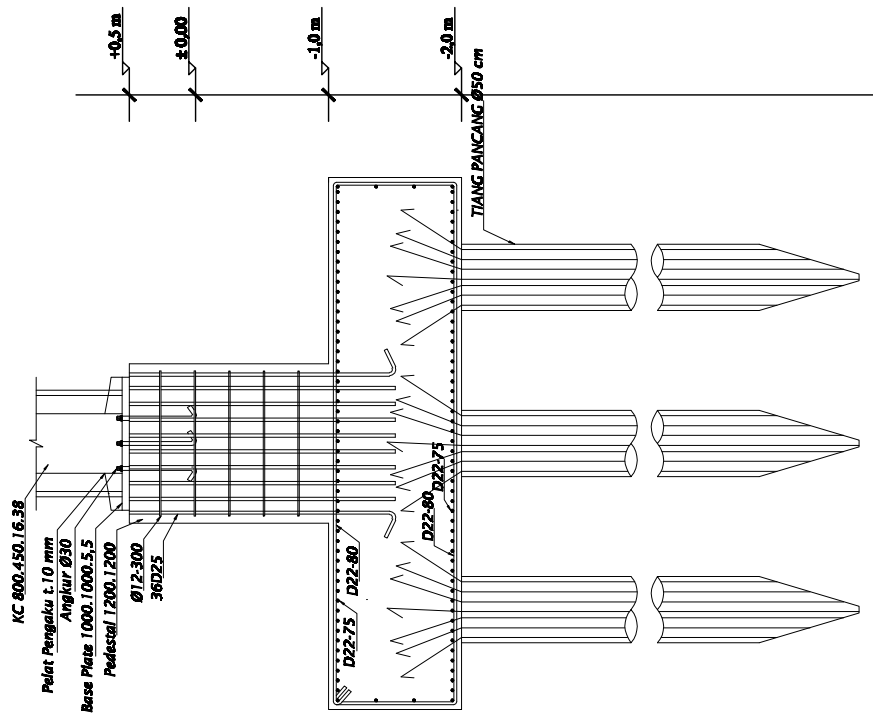
Jumlah

Gambar

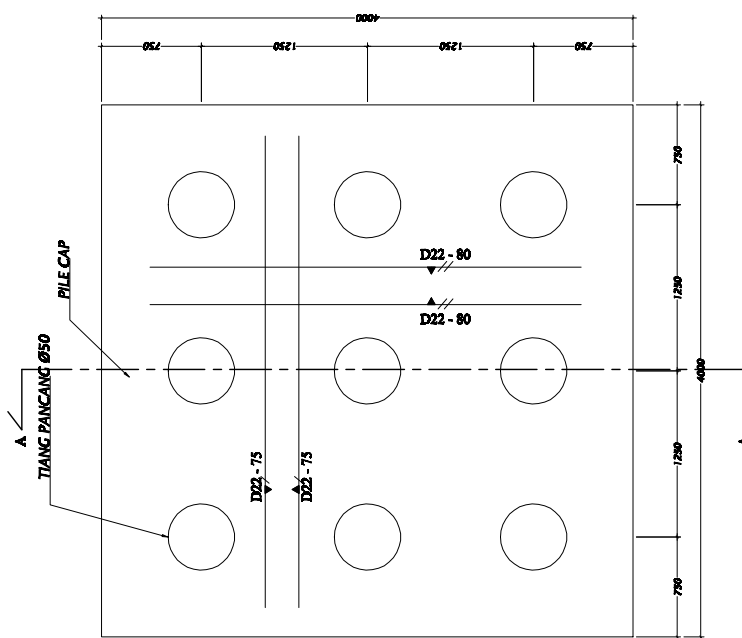
1 : 20

22

22



POTONGAN A-A
SKALA 1:50

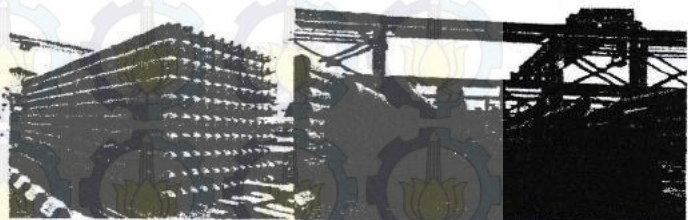


DETAIL PONDASI
SKALA 1:50

PC SPUN PILES

Description

Type of piles	: Prestressed Concrete Spun Piles
Splice system	: Welded at steel joint plate
Type of shoe	: Pencil (Standard Product) Mamira (Special Design)
Method of Driving	: Diesel or Hydraulic Hammer



Design and Manufacturing References

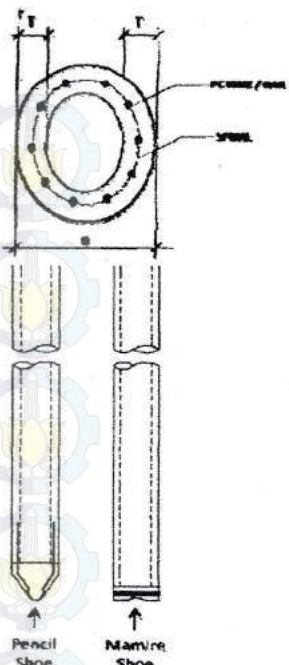
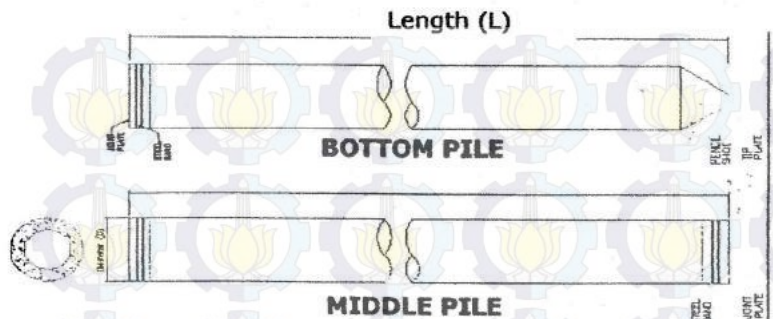
Design	JIS A 5335 - 1987 ACI 543R - 00	Prestressed Concrete Spun Piles Design, Manufactured and Installation of Concrete Piles
Manufacturing	SNI 03-2847-2002 JIS A 5335 - 1987 WIKA BETON-09-IK-005	Indonesian Concrete Code Prestressed Concrete Spun Piles Piles Manufacturing Work Instruction



Specification of Material

Item	Reference	Description	Specification
Aggregate	ASTM C33 - 1999 NI 2 PBI - 1971	Standard Specification for Concrete Aggregates Indonesian Concrete Code	
Cement	SNI 15-2049-2004	Portland Cement	Standard product: type I Special order: Type II or V Type F: Water reducing admixtures
Admixture	ASTM C494 - 1985	Standard Specification for Chemical Admixture for Concrete	
Concrete	SNI 03-2847-2002	Indonesian Concrete Code	Compressive strength at: 28 days : 600 kgf/cm ² (cube)
PC Wire	JIS G 3536 - 1999	Uncoated Stress-Relieved Steel Wire and Strand for Prestressed Concrete	SWPD 1
PC Bar	JIS G 3137 - 1994	Small Size Deformed Steel Bars for Prestressed Concrete	SBPDL 1275/1420
Spiral Wire	JIS G 3532 - 2000	Low Carbon Steel Wire	SWMA / SWMP
Joint Plate	JIS G 3101 - 2004	Rolled Steel for General Structure	SS-400
Welding	ANSI / AWS D1.1 - 1990	Structural Welding Code-Steel	AWS A S.1 / E 6013 NIKKO STEEL RB 26 / RD 260, LION 26, or equivalent

Shape and Dimension



Classification

Outside Diameter D (mm)	Wall Thickness T (mm)	Class	Concrete Cross Section (cm ²)	Unit Weight (kg/m)	Length L (M)	Bending Moment		Allowable Axial Load (Ton)
						Crack (Ton.m)	Ultimate (Ton.m)	
300	60	A2	452	113	6 - 13	2.50	3.75	72.60
		A3				3.00	4.50	70.75
		B				3.50	6.30	67.50
		C				4.00	8.00	65.40
350	65	A1	582	145	6 - 15	3.50	5.25	93.10
		A3				4.20	6.30	89.50
		B				5.00	9.00	86.40
		C				6.00	12.00	85.00
400	75	A2	766	191	6 - 16	5.50	8.25	121.10
		A3				6.50	9.75	117.60
		B				7.50	13.50	114.40
		C				9.00	18.00	111.50
450	80	A1	930	232	6 - 16	7.50	11.25	149.50
		A2				8.50	12.75	145.80
		A3				10.00	15.00	143.80
		B				11.00	19.80	139.10
		C				12.50	25.00	134.90
500	90	A1	1159	290	6 - 16	10.50	15.75	185.30
		A2				12.50	18.75	181.70
		A3				14.00	21.00	178.20
		B				15.00	27.00	174.90
		C				17.00	34.00	169.00
600	100	A1	1571	393	6 - 16	17.00	25.50	252.70
		A2				19.00	28.50	249.00
		A3				22.00	33.00	243.20
		B				25.00	45.00	238.30
		C				29.00	58.00	229.50
800	120	A1	2564	641	6 - 24	40.70	63.60	415.00
		A2				46.20	84.40	406.20
		A3				51.00	97.80	398.20
		B				55.70	108.20	390.80
		C				70.60	129.80	367.60
1000	140	A1	3872	946	6 - 24	75.00	117.90	614.00
		A2				82.30	139.80	604.80
		A3				93.30	170.90	590.60
		B				105.70	199.70	575.00
		C				123.60	229.90	552.90
1200	150	A1	4948	1237	6 - 24	120.00	180.00	802.40
		A2				130.00	195.00	794.00
		A3				145.00	217.50	778.10
		B				170.00	306.00	751.50
		C				200.00	400.00	721.10

Tebal Pelat Base steel thickness	Berat per satuan luas Mass per unit area	Luas penampang Cross section area		Momen putar positif Positive bending moment		Momen putar negatif Negative bending moment		Momen lenjur negatif Negative bending moment	
		Dek terikat Pan in tension		Dek terikat Pan in compression		Dek terikat Pan in tension		Dek terikat Pan in compression	
		Yc mm	Yt mm	Zpc 10 ³ x mm ³	Zpl 10 ³ x mm ³	In 10 ⁶ x mm ⁴	Znc 10 ³ x mm ³	2fl 10 ⁶ x mm ⁴	Znl 10 ⁶ x mm ⁴
0.75	10.1	1241	38.6	15.4	0.511	13.15	33.14	0.309	10.21

Catatan :
 Ip = momen inersia profil panel untuk daerah momen positif
 second moment of area of panel profile for positive moment regions
 In = idem. untuk daerah momen negatif
 Yt = idem. for negative moment regions
 Zat = idem. pada jalinan, puncak rusuk dalam daerah momen negatif (tegangan latik)
 residual moment, top of rib positive moment regions (compressive stress)

Znc = idem. dasar dek dalam daerah momen negatif (tegangan latik)
 Zpl = idem. dasar dek dalam daerah momen positif (tegangan latik)
 Znl = idem. dasar dek, dalam daerah momen negatif (tegangan latik)
 Zpc = idem. dasar dek, dalam daerah momen positif (tegangan latik)

Ie = momen inersia ekivalen untuk perlakuan berulang pada bantingan menurut
 equivalent second moment of area for multiple span condition
 ip = 1.26 - 0.26 (ipn)
 Ie = 1.26

TABEL 2 : TABEL PERENCANAAN PRAKTIS

BENTANG TUNGGAL TANPA TULANGAN NEGATIF SIMPLE SPAN CONDITION WITHOUT NEGATIVE REINFORCEMENT		BENTANG GANDA DENGAN TULANGAN NEGATIF DOUBLE SPAN CONDITIONS WITH NEGATIVE REINFORCEMENT		BENTANG MENGEDAR DENGAN TULANGAN NEGATIF MULTIPLE SPAN CONDITIONS WITH NEGATIVE REINFORCEMENT	
SUDAH BERGUNA SUPER IMPOSED LOAD 0.75 MM	200	300	400	500	600
REBAN BERGUNA SUPER IMPPOSED LOAD 0.75 MM	200	300	400	500	600
THANG PENYANGGA PROPPING	TEBAL SLAB DEPTH CM	TEBAL PELAT SLAB DEPTH CM	TEBAL PELAT SLAB DEPTH CM	TEBAL PELAT SLAB DEPTH CM	TEBAL PELAT SLAB DEPTH CM
TANPA PENYANGGA NO. PROPS	1.50	1.50	1.50	1.50	1.50
SATU BARIS PENYANGGA ONE ROW PROPS	1.75	1.75	1.75	1.75	1.75
DUA BARIS PENYANGGA TWO ROW PROPS	2.00	2.00	2.00	2.00	2.00
SATU BARIS PENYANGGA ONE ROW PROPS	2.25	2.25	2.25	2.25	2.25
DUA BARIS PENYANGGA TWO ROW PROPS	2.40	2.40	2.40	2.40	2.40
SATU BARIS PENYANGGA ONE ROW PROPS	2.75	2.75	2.75	2.75	2.75
DUA BARIS PENYANGGA TWO ROW PROPS	3.00	3.00	3.00	3.00	3.00
SATU BARIS PENYANGGA ONE ROW PROPS	3.25	3.25	3.25	3.25	3.25
DUA BARIS PENYANGGA TWO ROW PROPS	3.50	3.50	3.50	3.50	3.50
SATU BARIS PENYANGGA ONE ROW PROPS	3.75	3.75	3.75	3.75	3.75
DUA BARIS PENYANGGA TWO ROW PROPS	4.00	4.00	4.00	4.00	4.00
SATU BARIS PENYANGGA ONE ROW PROPS	4.25	4.25	4.25	4.25	4.25
DUA BARIS PENYANGGA TWO ROW PROPS	4.50	4.50	4.50	4.50	4.50
SATU BARIS PENYANGGA ONE ROW PROPS	5.00	5.00	5.00	5.00	5.00

TABLE 2 : PRACTICAL DESIGN TABLE

BENTANG MENGEDAR DENGAN TULANGAN NEGATIF MULTIPLE SPAN CONDITIONS WITH NEGATIVE REINFORCEMENT	
1000	1000
900	900
800	800
700	700
600	600
500	500
400	400
300	300
200	200
1000	1000
900	900
800	800
700	700
600	600
500	500
400	400
300	300
200	200
1000	1000
900	900
800	800
700	700
600	600
500	500
400	400
300	300
200	200
1000	1000
900	900
800	800
700	700
600	600
500	500
400	400
300	300
200	200
1000	1000
900	900
800	800
700	700
600	600
500	500
400	400
300	300
200	200
1000	1000
900	900
800	800
700	700
600	600
500	500
400	400
300	300
200	200
1000	1000
900	900
800	800
700	700
600	600
500	500
400	400
300	300
200	200
1000	1000
900	900
800	800
700	700
600	600
500	500
400	400
300	300
200	200
1000	1000
900	900
800	800
700	700
600	600
500	500
400	400
300	300
200	200
1000	1000
900	900
800	800
700	700
600	600
500	500
400	400
300	300
200	200
1000	1000
900	900
800	800
700	700
600	600
500	500
400	400
300	300
200	200
1000	1000
900	900
800	800
700	700
600	600
500	500
400	400
300	300
200	200
1000	1000
900	900
800	800
700	700
600	600
500	500
400	400
300	300
200	200
1000	1000
900	900
800	800
700	700
600	600
500	500
400	400
300	300
200	200
1000	1000
900	900
800	800
700	700
600	600
500	500
400	400
300	300
200	200
1000	1000
900	900
800	800
700	700
600	600
500	500
400	400
300	300
200	200
1000	1000
900	900
800	800
700	700
600	600
500	500
400	400
300	300
200	200
1000	1000
900	900
800	800
700	700
600	600
500	500
400	400
300	300
200	200
1000	1000
900	900
800	800
700	700
600	600
500	500
400	400
300	300
200	200
1000	1000
900	900
800	800
700	700
600	600
500	500
400	400
300	300
200	200
1000	1000
900	900
800	800
700	700
600	600
500	500
400	400
300	300
200	200
1000	1000
900	900
800	800
700	700
600	600
500	500
400	400
300	300
200	200
1000	1000
900	900
800	800
700	700
600	600
500	500
400	400
300	300
200	200
1000	1000
900	900
800	800
700	700
600	600
500	500
400	400
300	300
200	200
1000	1000
900	900
800	800
700	700
600	600
500	500
400	400
300	300
200	200
1000	1000
900	900
800	800
700	700
600	600
500	500
400	400
300	300
200	200
1000	1000
900	900
800	800
700	700
600	600
500	500
400	400
300	300
200	200
1000	1000
900	900
800	800
700	700
600	600
500	500
400	400
300	300
200	200
1000	1000
900	900
800	800
700	700
600	600
500	500
400	400
300	300
200	200
1000	1000
900	900
800	800
700	700
600	600
500	500
400	400
300	300
200	200
1000	1000
900	900
800	800
700	700
600	600
500	500
400	400
300	300
200	200
1000	1000
900	900
800	800
700	700
600	600
500	500
400	400
300	300
200	200
1000	1000
900	900
800	800
700	700
600	600
500	500
400	400
300	300
200	200
1000	1000
900	900
800	800
700	700
600	600
500	500
400	400
300	300
200	200
1000	1000
900	900
800	800
700	700
600	600
500	500
400	400
300	300
200	200
1000	1000
900	900
800	800
700	700
600	600
500	500
400	400
300	300
200	200
1000	1000
900	900
800	800
700	700
600	600
500	500
400	400
300	300
200	200
1000	1000
900	900
800	800
700	700
600	600
500	500
400	400
300	300
200	200
1000	1000
900	900
800	800
700	700
600	600
500	500
400	400
300	300
200	200
1000	1000
900	900
800	800
700	700
600	600
500	500
400	400
300	300
200	200
1000	1000
900	900
800	800
700</	



P.T. GUNUNG GARUDA

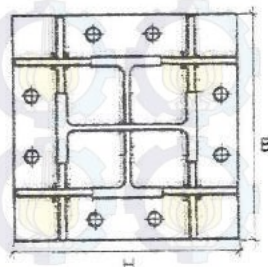
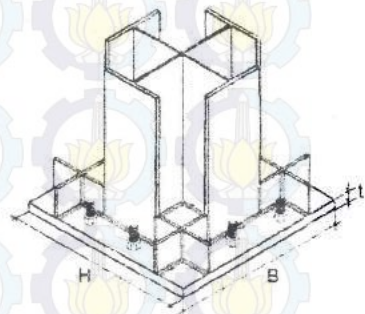
Steel Is Our Business

FIXED BASE PLATES

FOR KING CROSS

METRIC SIZE

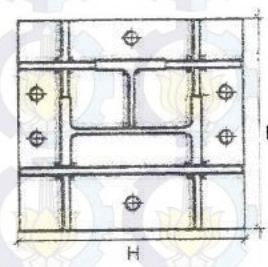
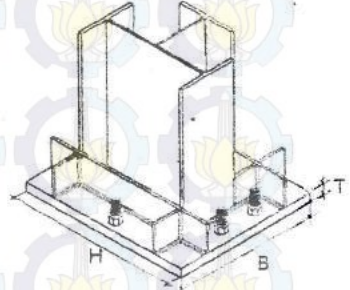
PART NO.	H	B	THICKNESS	WEIGHT	FOR COLUMN KING CROSS
	mm	mm	mm	kg	
BMK - 01	302	302	24	17.18	K - 150 x 75
BMK - 02	352	352	28	27.23	K - 200 x 100
BMK - 03	350	350	26	25.00	K - 198 x 99
BMK - 04	426	426	32	45.59	K - 250 x 125
BMK - 05	424	424	30	42.34	K - 248 x 124
BMK - 06	476	476	34	60.47	K - 300 x 150
BMK - 07	450	450	30	47.69	K - 298 x 149
BMK - 08	550	550	39	92.61	K - 350 x 175
BMK - 09	522	522	35	74.86	K - 346 x 174
BMK - 10	600	600	47	132.82	K - 400 x 200
BMK - 11	572	572	38	97.60	K - 396 x 199
BMK - 12	650	650	44	145.93	K - 450 x 200
BMK - 13	700	700	46	176.94	K - 500 x 200
BMK - 14	800	800	47	236.13	K - 600 x 200
BMK - 15	788	788	52	253.47	K - 588 x 300
BMK - 16	900	900	54	343.36	K - 700 x 300
BMK - 17	1000	1000	55	431.75	K - 800 x 300



FOR QUEEN CROSS

METRIC SIZE

PART NO.	H	B	THICKNESS	WEIGHT	FOR COLUMN QUEEN CROSS
	mm	mm	mm	kg	
BMQ - 01	302	265	22	13.82	Q - 150 x 75
BMQ - 02	376	326	27	25.98	Q - 200 x 100
BMQ - 03	374	325	25	23.85	Q - 198 x 99
BMQ - 04	450	388	31	42.49	Q - 250 x 125
BMQ - 05	424	362	29	34.94	Q - 248 x 124
BMQ - 06	500	425	34	56.72	Q - 300 x 150
BMQ - 07	474	400	30	44.65	Q - 298 x 149
BMQ - 08	550	463	37	73.96	Q - 350 x 175
BMQ - 09	522	436	33	58.96	Q - 346 x 174
BMQ - 10	600	500	41	96.56	Q - 400 x 200
BMQ - 11	596	498	38	88.54	Q - 396 x 199
BMQ - 12	650	525	43	115.19	Q - 450 x 200
BMQ - 13	700	550	45	136.00	Q - 500 x 200
BMQ - 14	800	600	47	177.10	Q - 600 x 200
BMQ - 15	788	644	51	203.17	Q - 588 x 300
BMQ - 16	900	700	54	267.06	Q - 700 x 300
BMQ - 17	1000	750	55	323.81	Q - 800 x 300



NOTES :

Material specification as per JIS G 3101 ; SS 400

TOLERANCE (mm)

t	H, B
± 0.5	± 2

**HEAD OFFICE
AND FACTORY**

Imam Bonjol 4, Warung Bongkok, Suka Danau, Cibitung, Bekasi, West Java, INDONESIA
 Phone : 62-21-8900111, Sales Dept. 62-21-8900666, ESC Dept. 62-21-4713000
 Fax. 62-21-8900555, URL : <http://www.grdsteel.com>, E-mail : gunung@grdsteel.com

BORING LOG

PROJECT NAME : RETROFIT GEDUNG KANTOR GUBERNUR						LOCATION : JL. JENDRAL SUDIRMAN PADANG					BOR No. : DB. 1								
GROUND LEVEL (GL) : - 0.30 m thi il.kawasan.						DRILLER : Alamsyah					DATE : 16 - 18 Maret '09								
GROUND WTR LEVEL : - 2.60 m. GL.																			
SCALE	DEPTH, M.	ELEVATION, M.	LOG SYMBOL	GENERAL SOIL DESCRIPTION						FIELD SAMPLING AND TESTING					STANDARD PENETRATION TEST				
										Depth Below Existing Ground Level in M.					10	20	30	40	50
1	0,60	2,10		Ungu : Lempong kelanauan, konsistensi sedang, coklat kemerahan.						N - 1									
2	2,10			Lempung kelanauan/kerapatan, konsistensi sedang, abu-abu kekuningan dan hitam.						N - 2									
3	3,10			Lanau kerapatan, konsistensi sangat teguh, abu-abu dan hitam bening putih.						N - 3									
4	4,20			Pasir keras campur gravels, sedikit Lanau, padat, hitam bening putih.															
5	5,30			Lanau kelempungan, konsistensi sangat teguh, abu-abu kekuningan campur kuning.															
6	6,40			Lanau kerapatan/kerapatan, konsistensi sedang, coklat kekuningan campur abu-abu.															
7	7,50			Lanau kerapatan/kerapatan, konsistensi sangat teguh, abu-abu kekuningan coklat hitam coklat.															
8	8,60			Lanau kerapatan, konsistensi sangat teguh, abu-abu kekuningan, padat, hitam bening abu-abu dan kuning.															
9	9,70			Lanau kerapatan, konsistensi sangat teguh, abu-abu kekuningan coklat hitam coklat.															
10	10,80			Lanau kerapatan, konsistensi sangat teguh, coklat gelap campur organic.															
11	11,90			Lanau kerapatan, konsistensi sangat teguh, abu-abu kekuningan, padat, hitam bening abu-abu dan kuning.															
12	12,80			Pasir bergradiasi keras kelanauan, padat, hitam bening abu-abu dan kuning.															
13	13,40			Lanau kerapatan, konsistensi sangat teguh, abu-abu kekuningan.															
14	14,60			Pasir bergradiasi keras kelanauan, padat, hitam bening abu-abu dan kuning.															
15	15,20			Pasir bergradiasi halus, sangat padat, mulai membantu, hitam.															
16	16,30	3,20		Lanau: kelempungan, konsistensi keras, abu-abu kekuningan campur hitam.															
17	17,80			Lanau: kelempungan, konsistensi sangat teguh, abu-abu gelap campur coklat dan kuning.															
18	18,40			Lanau: kelempungan, konsistensi sangat teguh, abu-abu gelap campur coklat dan kuning.															
19	19,60			Lanau: kelempungan, konsistensi sangat teguh, abu-abu gelap campur organik.															
20	20,20			Lanau: kelempungan, konsistensi sangat teguh, abu-abu gelap campur coklat dan kuning.															
21	21,00			Lanau: kelempungan, konsistensi sangat teguh, abu-abu gelap campur organik.															
22	21,60			Lanau: kelempungan, konsistensi sangat teguh, abu-abu gelap campur organik.															
23	22,20			Lanau: kelempungan, konsistensi sangat teguh, abu-abu gelap campur organik.															
24	22,80			Lanau: kelempungan, konsistensi sangat teguh, abu-abu gelap campur organik.															
25	23,40			Lanau: kelempungan, konsistensi sangat teguh, abu-abu gelap campur organik.															
26	24,00			Lanau: kelempungan, konsistensi sangat teguh, abu-abu gelap campur organik.															
27	24,60			Lanau: kelempungan, konsistensi sangat teguh, abu-abu gelap campur organik.															
28	25,20			Lanau: kelempungan, konsistensi sangat teguh, abu-abu gelap campur organik.															
29	25,80			Lanau: kelempungan, konsistensi sangat teguh, abu-abu gelap campur organik.															
30	26,40			Lanau: kelempungan, konsistensi sangat teguh, abu-abu gelap campur organik.															
31	27,00			Akhir Boring : 30,45 m.GL.															
32																			
33																			



PT. INDECO PRIMA
Investigation, Design Consultants

- Thin Wall Tube Sample (TWS)
- Standard Penetration Test (SPT)
- Core Sample

No. : 5448032009
Fig :

BORING LOG

SCALE	DEPTH, M.	ELEVATION, M.	THICKNESS, M.	LOG SYMBOL	GENERAL SOIL DESCRIPTION	FIELD SAMPLING AND TESTING Depth Below Existing Ground Level in N.	STANDARD PENETRATION TEST								
							N - 1	N - 2	N - 3	N - VALUE	10	20	30	40	50
1	0.00	0.00	1.50	1.50	Umikan Lempung kelanaan, konsistensi sedang, coklat kekerahan.	1 1.00 ~ 1.50 1 1.50 ~ 1.85									
2	2.00	1.50	2.50	2.50	Lempung kelanaan, konsistensi sedang - teguh, coklat kekerahan dan abu-abu campur kuning dan hitam.	2 2.50 ~ 3.00 2 3.00 ~ 3.45	2	3	5	8					
3	4.00	3.40	2.60	2.60	Lempung kelanaan, konsistensi: teguh, abu-abu dan coklat kekuningan.	3 4.00 ~ 4.50 3 4.50 ~ 4.85	3	4	6	10					
4	5.10	4.10	1.10	1.10											
5	6.00	4.00	2.00	2.00	Lanau kelempungan/kepasiran, konsistensi teguh - sangat teguh, abu-abu petap bintik kuning.	4 6.00 ~ 6.45	3	4	6	12					
6	7.00	5.00	1.00	1.00		5 7.00 ~ 7.65	5	7	11	18					
7	8.00	6.00	1.00	1.00		6 8.00 ~ 8.45	7	15	19	32					
8	9.00	7.00	1.00	1.00											
9	10.00	8.00	1.00	1.00											
10	10.30	8.30	1.30	1.30											
11	11.00	9.00	2.00	2.00	Lanau kelempungan, konsistensi: sangat teguh, abu-abu gelap campur kuning	7 10.50 ~ 10.95	4	7	9	18					
12	12.00	10.00	2.00	2.00		8 12.00 ~ 12.45	6	8	11	19					
13	13.10	11.10	2.00	2.00											
14	14.00	12.00	2.00	2.00											
15	15.00	13.00	2.00	2.00	Pasir bergradas/ kasar campur gravels dan sedikit Lanau, sangat padat, hitam.	9 13.50 ~ 13.81	8	26	7/1	>50					
16	16.00	14.00	2.00	2.00		10 15.00 ~ 15.16	31	5/1	-	>50					
17	17.00	15.00	2.00	2.00		11 16.50 ~ 16.80	28	8/1	-	>50					
18	18.00	16.00	2.00	2.00		12 16.00 ~ 16.45	2	6	12	20					
19	19.00	17.00	2.00	2.00	Lanau kelempungan, konsistensi: sangat teguh, abu-abu kecoklatan campur kekuningan dan hitam	13 19.50 ~ 19.95	13	9	14	23					
20	20.00	18.00	2.00	2.00											
21	21.00	19.00	2.00	2.00											
22	22.00	20.00	2.00	2.00	Lanau kelempungan, konsistensi: sangat teguh, abu-abu gelap kehijauan campur kuning	14 21.00 ~ 21.45	6	7	10	17					
23	23.00	21.00	2.00	2.00		15 22.50 ~ 22.95	5	6	12	20					
24	24.00	22.00	2.00	2.00		16 24.00 ~ 24.45	4	7	11	18					
25	25.00	23.00	2.00	2.00		17 25.50 ~ 25.85	6	10	14	24					
26	26.00	24.00	2.00	2.00		18 27.00 ~ 27.45	5	10	16	26					
27	27.00	25.00	2.00	2.00		19 28.50 ~ 28.95	3	9	12	21					
28	28.00	26.00	2.00	2.00		20 30.00 ~ 30.45	4	10	10	20					
29	29.45	27.45	2.00	2.00											
30	30.45	28.45	2.00	2.00	Akhir Boring : 30.45 m.GL.										
31															
32															
33															

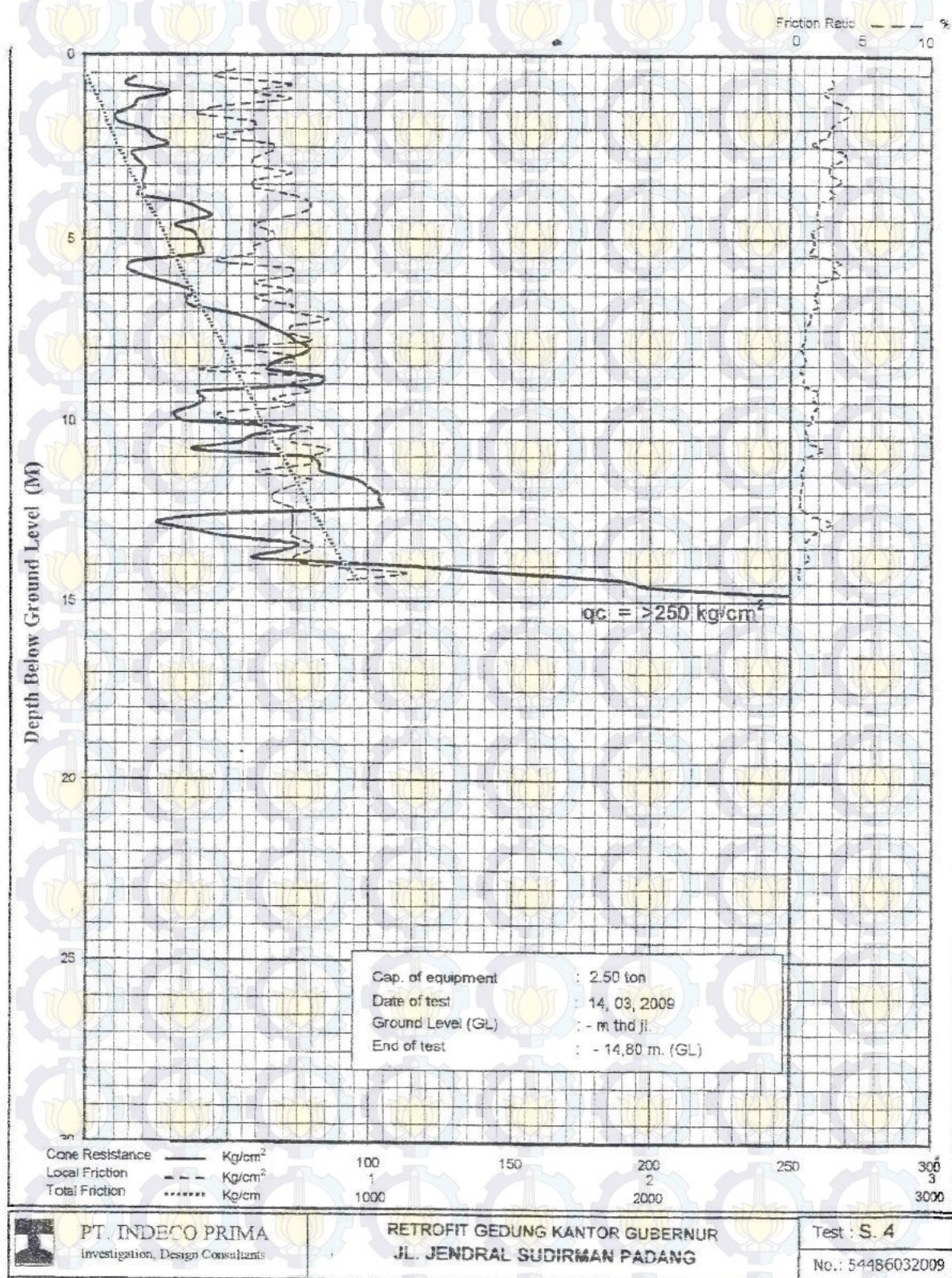
PT. INDECO PRIMA
Investigation, Design Consultants

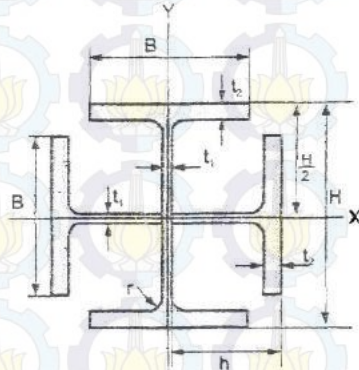
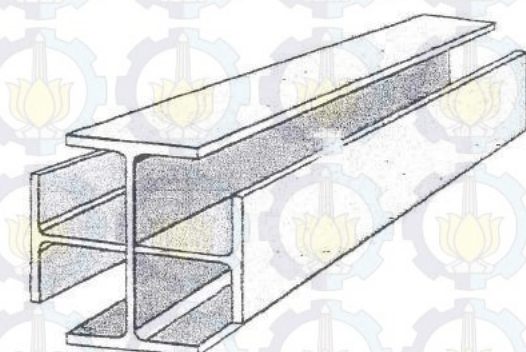


Thin Wall Tube Sample (TW)
Standard Penetration Test (SPT).
Core Sample

No. 5448032009
Fig.

DUTCH CONE PENETRATION TEST





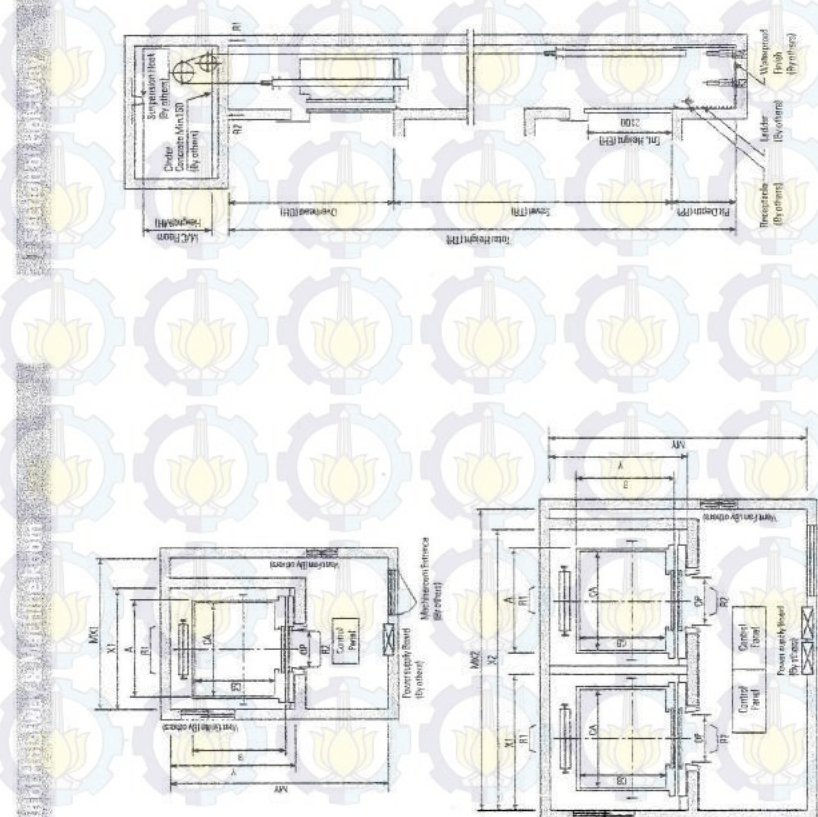
METRIC SIZE

SECTION INDEX	STANDARD SECTIONAL DIMENSION					SECTIONAL AREA	UNIT WEIGHT	INFORMATIVE REFERENCE						
	DEPTH OF SECTION	FLANGE WIDTH	THICKNESS		CORNER RADIUS			GEOMETRICAL MOMENT OF INERTIA		RADIUS OF GYRATION OF AREA		MODULUS OF SECTION		
			WEB	FLANGE	A	I _x		I _y	I _x	I _y	Z _x	Z _y		
	mm	mm	mm	mm	mm	cm ²	kg/m	cm ⁴	cm ⁴	cm	cm	cm ³	cm ³	
K 150 x 75	150	75	5.0	7	8	35.70	28.0	716	767	4.48	4.64	95.4	99.1	
K 200 x 100	200	100	5.5	8	11	54.32	42.6	1,974	2,095	6.03	6.21	197.4	203.8	
K 198 x 98	198	99	4.5	7	11	46.36	36.4	1,694	1,778	6.04	6.23	171.1	175.6	
K 250 x 125	250	125	6	9	12	75.32	59.2	4,344	4,567	7.59	7.79	347.5	356.9	
K 248 x 124	248	124	5	8	12	65.36	51.4	3,785	3,924	7.59	7.75	303.6	310.2	
K 300 x 150	300	150	6.5	9	13	93.56	73.4	7,718	8,073	9.08	9.29	514.5	526.9	
K 298 x 149	298	149	5.5	8	13	81.60	64.0	6,762	7,024	9.10	9.28	453.8	462.9	
K 350 x 175	350	175	7	11	14	126.28	99.2	14,554	15,128	10.75	10.95	831.7	847.5	
K 346 x 174	346	174	6	9	14	105.36	82.8	11,892	12,321	10.62	10.82	687.4	700.0	
K 400 x 200	400	200	8	13	16	168.24	132.0	25,440	26,519	12.30	12.55	1,272.0	1,299.9	
K 396 x 199	396	199	7	11	16	144.32	113.2	21,450	22,267	12.19	12.19	1,083.3	1,105.1	
K 450 x 200	450	200	9	14	18	193.52	152.0	35,370	36,851	13.52	13.52	1,572.0	1,605.7	
K 500 x 200	500	200	10	16	20	228.40	179.2	49,940	52,189	14.79	15.17	1,997.6	2,046.6	
K 600 x 200	600	200	11	17	22	268.80	212.0	79,880	83,229	17.24	17.24	2,662.7	2,724.4	
K 588 x 300	588	300	12	20	28	385.00	302.0	127,020	132,585	18.16	18.18	4,320.4	4,419.5	
K 700 x 300	700	300	13	24	28	471.00	369.7	211,800	220,791	21.21	21.65	6,051.4	6,193.3	
K 800 x 300	800	300	14	26	28	534.80	419.8	303,700	315,027	23.83	24.27	7,592.5	7,740.2	

NOTE :

- $h = H/2$ = height of T-Beam.
- Tolerance, $h = \pm 2$ mm.
- Material specification refer to Wide Flange Shape.
- Welded specification as per AWS E - 6013.
- K 700 x 300 and K 800 x 300 are made from IWF import.

Layout Plan - LUXEN(Gearless Elevators) 1~2.5m/sec CHINE ONE



1. Above dimensions are applied for east height (1750mm),
for other applicable dimensions, contact us.
2. If vessel is raised double the tank top, machine room
should be increased 200mm.
3. Machine room requirements should be maintained below
with ventilation fan and/or air condition (if necessary)
humidity below 90%.

Overhead & Pit Depth						Bluff (mm)
Load (kg)	450 - 1000			1150 - 1600		M.C. Room Height (ft.)
	Speed (in/sec)	Overhead	Pit Depth (ft.)	Overhead	Pit Depth (ft.)	
1.0	4200	1300	4200	1400	1400	2200
1.5	4400	1600	4500	1500	1500	2400
1.75	4500	1500	4500	1600	1600	2400
2.0	4700	1900	4700	2000	2000	2400
2.5	5000	2200	5000	2200	2200	2400

卷之三

Manufacturer Standard

Manufacture Standard														
Speed (m/sec)	Capacity Persons	Opening Type	Clear Opening Type	Car				Hoistway Size				Machine Room Size	M/C Room Reaction (kg)	Pit Reaction (kg)
				External Op	Internal CA x CB	X1	X2	1Car 2Cars Depth	Y	MX1	MX2	R1	R2	R3
6	450			800	1400x1550	1800	3700	2000	4000	800	3600	5400	5500	
6	550			800	1400x1830	1800	3700	2000	4000	800	3600	5400	5500	
9	600			800	1400x1130	1800	3700	2000	4000	800	3600	5400	5500	
10	700			800	1400x1250	1800	3700	2000	4000	800	3600	5400	5500	
11	750			800	1400x1350	1800	3700	2000	4000	800	3600	5400	5500	
13	900			900	1600x2500	2050	4200	2300	4600	1570	5100	8100	8300	
15	1000			900	1600x1510	2050	4200	2100	4400	1380	5450	8400	8600	
17	1150			1000	1800x1500	1800	3700	2000	4000	1000	4300	6300	6500	
1.75				1100	2000x1350	2100	1520	2550	5200	2050	2800	5250	5300	
20	1350	2 Panel Center	Open	1000	1800x1700	1800	3110	2500	4800	2400	4700	4200	4200	
26	1600			1100	2000x1500	2100	1670	2550	5200	2200	2800	5250	5300	
30	1750			1100	2000x1750	2100	1920	2550	5100	2900	3200	5400	5500	
36	1900			1200	2150x1600	2250	1770	2700	5900	3100	3650	6200	6300	
45	2100			1300	2100x1500	1700	1520	2350	4400	2100	2550	4400	4500	
55	2300			1300	2100x1700	1700	1770	2350	4400	2100	2550	4400	4500	
72	2500			1500	2100x1500	1700	1520	2350	4400	2100	2550	4400	4500	
90	2700			1500	2100x1700	1700	1770	2350	4400	2100	2550	4400	4500	
110	3000			1700	2100x1500	2100	1670	2550	4600	2250	2800	5250	5300	
135	3300			1700	2100x1700	2100	1920	2550	4600	2250	2800	5250	5300	
160	3600			1700	2100x1500	2100	1520	2550	4600	2250	2800	5250	5300	
180	3900			1700	2100x1700	2100	1770	2550	4600	2250	2800	5250	5300	
200	4200			1700	2100x1500	2100	1520	2550	4600	2250	2800	5250	5300	
220	4500			1700	2100x1700	2100	1770	2550	4600	2250	2800	5250	5300	
240	4800			1700	2100x1500	2100	1520	2550	4600	2250	2800	5250	5300	
260	5100			1700	2100x1700	2100	1770	2550	4600	2250	2800	5250	5300	
280	5400			1700	2100x1500	2100	1520	2550	4600	2250	2800	5250	5300	
300	5700			1700	2100x1700	2100	1770	2550	4600	2250	2800	5250	5300	
320	6000			1700	2100x1500	2100	1520	2550	4600	2250	2800	5250	5300	
340	6300			1700	2100x1700	2100	1770	2550	4600	2250	2800	5250	5300	
360	6600			1700	2100x1500	2100	1520	2550	4600	2250	2800	5250	5300	
380	6900			1700	2100x1700	2100	1770	2550	4600	2250	2800	5250	5300	
400	7200			1700	2100x1500	2100	1520	2550	4600	2250	2800	5250	5300	
420	7500			1700	2100x1700	2100	1770	2550	4600	2250	2800	5250	5300	
440	7800			1700	2100x1500	2100	1520	2550	4600	2250	2800	5250	5300	
460	8100			1700	2100x1700	2100	1770	2550	4600	2250	2800	5250	5300	
480	8400			1700	2100x1500	2100	1520	2550	4600	2250	2800	5250	5300	
500	8700			1700	2100x1700	2100	1770	2550	4600	2250	2800	5250	5300	
520	9000			1700	2100x1500	2100	1520	2550	4600	2250	2800	5250	5300	
540	9300			1700	2100x1700	2100	1770	2550	4600	2250	2800	5250	5300	
560	9600			1700	2100x1500	2100	1520	2550	4600	2250	2800	5250	5300	
580	9900			1700	2100x1700	2100	1770	2550	4600	2250	2800	5250	5300	
600	10200			1700	2100x1500	2100	1520	2550	4600	2250	2800	5250	5300	
620	10500			1700	2100x1700	2100	1770	2550	4600	2250	2800	5250	5300	
640	10800			1700	2100x1500	2100	1520	2550	4600	2250	2800	5250	5300	
660	11100			1700	2100x1700	2100	1770	2550	4600	2250	2800	5250	5300	
680	11400			1700	2100x1500	2100	1520	2550	4600	2250	2800	5250	5300	
700	11700			1700	2100x1700	2100	1770	2550	4600	2250	2800	5250	5300	
720	12000			1700	2100x1500	2100	1520	2550	4600	2250	2800	5250	5300	
740	12300			1700	2100x1700	2100	1770	2550	4600	2250	2800	5250	5300	
760	12600			1700	2100x1500	2100	1520	2550	4600	2250	2800	5250	5300	
780	12900			1700	2100x1700	2100	1770	2550	4600	2250	2800	5250	5300	
800	13200			1700	2100x1500	2100	1520	2550	4600	2250	2800	5250	5300	
820	13500			1700	2100x1700	2100	1770	2550	4600	2250	2800	5250	5300	
840	13800			1700	2100x1500	2100	1520	2550	4600	2250	2800	5250	5300	
860	14100			1700	2100x1700	2100	1770	2550	4600	2250	2800	5250	5300	
880	14400			1700	2100x1500	2100	1520	2550	4600	2250	2800	5250	5300	
900	14700			1700	2100x1700	2100	1770	2550	4600	2250	2800	5250	5300	
920	15000			1700	2100x1500	2100	1520	2550	4600	2250	2800	5250	5300	
940	15300			1700	2100x1700	2100	1770	2550	4600	2250	2800	5250	5300	
960	15600			1700	2100x1500	2100	1520	2550	4600	2250	2800	5250	5300	
980	15900			1700	2100x1700	2100	1770	2550	4600	2250	2800	5250	5300	
1000	16200			1700	2100x1500	2100	1520	2550	4600	2250	2800	5250	5300	
1020	16500			1700	2100x1700	2100	1770	2550	4600	2250	2800	5250	5300	
1040	16800			1700	2100x1500	2100	1520	2550	4600	2250	2800	5250	5300	
1060	17100			1700	2100x1700	2100	1770	2550	4600	2250	2800	5250	5300	
1080	17400			1700	2100x1500	2100	1520	2550	4600	2250	2800	5250	5300	
1100	17700			1700	2100x1700	2100	1770	2550	4600	2250	2800	5250	5300	
1120	18000			1700	2100x1500	2100	1520	2550	4600	2250	2800	5250	5300	
1140	18300			1700	2100x1700	2100	1770	2550	4600	2250	2800	5250	5300	
1160	18600			1700	2100x1500	2100	1520	2550	4600	2250	2800	5250	5300	
1180	18900			1700	2100x1700	2100	1770	2550	4600	2250	2800	5250	5300	
1200	19200			1700	2100x1500	2100	1520	2550	4600	2250	2800	5250	5300	
1220	19500			1700	2100x1700	2100	1770	2550	4600	2250	2800	5250	5300	
1240	19800			1700	2100x1500	2100	1520	2550	4600	2250	2800	5250	5300	
1260	20100			1700	2100x1700	2100	1770	2550	4600	2250	2800	5250	5300	
1280	20400			1700	2100x1500	2100	1520	2550	4600	2250	2800	5250	5300	
1300	20700			1700	2100x1700	2100	1770	2550	4600	2250	2800	5250	5300	
1320	21000			1700	2100x1500	2100	1520	2550	4600	2250	2800	5250	5300	
1340	21300			1700	2100x1700	2100	1770	2550	4600	2250	2800	5250	5300	
1360	21600			1700	2100x1500	2100	1520	2550	4600	2250	2800	5250	5300	
1380	21900			1700	2100x1700	2100	1770	2550	4600	2250	2800	5250	5300	
1400	22200			1700	2100x1500	2100	1520	2550	4600	2250	2800	5250	5300	
1420	22500			1700	2100x1700	2100	1770	2550	4600	2250	2800	5250	5300	
1440	22800			1700	2100x1500	2100	1520	2550	4600	2250	2800	5250	5300	
1460	23100			1700	2100x1700	2100	1770	2550	4600	2250	2800	5250	5300	
1480	23400			1700	2100x1500	2100	1520	2550	4600	2250	2800	5250	5300	
1500	23700			1700	2100x1700	2100	1770	2550	4600	2250	2800	5250	5300	
1520	24000			1700	2100x1500	2100	1520	2550	4600	2250	2800	5250	5300	
1540	24300			1700	2100x1700	2100	1770	2550	4600	2250	2800	5250	5300	
1560	246													

Diephuis, L. S. N.D. 1984. *Uit-een*.

Span (in/ft)	Capacity Persons	Opening Type	Clear Opening	Car	Holtway Size				Machine Room Size				M/C Room Depth	Pit Reaction (kg)	
					External		Internal		External		Internal				
					Op	CA x CB	X1	A x B	MX1	MX2	MY	R1	R2		
6	6	550	700	1100x1100	1400x1050	160x1250	1550	3200	1800	3500	3450	2000	5400	4500	
					1400x1050	1400x1050	1800	3700	1450	2000	4000	3400	2250		
7	6	610	800	1400x1100	1400x1050	1400x1255	1800	3700	1700	2600	4000	3600	2450	5100	
					1400x1050	1400x1050	1800	3700	1700	2600	4000	3600	2400		
8	8	700	800	1600x1100	1600x1050	1600x1250	1800	3700	1750	2100	4600	4200	2700	5400	
					1600x1050	1600x1050	1800	3700	1750	2100	4600	4200	2700		
10	10	800	900	1600x1100	1600x1050	1600x1250	1800	3700	1900	2600	4600	4550	2800	5600	
					1600x1050	1600x1050	1800	3700	1900	2600	4600	4550	2800		
12	12	900	900	1600x1100	1600x1050	1600x1255	1800	3700	1950	2600	4600	4550	2800	5600	
					1600x1050	1600x1050	1800	3700	1950	2600	4600	4550	2800		
13	13	1000	900	1600x1100	1600x1050	1600x1255	1800	3700	2050	2600	4600	4550	2800	6600	
					1600x1050	1600x1050	1800	3700	2050	2600	4600	4550	2800		
15	15	1150	1000	1800x1100	1900x1050	1900x1270	2250	4800	2100	2600	4700	3800	6400	6700	
					1800x1050	1800x1050	2100	3400	1470	2500	4700	3800	6400		
17	17	1350	1200	1800x1100	1900x1050	1900x1270	2250	4800	2150	2600	4700	3800	6400	6700	
					1800x1050	1800x1050	2100	3400	1230	2500	4700	3800	6400		
20	20	1600	1600	2000x1100	2100x1050	2100x1270	2500	5200	2400	2900	5600	4750	8300	10400	
					2000x1050	2000x1050	2100	3400	1670	2500	5600	4750	8300		
21	21	1600	1600	2150x1100	2250x1050	2250x1270	2700	5500	2300	3000	5650	4700	8400	10400	
					2150x1050	2150x1050	2300	3400	1520	2500	5650	4700	8400		
19	19	800	800	1400x1100	1400x1050	1500x1250	2050	4700	2100	2350	4200	4100	10500	7300	
					1400x1050	1400x1050	1700	3400	1470	2350	4600	4100	10500		
12	12	900	900	1600x1100	1700x1050	1700x1250	2250	4800	2050	2500	4600	4100	12030	7500	
					1600x1050	1600x1050	1700	3400	1230	2250	4600	4100	12030		
13	13	900	900	1600x1100	1700x1050	1700x1250	2250	4800	2100	2500	4600	4100	12800	8000	
					1600x1050	1600x1050	1700	3400	1470	2250	4600	4100	12800		
15	15	1150	1100	2000x1100	2100x1050	2100x1270	2500	5200	2400	2900	5600	4750	8400	10400	
					2000x1050	2000x1050	2100	3400	1770	2500	5600	4750	8400		
16	16	1350	1350	1800x1100	1900x1050	1900x1270	2500	5600	2400	2900	5600	4750	8400	10400	
					1800x1050	1800x1050	1900	3400	1870	2500	5600	4750	8400		
17	17	1350	1350	1800x1100	1900x1050	1900x1270	2500	5600	2400	2900	5600	4750	8400	10400	
					1800x1050	1800x1050	1900	3400	1870	2500	5600	4750	8400		
18	18	1350	1350	1800x1100	1900x1050	1900x1270	2500	5600	2400	2900	5600	4750	8400	10400	
					1800x1050	1800x1050	1900	3400	1870	2500	5600	4750	8400		
21	21	1600	1600	2150x1100	2250x1050	2250x1270	2600	5700	2500	3100	5700	4800	8500	10400	
					2150x1050	2150x1050	2250	3400	1770	2600	5700	4800	8500		

BIODATA PENULIS



Pesta Dumaris Siagian

Lahir di Medan, Sumatera Utara pada tanggal 08 Desember 1992, merupakan anak ke-3 dari 7 bersaudara dari pasangan B. Siagian dan D.Rumapea.

Penulis telah menempuh pendidikan formal di SDN 102043 Bakaran Batu Sei Bamban, SMPN2 Sei Bamban, dan SMAN 2 Tebing Tinggi.

Kemudian penulis melanjutkan studinya di D3 Politeknik Negeri Medan Jurusan Teknik Sipil dan lulus pada tahun 2013. Selanjutnya pada tahun 2015 penulis melanjutkan pendidikan sarjananya di Institut Teknologi Sepuluh Nopember Jurusan Teknik Sipil (FTSP-ITS) Surabaya melalui Program Lintas Jalur dan terdaftar dengan NRP. 3114106024. Penulis adalah Mahasiswa Program Sarjana (S1) dengan bidang Studi Struktur.

Email : pestadumaris.siagian@gmail.com



PROGRAM STUDI S1 LINTAS JALUR JURUSAN TEKNIK SIPIL FTSP - ITS

LEMBAR KEGIATAN ASISTENSI TUGAS AKHIR (WAJIB DIISI)

Jurusan Teknik Sipil Lt.1, Kampus ITS Sukolilo, Surabaya 601111

Telp.031-5996879, Fax.031-5947284

Form TA-04
rev01

NAMA PEMBIMBING	: Ir. Heppy Kristianto, M.S
NAMA MAHASISWA	: Pesta Dumaris Siagian
NRP	: 3114106024
JUDUL TUGAS AKHIR	: Modifikasi Perencanaan Struktur Gedung Hotel pop Padang menggunakan bantuan efektor tipe D sistem rangka
TANGGAL PROPOSAL	: 17 Juni 2016
NO. SP-MMTA	: 057895 / IT 2.3.1.1 / pp. 05.02.00/2016

NO	TANGGAL	KEGIATAN		PARAF ASISTEN
		REALISASI	RENCANA MINGGU DEPAN	
1	25/09/16	Asistensi Gambar (Desain, potongan)		
2	22/09/16	Revisi gambar desain potongan (Merapikan letak kolom)		
3	13/10/16	- Penulisan profil BA dengan terlalu lebar - Perbaiki penggambaran detail BA dan pd pelat lantai & liturgian BA - Ubah pembentukan fc PPLUG 1983 - Zona tulangan pd pelat lantai sesuaikan dg mitra base		
4	27/10/16	- cek pemascalan beban & ke SAP - penulisan profil agar diperhatikan lagi (zangan terlalu lebar) - Lanjut ke struktur primer		



PROGRAM STUDI S1 LINTAS JALUR JURUSAN TEKNIK SIPIL FTSP - ITS
LEMBAR KEGIATAN ASISTENSI TUGAS AKHIR (WAJIB DIISI)

Jurusan Teknik Sipil Lt.1, Kampus ITS Sukolilo, Surabaya 601111

Telp.031-5996879, Fax.031-5947284



Form TA-04
rev01

NAMA PEMBIMBING	: Ir. Isdarmaru, MSc
NAMA MAHASISWA	: Pesta Dumaris Siagian
NRP	: 3119106024
JUDUL TUGAS AKHIR	: Modifikasi perencanaan struktur gedung Hotel Pop Padang Menggunakan Sistem Rangka Bresius Elekstrik Tipe D-Braced
TANGGAL PROPOSAL	: 17 JUNI 2016
NO. SP-MMTA	: 057895 / ITZ.3.1.L / PP.05-02-00/ 2016

NO	TANGGAL	KEGIATAN		PARAF ASISTEN
		REALISASI	RENCANA MINGGU DEPAN	
1	07/10/16	Asistensi Gambar dan Perhitungan beban sekunder	<ul style="list-style-type: none">- Tabel / Brosur was bordes- Memberi garis as pd 9br- Pemberian balok anak diperlukai lagi.- Pada perhitungan, ambil yang maksimum untuk ditinjau	
2	14/10/16	<ul style="list-style-type: none">- Pelat lantai sesuai mutu bahan tulangan U-48 seperti pd tabel super floor- ke pembebaran menggunakan PPIUG 1983- pd tangga fikir teruk lateral- Lb = 0- perhitungan bordes b: 1,35 m ; L: 1,375 m- perhitungan balok bordes tidak perlu di hitung karena sudah masuk pd perhitungan balok utama tangga		
3	28/10/16	<ul style="list-style-type: none">- perhitungan kontrol lateral pada balok bordes dan pengatur arah tangga harus ditambahkan- Beban hidup selalu per meter bidang horizontal, jadi pd arah tangga utama tidak perlu dibagi sudut 45 dan pl dipilih yang terbesar pada perhitungan tendutan		



Form AK/TA-04
rev01

PROGRAM STUDI S1 LINTAS JALUR JURUSAN TEKNIK SIPIL FTSP - ITS
LEMBAR KEGIATAN ASISTENSI TUGAS AKHIR (WAJIB DIISI)

Jurusan Teknik Sipil Lt.1, Kampus ITS Sukolilo, Surabaya 601111
Telp.031-5996879, Fax.031-5947284

NAMA PEMBIMBING	:
NAMA MAHASISWA	:
NRP	:
JUDUL TUGAS AKHIR	:
TANGGAL PROPOSAL	:
NO. SP-MMTA	:

NO	TANGGAL	KEGIATAN		PARAF DOSEN
		REALISASI	RENCANA MINGGU DEPAN	
5	09/12/2016	<ul style="list-style-type: none"> - Tebal Pelat Pada perhitungan tuntun dengan $m=2$ adalah tw balot yang ditulis, apabila $m=1$ tp adalah tebal Pelat Sisw- - Untuk BI apabila ada 2 penampang, maka dicantumkan dengan 1 penampang 	*	
6		<ul style="list-style-type: none"> - Gaya geser bunga di temui & bukti - Cek pengambilan momen dan blom, dengan tepat di lantai - Perlu perhitungan hasil pd Polam; krr; krl; - Cari pembentuk M besar, p tebal. 		
7	23/12/16	<ul style="list-style-type: none"> - BAB VIII perhitungan elastis dan ultimate - Rapikan gambar 		